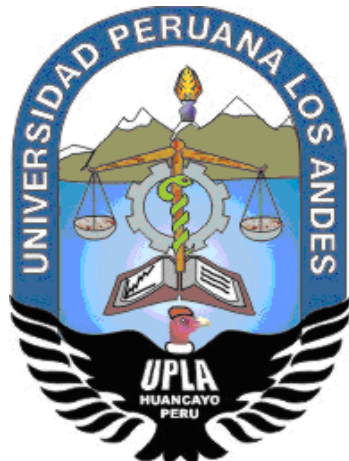


**UNIVERSIDAD PERUANA LOS ANDES**  
**FACULTAD DE INGENIERÍA**  
**ESCUELA PROFESIONAL DE INGENIERÍA CIVIL**



**TRABAJO DE SUFICIENCIA PROFESIONAL**

**ANÁLISIS Y DISEÑO SÍSMICO ESTRUCTURAL, DE LA  
GERENCIA SUB REGIONAL DE CHURCAMPA  
EMPLEANDO LA NUEVA NORMA E.030-2018 -  
HUANCAVELICA**

PRESENTADO POR:

**Bach. PÉREZ MALLMA JHON RONALD**

PARA OPTAR EL TÍTULO PROFESIONAL DE:

**INGENIERO CIVIL**

**HUANCAYO – PERÚ**

**2021**

## **HOJA DE CONFORMIDAD DE JURADOS**

---

**Dr. Casio Aurelio Torres López  
Presidente**

---

**M.Sc. Jorge Santiago López Yarango  
Jurado revisor**

---

**Ing. Carlos Gerardo Flores Espinoza  
Jurado revisor**

---

**Ing. Christian Mallaupoma Reyes  
Jurado revisor**

---

**Mg. Miguel Ángel Carlos Canales  
Secretario docente**

### **Dedicatoria**

A Dios por la vida, por iluminar y guiar mi camino día a día, por ser la fortaleza en aquellos momentos de dificultad, también a mis padres, por brindarme su apoyo en todo momento, por ser los principales iniciadores de nuestros sueños, por confiar y creer en nuestras expectativas, por los consejos, valores y principios que nos han inculcado.

Bach. Jhon Ronald Pérez Mallma

## **Agradecimiento**

A los docentes de la Escuela Profesional de Ingeniería Civil de la Universidad Peruana Los Andes, por enriquecer nuestro conocimiento y guiarnos durante nuestra formación profesional.

A mis docentes revisores, que desinteresadamente vertieron sus aportes al desarrollo de este trabajo, por su apoyo y sus consejos para seguir adelante día a día.

Bach. Jhon Ronald Pérez Mallma

## **ÍNDICE**

<b>ÍNDICE DE TABLAS .....</b>	xii
<b>ÍNDICE DE FIGURAS .....</b>	xv
<b>NOMENCLATURA .....</b>	.xviii
<b>RESUMEN .....</b>	xx
<b>ABSTRACT .....</b>	xxi
<b>INTRODUCCIÓN .....</b>	xxii

### **CAPÍTULO I PLANTEAMIENTO DEL PROBLEMA**

<b>1.1. Problema .....</b>	25
1.1.1. Problema general.....	25
1.1.2. Problemas específicos .....	25
<b>1.2. Objetivos.....</b>	25
1.2.1. Objetivo general .....	25
1.2.2. Objetivos específicos .....	26
<b>1.3. Justificación .....</b>	26
1.3.1. Justificación práctica .....	26
1.3.2. Justificación metodológica .....	26
<b>1.4. Delimitación .....</b>	26
1.4.1. Delimitación espacial .....	26
1.4.2. Delimitación temporal.....	27
1.4.3. Delimitación económica .....	27

### **CAPÍTULO II MARCO TEÓRICO**

<b>2.1. Antecedentes.....</b>	28
2.1.1. Antecedentes nacionales .....	28
2.1.2. Antecedentes internacionales .....	31

2.2. Marco conceptual .....	34
2.2.1. Sistemas estructurales.....	34
2.2.2. Método de análisis sísmico .....	34
2.2.3. Análisis sísmico estático .....	35
A. Periodo fundamental de vibración .....	35
B. Masa de la edificación.....	35
C. Fuerza cortante en la base.....	36
D. Distribución de la fuerza sísmica en altura.....	37
2.2.4. Análisis sísmico dinámico .....	37
A. Análisis por combinación modal espectral.....	38
a. Modos de vibración.....	38
b. Aceleración espectral.....	38
c. Criterios de combinación.....	38
d. Fuerza cortante mínima .....	39
B. Determinación de desplazamientos laterales .....	40
C. Desplazamientos laterales relativos admisibles .....	40
D. Separación entre los edificios .....	41
2.2.5. Análisis estructural .....	41
2.2.6. Criterios de estructuración .....	42
A. Simplicidad y simetría.....	42
B. Resistencia y ductilidad.....	42
C. Hiperestaticidad y monolitismo.....	43
D. Uniformidad y continuidad de estructura .....	43
E. Rigidez lateral.....	43
F. Existencia de diafragmas rígidos .....	44
G. Elementos no estructurales.....	44
2.2.7. Diseño estructural .....	44

2.2.8. Método de diseño a la rotura .....	45
A. Estados de rotura (colapso) .....	45
2.2.9. Criterio general de diseño .....	48

### **CAPÍTULO III METODOLOGÍA**

3.1. Tipo de estudio .....	49
3.2. Nivel de estudio .....	49
3.3. Diseño de estudio .....	49
3.4. Técnicas e instrumentos de recolección y análisis de datos.....	50
3.4.1. Técnicas de recolección de datos .....	50
3.4.2. Instrumentos de recolección de datos.....	50
3.4.3. Análisis de datos.....	50
3.5. Población y muestra .....	51
3.5.1. Población .....	51
3.5.2. Muestra .....	51

### **CAPÍTULO IV DESARROLLO DEL INFORME**

4.1. Resultados.....	52
4.1.1. Descripción del proyecto.....	52
A. Nombre del proyecto .....	52
B. Características principales de la edificación.....	53
C. Normas a utilizar .....	58
D. Aspectos generales del diseño en concreto armado.....	58
a. Propiedades mecánicas de los materiales.....	58
b. Cargas de diseño.....	58
c. Cargas ultimas requeridas .....	59
d. Factores de reducción de resistencia .....	59

E. Predimensionamiento.....	59
a. Predimensionamiento de losas aligeradas en una dirección ...	59
b. Predimensionamiento de losas aligeradas en dos direcciones	60
c. Predimensionamiento de losas macizas .....	61
d. Predimensionamiento de vigas .....	61
e. Predimensionamiento de columnas .....	62
f. Predimensionamiento de muros de corte (placas).....	63
g. Predimensionamiento de escalera.....	64
h. Predimensionamiento de cimentación .....	64
F. Estructuración del edificio.....	65
G. Estimación de cargas para análisis.....	66
a. Cargas de diseño.....	66
4.1.2. Análisis sísmico estático y dinámico .....	67
A. Análisis sísmico estático.....	67
a. Parámetros sísmicos .....	67
b. Masa sísmica .....	68
c. Fuerza cortante en la base .....	69
B. Análisis sísmico dinámico.....	74
a. Análisis modal.....	75
b. Análisis de irregularidades .....	77
c. Fuerza cortante mínima en la base.....	78
d. Verificación del sistema estructural y coeficiente básico de reducción (Ro) .....	78
4.1.3. Control de desplazamientos.....	79
A. Junta sísmica .....	82
4.1.4. Diseño de elemento estructurales.....	83
A. Diseño de losas aligeradas .....	83

a. Metrado de cargas .....	83
b. Análisis estructural (ejemplo de diseño) .....	83
c. Diseño por flexión .....	84
d. Diseño por corte.....	84
e. Refuerzo por contracción y temperatura.....	85
f. Control de deflexiones .....	86
<b>B. Diseño de losas macizas.....</b>	<b>87</b>
a. Metrado de cargas .....	87
b. Análisis estructural (ejemplo de diseño) .....	87
c. Diseño por flexión .....	88
d. Diseño por corte.....	88
<b>C. Diseño de vigas.....</b>	<b>89</b>
a. Análisis Estructural (ejemplo de diseño) .....	89
b. Diseño por flexión .....	90
c. Diseño por corte.....	91
d. Control de deflexiones .....	93
<b>D. Diseño de columnas.....</b>	<b>94</b>
a. Análisis estructural (ejemplo de diseño) .....	94
b. Diseño por flexocompresión uniaxial .....	94
c. Diagrama de interacción .....	96
d. Diseño por corte.....	96
<b>E. Diseño muros de corte (placas).....</b>	<b>99</b>
a. Diseño por flexocompresión .....	99
b. Análisis estructural (ejemplo de diseño) .....	99
c. Verificación de la necesidad de colocar elementos de borde confinados .....	101
d. Diagrama de interacción .....	104

e. Diseño por corte.....	105
F. Diseño de cimentaciones.....	107
a. Características de la cimentación .....	107
b. Diseño de losa de cimentación .....	107
c. Verificación por punzonamiento .....	108
d. Verificación por corte .....	109
e. Diseño por flexión .....	110
G. Diseño del muro de semisótano.....	113
a. Características del muro .....	113
b. Metrado de cargas .....	113
c. Análisis estructural (ejemplo de diseño).....	113
d. Diseño por flexión .....	114
e. Diseño por corte.....	115
H. Diseño de escalera.....	116
a. Metrado de cargas.....	116
b. Análisis estructural (ejemplo de diseño) .....	117
c. Diseño por flexión .....	118
d. Diseño por corte.....	118
4.2. Discusión de resultados.....	119
4.2.1. Análisis sísmico estático y dinámico .....	119
4.2.2. Control de desplazamientos.....	119
4.2.3. Diseño de elementos estructurales .....	120
CONCLUSIONES .....	122
RECOMENDACIONES .....	123
REFERENCIAS BIBLIOGRÁFICAS .....	124
ANEXOS .....	126

Anexo 01 Técnicas e instrumentos de recolección y análisis de datos

Anexo 02 Fotografías

Anexo 03 Estudio mecánica de suelos (E.M.S.)

Anexo 04 Planos de estructuras

## ÍNDICE DE TABLAS

<b>Tabla 1.</b> Estimación de masa sísmica. ....	36
<b>Tabla 2.</b> Límites para la distorsión de entrepiso. ....	40
<b>Tabla 3.</b> Resumen de características de la edificación. ....	53
<b>Tabla 4.</b> Características y propiedades mecánica de los materiales. ....	58
<b>Tabla 5.</b> Factor de reducción según el tipo de solicitud. ....	59
<b>Tabla 6.</b> Predimensionamiento de lasas aligeradas 01 dirección. ....	60
<b>Tabla 7.</b> Predimensionamiento de lasas aligeradas 02 direcciones. ....	60
<b>Tabla 8.</b> Predimensionamiento de losa maciza. ....	61
<b>Tabla 9.</b> Predimensionamiento de vigas. ....	62
<b>Tabla 10.</b> Predimensionamiento de columnas – Bloque- I. ....	63
<b>Tabla 11.</b> Predimensionamiento de columnas – Bloque- II. ....	63
<b>Tabla 12.</b> Predimensionamiento de columnas – Bloque- III. ....	63
<b>Tabla 13.</b> Predimensionamiento de Escalera. ....	64
<b>Tabla 14.</b> Cargas Vivas Mínimas Repartidas – Norma Técnica E.020, Cargas. ....	66
<b>Tabla 15.</b> Cargas Muertas consideradas. ....	66
<b>Tabla 16.</b> Resumen de los parámetros sísmicos. ....	67
<b>Tabla 17.</b> Masa sísmica, centro de masa y rigidez de cada nivel: Bloque – I. ....	68
<b>Tabla 18.</b> Masa sísmica, centro de masa y rigidez de cada nivel: Bloque – II. ....	69
<b>Tabla 19.</b> Masa sísmica, centro de masa y rigidez de cada nivel: Bloque – III. ....	69
<b>Tabla 20.</b> Cortante basal del análisis sísmico estático. ....	69
<b>Tabla 21.</b> Distribución de las fuerzas sísmicas horizontales dirección X-X. ....	70
<b>Tabla 22.</b> Distribución de las fuerzas sísmicas horizontales dirección Y-Y. ....	70
<b>Tabla 23.</b> Distribución de las fuerzas sísmicas horizontales dirección X-X. ....	71
<b>Tabla 24.</b> Distribución de las fuerzas sísmicas horizontales dirección Y-Y. ....	72
<b>Tabla 25.</b> Distribución de las fuerzas sísmicas horizontales dirección X-X. ....	72
<b>Tabla 26.</b> Distribución de las fuerzas sísmicas horizontales dirección Y-Y. ....	73
<b>Tabla 27.</b> Resumen de parámetros sísmicos. ....	74
<b>Tabla 28.</b> Modos de vibración y participación de masa: Bloque-I. ....	75
<b>Tabla 29.</b> Modos de vibración y participación de masa: Bloque-II. ....	76
<b>Tabla 30.</b> Modos de vibración y participación de masa: Bloque-III. ....	76
<b>Tabla 31.</b> Verificación de Irregularidades. ....	77

<b>Tabla 32.</b> Valores finales de coeficiente de reducción. ....	77
<b>Tabla 33.</b> Cortantes mínimas en la base. ....	78
<b>Tabla 34.</b> Porcentaje de fuerza cortante en muros de corte. ....	79
<b>Tabla 35.</b> Control de desplazamientos, dirección X-X: Bloque – I. ....	79
<b>Tabla 36.</b> Control de desplazamientos, dirección Y-Y: Bloque – I. ....	79
<b>Tabla 37.</b> Control de desplazamientos, dirección X: Bloque – II. ....	80
<b>Tabla 38.</b> Control de desplazamientos, dirección Y: Bloque – II. ....	80
<b>Tabla 39.</b> Control de desplazamientos, dirección X: Bloque – III. ....	81
<b>Tabla 40.</b> Control de desplazamientos, dirección Y: Bloque – III. ....	81
<b>Tabla 41.</b> Juntas sísmicas del edificio en las dos direcciones. ....	82
<b>Tabla 42.</b> Metrado de cargas losa aligerada $h=0.20m$ . ....	83
<b>Tabla 43.</b> Diseño por flexión de losa aligerada. ....	84
<b>Tabla 44.</b> Diseño por corte de losa aligerada. ....	84
<b>Tabla 45.</b> Calculo de ensanche alternado en viguetas. ....	85
<b>Tabla 46.</b> Refuerzo por temperatura en losa aligerada. ....	85
<b>Tabla 47.</b> Deflexiones en losa aligerada, Bloque – I. ....	86
<b>Tabla 48.</b> Metrado de cargas losa maciza $h=0.15m$ . ....	87
<b>Tabla 49.</b> Diseño por flexión de losa maciza. ....	88
<b>Tabla 50.</b> Diseño por corte de losa maciza. ....	88
<b>Tabla 51.</b> Diseño por flexión VP- 101 ( $0.30 \times 0.70$ ): Bloque – I. ....	90
<b>Tabla 52.</b> Calculo del momento nominal: Bloque – I. ....	90
<b>Tabla 53.</b> Metrado de cargas/Cortante isostático. ....	92
<b>Tabla 54.</b> Resultados del Cálculo de $V_u$ (diseño). ....	92
<b>Tabla 55.</b> Diseño por cortante: Bloque – I. ....	92
<b>Tabla 56.</b> Fuerzas internas del análisis estructural, C-3: Bloque-II. ....	95
<b>Tabla 57.</b> Fuerzas internas de combinaciones de carga, C-3: Bloque-II. ....	95
<b>Tabla 58.</b> Cortante por capacidad dirección X-X; C-3, Bloque – II. ....	97
<b>Tabla 59.</b> Cortante por capacidad dirección Y-Y; C-3, Bloque – II. ....	97
<b>Tabla 60.</b> Fuerzas internas del análisis estructural: PL-5, Bloque – III. ....	100
<b>Tabla 61.</b> Fuerzas internas de combinaciones de carga, PL-5. ....	100
<b>Tabla 62.</b> Acero de refuerzo vertical, PL-5. ....	101
<b>Tabla 63.</b> Estimación de acero de refuerzo vertical en el núcleo, PL-5. ....	101
<b>Tabla 64.</b> Determinación de “c”, PL-5. ....	101

<b>Tabla 65.</b> Colocación de núcleo confinado, PL-5.....	102
<b>Tabla 66.</b> Dimensiones de elementos de borde, PL-5.....	102
<b>Tabla 67.</b> Espaciamiento mínimo de estribos, PL-5.....	103
<b>Tabla 68.</b> Espaciamiento mínimo de estribos, PL-5.....	103
<b>Tabla 69.</b> Acero de refuerzo horizontal, PL-5.....	105
<b>Tabla 70.</b> Cortante de diseño por capacidad, PL-5 .....	105
<b>Tabla 71.</b> Altura diseño de cortante por capacidad, PL-5 .....	105
<b>Tabla 72.</b> Resumen de diseño de cortante por capacidad, PL-5 .....	106
<b>Tabla 73.</b> Verificación por punzonamiento, C-2, Bloque-I .....	108
<b>Tabla 74.</b> Verificación por corte, C-2, Bloque-I.....	109
<b>Tabla 75.</b> Diseño por flexión de losa de cimentación.....	111
<b>Tabla 76.</b> Metrado de cargas muro de semisótano, $t=0.20m$ .....	113
<b>Tabla 77.</b> Diseño por flexión de muro de semisótano. ....	114
<b>Tabla 78.</b> Diseño por corte de muro de semisótano. ....	115
<b>Tabla 79.</b> Metrado de cargas escalera tramo I. ....	116
<b>Tabla 80.</b> Diseño por flexión de escalera tramo I.....	118
<b>Tabla 81.</b> Diseño por corte de escalera. ....	118

## ÍNDICE DE FIGURAS

<b>Figura 1.</b> Ubicación geográfica del proyecto.....	27
<b>Figura 2.</b> Sistemas estructurales.....	34
<b>Figura 3.</b> Método de análisis sísmico. ....	34
<b>Figura 4.</b> Esfuerzo de cortante basal en la construcción. ....	37
<b>Figura 5.</b> Etapas de un proyecto de ingeniería estructural .....	42
<b>Figura 6.</b> Estado de rotura - colapso.....	45
<b>Figura 7.</b> Condición para una viga simplemente reforzada.....	46
<b>Figura 8.</b> Esfuerzo-deformación unitaria del acero.....	47
<b>Figura 9.</b> Criterio general de diseño. ....	48
<b>Figura 10.</b> Vista en 3D del proyecto.....	53
<b>Figura 11.</b> Arquitectura del semisótano.....	54
<b>Figura 12.</b> Arquitectura del primer Piso.....	54
<b>Figura 13.</b> Arquitectura del segundo Piso. ....	55
<b>Figura 14.</b> Arquitectura del tercer Piso. ....	55
<b>Figura 15.</b> Arquitectura del cuarto Piso. ....	56
<b>Figura 16.</b> Arquitectura corte A-A. ....	56
<b>Figura 17.</b> Arquitectura corte C-C.....	57
<b>Figura 18.</b> Arquitectura corte E-E. ....	57
<b>Figura 19.</b> Plano de estructuración, bloque I, II y III. ....	65
<b>Figura 20.</b> Vista 3D: (a) bloque-I, (b) bloque-II, (c) bloque-III.....	68
<b>Figura 21.</b> Distribución de (a) fuerzas y (b) cortantes sísmicas (X): Bloque – I .....	70
<b>Figura 22.</b> Distribución de (a) fuerzas y (b) cortantes sísmicas (Y): Bloque – I .....	71
<b>Figura 23.</b> Distribución de (a) fuerzas y (b) cortantes sísmicas (X): Bloque – II.....	71
<b>Figura 24.</b> Distribución de (a) fuerzas y (b) cortantes sísmicas (Y): Bloque – II.....	72
<b>Figura 25.</b> Distribución de (a) fuerzas, (b) cortantes sísmicas (X): Bloque– III. ....	73
<b>Figura 26.</b> Distribución de (a) fuerzas, (b) cortantes sísmicas (Y): Bloque – III. ....	73
<b>Figura 27.</b> Espectro inelástico de pseudo aceleraciones en la dirección X-X / Y-Y: Bloque – I y Bloque – II. ....	74
<b>Figura 28.</b> Espectro inelástico de pseudo aceleraciones en la dirección X-X / Y-Y: Bloque – III.....	75
<b>Figura 29.</b> Modos traslacionales y rotacional: Bloque-I.....	75

<b>Figura 30.</b> Modos traslacionales y rotacional: Bloque-II.....	76
<b>Figura 31.</b> Modos traslacionales y rotacional: Bloque-III. ....	76
<b>Figura 32.</b> Derivas inelásticas, dirección (a)X-X, (b)Y-Y: Bloque – I. ....	80
<b>Figura 33.</b> Derivas inelásticas, dirección (a)X-X, (b)Y-Y: Bloque – II. ....	81
<b>Figura 34.</b> Derivas inelásticas, dirección (a)X-X, (b)Y-Y: Bloque – III.....	82
<b>Figura 35.</b> Modelo matemático de losa aligerada una dirección. Bloque – I.....	83
<b>Figura 36.</b> D.M.F. (kgf-m). Losa aligerada una dirección, Bloque – I. ....	83
<b>Figura 37.</b> D.F.C. (kgf). Losa Aligerada una dirección, Bloque – I. ....	83
<b>Figura 38.</b> Detalle de ensanche alternado en viguetas.....	85
<b>Figura 39.</b> Disposición de acero de refuerzo final de losa aligerada H=0.20m, Bloque – I.....	86
<b>Figura 40.</b> Vista 3D, de losa maciza una dirección. Bloque – II.....	87
<b>Figura 41.</b> D.M.F. Losa maciza en una dirección. Bloque – II.....	87
<b>Figura 42.</b> Disposición de acero de refuerzo final, de losa maciza una dirección. Bloque – II. ....	88
<b>Figura 43.</b> Dimensiones de viga a diseñar.....	89
<b>Figura 44.</b> Envolvente de D.M.F. de la VP- 101 (0.30 x 0.70): Bloque – I. ....	89
<b>Figura 45.</b> Fuerza cortante de diseño por capacidad en vigas. ....	91
<b>Figura 46.</b> Envolvente de D.F.C. de VP- 101 (0.30 x 0.70): Bloque – I. ....	91
<b>Figura 47.</b> Diseño de acero por corte en vigas – estribos. ....	93
<b>Figura 48.</b> Diseño final de VP-101 (0.30x0.70), Bloque – I. ....	94
<b>Figura 49.</b> Disposición de acero preliminar de columna, C-3, Bloque – II. ....	95
<b>Figura 50.</b> Diagrama de interacción: en la dirección (a) X-X (b) Y-Y, C-3, B – II....	96
<b>Figura 51.</b> Fuerza cortante de diseño por capacidad en columnas. ....	97
<b>Figura 52.</b> Diseño de acero por cortante en columnas – estribos.....	98
<b>Figura 53.</b> Disposición de acero de refuerzo final, C-3: (0.40mx0.80m), Bloque – II. 98	
<b>Figura 54.</b> Ejes globales y locales para la placa PL-5, Bloque – III.....	99
<b>Figura 55.</b> Distribución preliminar de la placa PL-5, Bloque – III. ....	101
<b>Figura 56.</b> Elementos de borde de la placa PL-5, Bloque-III.....	103
<b>Figura 57.</b> Diagrama de interacción dirección. X-X(a) y Y-Y(b), placa PL-5, BL – III. ....	104
<b>Figura 58.</b> Diseño final del muro de corte PL-5, Bloque – III.....	106
<b>Figura 59.</b> Vista en planta para la cimentación, Bloque – I. ....	107

<b>Figura 60.</b> Geometría por punzonamiento, Bloque – I .....	108
<b>Figura 61.</b> Geometría por corte, Bloque – I.....	109
<b>Figura 62.</b> D.M.F(+), en la dirección X-X debido a la envolvente (tonf-m/ml).....	110
<b>Figura 63.</b> D.M.F(-), en la dirección X-X debido a la envolvente (tonf-m/ml).....	110
<b>Figura 64.</b> D.M.F(+), en la dirección Y-Y debido a la envolvente (tonf-m/ml).....	111
<b>Figura 65.</b> D.M.F(-), en la dirección Y-Y debido a la envolvente, (tonf-m/ml).....	111
<b>Figura 66.</b> Diseño final de losa de cimentación del Bloque - I.....	112
<b>Figura 67.</b> Idealización del muro de semisótano. ....	113
<b>Figura 68.</b> Diagrama de fuerza cortante, debido a la envolvente (kgf/ml) .....	114
<b>Figura 69.</b> Diagrama de momento flector, debido a la envolvente (kgf-m/ml).....	114
<b>Figura 70.</b> Diseño final de muro para el semisótano del Bloque - III.....	115
<b>Figura 71.</b> Dimensiones de escalera tramo I, Bloque – III.....	116
<b>Figura 72.</b> Modelo estructural con cargas aplicadas, escalera (tonf/ml). .....	117
<b>Figura 73.</b> Diagrama de fuerzas cortantes, escalera (tonf) .....	117
<b>Figura 74.</b> Diagrama de momentos flectores, escalera (tonf-m).....	117
<b>Figura 75.</b> Diseño final de escalera tramo I. Bloque – III.....	118

## NOMENCLATURA

<b>S/C</b>	Sobre carga o carga viva, según E.020 – cargas.
<b>CV</b>	Carga viva, según E.020 – cargas.
<b>CM</b>	Carga muerta.
<b>CS</b>	Carga por acciones sísmicas, según E.030 – Diseño Sismorresistente.
<b>C</b>	Factor de amplificación sísmica.
<b><math>F_i</math></b>	Fuerza sísmica horizontal en el nivel “i”.
<b><math>g</math></b>	Aceleración de la gravedad.
<b><math>h_i</math></b>	Altura del nivel “i” con relación al nivel del terreno.
<b>P</b>	Peso total de la edificación.
<b><math>P_i</math></b>	Peso del nivel “i”.
<b>R</b>	Coeficiente de reducción de las fuerzas sísmicas.
<b>S</b>	Factor de amplificación del suelo.
<b><math>Sa</math></b>	Espectro de pseudo aceleraciones.
<b>T</b>	Período fundamental de la estructura para el análisis estático o período de un modo en el análisis dinámico.
<b><math>T_p</math></b>	Período que define la plataforma del factor C.
<b><math>T_L</math></b>	Período que define el inicio de la zona del factor C con desplazamiento constante.
<b>U</b>	Factor de uso o importancia.
<b>V</b>	Fuerza cortante en la base de la estructura.
<b>Z</b>	Factor de zona.
<b><math>Ro</math></b>	Coeficiente básico de reducción de las fuerzas sísmicas.
<b><math>I_a</math></b>	Factor de irregularidad en altura.
<b><math>I_p</math></b>	Factor de irregularidad en planta.
<b><math>\Delta</math></b>	Desplazamiento lateral relativo (deriva) medido entre la parte superior e inferior de un piso debida a las fuerzas laterales, calculado por medio de un análisis estructural.
<b><math>D_f</math></b>	Distancia vertical desde la superficie del terreno hasta y el extremo de la cimentación.
<b><math>\sigma_a</math></b>	Capacidad portante del suelo.
<b><math>bw</math></b>	Ancho del alma o diámetro de la sección circular.

- c*** Distancia medida desde la fibra extrema en compresión al eje neutro.  
***d*** Distancia desde la fibra extrema en compresión hasta el centroide del refuerzo longitudinal en tracción.  
***f'c*** Resistencia especificada a la compresión del concreto, (kg/cm<sup>2</sup>).  
***fy*** Resistencia especificada a la fluencia del refuerzo, (kg/cm<sup>2</sup>).  
***L<sub>n</sub>*** Luz libre entre apoyos.  
***M<sub>u</sub>*** Momento ultimo requerido o actuante.  
***ΦM<sub>n</sub>*** Momento resistente nominal de la sección analizada.  
***P<sub>n</sub>*** Resistencia axial nominal de la sección transversal.  
***P<sub>u</sub>*** Fuerza axial amplificada; debe tomarse como positiva para compresión y negativa para tracción.  
***S*** Espaciamiento medido centro a centro de unidades tales como refuerzo longitudinal, refuerzo transversal.  
***V<sub>u</sub>*** Cortante ultimo requerido o actuante.  
***V<sub>ud</sub>*** Cortante ultimo requerido o actuante a una distancia “d” de la cara del apoyo.  
***ΦV<sub>c</sub>*** Resistencia nominal al cortante proporcionada por el concreto.  
***V<sub>s</sub>*** Resistencia nominal a cortante proporcionada por el refuerzo de cortante.  
***t*** Espesor de una pared y/o muro de una sección.  
***W<sub>u</sub>*** Carga amplificada por unidad de longitud de viga o losa.  
***β<sub>1</sub>*** Coeficiente en función a la resistencia de compresión del concreto.  
***ω*** Cuantía mecánica.  
***ρ*** Cuantía del área de refuerzo distribuido al área bruta de concreto de una sección.  
***ρ<sub>b</sub>*** Cuantía del área de refuerzo evaluada sobre el área “bx d” que produce condiciones balanceadas de deformación unitaria.  
***Φ*** Factor de reducción de capacidad o resistencia según el tipo de solicitud.

## RESUMEN

En el presente trabajo de suficiencia profesional, se planteó como problema general: ¿Cuáles son los resultados al realizar un análisis y diseño sísmico estructural, empleando la Norma Técnica E.030-2018, en la edificación de la Gerencia Sub Regional de Churcampa - Huancavelica? Cuyo objetivo general consistió en: Determinar los resultados del análisis y diseño sísmico estructural, empleando la Norma Técnica E.030-2018, en la edificación de la Gerencia Sub Regional de Churcampa - Huancavelica.

Respecto a la metodología de estudio, el tipo fue aplicada a nivel descriptivo-explicativo, con diseño del estudio no experimental; la población estuvo conformado por la edificación de la Gerencia Sub Regional de Churcampa, y la muestra considerado por la parte estructural de la edificación.

Producto del estudio se concluye que: El análisis y diseño sísmico estructural realizado en la edificación de la Gerencia Sub Regional de Churcampa, cumple con la funcionalidad y seguridad estructural en concordancia a lo requerido para el diseño sismorresistente - NTE E.030 y diseño estructural en concreto armado – NTE E.060.

**Palabras claves:** Análisis sísmico, estructura sismorresistente y diseño estructural.

## ABSTRACT

In the present work of professional sufficiency, the following was raised as a general problem: What are the results when carrying out a structural seismic analysis and design, using Technical Standard E.030-2018, in the construction of the Sub Regional Management of Churcampa - Huancavelica? Whose general objective consisted of: Determining the results of the analysis and structural seismic design, using Technical Standard E.030-2018, in the construction of the Sub-Regional Management of Churcampa - Huancavelica.

Regarding the study methodology, the type was applied at a descriptive-explanatory level, with a non-experimental study design; The population was made up of the building of the Sub-Regional Management of Churcampa, and the sample considered by the structural part of the building.

As a result of the study, it is concluded that: The analysis and structural seismic design carried out in the building of the Sub Regional Management of Churcampa, complies with the functionality and structural safety in accordance with what is required for the earthquake resistant design - NTE E.030 and structural design in reinforced concrete - NTE E.060.

**Keywords:** Seismic analysis, earthquake resistant structure and structural design.

## INTRODUCCIÓN

El presente trabajo de suficiencia profesional titulado: “Análisis y diseño sísmico estructural, de la Gerencia Sub Regional de Churcampa empleando la nueva norma E.030-2018, Huancavelica”, se realizó con la finalidad promover una nueva estructura organizacional en el Gobierno Regional de Huancavelica, como un instrumento de gestión que permita fomentar el desarrollo regional integral sostenible.

Situación que constituye un problema debido a la calidad y antigüedad de los locales cuya infraestructura responde a otro uso. Esta situación determina limitaciones en la prestación del servicio, por lo que resulta necesario contar con una infraestructura adecuada para la función administrativa de la Gerencia Sub Regional Churcampa, de tal manera que concentre los diferentes órganos administrativos y que cumpla con las expectativas de confort del personal y público usuario.

Otra causa no menos importante es que el Perú está localizado en una zona de alta amenaza sísmica, donde los sismos representan uno de los factores que ocasionan mayor número de problemas que se deben resolver, como daño a las construcciones y pérdida de vidas humanas.

Por consiguiente realizar el análisis y diseño sísmico estructural de una edificación es muy importante ya que se establece requisitos, criterios de estructuración, procedimientos adecuados de análisis para el diseño sismorresistente y protección en base a considerar los factores que influyen en la respuesta sísmica de los edificios, como zona de proyecto, uso de edificación, tipo de suelo, configuración estructural e irregulares en planta y altura, también supervisión de los materiales utilizados y los procesos constructivos adecuados.

Para mejor entendimiento el estudio fue realizado en cuatro capítulos.

**En el capítulo I:** Titulado PLANTEAMIENTO DEL PROBLEMA, se detalla el problema general y específicos, seguido del objetivo general y específicos, posteriormente se da a conocer la justificación práctica y metodológica, para

finalizar este capítulo se menciona la delimitación espacial, temporal y económica.

**En el capítulo II:** Titulado MARCO TEÓRICO, hace referencias a los antecedentes nacionales e internacionales, seguidamente del marco conceptual que se emplea en el presente estudio.

**En el capítulo III:** Titulado METODOLOGÍA, se detalla el tipo de estudio, nivel, diseño, técnicas e instrumentos de recolección y análisis de datos. Y para finalizar abordamos la población, muestra.

**En el capítulo IV:** Titulado DESARROLLO DEL INFORME, se da a conocer el desarrollo del trabajo de suficiencia profesional, el cual está sub dividido en las características principales de la edificación a diseñar; la estructuración, el predimensionamiento de los diferentes elementos estructurales, análisis sísmico, control de desplazamientos relativos de entrepiso, diseño de elementos estructurales, seguidamente se exponen la discusión de los resultados.

Finalmente se da a conocer las conclusiones, recomendaciones, referencias bibliográficas y anexos.

**Bach. Jhon Ronald Pérez Mallma**

## **CAPÍTULO I**

### **PLANTEAMIENTO DEL PROBLEMA**

El Gobierno Regional de Huancavelica, promueve una nueva estructura organizacional, como instrumento de gestión que permita fomentar el desarrollo regional integral sostenible, de acuerdo con los planes y programas de desarrollo; a través de la descentralización administrativa, técnica y económica hacia los órganos desconcentrados, dotando a cada provincia de una Gerencia Sub Regional con un esquema organizativo que permita una gestión multisectorial y a su vez constituye en el plano económico una unidad ejecutora.

Situación que constituye un problema debido a la calidad y antigüedad de los locales cuya infraestructura responde a otro uso, así mismo, encontrándose sus oficinas distribuidos en diferentes instituciones del lugar. Esta situación determina limitaciones en la prestación del servicio, por lo que resulta necesario contar con una infraestructura adecuada para la función administrativa de la Gerencia Sub Regional Churcampa, de tal manera que concentre los diferentes órganos administrativos y que cumpla con las expectativas de confort del personal y público usuario.

Otra causa no menos importante es que el Perú está localizado en una zona de alta amenaza sísmica por pertenecer al cinturón sísmico circunpacífico región en

la que se producen más del 80% de los sismos de origen tectónico en el mundo, en esta zona se da la zona de convergencia de subducción de la Placa Oceánica de Nazca que se introduce por debajo de la Placa Continental sudamericana generando terremotos de magnitud elevada.

Los sismos representan uno de los factores que ocasionan mayor número de problemas que se deben resolver, como daño a las construcciones y pérdida de vidas humanas, estas se incrementan por un deficiente comportamiento sísmico de las estructuras, dicho comportamiento deficiente puede dar lugar a colapsos parciales e incluso total de las estructuras.

## **1.1. Problema**

### **1.1.1. Problema general**

¿Cuáles son los resultados al realizar un análisis y diseño sísmico estructural, empleando la Norma Técnica E.030-2018, en la edificación de la Gerencia Sub Regional de Churcampa - Huancavelica?

### **1.1.2. Problemas específicos**

- a) ¿Cuáles son los resultados de realizar un análisis sísmico estático y un análisis sísmico dinámico?
- b) ¿Cuáles son los desplazamientos relativos de entrepiso obtenidos mediante un análisis sísmico dinámico?
- c) ¿De qué manera se generan los esfuerzos internos máximos en los diferentes elementos estructurales?

## **1.2. Objetivos**

### **1.2.1. Objetivo general**

Determinar los resultados del análisis y diseño sísmico estructural, empleando la Norma Técnica E.030-2018, en la edificación de la Gerencia Sub Regional de Churcampa - Huancavelica.

### **1.2.2. Objetivos específicos**

- a) Evaluar los resultados del análisis sísmico estático y el análisis sísmico dinámico.
- b) Controlar los desplazamientos relativos de entrepiso, obtenidos mediante un análisis sísmico dinámico.
- c) Diseñar los diferentes elementos estructurales en base a los esfuerzos internos máximos obtenidos.

## **1.3. Justificación**

### **1.3.1. Justificación práctica**

El presente trabajo de suficiencia profesional se desarrolló porque existe la necesidad de contar con una edificación sismorresistente, a fin de poder evitar las pérdidas humanas, y minimizar los daños a la propiedad.

Finalmente contar con una edificación moderna que reúna las condiciones para la prestación de servicios y un desarrollo adecuado de los órganos administrativos de la Gerencia Sub Regional Churcampa.

### **1.3.2. Justificación metodológica**

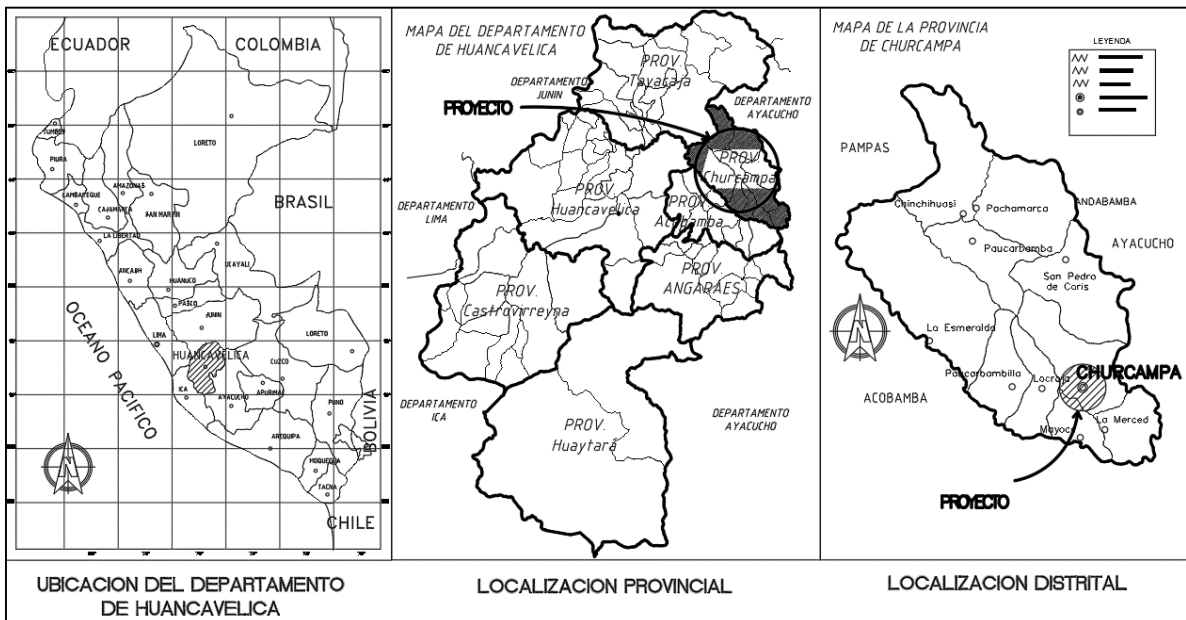
Para el desarrollo del trabajo de suficiencia profesional, se hará uso de metodologías propias para la recolección de datos, y para el procesamiento de información, justificando de esta forma la parte metodológica, así mismo pueden servir de base para otras investigaciones de igual o similar estudio.

## **1.4. Delimitación**

### **1.4.1. Delimitación espacial**

El desarrollo de este trabajo de suficiencia profesional se llevó a cabo en:

- Departamento : Huancavelica
- Provincia : Churcampa.
- Distrito : Churcampa.
- Proyecto : Jr. 28 de Julio N° 720.



**Figura 1.** Ubicación geográfica del proyecto.

**Fuente:** Expediente técnico.

#### 1.4.2. Delimitación temporal

Los datos para el trabajo de suficiencia profesional se desarrollaron a partir del mes de octubre del año 2019 a junio del 2020.

#### 1.4.3. Delimitación económica

Los gastos que se incurran con la finalidad de desarrollar el presente trabajo fueron cubiertos en su totalidad por el Bach. Jhon Ronald Pérez Mallma.

## CAPÍTULO II

### MARCO TEÓRICO

#### 2.1. Antecedentes

##### 2.1.1. Antecedentes nacionales

- a. Cabrera, A., Bazán, J. (2019) *Diseño estructural de un edificio de concreto armado para residencia estudiantil y locales comerciales de ocho niveles en San Miguel*. Tesis para optar el Título de Ingeniero Civil. Pontificia Universidad católica del Perú. Los autores tienen como objetivo realizar el análisis y diseño estructural de un edificio de concreto armado de ocho niveles, destinado a locales comerciales en el primer piso y como residencia estudiantil en los niveles siguientes. Donde se efectuó el modelamiento y análisis sísmico la estructura en el programa ETABS, de manera que se cumpla con los lineamientos establecidos en la Norma E.030. Para el diseño en concreto armado de la estructura se utilizaron los métodos de diseño por resistencia y por capacidad de la Norma E.060.

Producto de su investigación concluyó que:

- Debido a que aún no es posible predecir con exactitud cuándo, dónde y con qué intensidad ocurrirá un sismo, es preferible que la estructura adopte una configuración simple, ya que mejora su comportamiento y se podrá realizar un modelamiento sencillo.
- Por otro lado, el análisis sísmico realizado fue un proceso iterativo, en el cual se variaron las dimensiones y ubicación de los elementos estructurales para evitar irregularidades o exceder la deriva máxima permisible y cumplir con las exigencias de la Norma E 0.30.

**b.** Acosta, J., Balcázar, J. (2019) *Diseño estructural de un edificio de concreto armado de ocho pisos en Huancayo*.

Tesis para optar el Título de Ingeniero Civil. Pontificia Universidad católica del Perú. Los autores tienen por objetivo realizar el análisis y diseño estructural de un edificio de concreto armado de 8 pisos destinado a oficinas, ubicado en el distrito y provincia de Huancayo. Se realizó un modelo pseudotridimensional mediante el programa ETABS 2017 para analizar el edificio por cargas de gravedad y sismo. El análisis y diseño se realizaron de acuerdo a los requerimientos del Reglamento Nacional de Edificaciones (RNE) y cumpliendo con los requisitos sismo resistentes señalados en la norma E.030, verificando la resistencia de los elementos de concreto armado según la norma E.060.

Producto de su investigación concluyó que:

- Las placas absorben más del 80% de la cortante basal en las 2 direcciones de análisis, por lo cual el sistema asumido de muros estructurales y su correspondiente coeficiente básico de reducción ( $R_0$ ) son adecuados.

- En las vigas peraltadas, es muy importante el diseño de corte por capacidad, ya que estos generalmente son mayores a los valores de las envolventes.
  - La intensidad de los momentos flectores, fuerzas cortantes y axiales disminuyen a mayor altura. Por lo tanto, en los primeros niveles de la estructura, se colocaron varillas de acero de mayor diámetro en los núcleos confinados de las placas, de esta manera se logró optimizar las varillas de acero.
- c. Rivera, K. (2018) ***Estudio comparativo entre el análisis sísmico estático y dinámico para una estructura regular mayor de 30m de altura en la ciudad de Huancayo.*** Tesis para optar Título Profesional de Ingeniero Civil. Universidad Continental.

El autor tiene como objetivo general:

- Realizar un estudio comparativo y determinar las diferencias entre el análisis sísmico estático y dinámico para una estructura regular mayor de 30 m de altura en la ciudad de Huancayo.

El autor tiene como objetivos específicos:

- Realizar un análisis comparativo y determinar las diferencias entre las fuerzas cortantes basales de un análisis sísmico estático y dinámico para esta estructura regular mayor de 30 m de altura.
- Determinar la importancia de un análisis sísmico dinámico para esta estructura regular mayor de 30 m de altura.

Producto de su investigación concluyó que:

- El uso del método sísmico estático presenta mayores valores de cortante basal, desplazamientos y fuerzas

internas con respecto a un análisis dinámico en la estructura, obligándose de esta forma a considerar mayor sección en los elementos estructurales, por ende, mayor costo en la construcción además de que el comportamiento estructural se aleja de la realidad.

- Así mismo menciona la importancia de un análisis dinámico modal espectral en esta estructura, ya que se obtiene respuestas máximas esperadas en la edificación, y por ende tiene un comportamiento estructural más cercano a la realidad.

### 2.1.2. Antecedentes internacionales

- a. Colimba, P., Choca, F. (2016) **Diseño estructural de un edificio de 4 pisos en acero para proyecto de vivienda masivo.** Proyecto para la obtención del Título de Ingeniero Mecánico. Escuela Politécnica Nacional de Ecuador. Los autores tienen como objetivo de realizar el diseño estructural de un edificio tipo en acero bajo condiciones y requerimientos específicos de diseño tanto arquitectónico como estructurales, el cual cumpla con las normativas ecuatorianas e internacionales de la construcción.

Producto de su investigación concluyo que:

- El diseño seleccionado cumple con las condiciones de diseño de la Norma Ecuatoriana de Construcción (NEC 15) y normativas internacionales de diseño de estructuras de acero, con el propósito de evitar cuantiosas pérdidas humanas y materiales.
- Se establece que la estructura diseñada se puede implementar en diferentes lugares del país como estructura tipo, siempre y cuando se cumpla las condiciones de diseño y los factores externos no varíen en proporciones considerables (Condiciones sísmicas y de suelo).

**b.** Ortiz, E. (2012) *Diseño estructural sismo resistente de los edificios de departamentos de hormigón armado “Limburg Platz” de la ciudad de Quito*. Trabajo de Investigación previo a la obtención del Título de Ingeniero Civil. Universidad Técnica de Ambato. El autor tiene por objetivo realizar un diseño estructural sismo resistente, para garantizar la seguridad de los ocupantes; iniciando con el estudio de los planos arquitectónicos, el estudio de suelos y basado en las normas del Código ACI318-05 y el Código Ecuatoriano de la Construcción (CEC-2002).

Producto de su investigación concluyo que:

- El crecimiento poblacional urbano de la Ciudad de Quito en los últimos años exige el diseño de nuevos proyectos y estructuras que permitan el desarrollo de la población y el desarrollo económico.
- Debido a que el Ecuador se encuentra en una zona de alto riesgo sísmico, y sobre todo a los últimos acontecimientos ocurridos en la región andina, concluimos que la mayoría de las estructuras construidas en el país no cumplen con los requerimientos recomendados por los códigos de diseño sísmico aplicados local y mundialmente.

**c.** Alvarado, L., Pineda, S., Ventura, J. (2004) *Diseño de elementos estructurales en edificios de concreto reforzado*. Tema de trabajo de graduación para optar el Título de Ingeniero Civil. Universidad de el salvador. Los autores tienen como objetivo de investigación presentar la explicación del proceso de diseño estructural de una obra civil, en sus diferentes etapas de estructuración, análisis y dimensionamiento, y la secuencia temporal de las mismas. En este contexto presentan una reseña de lo que es el “Reglamento para la Seguridad Estructural de las

Construcciones” de su país, y del código ACI 318-02. De acuerdo al alcance del su trabajo, se presentan requisitos, criterios, procedimientos de diseño de elementos estructurales, y requerimientos especiales para diseño sísmico.

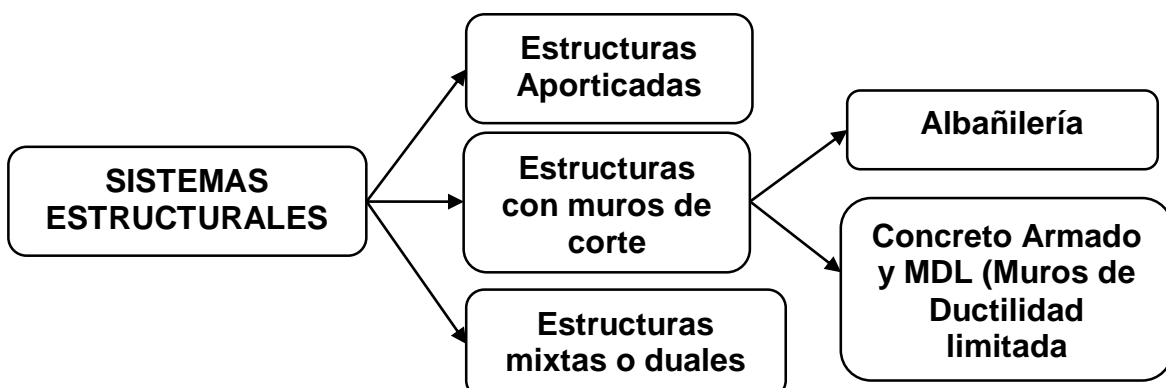
Producto de su investigación concluyo que:

- Este trabajo de graduación no se considera suficiente en contenido ni en profundidad para garantizar un aprendizaje avanzado en el tema de diseño de estructuras de concreto. Se considera, sin embargo, haber cumplido con el objetivo de facilitar a los estudiantes una información valiosa como introducción a estos temas.
- La importancia de la utilización de programas de ingeniería ya que ofrecen realizar un diseño satisfactorio y eficiente en corto tiempo. Sin embargo, la exactitud y precisión del diseño en general, depende del conocimiento y compresión de la metodología de cálculo de cada elemento estructural en cuestión, para hacer buen uso de los mismos.

## 2.2. Marco conceptual

### 2.2.1. Sistemas estructurales

La Norma Técnica E.030-2018, Diseño Sismorresistente, considera tres tipos de sistemas estructurales, a saber: Sistema estructural aporticado, sistema estructural mixto, y sistema estructural con muros estructurales de corte. (NTE E.030, 2018, p.14)



*Figura 2.* Sistemas estructurales.

Fuente: NTE E.030, Diseño Sismorresistente.

### 2.2.2. Método de análisis sísmico

Por la forma como se aplica la carga sísmica a la estructura, existen dos métodos de análisis sísmico; análisis sísmico estático y análisis sísmico dinámico. El primero es el de las Fuerzas Estáticas Equivalentes de fácil aplicación y el segundo método referido al análisis modal espectral y/o tiempo-historia, considerados la NTE E.030, diseño sismorresistente. (NTE E.030, 2018, p.21)



*Figura 3.* Método de análisis sísmico.

Fuente: NTE E.030, Diseño Sismorresistente.

### **2.2.3. Análisis sísmico estático**

Según la Norma Técnica E.030-2018, el Análisis Estático es un método que permite representar las fuerzas sísmicas mediante un conjunto de fuerzas horizontales actuando en el centro de masas de cada nivel de la edificación.

Se debe precisar que este método pierde precisión en estructuras elevadas. La Norma Técnica E.030-2018 señala que se podrá diseñar con el análisis estático estructuras regulares de no más de 30m y estructuras irregulares de no más de 15 m. (NTE E.030, 2018, p.21)

#### **A. Periodo fundamental de vibración**

Es uno de los parámetros de mayor influencia en los resultados del análisis, el periodo fundamental de vibración para cada dirección se estimará con la siguiente expresión aproximada. (NTE E.030, 2018, p.22)

$$T = \frac{h_n}{C_T}; \rightarrow \text{Donde: } \left\{ \begin{array}{l} h_n = \text{Altura de la edificación (NTN} \pm 0.00) \\ C_T = \text{Coef. que depende del tipo de} \\ \quad \text{elemento estructural} \\ C_T = 35, (\text{Portico de concreto armado}) \\ C_T = 45, (\text{Portico de concreto armado con} \\ \quad \text{muros en las cajas de ascensores y escaleras}) \\ C_T = 60, (\text{Albañileria, Diales, Muros estructurales} \\ \quad \text{Muros de ductilidad limitada}) \end{array} \right.$$

#### **B. Masa de la edificación**

La masa de la edificación (P), se calculará adicionando a la carga permanente y total de la edificación un porcentaje de la carga viva o sobrecarga que se indica en la tabla. NTE E.030, 2018, p.20)

**Tabla 1**  
*Estimación de masa sísmica.*

<b>Masa de la edificación</b>	
<b>Tipo de edificación</b>	<b>% De la carga viva</b>
Esenciales e importantes	50 % CV
comunes	25 % CV
depósitos	80 % CV
Azoteas y techos	25 % CV
Tanques, silos y similares.	100 % de la carga que puede contener.

**Fuente:** NTE E.030, Diseño Sismorresistente.

### C. Fuerza cortante en la base

Una vez determinado el periodo fundamental de vibración, se determina el factor de amplificación de aceleraciones “C”. Luego de acuerdo al sistema estructural que se emplee se establece el valor de C/R, lo cual debe ser mayor a 0.11.

Luego conociendo la ubicación y el suelo del proyecto, así como su importancia, se determinarán los valores de “Z”, “S” y “U”.

Finalmente, con el peso de la estructura “P” y los factores señalados de determina la fuerza cortante en la base del edificio, “V”. (NTE E.030, 2018, p.21)

La cortante basal se calculará mediante:

$$V = \frac{ZUCS}{R} P, \quad \text{Donde } \frac{C}{R} \geq 0.11$$

Donde:  $\left\{ \begin{array}{l} V = \text{Fuerza cortante en la base de la estructura} \\ Z = \text{Factor de zona} \\ U = \text{Factor de uso e importancia} \\ S = \text{Factor de Suelo} \\ C = \text{Coef. de amplificación sísmica} \\ R = \text{Coef. de reducción sísmica.} \\ P = \text{Masa de la edificación.} \end{array} \right.$

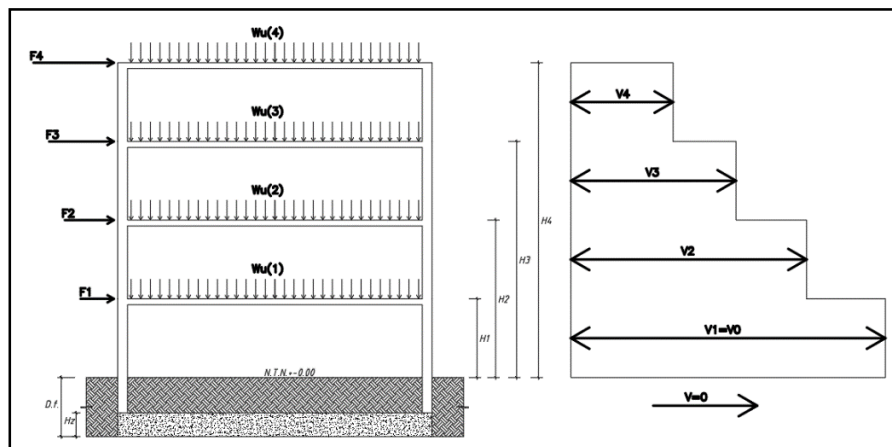
## D. Distribución de la fuerza sísmica en altura

La fuerza cortante en la base “V” representa también la fuerza total actuante sobre el edificio que luego debe distribuirse en la altura del edificio, se calcula mediante:

$$F_i = \alpha_i * V, \text{ Donde } \rightarrow \alpha_i = \frac{P_i(h_i)^k}{\sum_{j=1}^n P_j(h_j)^k}$$

Donde “n” es el número de pisos del edificio, “k” es un exponente relacionado con el período fundamental de vibración de la estructura (T), en la dirección considerada, que se calcula de acuerdo a: (NTE E.030, 2018, p.21)

$$\begin{aligned} \text{Si, } T < 0.5 &\rightarrow k = 1.0 \\ \text{Si, } T > 0.5 &\rightarrow k = (0.75 + 0.5 * T) \leq 2.0 \end{aligned}$$



**Figura 4.** Esfuerzo de cortante basal en la construcción.

**Fuente:** Elaboración propia.

### 2.2.4. Análisis sísmico dinámico

El análisis de cualquier estructura se puede hacer empleando el análisis dinámico. El análisis sísmico dinámico de las edificaciones podrá realizarse mediante procedimientos de:

- Combinación espectral.
- Análisis tiempo-historia.

Para edificaciones convencionales podrá usarse el procedimiento de combinación espectral; y para análisis de edificaciones especiales deberá usarse un análisis tiempo-historia. (NTE E.030, 2018, p.23)

## **A. Análisis por combinación modal espectral**

### **a. Modos de vibración**

Se determinará los modos de vibración del edificio. Los períodos naturales y modos de vibración podrán determinarse por un procedimiento de análisis que considere apropiadamente las características de rigidez y la distribución de las masas de la estructura.

En cada dirección se considerarán aquellos modos de vibración cuya suma de masas efectivas sea por lo menos el 90 % de la masa total, pero deberá tomarse en cuenta por lo menos los tres primeros modos predominantes en la dirección de análisis. (NTE E.030, 2018, p.23)

### **b. Aceleración espectral**

Para cada una de las direcciones horizontales analizadas se utilizará un espectro inelástico de pseudo-aceleraciones definido por: (NTE E.030, 2018, p.24)

$$S_a = \frac{ZUCS}{R} g$$

### **c. Criterios de combinación**

Mediante los criterios de combinación que se indican, se podrá obtener la respuesta máxima elástica esperada ( $r$ ) tanto para las fuerzas internas en los elementos componentes de la estructura, como para los parámetros globales del edificio como fuerza cortante en la base,

cortantes de entrepiso, momentos de volteo, desplazamientos totales y relativos de entrepiso.

La respuesta máxima elástica esperada ( $r$ ) correspondiente al efecto conjunto de los diferentes modos de vibración empleados ( $r_i$ ) podrá determinarse usando la combinación cuadrática completa de los valores calculados para cada modo.

$$r = \sqrt{\sum \sum r_i * \rho_{ij} * r_j}$$

Donde  $r$  representa las respuestas modales, desplazamientos o fuerzas. Los coeficientes de correlación están dados por:

$$\rho_{ij} = \frac{8\beta^2(1+\lambda)\lambda^{3/2}}{(1+\lambda)^2 + 4\beta^2\lambda(1+\lambda)^2}; \lambda = \frac{\omega_j}{\omega_i}$$

$\beta$ , fracción del amortiguamiento crítico, que se puede suponer constante para todos los modos igual a 0,05.

$\omega_i, \omega_j$  son las frecuencias angulares de los modos  $i, j$

Alternativamente, la respuesta máxima podrá estimarse mediante la siguiente expresión. (NTE E.030, 2018, p.24)

$$r = 0.25 \sum_{i=1}^m |r_i| + 0.75 \sqrt{\sum_{i=1}^m r_i^2}$$

#### d. Fuerza cortante mínima

Para cada una de las direcciones consideradas en el análisis, la fuerza cortante en el primer entrepiso del edificio no podrá ser menor que el 80 % del valor calculado según el numeral 4.5 para estructuras regulares, ni menor que el 90 % para estructuras irregulares. Si fuera necesario incrementar el cortante para cumplir los mínimos señalados, se deberán escalar proporcionalmente todos los otros

resultados obtenidos, excepto los desplazamientos. (NTE E.030, 2018, p.25)

### **B. Determinación de desplazamientos laterales**

Para estructuras regulares, los desplazamientos laterales se calcularán multiplicando por 0,75 R los resultados obtenidos del análisis lineal y elástico con las solicitudes sísmicas reducidas. Para estructuras irregulares, los desplazamientos laterales se calcularán multiplicando por 0,85 R los resultados obtenidos del análisis lineal elástico. (NTE E.030, 2018, p.27)

### **C. Desplazamientos laterales relativos admisibles**

No deberá exceder la fracción de la altura de entrepiso (distorsión) que se indica en la Tabla 2. (NTE E.030, 2018, p.27)

**Tabla 2**  
*Límites para la distorsión de entrepiso.*

<b>Límites para la distorsión del entrepiso</b>	
<b>Material predominante</b>	$(\Delta_i / h_{e_i})$
Concreto armado	0.007
Acero (*)	0.010
Albañilería	0.005
Madera	0.010
Edificios de concreto armado con muros de ductilidad limitada	0.005

**Nota.** Los límites de la distorsión (deriva) para estructuras de uso industrial serán establecidos por el proyectista, pero en ningún caso excederán el doble de los valores de esta tabla.

**Fuente:** NTE E.030, Diseño Sismorresistente.

#### **D. Separación entre los edificios**

Toda estructura debe estar separada de las estructuras vecinas, desde el nivel del terreno natural, una distancia mínima  $s$  para evitar el contacto durante un movimiento sísmico.

Esta distancia no será menor que los 2/3 de la suma de los desplazamientos máximos de los edificios adyacentes ni menor que:

$$S = 0.006h \geq 0.03m$$

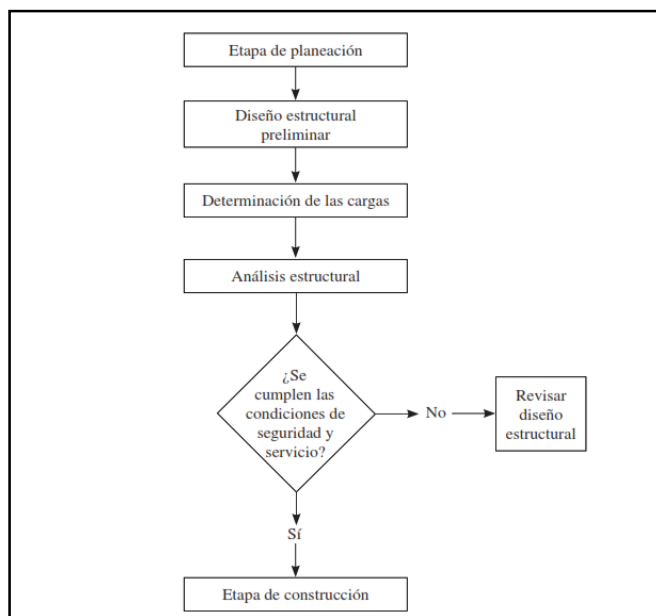
Donde “ $h$ ” es la altura medida desde el nivel del terreno natural hasta el nivel considerado para evaluar “ $S$ ”.

El edificio se retirará de los límites de propiedad adyacentes a otros lotes edificables, o con edificaciones, distancias no menores que 2/3 del desplazamiento máximo calculado según la determinación de desplazamientos laterales ni menores que  $s/2$ , si la edificación existente cuenta con una junta sísmica reglamentaria. En caso de que no exista la junta sísmica reglamentaria, el edificio deberá separarse de la edificación existente el valor de  $s/2$  que le corresponde más el valor  $s/2$  de la estructura vecina. (NTE E.030, 2018, p.27)

#### **2.2.5. Análisis estructural**

El análisis estructural es la predicción del desempeño de una estructura ante las cargas prescritas y/o efectos externos, tales como movimientos en los apoyos y cambios de temperatura. Las características de interés en el desempeño del diseño de las estructuras son esfuerzos o resultados de esfuerzos, tales como fuerzas axiales, fuerzas cortantes y momentos de flexión; deflexiones; y reacciones en los apoyos. Por lo tanto, el análisis de las estructuras por lo general implica la determinación de esas

cantidades como causa de una condición de carga. (Kassimali, 2015, p.3)



**Figura 5.** Etapas de un proyecto de ingeniería estructural

**Fuente:** Kassimali, A (2015). "Análisis estructural".

### 2.2.6. Criterios de estructuración

#### A. Simplicidad y simetría

Se ha demostrado por experiencia que la estructura debe de tener la mayor simplicidad y simetría, ya que permite la idealización mediante modelos sencillos y reales que permiten obtener respuestas más aproximadas, así como predecir su comportamiento ante un sismo. Se recomienda la simetría en ambas direcciones, pues la falta de simetría ocasiona efectos torsionales muy difíciles de predecir o evitar. (Blanco, 1995, p.5)

#### B. Resistencia y ductilidad

Se debe garantizar que la estructura tenga una buena estabilidad, por tal razón, debe existir sistema de resistencia sísmica en por lo menos dos direcciones ortogonales. Así, se asegura la transmisión de cargas mediante trayectorias

continuas y definidas que solo son posibles con la suficiente resistencia y rigidez de la estructura. A la estructura se le debe dotar una resistencia intermedia, menor a la máxima (más económico), pues permite obtener una estructura dúctil que disipe la energía transmitida por el sismo, de tal manera que permanezca en un nivel de desempeño operacional. (Blanco, 1995, p.7)

#### **C. Hiperestaticidad y monolitismo**

Se debe asegurar una disposición hiperestática en la estructura para tener una mayor capacidad resistente. Ello se logra a partir de la formación de rótulas plásticas que disipan de mejor manera la energía del sistema. (Blanco, 1995, p.8)

#### **D. Uniformidad y continuidad de estructura**

La estructura debe ser continua en planta y en elevación y se debe evitar cambios bruscos en la rigidez de los elementos que generen concentraciones de esfuerzos. (Blanco, 1995, p.9)

#### **E. Rigidez lateral**

Para evitar deformaciones laterales importantes debido a la acción de fuerzas laterales, la estructura debe tener elementos estructurales que aporten rigidez lateral en sus direcciones principales. Tanto las estructuras flexibles como las rígidas tienen sus ventajas y sus desventajas. Por ejemplo, en las flexibles, la ventaja es que tienen buena ductilidad y la desventaja es que las deformaciones laterales pueden ser más de lo permitido; en las rígidas, la ventaja es que no se tienen que aislar los elementos no estructurales y la desventaja es que las fuerzas laterales se concentran solo en algunas zonas, el cual la transmisión a la cimentación es crítica en dichas áreas concentradas. Por lo tanto, en edificios aporticados se incluyen

los muros de corte o placas para que así sea una combinación de estructura flexible con rígida. (Blanco, 1995, p.9)

#### **F. Existencia de diafragmas rígidos**

Cuando exista una fuerza lateral, toda la estructura debe comportarse como uno solo, teniendo la misma deformación en cada piso independientemente. Esto se logra al haber monolitismo entre las losas y vigas, así, estas losas no deben de sufrir grietas o aberturas muy grandes, pues estas debilitan la rigidez. (Blanco, 1995, p.10)

#### **G. Elementos no estructurales**

Estos elementos son necesarios para dar funcionalidad a la estructura, tales como los parapetos y tabiques, cuyos efectos en la estructura son favorables en algunos casos y desfavorables en otros. La ventaja es que ante un sismo estos se agrietan y así disipan la energía sísmica, además de aportar con un mayor amortiguamiento dinámico a la estructura. La desventaja es que aumenta el peso a la estructura y distorsionan la distribución supuesta de esfuerzos. Los tabiques, dentro de estructuras con muros de corte, son despreciables en el análisis, pues las rigideces son despreciables. En cambio, en estructuras aporticadas, los tabiques cumplen un papel importante en el análisis, pues éstas últimas pueden ser incluso más rígidas que la misma estructura. (Blanco, 1995, p.11)

##### **2.2.7. Diseño estructural**

El diseño estructural es un proceso mediante el cual se definen las características de un sistema de manera tal que cumpla con el objetivo de equilibrar las fuerzas a la que va a estar sometido, y resistir las solicitudes sin llegar al colapso o mal comportamiento de los elementos de la estructura (excesivas deformaciones).

En particular, el diseño estructural implica lo siguiente:

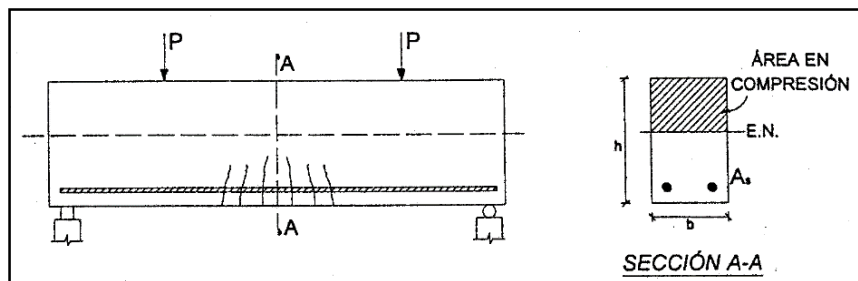
- Estructuración: Dimensiones de los elementos estructurales.
- Análisis: Se realiza con programas computacionales.
- Diseño: En base al análisis se obtienen elementos finales.
- Dibujo: Presentación de planos estructurales.
- Memoria de cálculo: Descripción de los estudios, parámetros, procedimientos y métodos de diseño utilizado.

#### 2.2.8. Método de diseño a la rotura

El método de diseño a la rotura o método de las cargas ultimas, establece el criterio adecuado para el diseño, proponiendo el método de diseño más usado a la actualidad.

Para el diseño por flexión debemos saber que el tipo de falla deseable es la falla dúctil con la cual la sección ha desarrollado grandes deformaciones. (Santana, 2014, p.IV-1)

##### A. Estados de rotura (colapso)



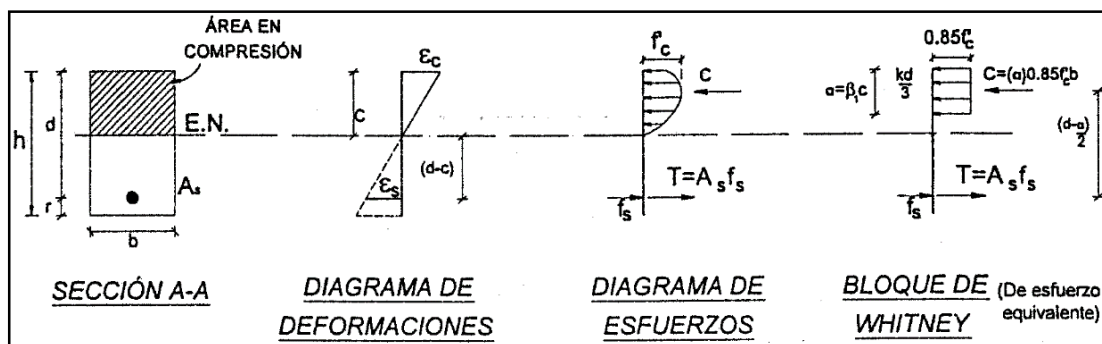
**Figura 6.** Estado de rotura - colapso.

**Fuente:** Santana, R (2014). "Concreto Armado, tratado práctico".

Al incrementar gradualmente la carga P, las grietas y el eje neutro continúan progresando hacia arriba, donde la relación de esfuerzos ya no es lineal sobre pasando los esfuerzos máximos permisibles, produciendo la falla del elemento. Esta puede producirse de tres maneras.

- **Falla por fluencia de acero** (falla del tipo dúctil).
- **Falla por aplastamiento del concreto** (falla del tipo frágil).
- **Falla balanceada** (falla simultánea de fluencia del acero y aplastamiento del concreto).

La distribución real de los esfuerzos en la sección tiene una forma parabólica, Whitney propuso que esta forma sea asumida como un bloque rectangular cuyas características se muestran en la figura. (Santana, 2014, p.IV-2)



*Figura 7.* Condición para una viga simplemente reforzada.

**Fuente:** Santana, R (2014). “Concreto Armado, tratado práctico”.

- **Valores de ( $\beta_1$ ):** mediante investigaciones experimentales se ha encontrado:

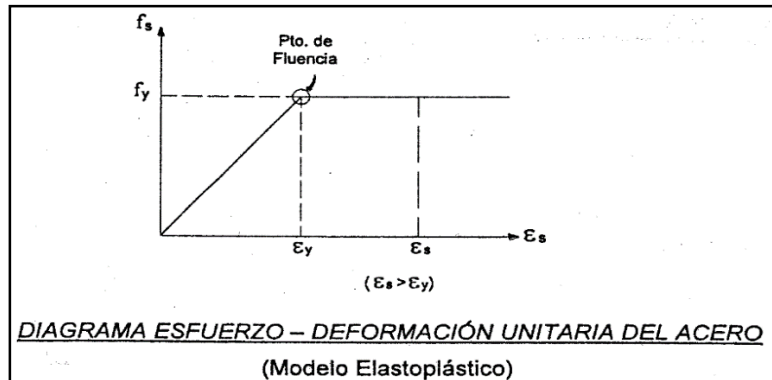
$$\beta_1 = \begin{cases} 0.85 & \text{para: } f'c \leq 280 \text{ kg/cm}^2 \\ 0.85 - 0.05 \left( \frac{f'c - 280}{70} \right) & \text{para: } 280 < f'c \leq 560 \text{ kg/cm}^2 \\ 0.65 & \text{para: } f'c > 560 \text{ kg/cm}^2 \end{cases}$$

#### a. Falla por fluencia de acero (falla dúctil)

$$\varepsilon_s = \varepsilon_y = 0.0021$$

Se presenta en vigas con poca cantidad de acero en donde se alcanza el esfuerzo de fluencia del acero antes que se haya agotado el esfuerzo de compresión del concreto.

En el elemento se producen grandes deformaciones, las grietas progresan hacia arriba disminuyendo la zona en compresión, hasta que se produce el aplastamiento del concreto (falla secundaria) y finalmente colapsa. Esta falla es de tipo Dúctil. (Santana, 2014, p.IV-2)



**Figura 8.** Esfuerzo-deformación unitaria del acero.

**Fuente:** Santana, R (2014). “Concreto Armado, tratado práctico”.

#### Del Equilibrio de fuerzas:

$$C = T, \quad f_s = f_y$$

$$a = \frac{A_s * f_y}{0.85 * f'c * b} \rightarrow \begin{cases} \rho = \frac{A_s}{b * d} \\ \omega = \rho * \frac{f_y}{f'c} = \frac{A_s * f_y}{f'c * b * d} \end{cases}$$

$$a = \frac{\omega * d}{0.85} \rightarrow a = \beta_1 * c$$

$$c = \frac{a}{\beta_1} \rightarrow c = \frac{\omega * d}{0.85 * \beta_1}, \text{ Ubicación del E. N. para falla dúctil.}$$

- **Momento resistente nominal de la sección (mn).**

- **En términos del Acero:**

$$M_n = A_s * f_y (d - \frac{a}{2})$$

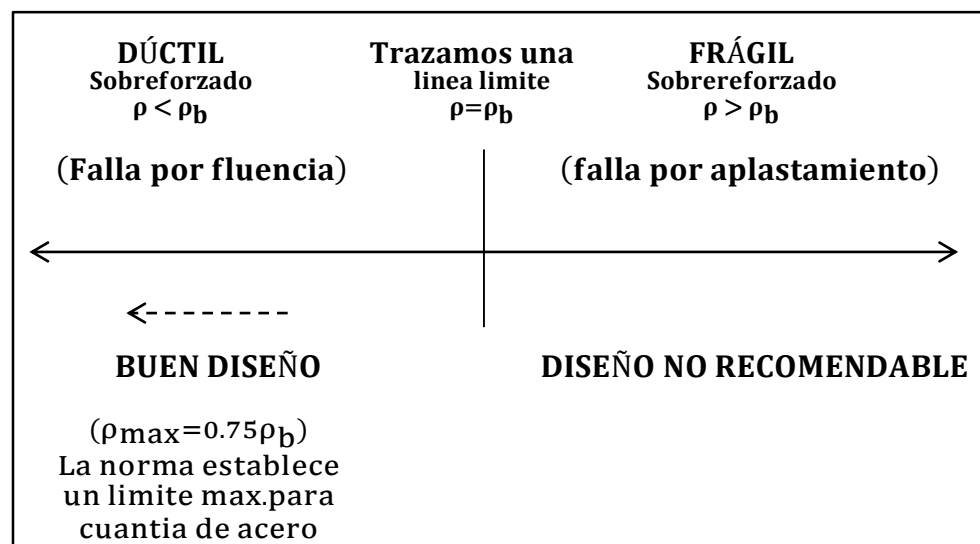
- **En términos del concreto:**

$$M_n = \omega * f'c * b * d^2 (1 - 0.59\omega)$$

## 2.2.9. Criterio general de diseño

Siendo el tipo de falla frágil de carácter explosivo, esta forma de colapso no es deseable puesto que no aviso de ocurrencia de la falla, estos mismos conceptos son aplicables para la falla balanceada, que siendo la frontera entre la falla dúctil y la falla frágil tiene las mismas características explosivas. Por estas razones todo buen diseño deberá conducir a una falla de tipo dúctil. (Santana, 2014, p.IV-8)

La Norma Peruana establece que el tipo de falla sea dúctil.



**Figura 9.** Criterio general de diseño.

**Fuente:** Santana, R (2014). "Concreto armado, tratado práctico".

## **CAPÍTULO III**

### **METODOLOGÍA**

#### **3.1. Tipo de estudio**

El tipo de estudio fue aplicado, porque se pretende encontrar requisitos, criterios y procedimientos adecuados para poder solucionar problemas de diseño estructural mediante un análisis sísmico y diseño sismorresistente.

#### **3.2. Nivel de estudio**

El nivel de estudio fue descriptivo-explicativo, porque se busca describir las propiedades y características más representativas del proyecto, y en explicar porque realizar un diseño sismorresistente que permita determinar la rigidez, resistencia y ductilidad adecuada.

#### **3.3. Diseño de estudio**

El diseño de estudio fue no experimental, porque se basa en la obtención de información sin manipular los valores de la variable, es decir tal y como se manifiestan las variables en la realidad.

### **3.4. Técnicas e instrumentos de recolección y análisis de datos**

#### **3.4.1. Técnicas de recolección de datos**

- Observación
- Análisis documentario

#### **3.4.2. Instrumentos de recolección de datos**

- Ficha de observación
- Revisión bibliográfica de libros

#### **3.4.3. Análisis de datos**

Para el análisis y procesamiento de datos se utilizarán modelos tabulares, numéricos y gráficos, además de softwares aplicativos de ingeniería donde se consideró.

- **Microsoft Excel 2016:** Se exportó cuadros, datos estadísticos de los resultados, datos obtenidos de las diferentes etapas en el proceso del desarrollo del presente trabajo de suficiencia profesional.
- **Microsoft Word 2016:** Con lo cual se elaboró la parte descriptiva del presente trabajo de suficiencia profesional.
- **Etabs V16.2.1 Y SAP2000 V21.1.0:** Permitió realizar un análisis sísmico estructural mediante un modelamiento virtual del proyecto en estudio.
- **Diansca V0.73:** Programa con el cual se realizó el diseño por flexión de losas aligeradas de 01; 02 direcciones y losas macizas.
- **Safe V12.3.2:** Programa que se usó para el dimensionamiento, análisis y diseño de la cimentación.
- **AutoCAD:** Permitió plasmar los resultados en planos de la especialidad de estructuras, como planos de cimentación, planos de losas, plano de vigas, y muros de corte, detalles de columnas, escalera y detalles de muro de contención.

### **3.5. Población y muestra**

#### **3.5.1. Población**

En el presente trabajo de suficiencia profesional la población está conformada por la edificación de la Gerencia Sub Regional de Churcampa.

#### **3.5.2. Muestra**

Se consideró la muestra de tipo no probabilística, intencional o dirigida, para efectos del desarrollo del presente trabajo de suficiencia profesional se consideró, la parte estructural de la Gerencia Sub Regional de Churcampa.

## **CAPÍTULO IV**

### **DESARROLLO DEL INFORME**

#### **4.1. Resultados**

##### **4.1.1. Descripción del proyecto**

###### **A. Nombre del proyecto**

**“Mejoramiento de la provisión del servicio público en la Gerencia Sub Regional Churcampa, provincia de Churcampa, departamento Huancavelica”. Componente 01.**

- **CODIGO SNIP**
  - 371146
- **Valor referencial**
  - S/.5,349,440.93
- **Plazo de ejecución**
  - 365 días calendarios (12 meses).
- **Modalidad de ejecución**
  - Administración Directa.

## B. Características principales de la edificación

El presente proyecto es un edificio de concreto armado de 03 bloques; Bloque I, 03 niveles más semisótano, Bloque II, 03 niveles más semisótano, Bloque III, 04 niveles más semisótano, destinado a oficinas, ubicado en el distrito y provincia de Churcampa.



**Figura 10.** Vista en 3D del proyecto.

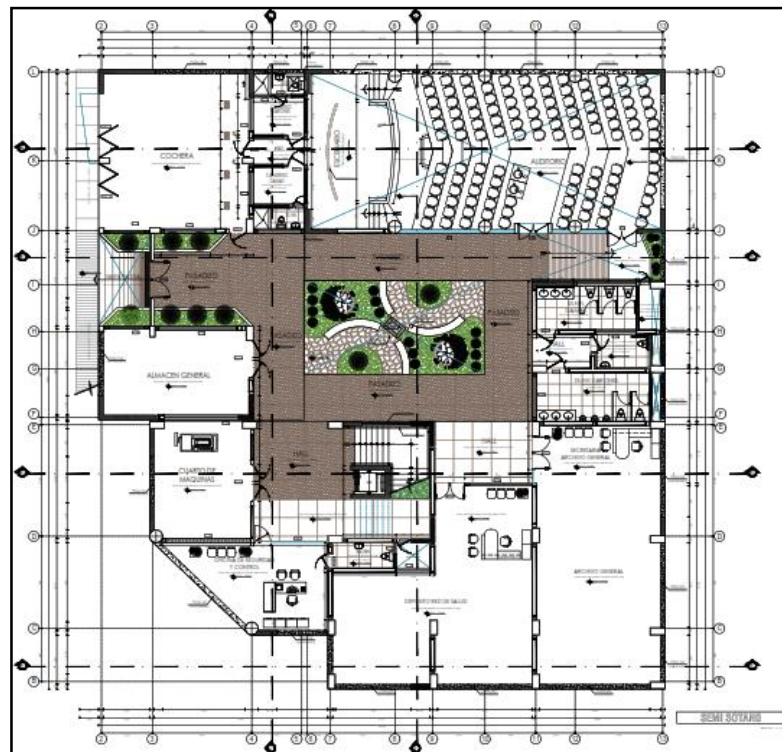
**Fuente:** Expediente técnico.

**Tabla 3**

*Resumen de características de la edificación.*

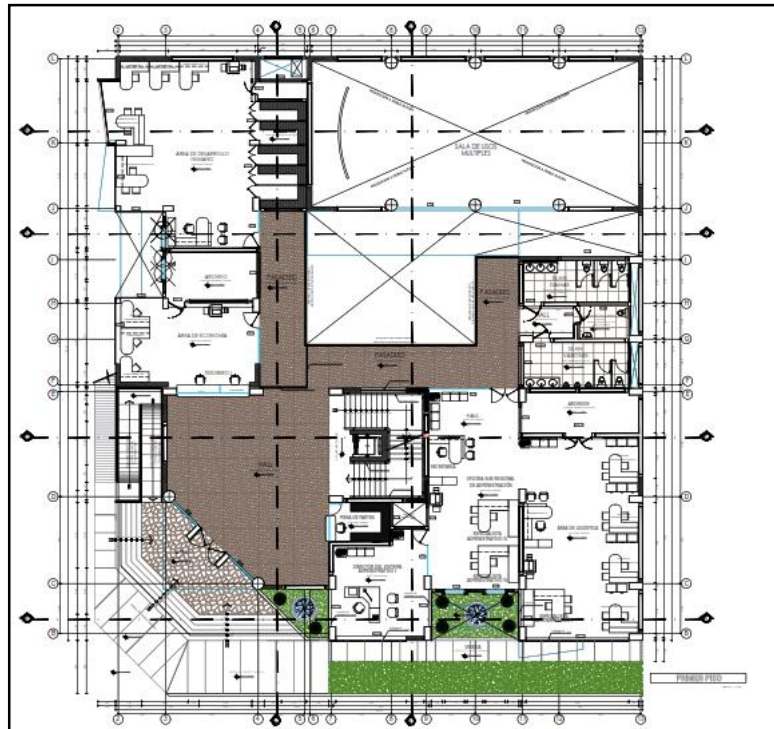
	Bloque - I	Bloque - II	Bloque - III
Tipo de proyecto	Oficinas (local municipal)		
Área del terreno	<b>1,000.00 m<sup>2</sup></b>		
Tipo de estructura	Muros estructurales	Muros estructurales	Muros estructurales
Número de niveles	01 semisótano + 03 niveles	01 semisótano + 03 niveles	01 semisótano + 04 niveles
Alturas de entrepiso	01 – 4.50m 02 – 4.38m 03 – 3.85m 04 – 3.85m	01 – 4.50m 02 – 4.38m 03 – 3.85m 04 – 3.85m	01 – 4.50m 02 – 4.38m 03 – 3.85m 04 – 3.85m 05 – 3.85m
Principales características	Auditorio, cafetín.	01 cochera.	01 ascensor.

**Fuente:** Elaboración propia.



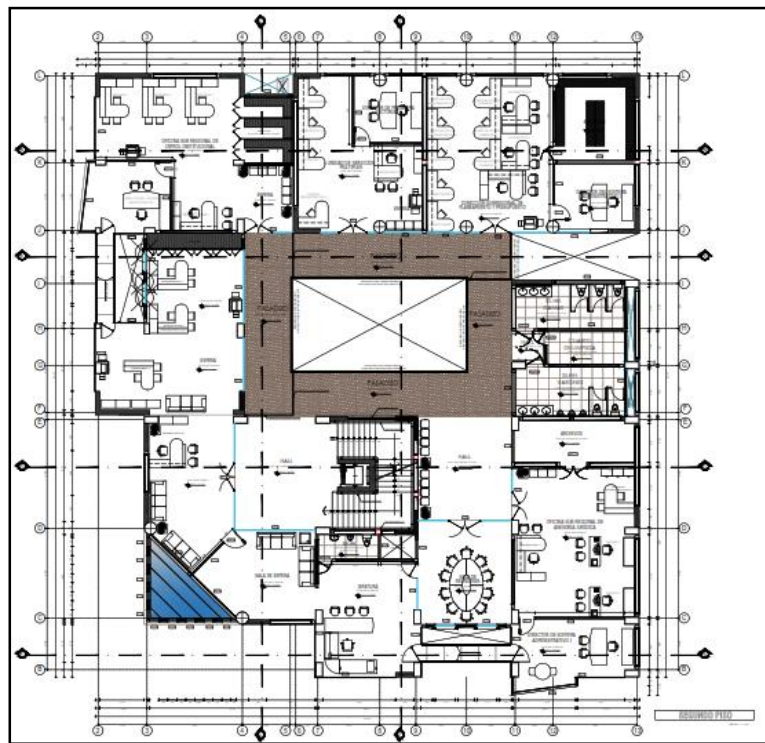
**Figura 11.** Arquitectura del semisótano.

**Fuente:** Expediente técnico.



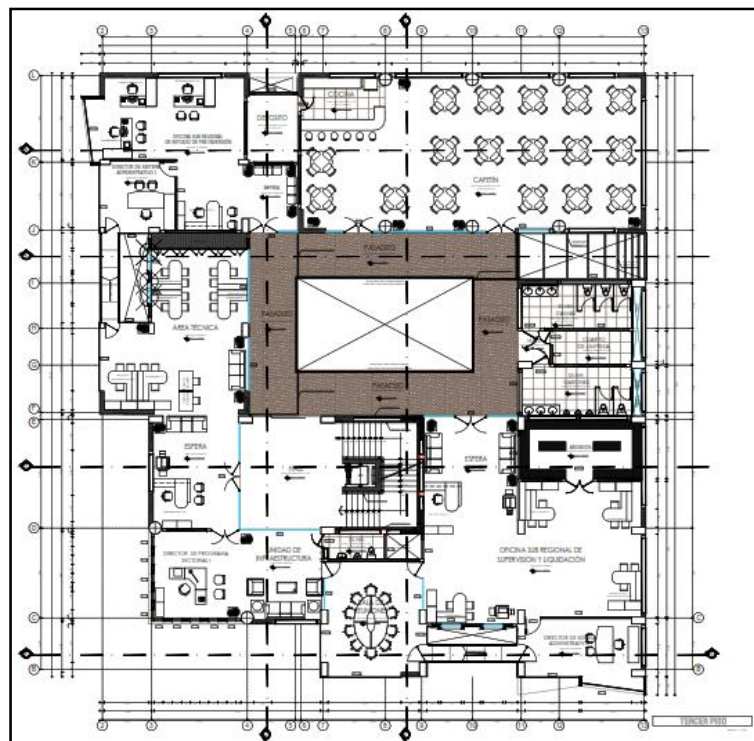
**Figura 12.** Arquitectura del primer piso.

**Fuente:** Expediente técnico.



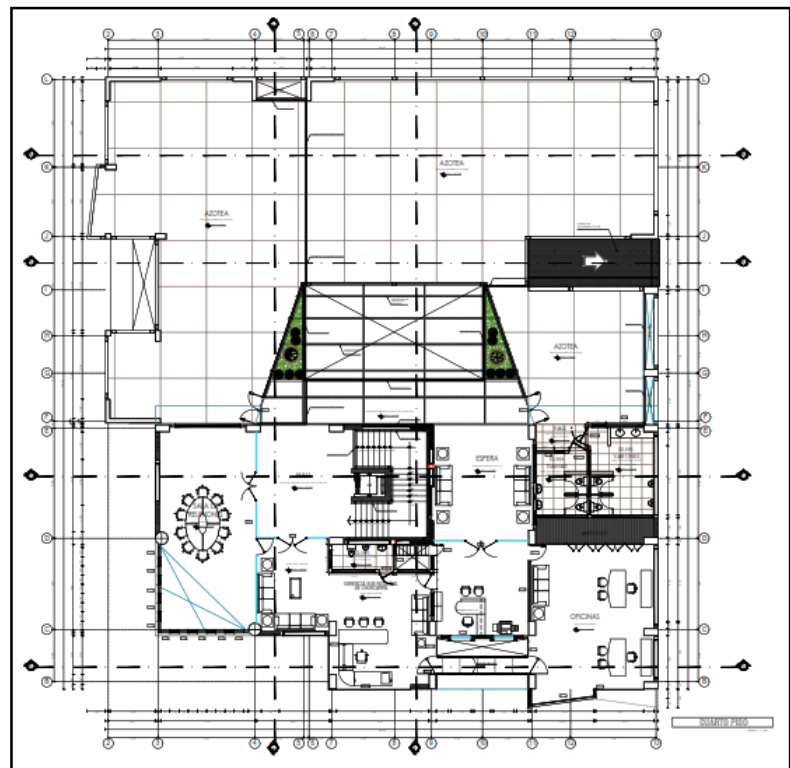
**Figura 13.** Arquitectura del segundo piso.

**Fuente:** Expediente técnico.



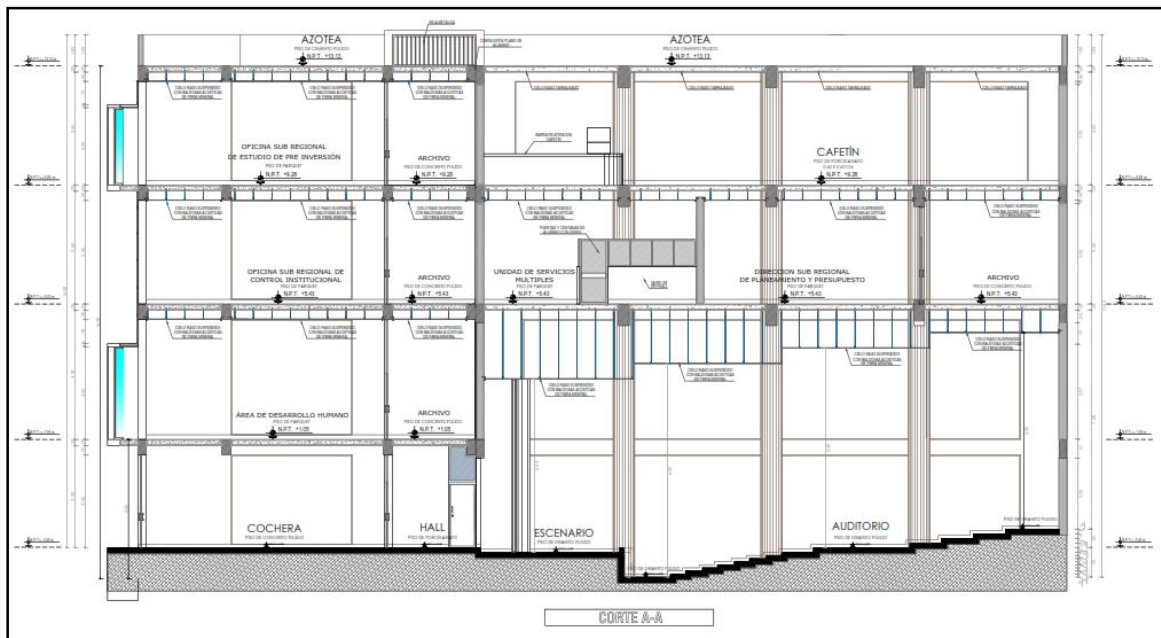
**Figura 14.** Arquitectura del tercer piso.

**Fuente:** Expediente técnico.



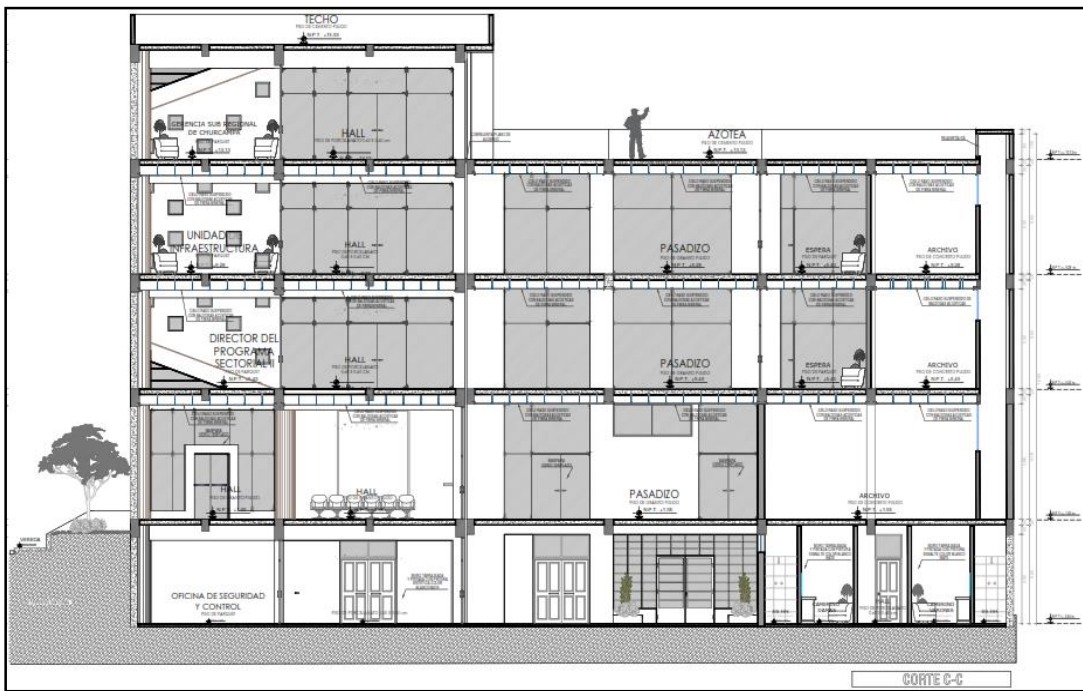
**Figura 15.** Arquitectura del cuarto piso.

**Fuente:** Expediente técnico.



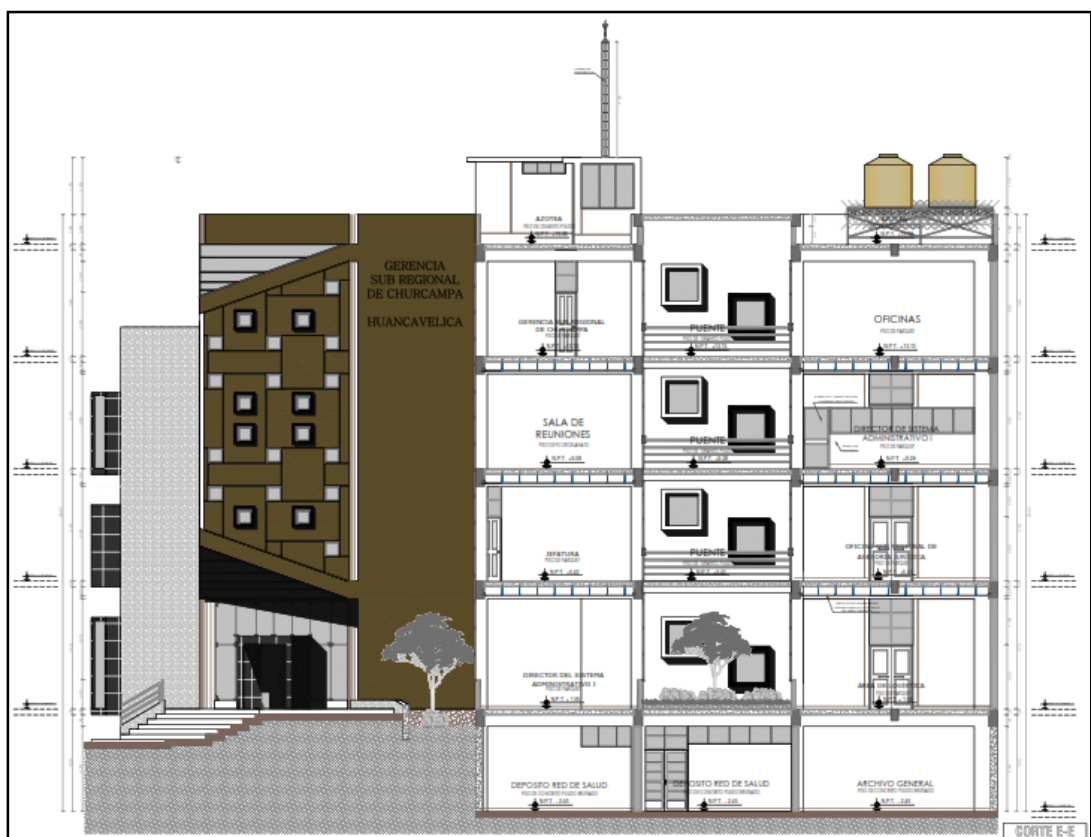
**Figura 16.** Arquitectura corte A-A.

**Fuente:** Expediente técnico.



**Figura 17.** Arquitectura corte C-C.

**Fuente:** Expediente técnico.



**Figura 18.** Arquitectura corte E-E.

**Fuente:** Expediente técnico.

### C. Normas a utilizar

De acuerdo con los requerimientos del Reglamento Nacional de Edificaciones, se utilizarán las siguientes normas en el presente trabajo de suficiencia profesional:

$$\text{Norma Técnica de Edificaciones} \rightarrow \begin{cases} \text{NTE E. 020 – 2006, Cargas} \\ \text{NTE E. 030 – 2018, Diseño Sismorresistente} \\ \text{NTE E. 050 – 2006, Suelos y Cimentaciones} \\ \text{NTE E. 060 – 2009, Concreto Armado} \end{cases}$$

### D. Aspectos generales del diseño en concreto armado

#### a. Propiedades mecánicas de los materiales

Las características y propiedades mecánicas de los materiales de los elementos estructurales son los siguientes:

**Tabla 4**

*Características y propiedades mecánica de los materiales.*

Material	P. específico material (γ)	Módulo poisson (μ)	Módulo de elasticidad (E)
Concreto armado	2400kgf/m <sup>3</sup>	0.20	$15000\sqrt{f'c}$ kgf/cm <sup>2</sup>
Acero	7800kgf/m <sup>3</sup>	0.30	$2*10E6$ kgf/cm <sup>2</sup>
Albañilería	1800kgf/m <sup>3</sup>	0.25	500f'm

Fuente: Villarreal, G. (2015). Diseño sísmico de edificaciones.

#### b. Cargas de diseño

Las solicitudes en una edificación se clasifican en:

$$\text{Cargas gravitacionales} \rightarrow \begin{cases} \text{Carga murta (CM)} \\ \text{Carga viva CV} \end{cases} \left\{ \begin{array}{l} \text{Peso propio} \\ \text{Peso losas} \\ \text{Peso acabados} \\ \text{Peso tabiqueria} \\ \text{Peso personas} \\ \text{Peso vehiculos} \end{array} \right.$$

Cargas laterales → {Cargas de sismo (CS)}

### c. Cargas ultimas requeridas

De acuerdo a la Norma Técnica E.060, se deben realizar las siguientes combinaciones, a partir de las cuales se calcula las envolventes de diseño:

$$U = \begin{cases} 1.4 CM + 1.7 CV \\ 1.25 (CM + CV) \pm CS \\ 0.9 CM \pm CS \end{cases}$$

### d. Factores de reducción de resistencia

El factor de reducción de resistencia ( $\phi$ ) sirve para determinar la incertidumbre en el diseño debido a diversos efectos como la variabilidad en la resistencia de los materiales, suposiciones en las que se basa el método, etc. Los valores de dicho factor dependen del tipo de solicitud que se presenta y se muestran a continuación:

**Tabla 5**

*Factor de reducción según el tipo de solicitud.*

<b>Tipo de diseño</b>	<b>Factor de reducción (<math>\phi</math>)</b>
Flexión sin carga axial	0.90
Carga axial en tracción	0.90
Flexocompresión con refuerzo en espiral	0.75
Flexocompresión con refuerzo de estribos	0.70
Cortante y torsión	0.85

**Fuente:** NTE E.060, Concreto armado.

## E. Predimensionamiento

### a. Predimensionamiento de losas aligeradas en una dirección

Para el caso particular de estudio, se tienen las siguientes luces importantes:

$$S/C \leq 350 \frac{\text{kg}}{\text{m}^2} \quad \rightarrow h \geq L_n/25$$

**Tabla 6**  
*Predimensionamiento de losas aligeradas 01 dirección.*

	<b>Paño</b>	<b>L<sub>n</sub> (m)</b>	<b>L<sub>n</sub>/25 (m)</b>	<b>h (m)</b>
<b>Bloque-I</b>	9-11/D-F	4.30	0.172	<b>0.20</b>
<b>Bloque-I</b>	9-11/F-H	4.43	0.177	<b>0.20</b>
<b>Bloque-II</b>	5-7/B-C	4.44	0.178	<b>0.20</b>
<b>Bloque-II</b>	7-9/B-C	4.97	0.199	<b>0.20</b>
<b>Bloque-II</b>	10-11/B-C	4.45	0.178	<b>0.20</b>
<b>Bloque-III</b>	J-K/6-8	4.26	0.170	<b>0.20</b>
<b>Bloque-III</b>	E-G/1-2	2.60	0.104	<b>0.20</b>

**Fuente:** Elaboración propia.

Del cuadro anterior, se observa que en ciertos paños se podría utilizar un espesor de 17 cm, sin embargo, para que toda la estructura cuente con la misma altura de fondo de losa, se decidió escoger un espesor de 20 cm para todos los aligerados.

#### **b. Predimensionamiento de lasos aligeradas en dos direcciones**

Para el cálculo del espesor de las losas aligeradas armada en dos direcciones se empleó, para un paño de lados equivalentes, el siguiente criterio.

$$H = \frac{\text{Perímetro}}{180} , \quad L_{n1} \neq L_{n2}$$

**Tabla 7**  
*Predimensionamiento de losas aligeradas 02 direcciones.*

	<b>Paño</b>	<b>Perímetro (m)</b>	<b>Perímetro/180 (m)</b>	<b>h (m)</b>
<b>Bloque-III</b>	J-K/3-4	24.78	0.140	<b>0.20</b>
<b>Bloque-III</b>	G-I/3-4	22.18	0.123	<b>0.20</b>
<b>Bloque-III</b>	B-C/2-3	19.59	0.110	<b>0.20</b>
<b>Bloque-III</b>	B-C/3-4	21.15	0.120	<b>0.20</b>

**Fuente:** Elaboración propia.

Para que toda la estructura cuente con la misma altura de fondo de losa, se decidió escoger un espesor de 20 cm para todos los aligerados.

### c. Predimensionamiento de lasas macizas

Para el cálculo del espesor de las lasas macizas armadas en una dirección se emplearon, los siguientes criterios:

$$e = \frac{L}{40}, \text{ mínimo}$$

**Tabla 8**

*Predimensionamiento de losa maciza.*

	Paño	L (m)	L/40 (m)	h (m)	Armado
<b>Bloque-I</b>	-	-	-	-	-
<b>Bloque-II</b>	7-9/A-B	4.97	0.124	0.15	1 Dir.
<b>Bloque-III</b>	E-G/3-4	5.93	0.148	0.20	1 Dir.
<b>Bloque-III</b>	G-I/1-2	5.16	0.129	0.20	1 Dir.

**Fuente:** Elaboración propia.

Se decidió emplear una losa maciza de 20 cm de espesor para el BLOQUE - III con el fin de homogenizar el fondo de losa, considerando que también se tiene aligerados de 20 cm de peralte y una losa maciza de 15 cm de espesor para los puentes de conectividad en el BLOQUE – II y BLOQUE – III.

### d.Predimensionamiento de vigas

Se presentan las expresiones utilizadas para estimar los peraltes de las vigas. Dichas expresiones son adecuadas cuando se presenten sobrecargas menores a 350 kg/m<sup>2</sup>.

$$h = \frac{Ln}{\alpha} , \quad b = \frac{2}{3}h \leftrightarrow \frac{1}{2}h \geq 0.25m$$

$$\alpha = 11, \text{ factor de predimensionamiento}$$

**Tabla 9***Predimensionamiento de vigas.*

<b>Ubicación</b>	<b>Eje</b>	<b>L<sub>n</sub> (m)</b>	<b>h (m)</b>	<b>2h/3 (m)</b>	<b>h/2 (m)</b>	<b>Sección (m)</b>
<b>Bloque-I</b>	F/9-11	7.45	0.70	0.45	0.35	0.35x0.70
<b>Bloque-I</b>	11/F-H	4.20	0.40	0.30	0.25	0.30x0.50
<b>Bloque-I</b>	K/9-11	5.20	0.50	0.35	0.25	0.30x0.60
<b>Bloque-II</b>	B/7-9	4.97	0.45	0.30	0.25	0.30x0.50
<b>Bloque-II</b>	9/B-C	4.52	0.45	0.30	0.25	0.30x0.50
<b>Bloque-II</b>	10/B-C	6.60	0.60	0.40	0.30	0.30x0.70
<b>Bloque-III</b>	3/B-E	8.50	0.80	0.55	0.40	0.40x0.80
<b>Bloque-III</b>	2/I-K	5.86	0.55	0.40	0.30	0.30x0.60
<b>Bloque-III</b>	K/3-4	5.83	0.55	0.40	0.30	0.30x0.60

**Fuente:** Elaboración propia.**e. Predimensionamiento de columnas**

Las columnas están sometidas a carga axial y momento flector, por lo tanto, se deberán pre dimensionar considerando ambas solicitudes. Sin embargo, solo se considerará el efecto de la carga axial, debido a que la edificación contempla muros de corte en ambas direcciones.

Para el pre dimensionamiento se empleó el siguiente criterio:

$$b * D = \frac{P * \lambda}{n * f'c}$$

Donde,  $P = (CM + CV) * A_{tribut.} * N_{pisos}$

- **Oficina de proyectos (asumimos):**

$$P(CM + CV) = \begin{cases} \text{Cat. (A)} = 1500 \text{ kg/m}^2 \\ \text{Cat. (B)} = 1250 \text{ kg/m}^2 \\ \text{Cat. (C)} = 1000 \text{ kg/m}^2 \end{cases}$$

Importante:

$K_{columna} \geq 1.20 K_{viga}$  , **Evitar rápida aparición de rótulas plásticas.**

**Tabla 10***Predimensionamiento de columnas – Bloque- I.*

Tipo de columna	Carga (tonf/m <sup>2</sup> )	Área tributaria (m <sup>2</sup> )	Nº Pisos	Peso servicio (tonf)	Área requerida (cm <sup>2</sup> )	Sección (cm <sup>2</sup> )
C2	1.5	21.03	04	126.19	3004.57	<b>R0.35m=3848.45</b>

**Fuente:** Elaboración propia.**Tabla 11***Predimensionamiento de columnas – Bloque- II.*

Tipo de columna	Carga (tonf/m <sup>2</sup> )	Área tributaria (m <sup>2</sup> )	Nº Pisos	Peso servicio (tonf)	Área requerida (cm <sup>2</sup> )	Sección (cm <sup>2</sup> )
C3	1.5	20.50	04	123.00	2147.62	<b>C0.40x0.80=3200</b>
C4	1.5	4.41	04	26.46	630.00	<b>C0.30x0.60=1800</b>

**Fuente:** Elaboración propia.**Tabla 12***Predimensionamiento de columnas – Bloque- III.*

Tipo de columna	Carga (tonf/m <sup>2</sup> )	Área tributaria (m <sup>2</sup> )	Nº Pisos	Peso servicio (tonf)	Área requerida (cm <sup>2</sup> )	Sección (cm <sup>2</sup> )
C1	1.5	15.45	05	115.88	2758.93	<b>R0.40=5026.55</b>
C1	1.5	20.72	05	155.40	2713.33	<b>R0.40=5026.55</b>
C3	1.0	34.61	05	173.05	3021.51	<b>C0.40x0.80=3200</b>

**Fuente:** Elaboración propia.

#### f. Predimensionamiento de muros de corte (placas)

El predimensionamiento de los muros de corte se realiza de tal forma que se brinde una adecuada rigidez en ambas direcciones y para soportar la mayor parte de las fuerzas sísmicas. Por lo tanto, en nuestra estructura será como mínimo 30cm de espesor, debido a que las vigas en los BLOQUES I, II, III, tienen un ancho de 30cm, por lo que se empieza a dimensionar con tal espesor a las placas, pues solo así se podrá anclar las varillas de acero.

Cabe mencionar que la longitud (L) y el espesor (t) de los muros de corte se fue variando de acuerdo a los resultados del análisis sísmico.

### **g. Predimensionamiento de escalera**

La escalera consta de tres tramos por piso, la altura típica es de 3.85m, se consideró 30cm de paso y 17.5cm de contrapaso para que cumpla con lo estipulado en el “Reglamento nacional de edificaciones”.

- $60\text{cm} \leq 30 + 2 \times 17 \leq 64\text{cm}$

Se predimensiona la garganta de la escalera con una luz de 3.65m.

$$t = \frac{Ln}{20} \approx \frac{Ln}{25} , \quad \text{Ln: Luz Libre}$$

**Tabla 13**

*Predimensionamiento de escalera.*

Ubicación	Ln (m)	L/20 (m)	L/25 (m)	t (m)
Bloque-III	3.65	0.18	0.15	<b>0.20</b>

**Fuente:** Elaboración propia.

### **h. Predimensionamiento de cimentación**

La Norma Técnica E.060, Concreto Armado, en el capítulo 15.2.2 menciona que el área de la base de la zapata debe determinarse a partir de las fuerzas y momentos no amplificados (en servicio) transmitidos al suelo a través de la zapata. El área de la zapata debe determinarse a partir del esfuerzo admisible del suelo, establecida en el estudio de mecánica de suelos (EMS).

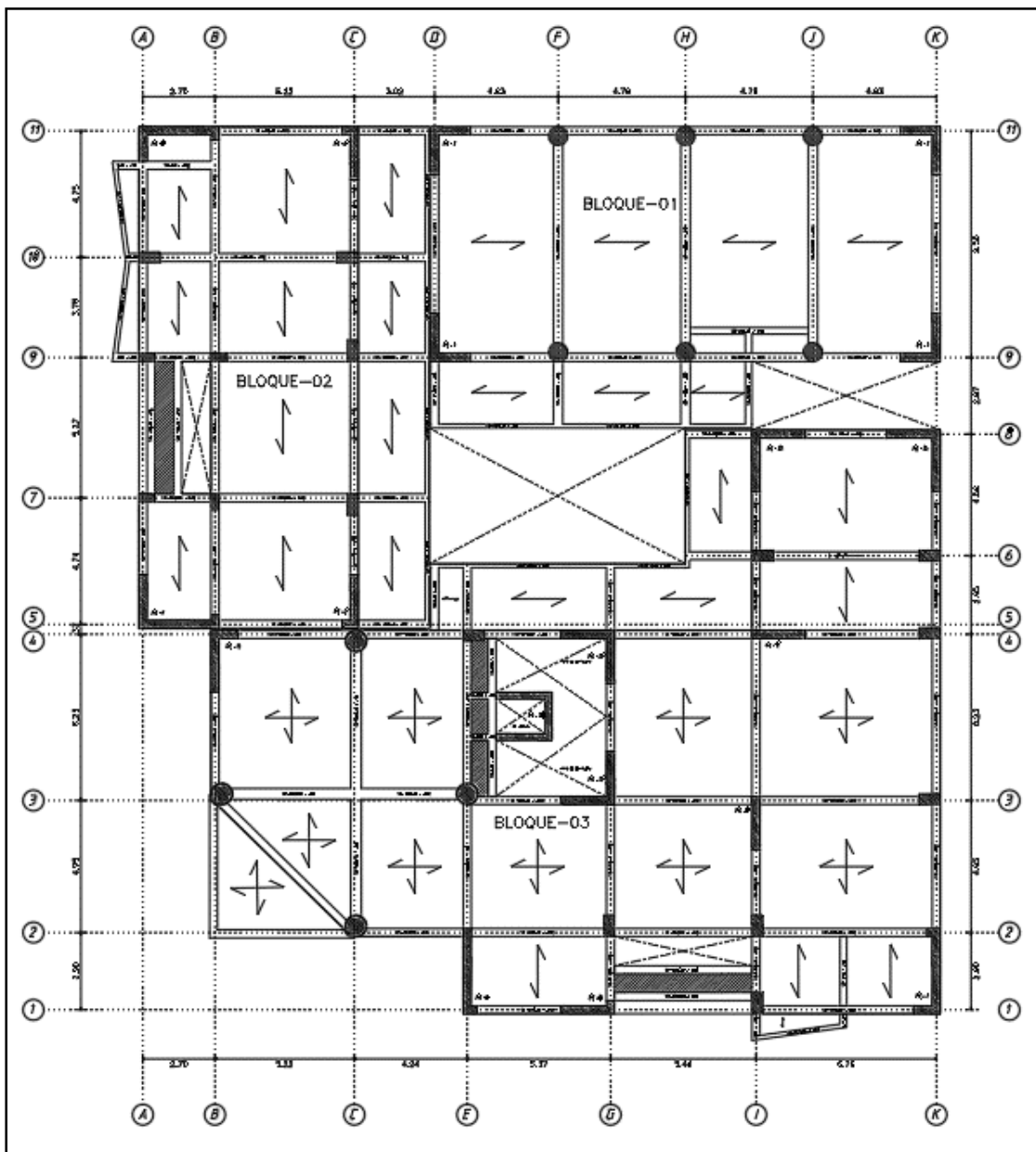
Los esfuerzos de la cimentación se calculan con la expresión de Navier:

$$\sigma = \frac{P}{A} - \frac{M_X Y}{I_X} + \frac{M_Y X}{I_Y}$$

**Cargas de gravedad**  $\rightarrow |[CM + CV]|$ ; |Donde:  $\sigma_{cim} \leq \sigma_{adm}$

**Cargas de sismo**  $\rightarrow \begin{cases} [CM + CV \pm 0.80SXX], \\ [CM + CV \pm 0.80SYY], \end{cases}$  |Donde:  $\sigma_{cim} \leq 1.30\sigma_{adm}$

## F. Estructuración del edificio



**Figura 19.** Plano de estructuración, bloque I, II y III.

**Fuente:** Elaboración propia.

## G. Estimación de cargas para análisis

### a. Cargas de diseño

**Tabla 14**

*Cargas vivas mínimas repartidas – Norma Técnica E.020, Cargas.*

Ocupación de uso	Cargas repartidas		
	Bloque - I	Bloque - II	Bloque - III
Oficinas	250 kgf/m <sup>2</sup>	250 kgf/m <sup>2</sup>	250 kgf/m <sup>2</sup>
Escaleras y corredores	400 kgf/m <sup>2</sup>	400 kgf/m <sup>2</sup>	400 kgf/m <sup>2</sup>
Ascensor	-	-	1000 kgf/m <sup>2</sup>
Techos	100 kgf/m <sup>2</sup>	100 kgf/m <sup>2</sup>	100 kgf/m <sup>2</sup>

Fuente: NTE E.020, Cargas.

**Tabla 15**

*Cargas muertas consideradas.*

Ocupación de uso	Cargas consideradas		
	Bloque - I	Bloque - II	Bloque - III
Losa aligerada 01 dirección, h=0.20m (c/ladrillo)	300 kgf/m <sup>2</sup>	300 kgf/m <sup>2</sup>	300 kgf/m <sup>2</sup>
Losa aligerada 02 direcciones, h=0.20m (c/ladrillo)	-	-	415 kgf/m <sup>2</sup>
Losa maciza e=0.15m	-	360 kgf/m <sup>2</sup>	360 kgf/m <sup>2</sup>
Losa maciza e=0.20m	-	-	480 kgf/m <sup>2</sup>
Escalera (03 tramos)	-	-	480 kgf/m <sup>2</sup>
Acabados piso-techo	100 kgf/m <sup>2</sup>	100 kgf/m <sup>2</sup>	100 kgf/m <sup>2</sup>

Fuente: Elaboración propia.

#### 4.1.2. Análisis sísmico estático y dinámico

##### A. Análisis sísmico estático

###### a. Parámetros sísmicos

Se definen los parámetros que permitirán realizar el análisis estático y dinámico de acuerdo a la Norma Técnica E.030.

**Tabla 16**

*Resumen de los parámetros sísmicos.*

Descripción		Parámetro	Observaciones		
Factor de zona  <b>Z</b> <b>(Artículo 10)</b> <b>E.030-2018</b>			Zona	Z(g)	
			4	0.45	
			3	0.35	
			2	<b>0.25</b>	
Factor de uso  <b>U</b> <b>(Artículo 15)</b> <b>E.030-2018</b>			1	0.15	
			Categoría	Edificaciones	U
			A	<b>Esenciales</b>	<b>1.5</b>
			B	Importantes	1.3
			C	Comunes	1.0
Coef. de amplificación sísmica		<b>C</b> <b>(Artículo 14)</b> <b>E.030-2018</b>	D	Temporales	-
				<b>2.5</b>	
Factor de suelo  <b>S</b> <b>(Artículo 13)</b> <b>E.030-2018</b>			Suelo	S=Zona 2	Tp
			S0	0.80	0.30
			S1	1.00	0.40
			S2	1.20	0.60
			<b>S3</b>	<b>1.40</b>	<b>1.00</b>
Factor de reducción de fuerzas sísmicas		<b>R</b>  <b>(Artículo 18)</b> <b>E.030-2018</b>	Concreto armado		R
			Pórticos		8
			Dual		7
			<b>Muros estructurales</b>		<b>6</b>
			Muros de ductilidad limitada		4

**Nota.** Esta tabla muestra los parámetros utilizados en el análisis sísmico de la estructura para el Bloque –I, II Y III, con el fin de lograr un diseño óptimo, acorde a la importancia de la edificación.

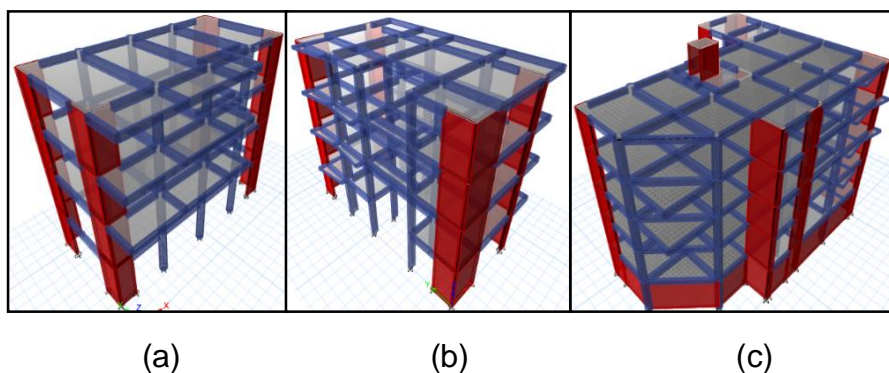
**Fuente:** NTE E.030-2018, Diseño Sismorresistente.

### b. Masa sísmica

Según el artículo 26 de la Norma Técnica E.030, la masa sísmica se calcula como un porcentaje que depende de la importancia de la estructura. Dado a que el presente edificio es de categoría “A”, la masa sísmica será equivalente al 100 % de la carga muerta más el 50 % de la carga viva y más el 25 % de la carga viva en el techo.

Por otro lado, también se realizó el cálculo de los centros de masa y rigidez por piso del edificio, con lo cual es posible determinar la excentricidad y verificar si es posible la existencia de irregularidad torsional. Los resultados descritos se muestran a continuación:

$$M_{\text{sismica}} = 1.0CM + 0.5CV + 0.25CV_{\text{Techo}}$$



**Figura 20.** Vista 3D: (a) bloque-I, (b) bloque-II, (c) bloque-III.

**Fuente:** Elaboración propia.

**Tabla 17**

*Masa sísmica, centro de masa y rigidez de cada nivel: bloque – I.*

Piso	Masa sísmica			Centro de masas		Centro de rigidez	
	Masa X (kgf)	Masa Y (kgf)	Peso (kgf/m <sup>2</sup> )	XCM (m)	YCM (m)	XCR (m)	YCR (m)
Semisótano	116944.85	116944.85	694.54	-	-	-	-
Piso 01	230029.42	230029.42	1159.44	9.07	6.57	9.41	6.81
Piso 02	226042.29	226042.29	1139.34	9.07	6.57	9.41	6.80
Techo	150945.06	150945.06	760.824	9.02	6.12	9.41	6.80
<b>Masa total</b>	<b>723,961.61 kgf</b>						

**Fuente:** Elaboración propia.

**Tabla 18***Masa sísmica, centro de masa y rigidez de cada nivel: bloque – II.*

Piso	Masa sísmica			Centro de masas		Centro de rigidez	
	Masa X (kgf)	Masa Y (kgf)	Peso (kgf/m <sup>2</sup> )	XCM (m)	YCM (m)	XCR (m)	YCR (m)
Semisótano	210633.48	210633.48	1100.37	4.94	9.68	3.23	9.03
Piso 01	213850.09	213850.09	1072.63	4.77	9.60	2.85	8.86
Piso 02	209735.17	209735.17	1051.99	4.79	9.61	3.14	8.85
Techo	149135.38	149135.38	799.10	4.96	9.58	3.38	8.86
<b>Masa total</b>	<b>783,354.12 kgf</b>						

**Fuente:** Elaboración propia.**Tabla 19***Masa sísmica, centro de masa y rigidez de cada nivel: bloque – III.*

Piso	Masa sísmica			Centro de masas		Centro de rigidez	
	Masa X (kgf)	Masa Y (kgf)	Peso (kgf/m <sup>2</sup> )	XCM (m)	YCM (m)	XCR (m)	YCR (m)
Semisótano	600165.79	600165.79	1339.69	15.86	9.43	18.50	2.57
Piso 01	522251.26	522251.26	1165.77	15.75	9.87	17.75	7.44
Piso 02	533260.25	533260.25	1155.06	15.50	9.58	17.33	9.75
Piso 03	533260.25	533260.25	1155.06	15.50	9.58	16.98	10.35
Techo	358830.21	358830.21	885.26	15.37	9.12	16.70	10.61
<b>Masa total</b>	<b>2'547,767.77 kgf</b>						

**Fuente:** Elaboración propia.

### c. Fuerza cortante en la base

**Tabla 20***Cortante basal del análisis sísmico estático.*

Análisis en la dirección X-X			Análisis en la dirección Y-Y				
Bloque I	Bloque II	Bloque III	Bloque I	Bloque II	Bloque III		
Perid. Fun. (T <sub>x</sub> )	0.455	0.391	0.417	Perid. Fun. (T <sub>y</sub> )	0.417	0.427	0.374
K <sub>x</sub>	1.0	1.0	1.0	K <sub>y</sub>	1.0	1.0	1.0
T <sub>p</sub>	1.0	1.0	1.0	T <sub>p</sub>	1.0	1.0	1.0
T <sub>L</sub>	1.6	1.6	1.6	T <sub>L</sub>	1.6	1.6	1.6
Cortante estático dir. X-X			Cortante estático dir. Y-Y				
Z	0.25	0.25	0.25	Z	0.25	0.25	0.25
U	1.5	1.5	1.5	U	1.5	1.5	1.5
S	1.4	1.4	1.4	S	1.4	1.4	1.4
C	2.5	2.5	2.5	C	2.5	2.5	2.5
R <sub>x</sub>	5.4	5.4	5.4	R <sub>y</sub>	5.4	5.4	4.5
C/R ≥ 0.11	0.46296	0.46296	0.46296	C/R ≥ 0.11	0.46296	0.46296	0.55556
Z.U.S.C/R	0.24306	0.24306	0.24306	Z.U.S.C/R	0.24306	0.24306	0.29167

Masa Sísmica (tonf)	723.962	783.354	1947.602	Masa Sísmica (tonf)	723.962	783.354	1947.602
Vx (tonf)	175.963	190.399	473.376	Vy (tonf)	175.963	190.399	568.051

Fuente: Elaboración propia.

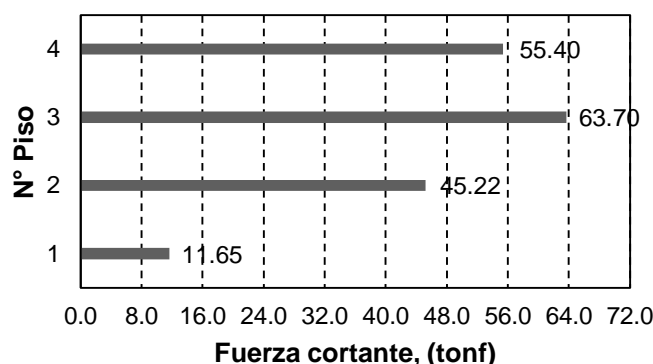
**Tabla 21**

Distribución de las fuerzas sísmicas horizontales dirección X-X.

Bloque - I / dirección X-X								
Piso	P <sub>i</sub> (kgf)	h (m)	h <sub>i</sub> (m)	h <sub>i</sub> <sup>k</sup>	P <sub>j</sub> h <sub>j</sub> <sup>k</sup>	α <sub>i</sub>	F <sub>i</sub> (tonf)	V <sub>x</sub> (tonf)
Techo	150945.06	3.85	16.58	16.58	2502669.095	0.31484	55.40	55.40
Piso 02	226042.29	3.85	12.73	12.73	2877518.352	0.36199	63.70	119.10
Piso 01	230029.42	4.38	8.88	8.88	2042661.25	0.25697	45.22	164.31
Semisótano	116944.85	4.5	4.5	4.5	526251.825	0.06620	11.65	175.96
Peso (kgf)	723961.62				7949100.521	1.0	175.96	0

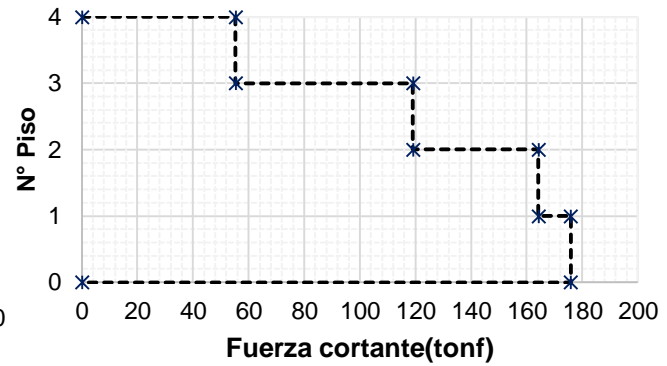
Fuente: Elaboración propia.

Cargas laterales - sismo X



(a)

Corte por piso- sismo X



(b)

Figura 21. Distribución de (a) fuerzas y (b) cortantes sísmicas (X): Bloque – I.

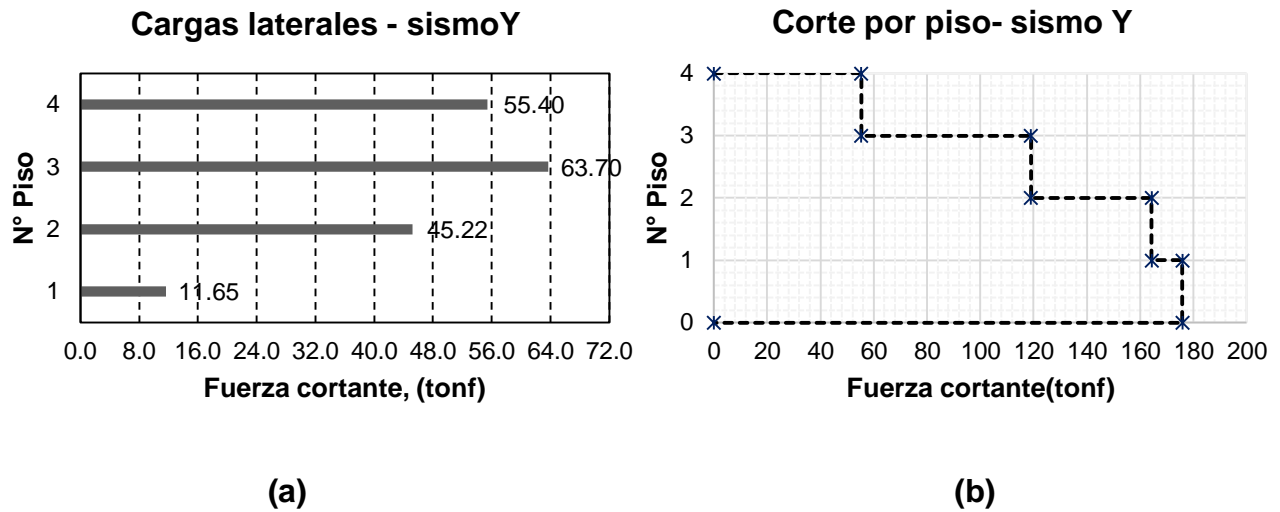
Fuente: Elaboración propia.

**Tabla 22**

Distribución de las fuerzas sísmicas horizontales dirección Y-Y.

Bloque - I / dirección Y-Y								
Piso	P <sub>i</sub> (kgf)	h (m)	h <sub>i</sub> (m)	h <sub>i</sub> <sup>k</sup>	P <sub>j</sub> h <sub>j</sub> <sup>k</sup>	α <sub>i</sub>	F <sub>i</sub> (tonf)	V <sub>y</sub> (tonf)
Techo	150945.06	3.85	16.58	16.58	2502669.095	0.31484	55.40	55.40
Piso 02	226042.29	3.85	12.73	12.73	2877518.352	0.36199	63.70	119.10
Piso 01	230029.42	4.38	8.88	8.88	2042661.25	0.25697	45.22	164.31
Semisótano	116944.85	4.5	4.5	4.5	526251.825	0.06620	11.65	175.96
Peso (kgf)	723961.62				7949100.521	1.0	175.96	0

Fuente: Elaboración propia.



**Figura 22.** Distribución de (a) fuerzas y (b) cortantes sísmicas (Y): Bloque – I.

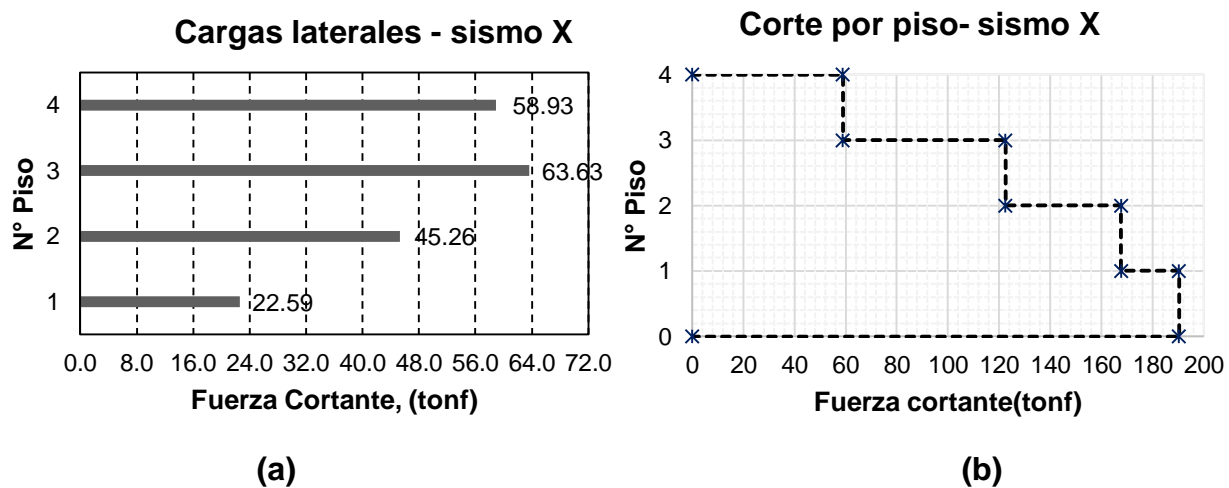
**Fuente:** Elaboración propia.

**Tabla 23**

*Distribución de las fuerzas sísmicas horizontales dirección X-X.*

Bloque – II / dirección X-X								
Piso	$P_i$ (kgf)	$h$ (m)	$h_i$ (m)	$h_i^{k}$	$P_j h_j^{k}$	$\alpha_i$	$F_i$ (tonf)	$V_x$ (tonf)
Techo	149135.38	3.85	16.58	16.58	2472664.6	0.30949	58.93	58.93
Piso 02	209735.17	3.85	12.73	12.73	2669928.7	0.33418	63.63	122.56
Piso 01	213850.09	4.38	8.88	8.88	1898988.8	0.23769	45.26	167.81
Semisótano	210633.48	4.50	4.50	4.50	947850.66	0.11864	22.59	190.40
<b>Peso (kgf)</b>	<b>783354.12</b>				<b>7989432.774</b>		<b>1.0</b>	<b>190.40</b>
								0

**Fuente:** Elaboración propia.

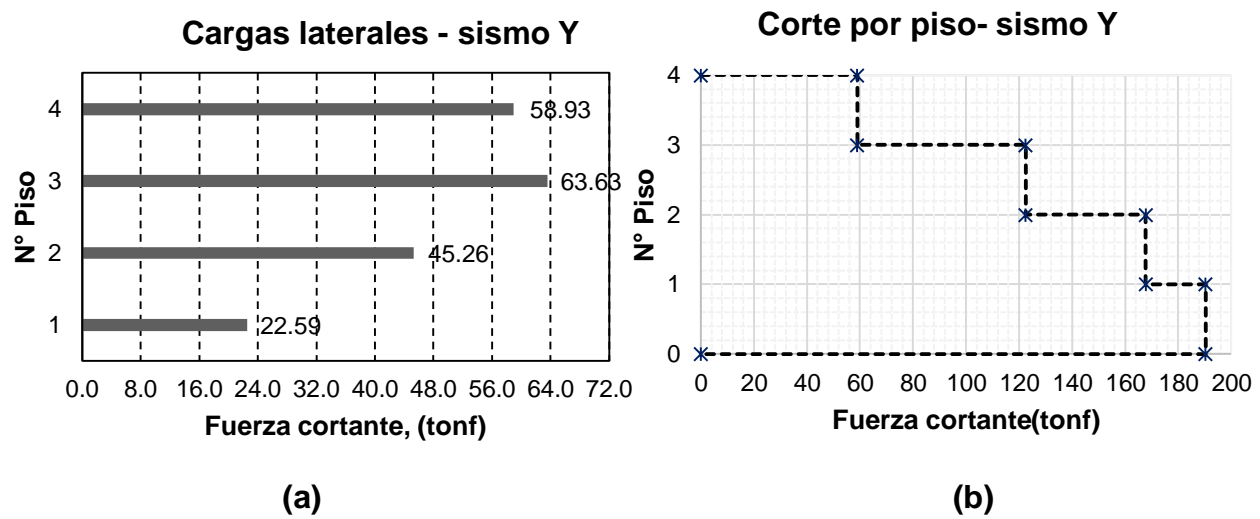


**Figura 23.** Distribución de (a) fuerzas y (b) cortantes sísmicas (X): Bloque – II.

**Fuente:** Elaboración propia.

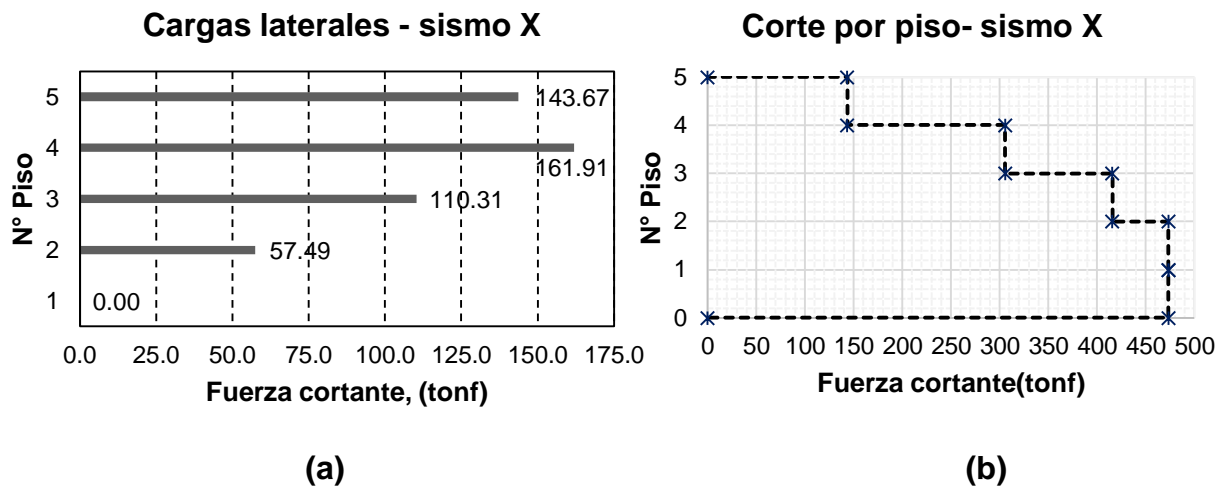
**Tabla 24***Distribución de las fuerzas sísmicas horizontales dirección Y-Y.*

Bloque – II / dirección Y-Y								
Piso	$P_i$ (kgf)	$h$ (m)	$h_i$ (m)	$h_i^{k}$	$P_j h_j^{k}$	$\alpha_i$	$F_i$ (tonf)	$V_y$ (tonf)
Techo	149135.38	3.85	16.58	16.58	2472664.6	0.30949	58.93	58.93
Piso 02	209735.17	3.85	12.73	12.73	2669928.7	0.33418	63.63	122.56
Piso 01	213850.09	4.38	8.88	8.88	1898988.8	0.23769	45.26	167.81
Semisótano	210633.48	4.50	4.50	4.50	947850.66	0.11864	22.59	190.40
<b>Peso (kgf)</b>	<b>783354.12</b>				<b>7989432.774</b>	<b>1.0</b>	<b>190.40</b>	<b>0</b>

**Fuente:** Elaboración propia.**Figura 24.** Distribución de (a) fuerzas y (b) cortantes sísmicas (Y): Bloque – II.**Fuente:** Elaboración propia.**Tabla 25***Distribución de las fuerzas sísmicas horizontales dirección X-X.*

Bloque – III / dirección X-X								
Piso	$P_i$ (kgf)	$h$ (m)	$h_i$ (m)	$h_i^{k}$	$P_j h_j^{k}$	$\alpha_i$	$F_i$ (tonf)	$V_x$ (tonf)
Techo	358830.26	3.85	15.93	15.93	5716166.042	0.30350	143.67	143.67
Piso 03	533260.32	3.85	12.08	12.08	6441784.666	0.34203	161.91	305.58
Piso 02	533260.32	3.85	8.23	8.23	4388732.434	0.23302	110.31	415.88
Piso 01	522251.31	4.38	4.38	4.38	2287460.738	0.12145	57.49	473.38
Semisótano	0	4.50	0.00	0.00	0	0.00000	0.00	473.38
<b>Peso (kgf)</b>	<b>1947602.21</b>				<b>18834143.88</b>	<b>1.0</b>	<b>473.38</b>	

**Fuente:** Elaboración propia.



**Figura 25.** Distribución de (a) fuerzas, (b) cortantes sísmicas (X): Bloque– III.

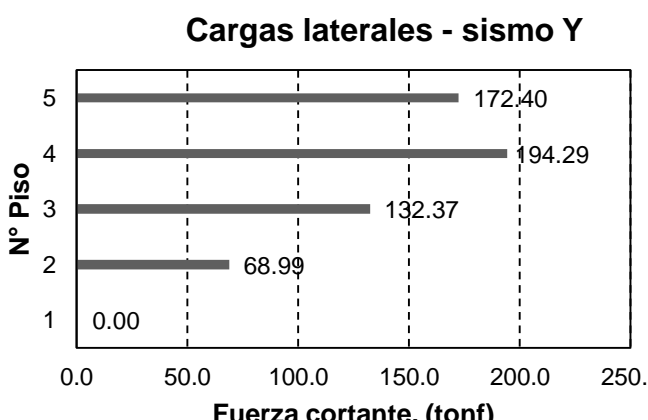
**Fuente:** Elaboración propia.

**Tabla 26**

*Distribución de las fuerzas sísmicas horizontales dirección Y-Y.*

Bloque – III / dirección Y-Y									
Piso	$P_i$ (kgf)	$h$ (m)	$h_i$ (m)	$h_i^{^k}$	$P_j h_j^{^k}$	$\alpha_i$	$F_i$ (tonf)	$V_y$ (tonf)	
Techo	358830.26	3.85	15.93	15.93	5716166.042	0.30350	172.40	172.40	
Piso 03	533260.32	3.85	12.08	12.08	6441784.666	0.34203	194.29	366.69	
Piso 02	533260.32	3.85	8.23	8.23	4388732.434	0.23302	132.37	499.06	
Piso 01	522251.31	4.38	4.38	4.38	2287460.738	0.12145	68.99	568.05	
Semisótano	0	4.50	0.00	0.00	0	0.00000	0.00	568.05	
<b>Peso (kgf)</b>	<b>1947602.21</b>				<b>18834143.88</b>		<b>1.0</b>	<b>568.05</b>	

**Fuente:** Elaboración propia.



(a)

(b)

**Figura 26.** Distribución de (a) fuerzas, (b) cortantes sísmicas (Y): Bloque – III.

**Fuente:** Elaboración propia.

## B. Análisis sísmico dinámico

Para realizar este análisis, la Norma Técnica E.030 indica en el artículo 29 el uso de un espectro inelástico de pseudo-aceleraciones en cada una de las direcciones.

Para la construcción de este espectro se usan los valores de los parámetros sísmicos descritos anteriormente.

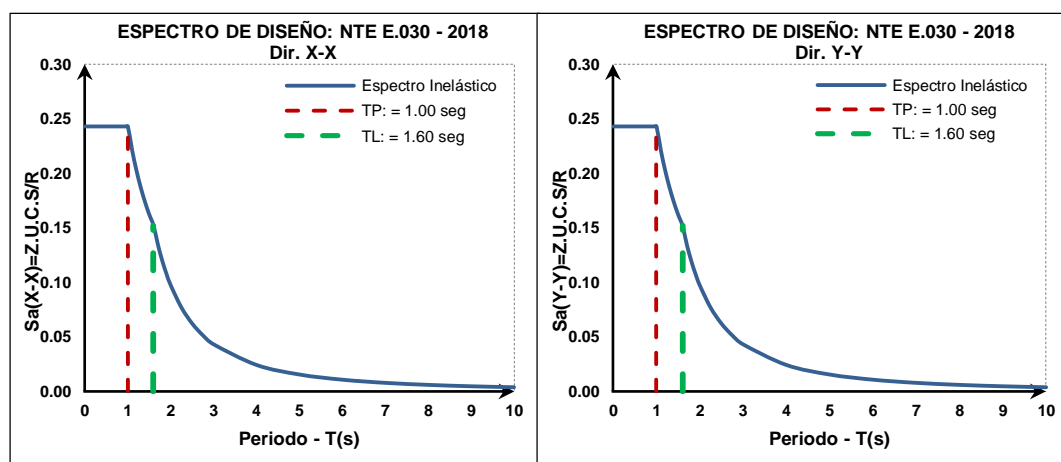
Tabulando para diversos periodos se obtiene la siguiente curva espectral, la cual es la misma para ambas direcciones ortogonales de análisis.

**Tabla 27**

Resumen de parámetros sísmicos.

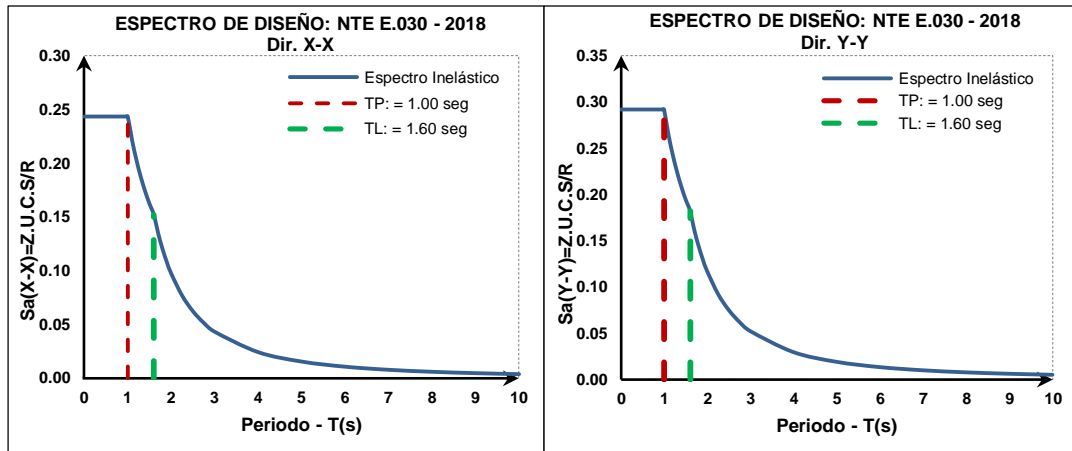
Parámetros NTP E.030			Ubicación					
Datos	Fact.	Datos	Bloque - I		Bloque - II		Bloque - III	
			Dir. X-X	Dir. Y-Y	Dir. X-X	Dir. Y-Y	Dir. X-X	Dir. Y-Y
Z	0.25	Ro	<b>6.00</b>	<b>6.00</b>	<b>6.00</b>	<b>6.00</b>	<b>6.00</b>	<b>6.00</b>
U	1.50	la	1.00	1.00	1.00	1.00	1.00	1.00
S	1.40	Ip	0.90	0.90	0.90	0.90	0.90	0.75
TP	1.00	R <sub>x-y</sub>	<b>5.40</b>	<b>5.40</b>	<b>5.40</b>	<b>5.40</b>	<b>5.40</b>	<b>4.5</b>
TL	1.60	Config.	Irreg.	Irreg.	Irreg.	Irreg.	Irreg.	Irreg.

Fuente: Elaboración propia.



**Figura 27.** Espectro inelástico de pseudo aceleraciones en la dirección X-X / Y-Y: Bloque – I y Bloque – II.

Fuente: Elaboración propia.

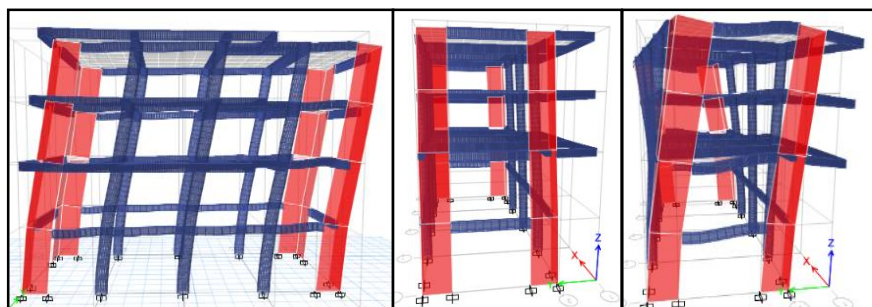


**Figura 28.** Espectro inelástico de pseudo aceleraciones en la dirección X-X / Y-Y: Bloque – III.

**Fuente:** Elaboración propia.

#### a. Análisis modal.

Se da a conocer los modos de vibración, el periodo fundamental y porcentaje de masa participativa en los Bloque-I, II y III. Los resultados descritos se muestran a continuación:



**Figura 29.** Modos traslacionales y rotacional: Bloque-I.  
**Fuente:** Elaboración propia.

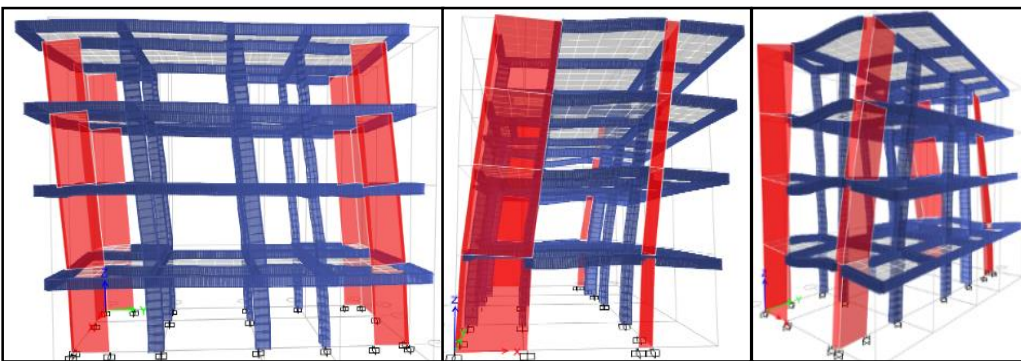
**Tabla 28**

*Modos de vibración y participación de masa: Bloque-I.*

Modo	Periodo (s)	%Masa participante en X	%Masa participante en Y	%Masa participante en Z
1	<b>0.455</b>	<b>83.87</b>	0.01	0.26
2	<b>0.417</b>	0.01	<b>83.65</b>	0.18
3	<b>0.277</b>	0.17	0.15	<b>79.93</b>

**Nota.** Se muestra los tres primeros modos predominantes en la dirección de análisis.

**Fuente:** Elaboración propia.



**Figura 30.** Modos traslacionales y rotacional: Bloque-II.

**Fuente:** Elaboración propia.

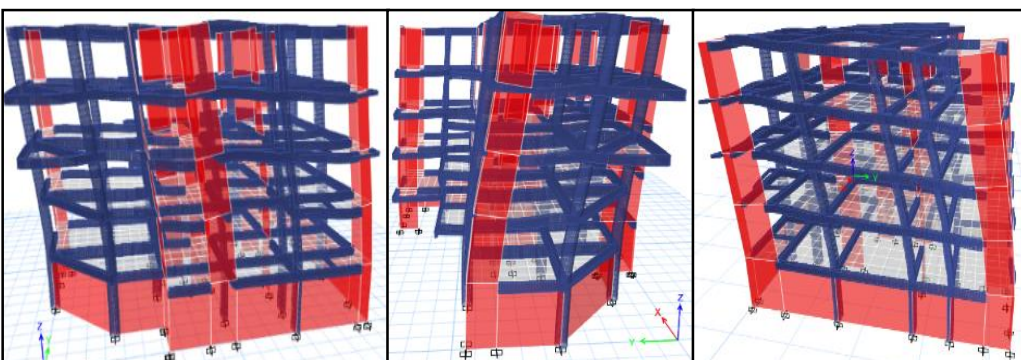
**Tabla 29**

*Modos de vibración y participación de masa: Bloque-II.*

Modo	Periodo (s)	%Masa participante en X	%Masa participante en Y	%Masa participante en Z
1	<b>0.427</b>	1.90	<b>73.30</b>	1.70
2	<b>0.391</b>	<b>72.10</b>	1.50	1.20
3	<b>0.265</b>	0.80	2.00	<b>71.10</b>

*Nota.* Se muestra los tres primeros modos predominantes en la dirección de análisis.

**Fuente:** Elaboración propia.



**Figura 31.** Modos traslacionales y rotacional: Bloque-III.

**Fuente:** Elaboración propia.

**Tabla 30**

*Modos de vibración y participación de masa: Bloque-III.*

Modo	Periodo (s)	%Masa participante en X	%Masa participante en Y	%Masa participante en Z
1	<b>0.417</b>	<b>67.18</b>	0.20	0.48
2	<b>0.374</b>	0.05	<b>54.66</b>	12.81
3	<b>0.312</b>	1.60	11.70	<b>50.85</b>

*Nota.* Se muestra los tres primeros modos predominantes en la dirección de análisis.

**Fuente:** Elaboración propia.

## b. Análisis de irregularidades

De acuerdo a la Norma Técnica E.030, se debe analizar y determinar si la estructura califica como Regular o Irregular, por lo tanto, se debe evaluar los factores de irregularidad tanto en altura como en planta.

**Tabla 31**

*Verificación de Irregularidades.*

Dirección X – X / Y - Y		Bloque – I	Bloque – II	Bloque – III
Config.	Tipo de irregularidad	Observación	Observación	Observación
Altura	Irregularidad de rigidez – piso blando	No presenta	No presenta	No presenta
	Irregularidad de resistencia – piso débil	No presenta	No presenta	No presenta
	Irregularidad de masa	No presenta	No presenta	No presenta
	Irregularidad geométrica vertical	No presenta	No presenta	No presenta
	Discontinuidad en los sistemas resistentes	No presenta	No presenta	No presenta
Planta	Irregularidad torsional	Comprobado con el análisis dinámico – No presenta	Comprobado con el análisis dinámico – No presenta	Comprobado con el análisis dinámico – <b>si presenta</b>
	Esquinas entrantes	<b>Si presenta</b>	<b>Si presenta</b>	<b>Si presenta</b>
	Discontinuidad del diafragma	No presenta	No presenta	No presenta

*Nota.* La tabla muestra la verificación de irregularidades donde se puede calificar a la estructura como irregular para los tres bloques de diseño. Bloque-I, II y III.

(\*) Se adjunta en anexos los cálculos manuales de irregularidades “Ia” e “Ip”.

**Fuente:** Elaboración propia.

**Tabla 32**

*Valores finales de coeficiente de reducción.*

	Bloque – I		Bloque – II		Bloque – III	
	Dir. X-X	Dir. Y-Y	Dir. X-X	Dir. Y-Y	Dir. X-X	Dir. Y-Y
Ro=	<b>6.00</b>	<b>6.00</b>	<b>6.00</b>	<b>6.00</b>	<b>6.00</b>	<b>6.00</b>
Ia=	1.00	1.00	1.00	1.00	1.00	1.00
Ip=	0.90	0.90	0.90	0.90	0.90	0.75
R=	<b>5.40</b>	<b>5.40</b>	<b>5.40</b>	<b>5.40</b>	<b>5.40</b>	<b>4.50</b>

**Fuente:** Elaboración propia.

### c. Fuerza cortante mínima en la base

En el artículo 29.4 de la Norma Técnica E.030, señala que la mínima fuerza cortante en la base para el caso dinámico para cada dirección no debe ser menor del 80% de la fuerza cortante estática en estructuras regulares y el 90% si es irregular.

**Tabla 33**

*Cortantes mínimas en la base.*

	Cortante estática (tonf)		Cortante dinámica (tonf)	
	Dirección X	Dirección Y	Dirección X	Dirección Y
<b>Bloque – I irregular (90%)</b>	<b>175.9629</b>	<b>175.9629</b>	<b>149.0463</b>	<b>148.9335</b>
	158.3666	158.3666	-	-
	<b>Factor de escalamiento</b>		<b>1.06253295</b>	<b>1.06333769</b>
	<b>Cortante estática (tonf)</b>		<b>Cortante dinámica (tonf)</b>	
<b>Bloque – II irregular (90%)</b>	<b>190.3986</b>	<b>190.3986</b>	<b>144.2116</b>	<b>144.7165</b>
	171.3587	171.3587	-	-
	<b>Factor de escalamiento</b>		<b>1.18824500</b>	<b>1.184099351</b>
	<b>Cortante estática (tonf)</b>		<b>Cortante dinámica (tonf)</b>	
<b>Bloque – III irregular (90%)</b>	<b>473.3755</b>	<b>568.0506</b>	<b>412.8015</b>	<b>434.3435</b>
	426.0380	511.2456	-	-
	<b>Factor de escalamiento</b>		<b>1.03206500</b>	<b>1.177053600</b>
	<b>Cortante estática (tonf)</b>		<b>Cortante dinámica (tonf)</b>	

**Fuente:** Elaboración propia.

### d. Verificación del sistema estructural y coeficiente básico de reducción (Ro)

Se asumió que el sistema estructural predominante es el de muros estructurales. Con el valor  $Ro=6$  asumido. La Norma Técnica E.030, artículo 16.1 establece que en un sistema de muros estructurales la fuerza cortante actuante en los muros representa como mínimo el 70% de la cortante basal.

A continuación, se verifica el porcentaje de cortante basal que adoptan los muros estructurales y columnas en el primer nivel:

**Tabla 34***Porcentaje de fuerza cortante en muros de corte.*

<b>Ubicación</b>	<b>Tipo de elemento</b>	<b>Cortante dirección X (tonf)</b>	<b>(%)</b>	<b>Cortante dirección Y (tonf)</b>	<b>(%)</b>
<b>Bloque - I</b>	Columnas	25.32	16.99	10.99	7.35
	Muros	<b>123.75</b>	<b>83.01</b>	<b>138.49</b>	<b>92.65</b>
	Total	149.07	100.00	149.48	100.00
<b>Bloque - II</b>	Columnas	10.15	7.04	16.28	11.25
	Muros	<b>134.06</b>	<b>92.96</b>	<b>128.43</b>	<b>88.75</b>
	Total	144.21	100.00	144.72	100.00
<b>Bloque - III</b>	Columnas	58.09	14.07	54.13	12.46
	Muros	<b>354.71</b>	<b>85.93</b>	<b>380.21</b>	<b>87.54</b>
	Total	412.80	100.00	434.34	100.00

**Fuente:** Elaboración propia.

#### 4.1.3. Control de desplazamientos

Para estructuras irregulares la deriva inelástica se halla multiplicando la deriva elástica por 0.85R (R=5.4). Se debe garantizar que las derivas inelásticas no sobrepasen los desplazamientos laterales admisibles especificados en la Norma Técnica E.030, la deriva máxima para concreto armado es 0.007.

**Tabla 35***Control de desplazamientos, dirección X-X: Bloque - I.*

<b>Piso</b>	<b>Altura (m)</b>	<b>Desp. (mm)</b>	<b>Derivas Δ elásticas</b>	<b>Derivas Δ inelásticas</b>	<b>D. inelásticas Δ(%)</b>	<b>Deriva Δ Límite</b>
<b>Techo</b>	16.58	17.23	0.001075	0.004934	<b>0.493</b>	0.700
<b>Piso 02</b>	12.73	13.21	0.001285	0.005898	<b>0.590</b>	0.700
<b>Piso 01</b>	8.88	8.38	0.001270	0.005829	<b>0.583</b>	0.700
<b>Semisótano</b>	4.50	-	0.000000	0.002972	<b>0.297</b>	0.700
<b>Base</b>	-	-	-	-	0	0.700

**Fuente:** Elaboración propia.**Tabla 36***Control de desplazamientos, dirección Y-Y: Bloque - I.*

<b>Piso</b>	<b>Altura (m)</b>	<b>Desp. (mm)</b>	<b>Derivas Δ elásticas</b>	<b>Derivas Δ inelásticas</b>	<b>D. inelásticas Δ(%)</b>	<b>Deriva Δ límite</b>
<b>Techo</b>	16.58	15.94	0.001015	0.004659	<b>0.466</b>	0.700
<b>Piso 02</b>	12.73	12.04	0.001174	0.005389	<b>0.539</b>	0.700
<b>Piso 01</b>	8.88	7.53	0.001151	0.005283	<b>0.528</b>	0.700
<b>Semisótano</b>	4.50	-	0.000000	0.002907	<b>0.291</b>	0.700
<b>Base</b>	-	-	-	-	0	0.700

**Fuente:** Elaboración propia.

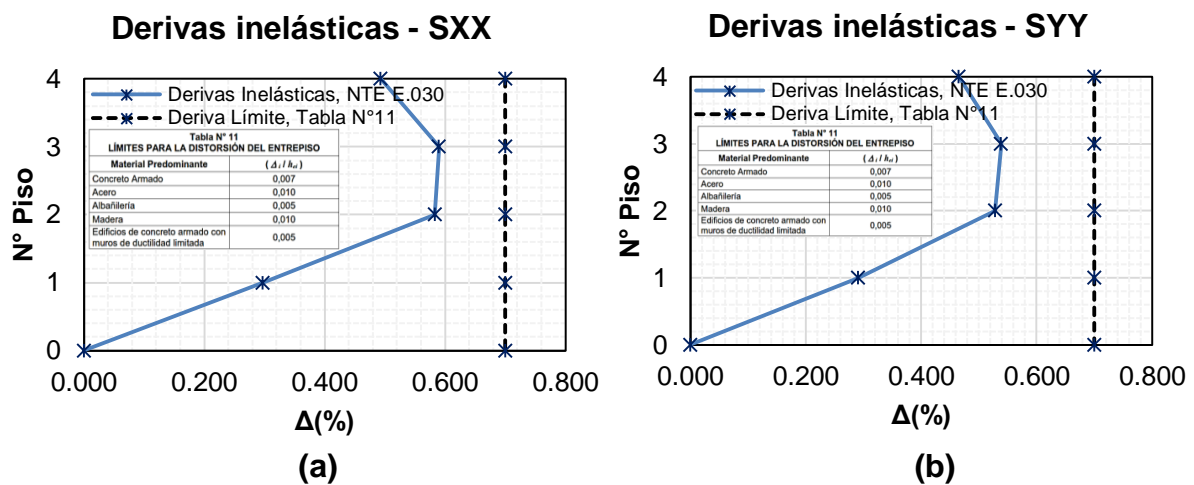


Figura 32. Derivas inelásticas, dirección (a)X-X, (b)Y-Y: Bloque – I.

Fuente: Elaboración propia.

**Tabla 37**

Control de desplazamientos, dirección X: Bloque – II.

Piso	Altura (m)	Desp. (mm)	Derivas Δ elásticas	Derivas Δ inelásticas	Derivas inelásticas Δ(%)	Deriva Δ límite
Techo	16.58	15.595	0.001166	0.005352	0.535	0.700
Piso 02	12.73	11.118	0.001186	0.005444	0.544	0.700
Piso 01	8.88	6.562	0.001012	0.004645	0.465	0.700
Semisótano	4.50	2.133	0.000474	0.002176	0.218	0.700
Base	-	-	-	-	0	0.700

Fuente: Elaboración propia.

**Tabla 38**

Control de desplazamientos, dirección Y: Bloque – II.

Piso	Altura (m)	Desp. (mm)	Derivas Δ elásticas	Derivas Δ inelásticas	Derivas inelásticas Δ(%)	Deriva Δ límite
Techo	16.58	15.954	0.001131	0.005191	0.519	0.700
Piso 02	12.73	11.896	0.001265	0.005806	0.581	0.700
Piso 01	8.88	7.345	0.001199	0.005503	0.550	0.700
Semisótano	4.50	2.42	0.000538	0.002469	0.247	0.700
Base	-	-	-	-	0	0.700

Fuente: Elaboración propia.

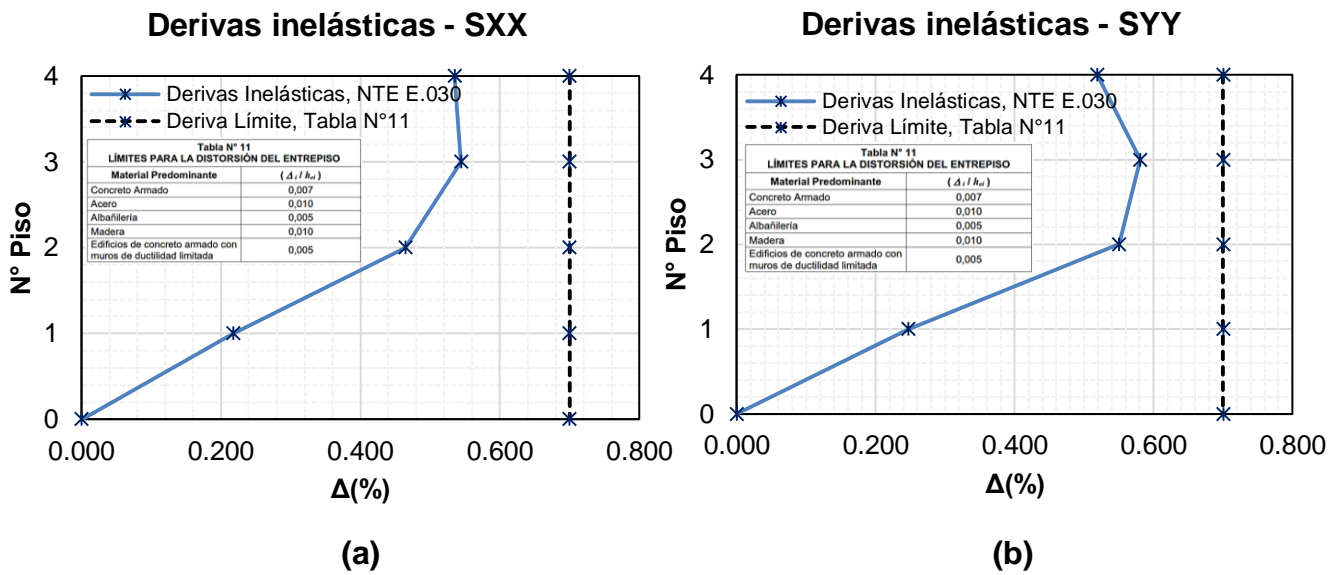


Figura 33. Derivas inelásticas, dirección (a)X-X, (b)Y-Y: Bloque – II.

Fuente: Elaboración propia.

**Tabla 39**

Control de desplazamientos, dirección X: Bloque – III.

Piso	Altura (m)	Desp. (mm)	Derivas Δ elásticas	Derivas Δ inelásticas	Derivas inelásticas Δ(%)	Deriva Δ límite
Techo	20.43	17.058	0.000972	0.004461	<b>0.446</b>	0.700
Piso 03	16.58	13.344	0.001193	0.005476	<b>0.548</b>	0.700
Piso 02	12.73	8.863	0.001235	0.005669	<b>0.567</b>	0.700
Piso 01	8.88	4.34	0.000816	0.003745	<b>0.375</b>	0.700
Semisótano	4.50	1.162	0.000258	0.001184	<b>0.118</b>	0.700
Base	-	-	-	-	<b>0</b>	0.700

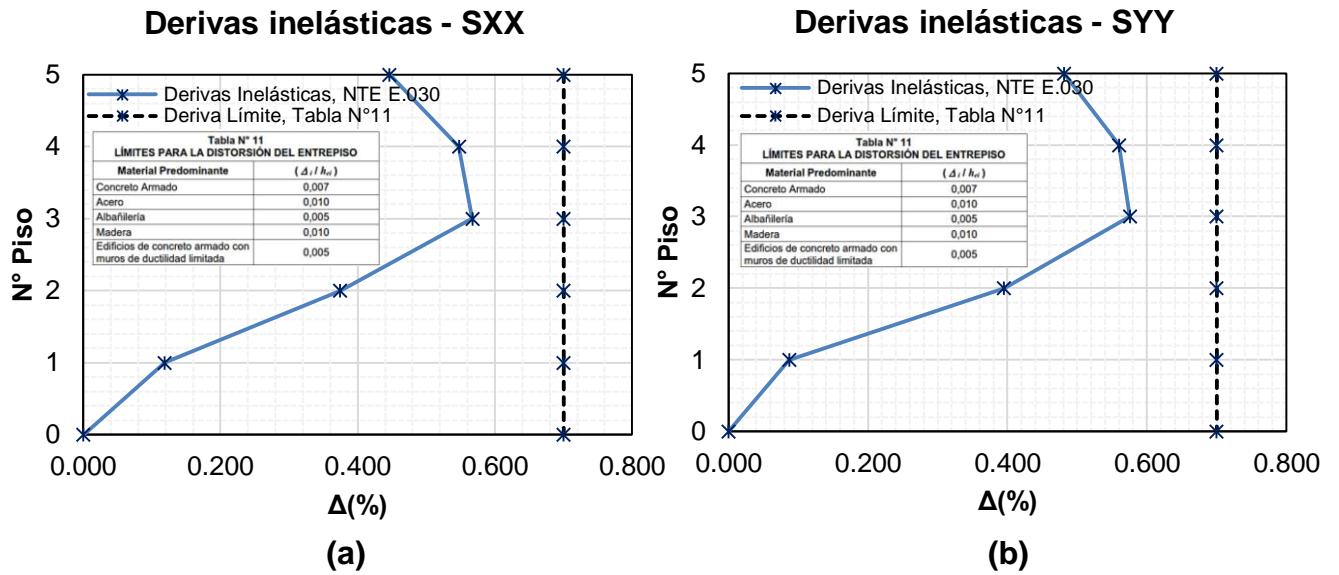
Fuente: Elaboración propia.

**Tabla 40**

Control de desplazamientos, dirección Y: Bloque – III.

Piso	Altura (m)	Desp. (mm)	Derivas Δ elásticas	Derivas Δ inelásticas	Derivas inelásticas Δ(%)	Deriva Δ límite
Techo	20.43	21.738	0.001258	0.004812	<b>0.481</b>	0.700
Piso 03	16.58	16.931	0.001464	0.005600	<b>0.560</b>	0.700
Piso 02	12.73	11.324	0.001504	0.005753	<b>0.575</b>	0.700
Piso 01	8.88	5.544	0.001033	0.003951	<b>0.395</b>	0.700
Semisótano	4.50	1.023	0.000227	0.000868	<b>0.087</b>	0.700
Base	-	-	-	-	<b>0</b>	0.700

Fuente: Elaboración propia.



**Figura 34.** Derivas inelásticas, dirección (a)X-X, (b)Y-Y: Bloque – III.

**Fuente:** Elaboración propia.

#### A. Junta sísmica

De acuerdo al artículo 33 de la Norma Técnica E030, para evitar que estructuras contiguas tengan contacto durante la ocurrencia de un evento sísmico, éstas se separarán una distancia mínima.

**Tabla 41**

*Juntas sísmicas del edificio en las dos direcciones.*

	Bloque - I		Bloque - II		Bloque - III	
	Junta sísmica X	Junta sísmica Y	Junta sísmica X	Junta sísmica Y	Junta sísmica X	Junta sísmica Y
h(cm)	1520	1520	1580	1580	1570	1570
Δmáx. (cm)	1.72	1.59	1.56	1.60	1.71	1.81
0.006h (cm)≥3cm	9.12	9.12	9.48	9.48	9.42	9.42
2/3Δmáx. (cm)	1.15	1.06	1.04	1.07	1.14	1.21
s/2=0.006h/2	4.56	4.56	4.74	4.74	4.71	4.71
<b>Separación límite de propiedad</b>	<b>5.00</b>	<b>5.00</b>	<b>5.00</b>	<b>5.00</b>	<b>5.00</b>	<b>5.00</b>

**Fuente:** Elaboración propia.

#### 4.1.4. Diseño de elemento estructurales

##### A. Diseño de losas aligeradas

###### a. Metrado de cargas

Tabla 42

Metrado de cargas losa aligerada  $h=0.20m$ .

Estado de carga	Losa aligerada $h=0.20m$ (armado en 01 dirección)		
Carga muerta (CM):	-P.P. vigueta.	- $0.035m^2 * 2.4tonf/m^3$	0.084 tonf/m
	-Peso alig. $H=0.20m$	- $0.30tonf/m^2 * 0.40m$	0.120 tonf/m
	-Peso acabados	- $0.15 tonf/m^2 * 0.40m$	0.060 tonf/m
<b>CM=</b>			<b>0.264 tonf/m</b>
Carga viva (CV):	-Oficinas	- $0.25 tonf/m^2 * 0.40m$	0.100 tonf/m
Carga Ultima:	<b><math>1.4CM+1.7CV = 0.540 tonf/m</math></b>		

Fuente: Elaboración propia.

###### b. Análisis estructural (ejemplo de diseño)

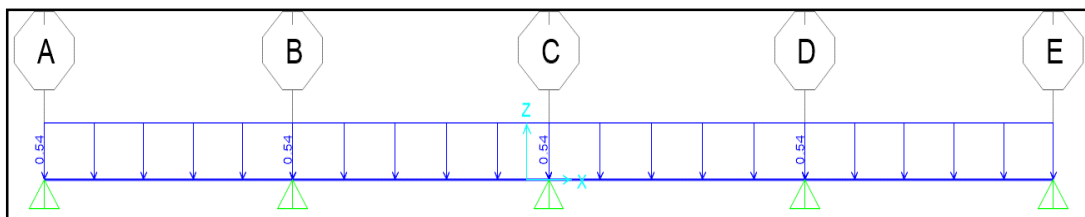


Figura 35. Modelo matemático de losa aligerada una dirección. Bloque – I.

Fuente: Elaboración propia.

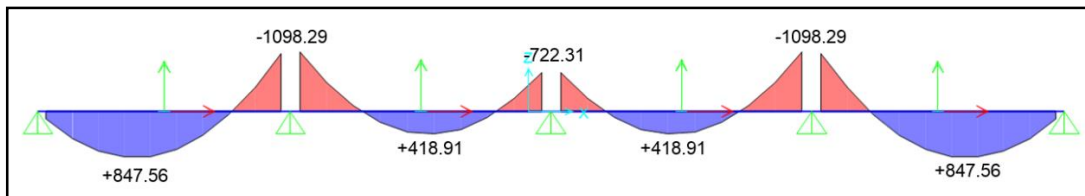


Figura 36. D.M.F. (kgf-m). Losa aligerada una dirección. Bloque – I.

Fuente: Elaboración propia.

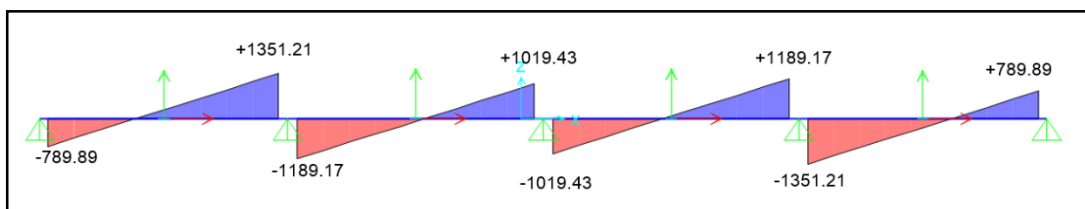


Figura 37. D.F.C. (kgf). Losa aligerada una dirección. Bloque – I.

Fuente: Elaboración propia.

### c. Diseño por flexión

El objetivo del diseño por flexión es determinar la cantidad de acero longitudinal a colocarse en una sección.

**Tabla 43**

*Diseño por flexión de losa aligerada.*

Mu≤φMn	Acero positivo			
	Tramo 1	Tramo 2	Tramo 3	Tramo 4
Mu <sup>(+)</sup> (kgf-m)	<b>847.56</b>	<b>418.91</b>	<b>418.91</b>	<b>847.56</b>
w	0.0397	0.0194	0.0194	0.0397
p	0.0020	0.0010	0.0010	0.0020
As <sup>(+)</sup> (cm <sup>2</sup> )	<b>1.35</b>	<b>0.66</b>	<b>0.66</b>	<b>1.35</b>
As <sub>Colocado</sub>	<b>1ø1/2"+1ø3/8"</b>	<b>1ø1/2"</b>	<b>1ø1/2"</b>	<b>1ø1/2"+1ø3/8"</b>
φMn <sup>(+)</sup> (kgf-m)	<b>1229.00</b>	<b>798.00</b>	<b>798.00</b>	<b>1229.00</b>
Acero negativo				
	Apoyo 2	Apoyo 3	Apoyo 4	Apoyo 5=1
Mu <sup>(-)</sup> (kgf-m)	<b>1098.29</b>	<b>722.31</b>	<b>1098.29</b>	<b>*481.97</b>
w	0.2330	0.1445	0.2330	0.0934
p	0.0117	0.0072	0.0117	0.0047
As <sup>(-)</sup> (cm <sup>2</sup> )	<b>1.98</b>	<b>1.23</b>	<b>1.98</b>	<b>0.79</b>
As <sub>Colocado</sub>	<b>1ø1/2"+1ø3/8"</b>	<b>1ø1/2"</b>	<b>1ø1/2"+1ø3/8"</b>	<b>1ø1/2"</b>
φMn <sup>(-)</sup> (kgf-m)	<b>1229.00</b>	<b>798.00</b>	<b>1229.00</b>	<b>798.00</b>

\*El A.C.I. indica M<sup>(-)</sup><sub>min</sub>=Wu\*L<sup>2</sup>/24

**Fuente:** Elaboración propia.

### d. Diseño por corte

La fuerza cortante de diseño se toma a una distancia “d” de la cara y dicha fuerza cortante se compara con la resistencia del concreto al corte.

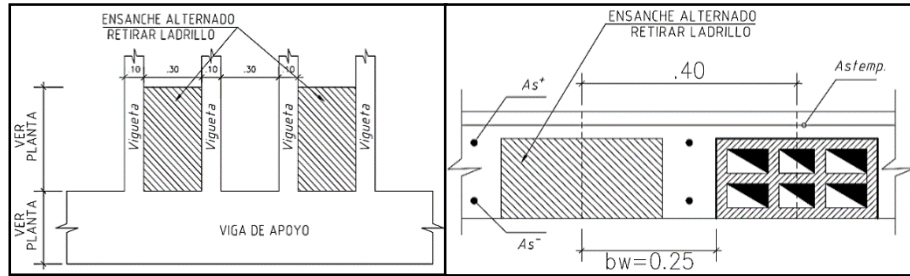
**Tabla 44**

*Diseño por corte de losa aligerada.*

	Tramo 1 (kgf)	Tramo 2 (kgf)	Tramo 3 (kgf)	Tramo 4 (kgf)	1.10φVc (kgf)
Vud (Izquierda)	789.89	1189.17	1019.43	<b>1351.21</b>	
Vud (Derecha)	<b>1351.21</b>	1019.43	1189.17	789.89	<b>1220.80</b>

**Fuente:** Elaboración propia.

Se observa que las cortantes ultimas de diseño en el tramo 1 y 4, son mayores a la resistencia del concreto, debido a esto realizaremos un ensanche alternado de las viguetas.



**Figura 38.** Detalle de ensanche alternado en viguetas.

**Fuente:** Elaboración propia.

Usando ensanches alternados ( $b=0.25m$ ), la capacidad de la vigüeta del aligerado será:

**Tabla 45**

*Calculo de ensanche alternado en viguetas.*

	Tramo 1 (kgf)	Tramo 4 (kgf)	$b=0.25m$	$b=0.10m$
			$1.10\phi V_c$ (kgf)	$L_{ensanche}:$ $((V_d - 1.10\phi V_c)/W_u) + d$
<b>Vud</b> (Izquierda)	789.89	<b>1351.21</b>		<b>0.45m</b>
<b>Vud</b> (Derecha)	<b>1351.21</b>	789.89	<b>3052.01</b>	<b>0.45m</b>

**Fuente:** Elaboración propia.

### e. Refuerzo por contracción y temperatura

En losas donde el acero de refuerzo por flexión es en un sentido, deberá proporcionarse refuerzo perpendicular al refuerzo por flexión, para resistir los esfuerzos por contracción y temperatura.

**Tabla 46**

*Refuerzo por temperatura en losa aligerada.*

$b=1.00m$	$As_t=0.0018*b*d$	$S \leq$		
$e=0.05m$	$(cm^2)$	$As(\phi 1/4)/As_t$	$5*e$	$0.45m$
	0.90	0.35	0.25	0.45
<b>Usaremos</b>				<b><math>\phi 1/4" @ 0.25m</math></b>

**Fuente:** Elaboración propia.

## f. Control de deflexiones

De acuerdo al numeral 9.6.2 de la Norma Técnica E.060, se requiere verificar deflexiones en los tramos de las losas aligeradas.

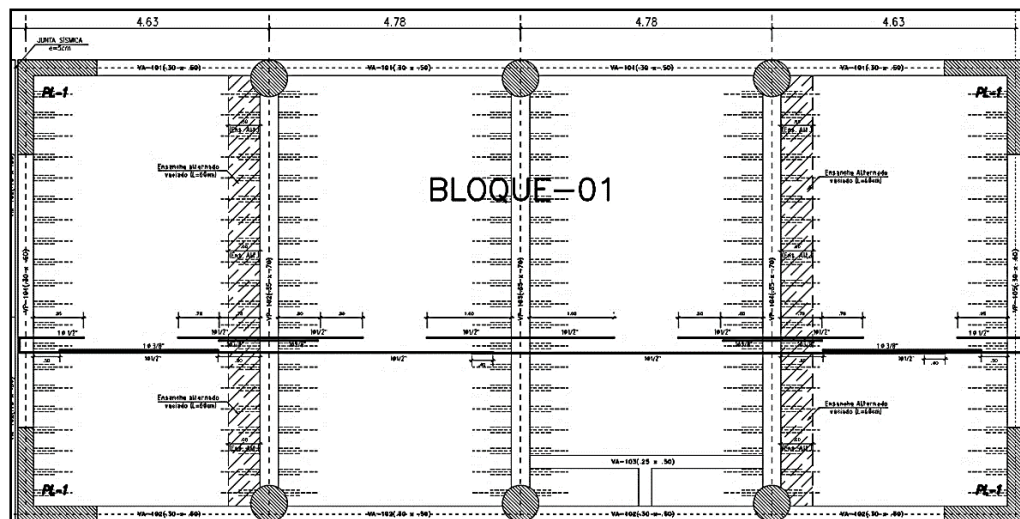
El siguiente cuadro muestra las deflexiones totales para cada tramo del aligerado:

**Tabla 47**  
*Deflexiones en losa aligerada, Bloque – I.*

Losa aligerada H=0.20m	Tramo 1 (mm)	Tramo 2 (mm)	Tramo 3 (mm)	Tramo 4 (mm)
$\Delta CM$	4.6	5.2	5.2	4.6
$\Delta CV$	1.7	2.0	2.0	1.7
Deflexión diferida $\Delta LP$	8.4	9.5	9.5	8.4
$\Delta_{total} = \Delta LP + \Delta CV$	<b>10.1</b>	<b>11.4</b>	<b>11.4</b>	<b>10.1</b>
$\Delta_{admisible} = L/480$	<b>9.0</b>	<b>9.2</b>	<b>9.2</b>	<b>9.0</b>

**Fuente:** Elaboración propia.

De acuerdo a los valores de la Tabla 47, las deflexiones en cada tramo son mayores a la admisible, por lo que se considerará una contra flecha de 0.5cm, para todos los tramos.



**Figura 39.** Disposición de acero de refuerzo final de losa aligerada H=0.20m, Bloque – I.

**Fuente:** Elaboración propia.

## B. Diseño de losas macizas

### a. Metrado de cargas

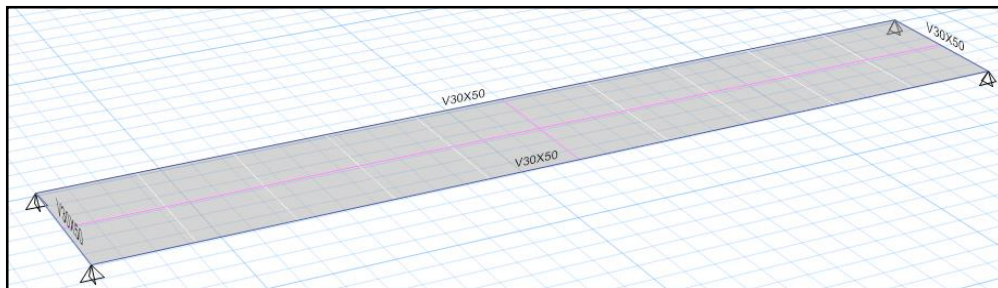
**Tabla 48**

Metrado de cargas losa maciza  $h=0.15m$ .

Estado de carga	Losa maciza $h=0.15m$ (armado en 01 dirección)		
Carga muerta (CM):	-Peso propio -Peso acabados	- $0.15m * 2.4\text{tonf/m}^3$ - $0.150 \text{ tonf/m}^2$	$0.360 \text{ tonf/m}^2$ $0.150 \text{ tonf/m}^2$
Carga viva (CV):	-Corredores	- $0.400 \text{ tonf/m}^2$	$0.400 \text{ tonf/m}^2$
Carga última:	$1.4\text{CM}+1.7\text{CV} =$		$1.394 \text{ tonf/m}^2$

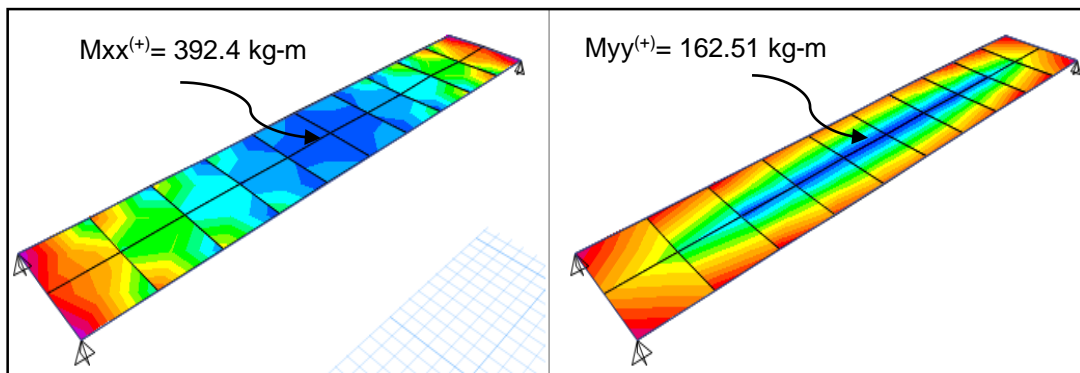
Fuente: Elaboración propia.

### b. Análisis estructural (ejemplo de diseño)



**Figura 40.** Vista 3D, de losa maciza una dirección. Bloque – II.

Fuente: Elaboración propia.



**Figura 41.** D.M.F. Losa maciza en una dirección. Bloque – II.

Fuente: Elaboración propia.

- **Momento positivo Dirección X-X.**
  - $M^{(+)} = 392.4 \text{ kgf-m}$
- **Momento positivo Dirección Y-Y.**
  - $M^{(+)} = 162.51 \text{ kgf-m}$

### c. Diseño por flexión

**Tabla 49**

Diseño por flexión de losa maciza.

Losa maciza $e = 0.15m$ (01 malla)	Acero positivo	
	Tramo 1 / dirección X-X	Tramo 1 / dirección Y-Y
$M_u^{(+)} \text{ (kgf-m)}$	<b>392.40</b>	<b>162.51</b>
w	0.0145	0.0397
p	0.0007	0.0020
$A_s^{(+)} \text{ (cm}^2\text{)}$	<b>0.87</b>	<b>0.36</b>
	<b>2.16</b>	<b>2.16</b>
$A_s^{\min} \text{ (cm}^2\text{)}$ $0.0018*100*(15-3)$	$0.71/2.16=0.33m$ ( $\varnothing 3/8 @ 0.30m$ )	$0.71/2.16=0.33m$ ( $\varnothing 3/8 @ 0.30m$ )
$A_s^{\text{temp.}} \text{ (cm}^2\text{)}$ $0.0018*100*15$	$2.70$ $0.71/2.70=0.26m$ ( $\varnothing 3/8 @ 0.25m$ )	$2.70$ $0.71/2.16=0.26m$ ( $\varnothing 3/8 @ .25m$ )
$A_s^{\text{Colocado}}$	<b>(<math>\varnothing 3/8 @ 0.25m</math>)</b>	<b>(<math>\varnothing 3/8 @ 0.25m</math>)</b>

Fuente: Elaboración propia.

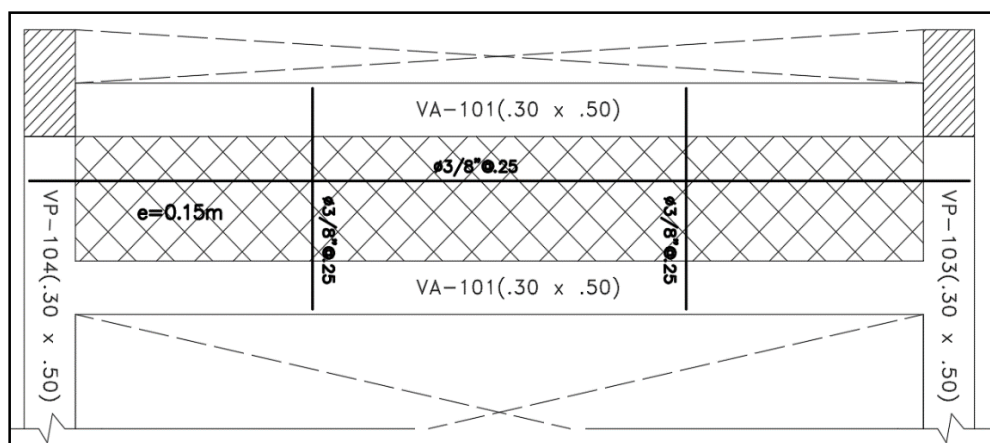
### d. Diseño por corte

**Tabla 50**

Diseño por corte de losa maciza.

b=100cm	Tramo 1	$\phi V_c$
d=12cm	(kgf)	(kgf)
$V_{ud}$ <sub>(Izquierda)</sub>	582.38	<b>7834.04</b>
$V_{ud}$ <sub>(Derecha)</sub>	582.38	

Fuente: Elaboración propia.



**Figura 42.** Disposición de acero de refuerzo final, de losa maciza una dirección. Bloque – II.

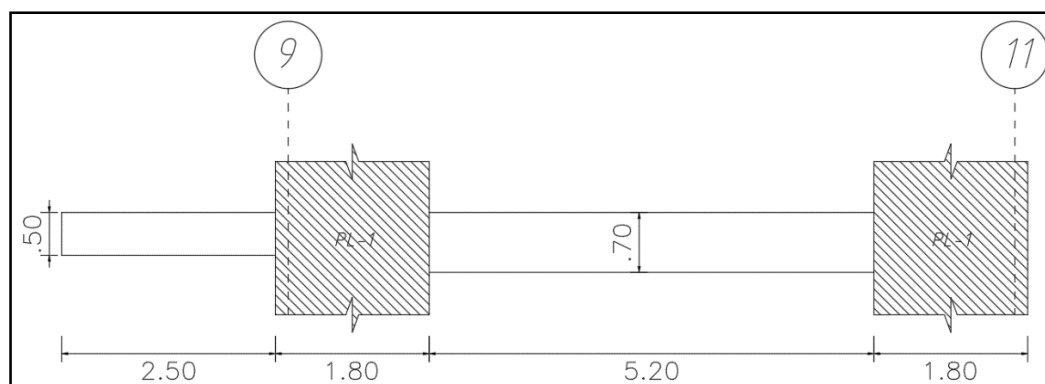
Fuente: Elaboración propia.

## C. Diseño de vigas

Estos elementos son diseñados por flexión y por cortante; además, absorben cargas de sismo y proporcionan rigidez lateral al edificio. El diseño se realiza a partir de los resultados obtenidos del análisis estructural (gravedad y sismo) y cumpliendo lo dispuesto en la Norma Técnica E.060, capítulo 21.

### a. Análisis Estructural (ejemplo de diseño)

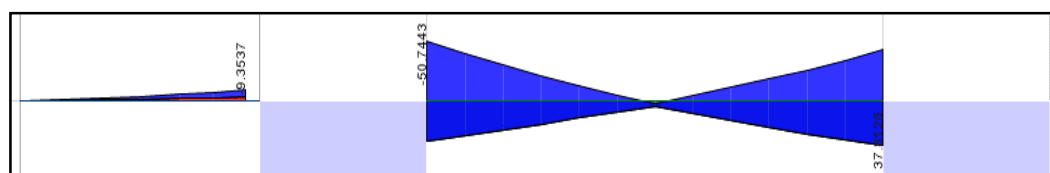
Para el diseño de las vigas peraltadas se realizará el cálculo de la envolvente de fuerzas internas utilizando las combinaciones dadas por la Norma Técnica E.060.



**Figura 43.** Dimensiones de viga a diseñar.

**Fuente:** Elaboración propia.

Del análisis estructural realizado en el ETABS V16.2.1, se obtiene la envolvente de momentos con las cargas amplificadas según Norma Técnica E.060.



**Figura 44.** Envolvente de D.M.F. de la VP- 101 (0.30 x 0.70). Bloque – I.

**Fuente:** Elaboración propia.

## b. Diseño por flexión

El objetivo del diseño por flexión es determinar la cantidad de acero longitudinal a colocarse en una sección de tal forma que se satisfaga la expresión.

$$Mu_{act} \leq \phi Mn ; \phi = 0.90$$

**Tabla 51**

Diseño por flexión VP- 101 (0.30 x 0.70): Bloque – I.

Viga	M.último actuante (tonf-m)	b (m)	d (m)	$\rho$	0.75pb	Tipo de falla	As Calculado (cm <sup>2</sup> )
VP-101 0.30x0.70 (tramo1)	Mi <sup>(-)</sup> <b>50.7443</b>	0.30	0.61	0.0145	0.01593	Dúctil	26.53
	Md <sup>(-)</sup> <b>43.1202</b>	0.30	0.61	0.0119	0.01593	Dúctil	21.74
	Mi <sup>(+)</sup> <b>34.3290</b>	0.30	0.61	0.0091	0.01593	Dúctil	16.68
	Md <sup>(+)</sup> <b>37.8126</b>	0.30	0.61	0.0102	0.01593	Dúctil	18.63
VP-101 0.30x0.50 (tramo2)	Mi <sup>(-)</sup> -	-	-	-	-	-	-
	Md <sup>(-)</sup> <b>9.3537</b>	0.30	0.44	0.0045	0.01593	Dúctil	5.94
	M <sup>(+)</sup> -	-	-	-	-	-	-

Fuente: Elaboración propia.

- Cálculo del momento nominal ( $\phi Mn$ )

$$Mu_{act} \leq \phi Mn ; \phi = 0.90$$

**Tabla 52**

Calculo del momento nominal: Bloque – I.

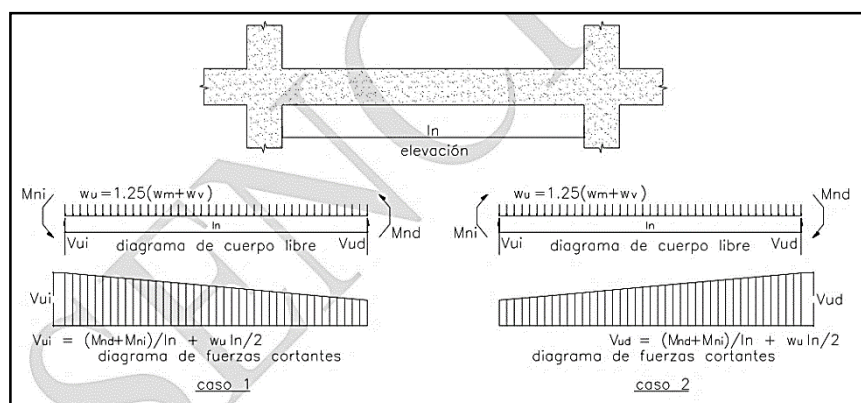
Viga	M.último actuante (tonf.m)	As calculado (cm <sup>2</sup> )	As colocado (cm <sup>2</sup> )	As colocado ( $\phi$ )	$\phi Mn$ diseño (tonf.m)
VP-101 0.30x0.70 (tramo1)	Mi <sup>(-)</sup> <b>50.74</b>	<b>26.53</b>	26.72	8φ3/4" + 2φ5/8"	<b>51.00</b>
	Md <sup>(-)</sup> <b>43.12</b>	<b>21.74</b>	22.72	8φ3/4"	<b>44.71</b>
	Mi <sup>(+)</sup> <b>34.33</b>	<b>16.68</b>	17.04	6φ3/4"	<b>34.97</b>
	Md <sup>(+)</sup> <b>37.81</b>	<b>18.63</b>	19.88	7φ3/4"	<b>39.36</b>
VP-101 0.30x0.50 (tramo2)	Mi <sup>(-)</sup> -	-	-	2φ3/4"	<b>8.97</b>
	Md <sup>(-)</sup> <b>9.35</b>	<b>5.94</b>	7.68	2φ3/4" + 1φ5/8"	<b>11.90</b>
	M <sup>(+)</sup> -	-	-	2φ5/8"	<b>6.41</b>

Fuente: Elaboración propia.

### c. Diseño por corte

- **Diseño por corte (capacidad)**

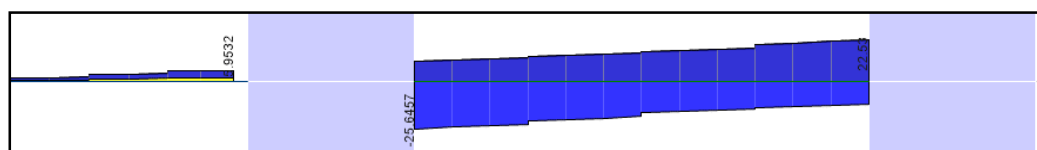
Se busca evitar las fallas frágiles. Se determina mediante, la fuerza cortante de diseño “ $V_u$ ” para las vigas que resistan efectos sísmicos, asociado a la armadura instalada no debe ser menor que el menor de los siguientes valores:



**Figura 45.** Fuerza cortante de diseño por capacidad en vigas.

**Fuente:** Norma Técnica E.060, Concreto Armado.

Del análisis estructural se obtiene la siguiente envolvente de fuerzas cortantes con todas las cargas amplificadas según Norma Técnica E.060. Estos valores serán tomados a una distancia “ $d$ ” de la cara de las columnas y las placas.



**Figura 46.** Envolvente de D.F.C. de VP- 101 (0.30 x 0.70): Bloque – I.

**Fuente:** Elaboración propia.

Ahora procedemos a calcular las cortantes isostáticas:

**Tabla 53***Metrado de cargas/Cortante isostático.*

<b>Estado de carga</b>	<b>VP-101(.30x.70)/ VP-101(.30x.50)</b>		
<b>Carga muerta (CM):</b>	-Peso Propio	-0.30m*0.70m*2.4tonf/m <sup>3</sup>	0.504 tonf/ml
	-Peso Propio	-0.30m*0.50m*2.4tonf/m <sup>3</sup>	0.360 tonf/ml
	-Aligerado	-0.3 tonf/m <sup>2</sup> (4.63/2+0.15)	0.738 tonf/ml
	-Piso terminado	-0.1 tonf/m <sup>2</sup> (4.63/2+0.15)	0.246 tonf/ml
	-Tabiquería	-0.25*1.45ton/m <sup>3</sup> (3.85-0.70)	1.142 tonf/ml
		<b>CM tramo1= 2.63 tonf/ml</b>	
		<b>CM tramo2= 1.34 tonf/ml</b>	
<b>Carga viva (CV):</b>	-Oficinas	-0.250 ton/m <sup>2</sup> (4.63/2+0.15)	0.615 tonf/ml
	-Corredores	-0.400 ton/m <sup>2</sup> (4.63/2+0.15)	0.984 tonf/ml
			<b>CV tramo1= 0.62 tonf/ml</b>
		<b>CV tramo2= 0.98 tonf/ml</b>	
<b>Cortante isostático</b>	<b>Tramo1</b>	<b>1.25(2.63+0.62)5.20/2</b>	<b>10.56 tonf</b>
	<b>Tramo2</b>	<b>1.25(1.34+0.98)2.50/2</b>	<b>3.63 tonf</b>

**Fuente:** Elaboración propia.**Tabla 54***Resultados del cálculo de Vu(diseño).*

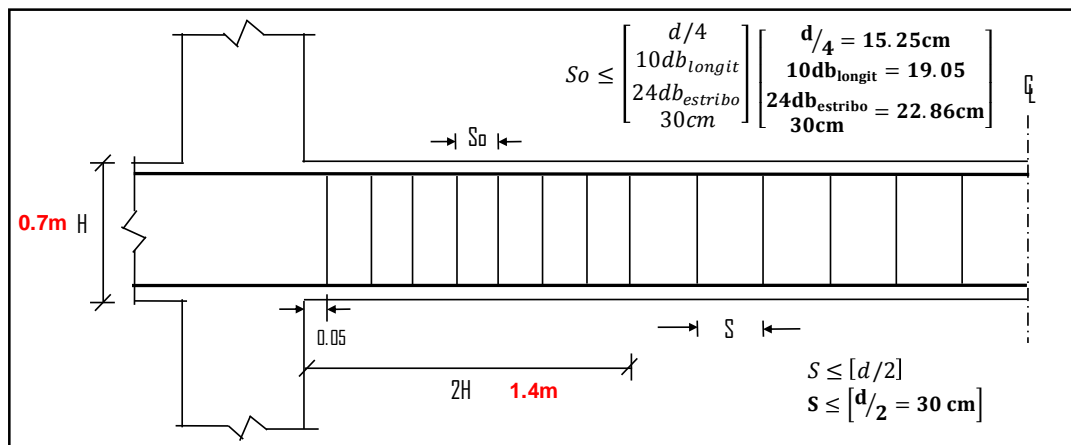
Análisis Etabs	Ln (m)	<b>Tramo 1</b>		<b>Tramo 2</b>	
		<b>Izquierda</b>	<b>Derecha</b>	<b>Izquierda</b>	<b>Derecha</b>
		<b>5.20</b>	<b>2.50</b>		
<b>As colocado (cm<sup>2</sup>)</b>	<b>Vud (tonf)</b>	<b>24.39</b>	<b>21.28</b>	<b>0.00</b>	<b>5.81</b>
<b>As-</b>	<b>As-</b>	<b>26.72</b>	<b>22.72</b>	<b>5.68</b>	<b>7.68</b>
<b>As+</b>	<b>As+</b>	<b>17.04</b>	<b>19.88</b>	<b>4.00</b>	<b>4.00</b>
<b>(a)Capacidad</b>	<b>Mn<sup>(-)</sup> (tonf-m)</b>	56.66	49.68	9.96	13.22
	<b>Mn<sup>(+)</sup> (tonf-m)</b>	38.86	44.40	7.13	7.13
	<b>Vu<sub>isostático</sub> (tonf)</b>	10.56	10.56	3.63	3.63
	<b>Vu<sub>izq</sub>;Vu<sub>der</sub> (tonf)</b>	30.00	27.59	10.46	11.76
<b>Vu (tonf)</b>		<b>30.00</b>		<b>11.76</b>	
<b>(b)2.5Vu<sub>sismo</sub></b>	<b>Vu<sub>izq</sub>;Vu<sub>der</sub> (tonf)</b>	60.98	53.19	0.00	14.53
	<b>Vu (tonf)</b>		60.98		14.53
<b>Vu<sub>diseño</sub> (tonf)</b>		<b>30.00</b>		<b>11.76</b>	

**Fuente:** Elaboración propia.**Tabla 55***Diseño por cortante: Bloque - I.*

<b>Viga</b>	<b>Análisis (Vud) (tonf)</b>	<b>Capacidad (Vud) (tonf)</b>	<b>(Vc) (tonf)</b>	<b>(Vn) (tonf)</b>	<b>(Vs) (tonf)</b>	<b>S (3/8") (cm)</b>	<b>S (máx.) (cm)</b>
<b>VP(0.30x0.70) (tramo1)</b>	24.39	<b>30.00</b>	14.06	35.29	21.24	<b>17.10</b>	<b>30.50</b>
<b>VP(0.30x0.50) (tramo2)</b>	5.81	<b>11.76</b>	10.14	13.84	3.70	<b>71.00</b>	<b>22.00</b>

**Fuente:** Elaboración propia.

Se debe tener en cuenta que al ser una viga con responsabilidad sísmica los estribos deben cumplir con lo mencionado anteriormente y con los criterios de confinamiento para vigas sísmicas descritos en la Norma Técnica E.060 capítulo 21.4.4.4:



**Figura 47.** Diseño de acero por corte en vigas – estribos.

**Fuente:** Elaboración propia.

Por lo tanto, para la viga **VP-101(0.30X0.70)** se elige la siguiente distribución de estribos:

**Tramo 01: (VP-30x70):**  $\Phi 3/8": 1@.05, 10@.15, \text{Rto}@.175$  c/extremo.

**Tramo 02: (VP-30x50):**  $\Phi 3/8": 1@.05, 10@.10, \text{Rto}@.20$  c/extremo.

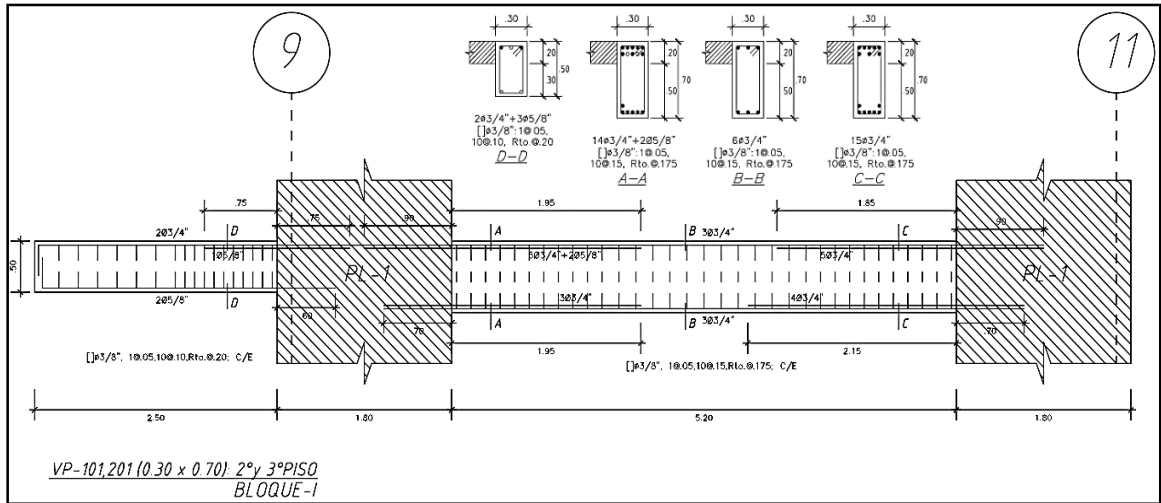
#### d. Control de deflexiones

Se requiere verificar deflexiones, de acuerdo a la Norma Técnica E.060, artículo 9.6.2, si es peralte de la viga "h" es mayor que la luz entre apoyos dividida entre 18.5 para tramos con un extremo continuo y mayor que la luz dividida entre 8 para tramos en voladizo.

**Tramo1:**  $5.20/18.5 = 0.28\text{m} < h = 0.70\text{m}, (\text{No requiere verif. deflex.})$

**Tramo2:**  $2.50/8 = 0.31\text{m} < h = 0.50\text{m}, (\text{No requiere verif. deflex.})$

La viga **VP-101(.30X.70)**, tiene un peralte H=70cm, por lo que cubre lo requerido mínimo para el control por deflexión.



**Figura 48.** Diseño final de VP-101 (0.30x0.70), Bloque – I.

**Fuente:** Elaboración propia.

#### D. Diseño de columnas

##### a. Análisis estructural (ejemplo de diseño)

Las columnas serán modeladas en el programa ETABS16V2.1. con las cargas de gravedad y las fuerzas sísmicas, el cual tendrá las combinaciones de la Norma Técnica E.060, para poder obtener resultados de momentos, axiales y cortantes y proceder a diseñar.

##### b. Diseño por flexocompresión uniaxial

Del análisis estructural se obtienen las fuerzas internas debido a las solicitudes sísmicas y de gravedad.

**Tabla 56***Fuerzas internas del análisis estructural, C-3: Bloque-II.*

Piso	Combinación	P (tonf)	VX-X (tonf)	MX-X (tonf-m)	VY-Y (tonf)	MY-Y (tonf-m)
S.Sótano	Peso propio	-51.648	0.375	0.448	0.086	0.129
S.Sótano	Carga muerta	-19.480	0.115	0.117	0.058	0.125
S.Sótano	Carga viva	-25.112	0.432	0.566	0.082	0.124
S.Sótano	Carga viva techo	-2.621	-0.002	-0.008	0.001	0.003
S.Sótano	Espectral XX[Diseño]	10.688	0.931	3.315	0.707	2.836
S.Sótano	Espectral YY[Diseño]	7.260	0.151	0.538	4.032	16.264

**Fuente:** Elaboración propia.

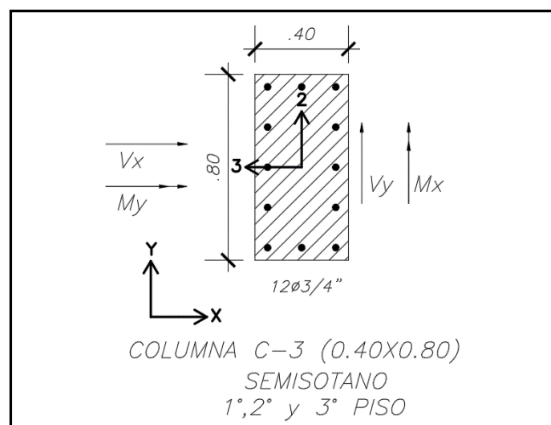
Se muestra las combinaciones dadas por la NTE E.060.

**Tabla 57***Fuerzas internas de combinaciones de carga, C-3: Bloque-II.*

Piso	Combinación	P (tonf)	VX-X (tonf)	MX-X (tonf-m)	VY-Y (tonf)	MY-Y (tonf-m)
S.Sótano	1.4CM+1.7CV	-146.726	1.418	1.738	0.341	0.572
S.Sótano	1.25(CM+CV)+SXX	-96.857	3.479	9.691	2.051	7.568
S.Sótano	1.25(CM+CV)-SXX	-150.296	-1.177	-6.886	-1.486	-6.614
S.Sótano	1.25(CM+CV)+SYY	-105.427	1.529	2.747	10.361	41.137
S.Sótano	1.25(CM+CV)-YY	-141.727	0.773	0.058	-9.797	-40.184
S.Sótano	0.9CM+SXX	-37.296	2.769	8.796	1.897	7.320
S.Sótano	0.9CM-SXX	-90.734	-1.886	-7.780	-1.640	-6.862
S.Sótano	0.9CM+SYY	-45.865	0.820	1.852	10.208	40.889
S.Sótano	0.9CM-SYY	-82.165	0.063	-0.836	-9.950	-40.432

**Fuente:** Elaboración propia.

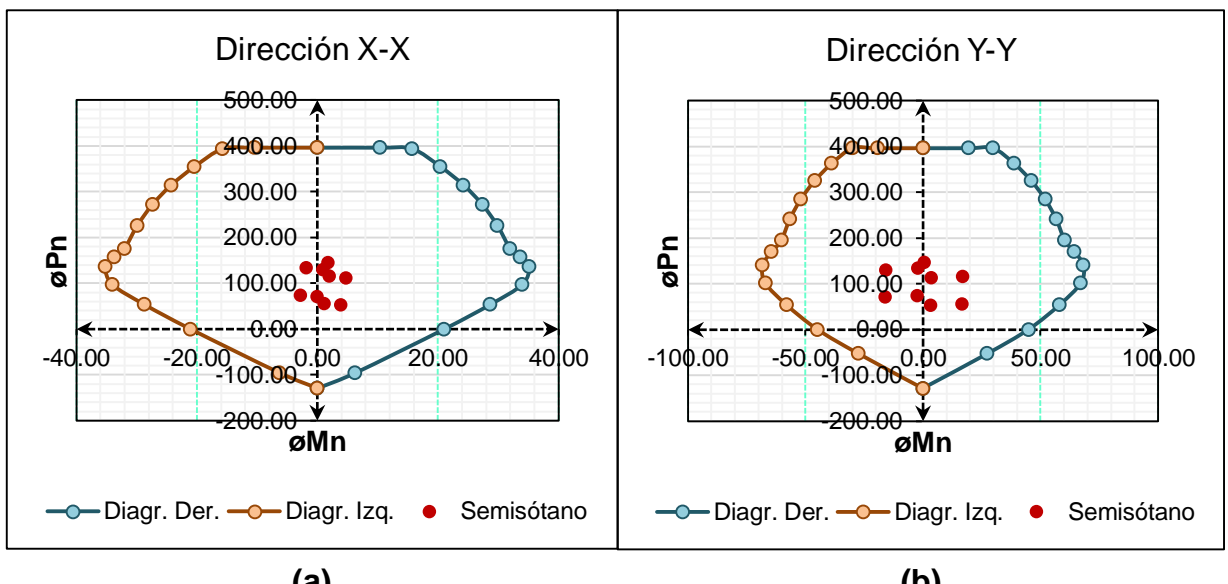
Se empezará la iteración mediante un refuerzo de  $12\phi 3/4"$ ,  $34.20\text{cm}^2$  de refuerzo ( $\rho=1.07\%$ ). Tenemos la siguiente sección:

**Figura 49.** Disposición de acero preliminar de columna, C-3, Bloque – II.**Fuente:** Elaboración propia.

### c. Diagrama de interacción

El diagrama de interacción se obtiene en base a las dimensiones de la sección transversal, la disposición espacial y cantidad de acero longitudinal colocado.

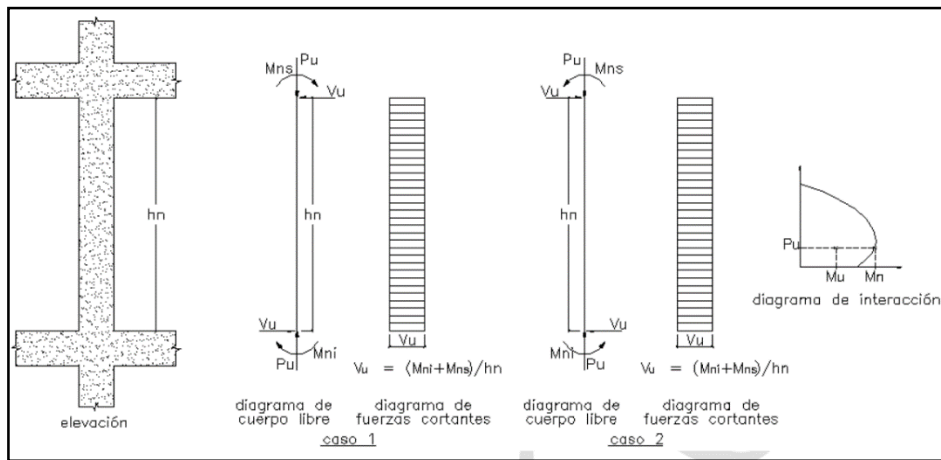
Se verificó que los pares ( $M_u; P_u$ ) debido a todas las combinaciones de carga consideradas estén dentro del diagrama de interacción.



**Figura 50.** Diagrama de interacción: en la dirección (a) X-X (b) Y-Y, C-3, B – II.  
**Fuente:** Elaboración propia.

### d. Diseño por corte

Se calcula las fuerzas cortantes de acuerdo al numeral 21.4.3 de la Norma Técnica E.060 donde indica consideraciones para el diseño sísmico y análisis por capacidad para edificios con sistema de muros estructurales, el cual ( $V_u$ ), analizado por capacidad, Figura 51, se debe de comparar con la envolvente de fuerzas cortantes con cargas sísmicas multiplicadas por 2.5. Para luego elegir el menor valor calculado.



**Figura 51.** Fuerza cortante de diseño por capacidad en columnas.

**Fuente:** Norma Técnica E.060, Concreto Armado

**Tabla 58**

Cortante por capacidad dirección X-X; C-3, Bloque – II.

Piso	Combinación	Vu - (X-X)						
		P tonf	Mn tonf-m	Vu <sub>act</sub> tonf	Vu <sub>(cap)</sub> (a) tonf 2.5(b)	Vu <sub>diseño</sub> tonf	φVc tonf	Vs tonf
S.Sot.	1.4CM+1.7CV	<b>146.73</b>	<b>40.90</b>	1.42	18.18	1.42	<b>1.42</b>	<b>23.57</b>
S.Sot.	1.25[CM+CV]+SXX	<b>112.89</b>	<b>38.00</b>	<b>2.08</b>	16.89	3.48	<b>3.48</b>	<b>22.23</b>
S.Sot.	1.25[CM+CV]-SXX	<b>134.26</b>	<b>39.70</b>	0.22	17.64	-1.18	<b>0.22</b>	<b>23.08</b>
S.Sot.	1.25[CM+CV]+SYY	<b>116.32</b>	<b>38.30</b>	1.30	17.02	1.53	<b>1.53</b>	<b>22.37</b>
S.Sot.	1.25[CM+CV]-SYY	<b>130.84</b>	<b>39.40</b>	1.00	17.51	0.77	<b>1.00</b>	<b>22.94</b>
S.Sot.	0.9CM+SXX	<b>53.33</b>	<b>30.80</b>	1.37	13.69	2.77	<b>2.77</b>	<b>19.87</b>
S.Sot.	0.9CM-SXX	<b>74.70</b>	<b>33.60</b>	0.49	14.93	-1.89	<b>0.49</b>	<b>20.72</b>
S.Sot.	0.9CM+SYY	<b>56.76</b>	<b>31.40</b>	0.59	13.96	0.82	<b>0.82</b>	<b>20.01</b>
S.Sot.	0.9CM-SYY	<b>71.28</b>	<b>33.20</b>	0.29	14.76	0.06	<b>0.29</b>	<b>20.58</b>

**Fuente:** Elaboración propia.

**Tabla 59**

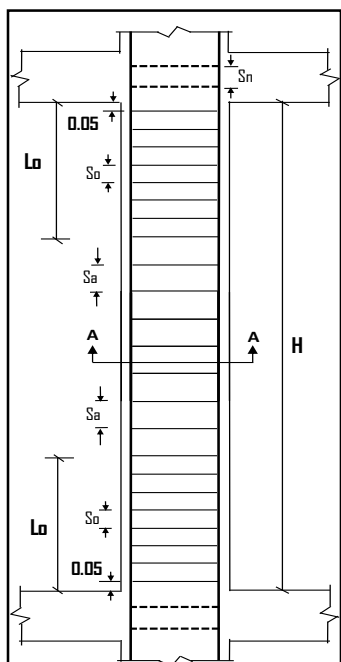
Cortante por capacidad dirección Y-Y; C-3, Bloque – II.

Piso	Combinación	Vu - (Y-Y)						
		P tonf	Mn tonf-m	Vu <sub>act</sub> tonf	Vu <sub>(cap)</sub> (a) tonf 2.5(b)	Vu <sub>diseño</sub> tonf	φVc tonf	Vs tonf
S.Sot.	1.4CM+1.7CV	<b>146.73</b>	<b>78.90</b>	0.34	35.07	0.34	<b>0.34</b>	<b>25.65</b>
S.Sot.	1.25[CM+CV]+SXX	<b>112.89</b>	<b>74.40</b>	0.99	33.07	2.05	<b>2.05</b>	<b>24.19</b>
S.Sot.	1.25[CM+CV]-SXX	<b>134.26</b>	<b>77.14</b>	0.43	34.28	-1.49	<b>0.43</b>	<b>25.12</b>
S.Sot.	1.25[CM+CV]+SYY	<b>116.32</b>	<b>74.85</b>	<b>4.31</b>	33.27	10.36	<b>10.36</b>	<b>24.34</b>
S.Sot.	1.25[CM+CV]-SYY	<b>130.84</b>	<b>76.72</b>	3.75	34.10	-9.80	<b>3.75</b>	<b>24.97</b>
S.Sot.	0.9CM+SXX	<b>53.33</b>	<b>62.90</b>	0.84	27.96	1.90	<b>1.90</b>	<b>21.62</b>
S.Sot.	0.9CM-SXX	<b>74.70</b>	<b>67.22</b>	0.58	29.88	-1.64	<b>0.58</b>	<b>22.55</b>
S.Sot.	0.9CM+SYY	<b>56.76</b>	<b>63.50</b>	4.16	28.22	10.21	<b>10.21</b>	<b>21.77</b>
S.Sot.	0.9CM-SYY	<b>71.28</b>	<b>66.58</b>	3.90	29.59	-9.95	<b>3.90</b>	<b>22.40</b>

**Fuente:** Elaboración propia.

Sin embargo, en los numerales 21.4.5.3, 21.4.5.4 y 21.4.5.5 de la Norma Técnica E.060 están mencionados los requerimientos mínimos de refuerzo para diseño por sismo de la zona de confinamiento, la zona central y los nudos de la columna.

Los requerimientos son los siguientes:

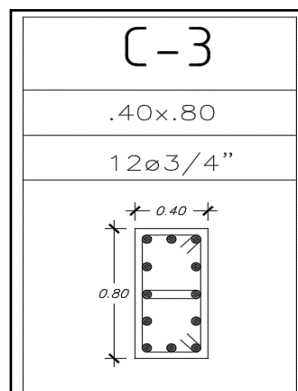


**DATOS:**

$\text{Columna: } b \times D = 40 \times 80 \text{ cm}$ $H_{\text{col}} = 4.50 \text{ m}$ $\text{Estriplos} = \emptyset 3/8"; \text{db}_{\text{prin}} = \emptyset 3/4"; \text{db}_{\text{menor}} = \emptyset 3/4"$	$L_o \leq \begin{cases} \frac{h}{6} \\ \max(a, b) \\ 50 \text{ cm} \end{cases}$ $L_o \leq \begin{cases} \frac{h}{6} = 0.75 \text{ m} \\ \max(a, b) = 0.80 \text{ m} \\ 50 \text{ cm} \end{cases}$  $S_o \leq \begin{cases} 8\text{db}_{\text{menor}} \\ \min(\frac{a}{2}; \frac{b}{2}) \\ 10 \text{ cm} \end{cases}$ $S_o \leq \begin{cases} 8\text{db}_{\text{menor}} = 0.15 \text{ m} \\ \min(\frac{a}{2}; \frac{b}{2}) = 0.20 \text{ m} \\ 10 \text{ cm} \end{cases}$  $S_a \leq \begin{cases} 16\text{db} \\ \min(a, b) \\ d/2 \\ 30 \text{ cm} \end{cases}$ $S_a \leq \begin{cases} 16\text{db} = 0.30 \text{ m} \\ b = 0.40 \text{ m} \\ 48\text{de} = 0.46 \text{ m} \\ 30 \text{ cm} \end{cases}$ $S_n \leq [15 \text{ cm}]$
--	---

**Figura 52.** Diseño de acero por cortante en columnas – estribos.

**Fuente:** Elaboración propia



**2Φ3/8": 1@.05, 7@.10, Rto@.30 c/e.  
En el nudo, se tendra 2Φ3/8@.15**

**Figura 53.** Disposición de acero de refuerzo final, C-3:  
(0.40mx0.80m), Bloque – II.

**Fuente:** Elaboración propia.

## E. Diseño muros de corte (placas)

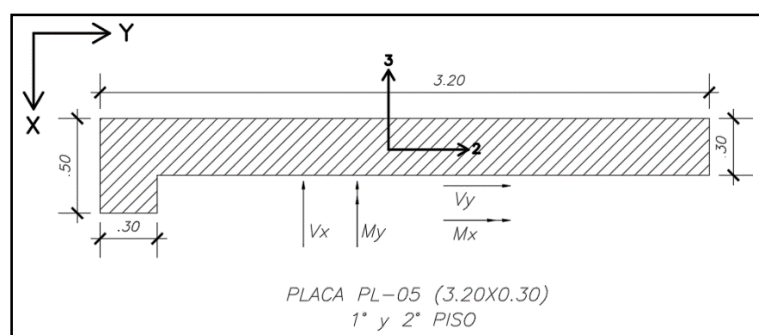
Las placas o muros de corte son los elementos verticales que toman la mayor parte de las cortantes inducidas por un eventual sismo y aportan rigidez lateral a la edificación que contribuye significativamente en el control de desplazamientos laterales de la estructura.

### a. Diseño por flexocompresión

Son diseñadas por flexocompresión y corte siempre en cuando cumpla con la relación ( $H/L \geq 1$ ), donde H: altura de placa y L: longitud horizontal de la placa, el cual permite definirlas como esbeltas; caso contrario, serán diseñadas como vigas de gran peralte. El diseño de placas es un procedimiento iterativo, al igual que en las columnas, donde se desarrollan los diagramas de interacción a partir de la distribución de refuerzo longitudinal colocado y se verifica que las solicitudes de cargas sean menores que la resistencia de la sección.

### b. Análisis estructural (ejemplo de diseño)

A manera de ejemplo se desarrollará el diseño de la placa PL-5, del B-III, ubicado en el eje "E" entre eje "1" y "2". La sección crítica se ubicará en la base del primer piso.



**Figura 54.** Ejes globales y locales para la placa PL-5, Bloque – III.  
**Fuente:** Elaboración propia.

**Tabla 60***Fuerzas internas del análisis estructural: PL-5, Bloque – III.*

Piso	Combinación	P (tonf)	VX-X (tonf)	MX-X (tonf-m)	VY-Y (tonf)	MY-Y (tonf-m)
1	Peso propio	-79.482	0.324	1.083	-0.264	7.773
1	Carga muerta	-22.461	-0.104	-0.041	-1.136	1.090
1	Carga viva	-16.093	0.371	1.024	-0.711	3.381
1	Carga viva techo	-2.118	-0.038	-0.073	0.033	0.247
1	Espectral XX[Diseño]	70.189	22.480	62.334	33.822	183.858
1	Espectral YY[Diseño]	26.624	15.547	56.025	97.502	574.271

**Fuente:** Elaboración propia.

A continuación, se muestra las combinaciones de carga establecidas por la Norma Técnica E.060.

**Tabla 61***Fuerzas internas de combinaciones de carga, PL-5.*

Piso	Combinación	P (tonf)	VX-X (tonf)	MX-X (tonf-m)	VY-Y (tonf)	MY-Y (tonf-m)
1	1.4CM+1.7CV	-173.678	0.875	3.076	-3.114	18.574
1	1.25[CM+CV]+SXX	<b>-80.003</b>	<b>23.172</b>	<b>64.826</b>	31.223	199.471
1	1.25[CM+CV]-SXX	-220.381	-21.788	-59.842	-36.421	-168.246
1	1.25[CM+CV]+SYY	-123.568	16.239	58.517	94.903	589.884
1	1.25[CM+CV]-YY	<b>-176.815</b>	-14.855	-53.533	<b>-100.101</b>	<b>-558.659</b>
1	0.9CM+SXX	-21.560	22.679	63.272	32.562	191.834
1	0.9CM-SXX	-161.938	-22.281	-61.396	-35.083	-175.882
1	0.9CM+SYY	-65.125	15.746	56.963	96.241	582.247
1	0.9CM-SYY	-118.372	-15.348	-55.087	-98.762	-566.295

**Fuente:** Elaboración propia.

#### Dirección Y-Y

- Altura total de la placa:  $H=20.43\text{m}$ .
- Longitud de la placa:  $L=3.20\text{m}$ .
- $H/L=6.38>1$  (D. por flexocompresión)

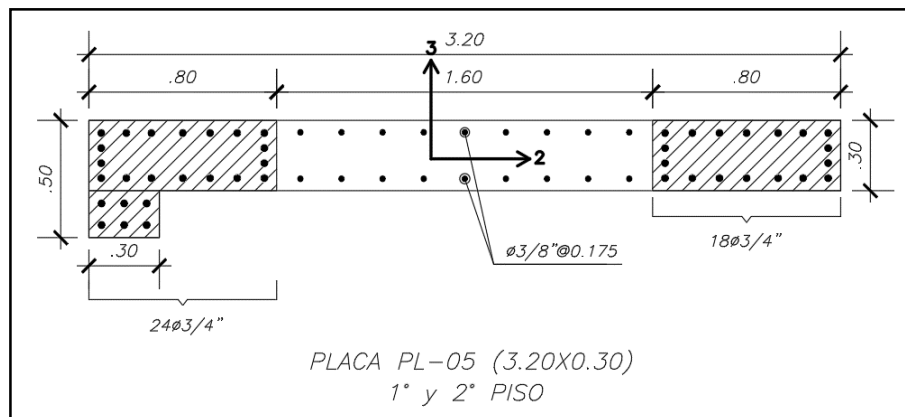
El acero longitudinal de la placa se distribuye en dos capas ya que el espesor es mayor que 20 cm. La norma define la cuantía mínima del refuerzo vertical, dependiendo de la magnitud de la fuerza cortante.

**Tabla 62***Acero de refuerzo vertical, PL-5.*

<b>b=100cm t=30cm</b>	<b>Dirección de análisis Y-Y</b>
$V_{u\text{actuante}}$	100.101 tonf
$0.27\sqrt{210} \cdot 30(0.8 \cdot 320)$	30.05 tonf
$\rho_{\min}$ (vertical)	0.0025
$A_s = \rho_{\min} \cdot b \cdot t$	$7.5 \text{ cm}^2/\text{m}$
$S = (2 \text{ mallas})$	$(2 \cdot 0.71) / 7.5 = 0.189 \text{ m}$
<b>Usaremos</b>	<b><math>\Phi 3/8'' @ 0.175 \text{ m}</math></b>

**Fuente:** Elaboración propia.**Tabla 63***Estimación de acero de refuerzo vertical en el núcleo, PL-5*

<b>Dirección de análisis Y-Y</b>	
$A_s = Mu / (\phi * f_y * 0.9 L_m)$	
- $M_u = 558.66 \text{ tonf-m}$	$51.32 \text{ cm}^2$
- $\phi = 0.90$	
- $L_m = 3.20 \text{ m}$	
<b>Usaremos</b>	<b><math>18\Phi 3/4''</math></b>

**Fuente:** Elaboración propia.**Figura 55.** Distribución preliminar de la placa PL-5, Bloque – III.**Fuente:** Elaboración propia.

**c. Verificación de la necesidad de colocar elementos de borde confinados**

**Tabla 64***Determinación de "c", PL-5.*

$M_u = 558.66 \text{ tonf-m}$ , $d = 0.80 \text{ Lm}$	$\Phi = 0.90$ , $L_m = 3.20 \text{ m}$ , $\beta_1 = 0.85$	<b>Diseño por flexión simple</b>
$a = d - \sqrt{d^2 - (2M_u / \phi 0.85 f_{cb})}$		50.20 cm
$c = a / \beta_1$		<b>59.06 cm</b>

**Fuente:** Elaboración propia.

El numeral 21.9.7.4 de la Norma Técnica E.060 indica que los elementos de borde deben estar confinados si la máxima profundidad del eje neutro de la placa "c", calculado con la fuerza axial amplificada "Pu" y el momento nominal consistente con un desplazamiento inelástico " $\delta_u$ ", es mayor que el siguiente resultado.

**Tabla 65**

*Colocación de núcleo confinado, PL-5.*

$\delta_{\text{elástico}} = 0.0158\text{m}$ $R=4.5, hm=15.93\text{m}$	Dirección de análisis Y-Y
"c" calculado(cm)	<b>59.06</b>
$\delta_u = \delta_{\text{elástico}} * 0.85R$ (m)	0.06
$\delta_u/hm \geq 0.005$	0.0046
Tomar: $\delta_u/hm$	0.0050
$c \geq L_m / [600(\delta_u/hm)]$	<b>106.7 cm</b>
<b>(59.06 &lt; 106.7) No necesita elemento de borde confinado</b>	

**Fuente:** Elaboración propia.

A pesar que los elementos de borde no necesitan estribos de confinamiento, se decide conservadoramente colocar estribos como si fuera requerido. Cada elemento de borde debe extenderse horizontalmente a una distancia medida desde la fibra extrema en compresión hasta una distancia no menor que el mayor de los siguientes valores:

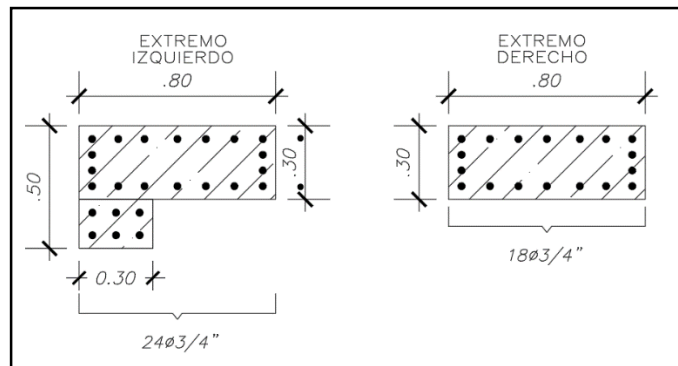
**Tabla 66**

*Dimensiones de elementos de borde, PL-5.*

$L_m = 320\text{cm}$	Elemento de borde (dimensiones)
$c = 59.06\text{cm}$	
$c - 0.1L_m$	27.06 cm
$c/2$	29.53 cm
<b>Mínimo</b>	<b>30.00 cm</b>
<b>Usaremos:</b>	<b>0.30m x 0.80m</b>

**Fuente:** Elaboración propia.

Los elementos de borde se extienden horizontalmente 80cm en el extremo izquierdo y extremo derecho, por lo que cumplen con este requerimiento.



**Figura 56.** Elementos de borde de la placa PL-5,  
Bloque-III.

**Fuente:** Elaboración propia.

Los elementos de borde, de acuerdo al numeral 21.9.7.6 de la Norma Técnica E.060, deben tener estribos con un espaciamiento que no excedan al menor de los siguientes valores:

**Tabla 67**

*Espaciamiento mínimo de estribos, PL-5.*

<b>Elemento de borde (dimensiones)</b>	
10db( $\Phi 3/4''$ )	19.10 cm
t(menor)	30 cm
Mínimo	25 cm
<b>Usaremos:</b>	<b><math>\Phi 3/8'' @ 0.175m</math></b>

**Fuente:** Elaboración propia.

Además, cuando ya no sea necesario colocar elementos de borde confinados, el espaciamiento vertical del refuerzo transversal no debe exceder el menor de los siguientes valores:

**Tabla 68**

*Espaciamiento mínimo de estribos, PL-5.*

<b>Elemento de borde (dimensiones)</b>	
16db <sub>menor</sub> ( $\Phi 1/2''$ )	20.32 cm
48db <sub>estribo</sub>	45.60 cm
t(menor)	30.00 cm
Mínimo	25 cm
<b>Usaremos:</b>	<b><math>\Phi 3/8'' @ 0.20m</math></b>

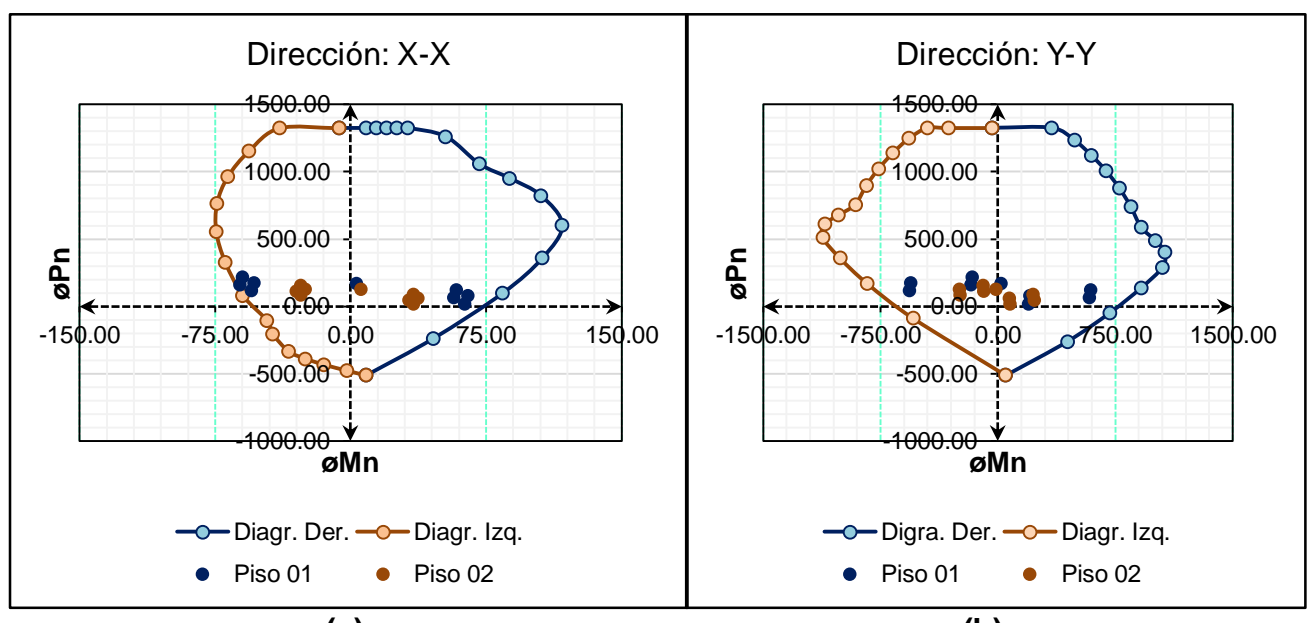
**Fuente:** Elaboración propia.

#### d. Diagrama de interacción

La placa PL-05, BLOQUE-III, no es simétrica en ninguna de las direcciones por lo que se espera diagramas de interacción rotados.

El diagrama de interacción se obtiene en base a las dimensiones de la sección transversal, la disposición espacial y cantidad de acero longitudinal colocado.

Se verificó que los pares ( $M_u; P_u$ ) debido a todas las combinaciones de carga consideradas estén dentro del diagrama de interacción ( $\phi M_n; \phi P_n$ ).



**Figura 57.** Diagrama de interacción dirección. X-X(a) y Y-Y(b), placa PL-5, BL – III.

**Fuente:** Elaboración propia.

### e. Diseño por corte

La  $\rho_{h \min}$ , según la Norma Técnica E.060, es la siguiente:

**Tabla 69**

*Acero de refuerzo horizontal, PL-5.*

<b>b=100cm t=30cm</b>	<b>Dirección de análisis Y-Y</b>
$V_{U_{act}}$	100.101 tonf
$0.27\sqrt{210} * 30(0.8 * 320)$	30.05 tonf
$\rho_{\min}$ (horizontal)	<b>0.0025</b>
$A_{S_{\min}} = \rho_{\min} * b * t$	<b>7.5 cm<sup>2</sup>/m</b>

**Fuente:** Elaboración propia.

De acuerdo al numeral 21.9.5 la Norma Técnica E.060, las fuerzas cortantes de diseño se deben calcular por capacidad. Esto equivale a evitar que la falla por corte se produzca antes que la falla por flexión o flexocompresión.

**Tabla 70**

*Cortante de diseño por capacidad, PL-5.*

<b>V<sub>u</sub>a (tonf)</b>	<b>M<sub>u</sub>a (tonf-m)</b>	<b>"P(-)tonf" → Mn</b>	<b>Mn (tonf-m)</b>	<b>Mn/M<sub>u</sub>a ≤f</b>	<b>V<sub>u</sub>.diseño (tonf)</b>
<b>100.101</b>	558.659	176.82	<b>922.00</b>	1.429	<b>168.236</b>

**Fuente:** Elaboración propia.

De acuerdo a la norma, esta es la fuerza de diseño por lo menos hasta una altura del muro definido como la máxima de las siguientes expresiones:

**Tabla 71**

*Altura diseño de cortante por capacidad, PL-5.*

<b>Altura de diseño de cortante por capacidad</b>		
Lm		3.20 m
H <sub>max</sub>	M <sub>u</sub> a/4V <sub>u</sub> a	1.40 m
	<b>H2piso</b>	<b>8.23 m</b>

**Fuente:** Elaboración propia.

En consecuencia, se confinará una altura de 8.23m, lo cual equivale a confinar los dos primeros pisos. Fuera de dicha altura de confinamiento la Norma E.060 establece no exceder el menor de los siguientes valores; **16db, 48de, t, 25cm.**

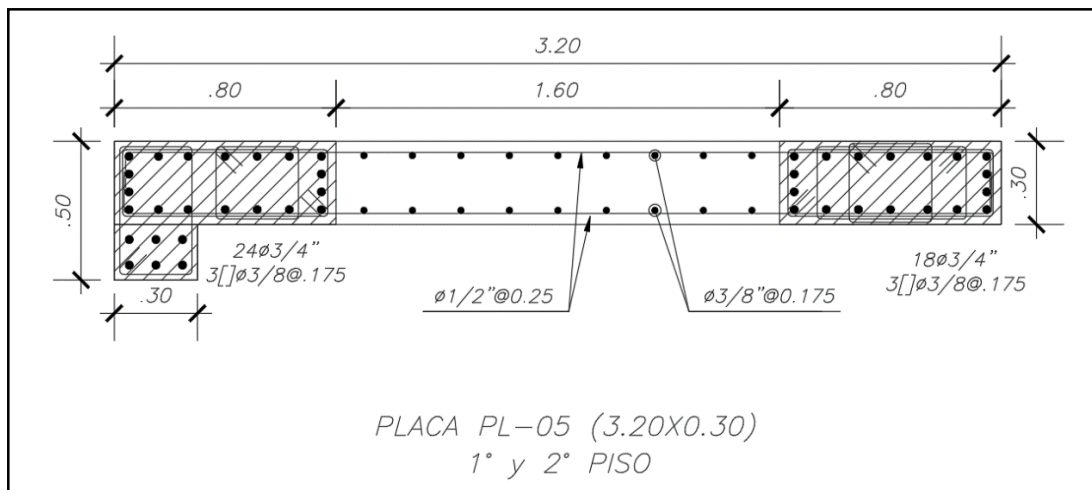
Resumen de diseño por capacidad para el muro de corte PL-5, Bloque-III.

**Tabla 72**

*Resumen de diseño de cortante por capacidad, PL-5.*

Dirección de análisis Y-Y						
Nivel	V <sub>u</sub> <sub>diseño</sub> (tonf)	V <sub>c</sub> (tonf)	V <sub>c</sub> >V <sub>u</sub>	V <sub>s</sub> (tonf)	p <sub>h</sub>	p <sub>v</sub>
Piso 01	168.236	58.99	NO	109.250	0.0034	0.0025
<b>Distribución horizontal:</b>						<b>Φ1/2" @ 0.25m</b>
<b>Distribución vertical:</b>						<b>Φ3/8" @ 0.175m</b>

**Fuente:** Elaboración propia.



**Figura 58.** Diseño final del muro de corte PL-5, Bloque – III.

**Fuente:** Elaboración propia.

## F. Diseño de cimentaciones

### a. Características de la cimentación

De acuerdo al estudio de suelos (EMS) se tienen los siguientes datos:

- |                                  |                                   |
|----------------------------------|-----------------------------------|
| • Perfil del suelo               | : Tipo S3                         |
| • Clasificación SUCS             | : CL                              |
| • Esfuerzo admisible             | : $\sigma=0.81 \text{ kgf/cm}^2$  |
| • Factor de seguridad            | : F.S.= 3.0                       |
| • Módulo de Winkler o Balasto    | : $k=1.86 \text{ kgf/cm}^3$       |
| • Peso Volumétrico               | : $\gamma_s=1628 \text{ kgf/m}^3$ |
| • Angulo de fricción del terreno | : $\emptyset =15.86^\circ$        |
| • Cohesión                       | : $c=0.196 \text{ kgf/cm}^2$      |
| • Profundidad de la cimentación  | : Df=1.5m                         |

### b. Diseño de losa de cimentación

Para el diseño de la platea de cimentación se realizó el modelamiento en el programa de ingeniería SAFEV12.3.2, ya que es una herramienta que nos permitirá obtener mediante el análisis el predimensionamiento y las fuerzas internas a las que estará sujeta la cimentación como las fuerzas cortantes y momentos flexionantes, que nos servirán para calcular el acero de refuerzo requerido en la losa de cimentación.

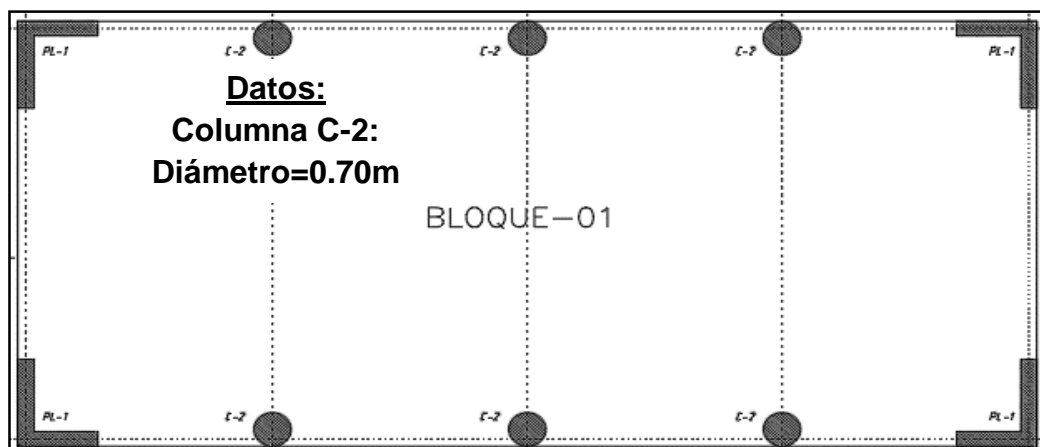


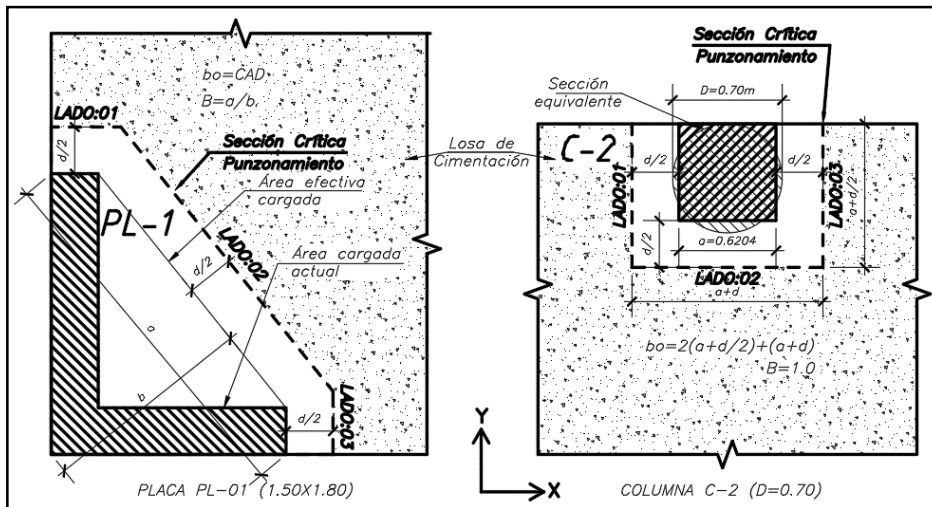
Figura 59. Vista en planta para la cimentación, Bloque – I.

Fuente: Elaboración propia.

### c. Verificación por punzonamiento

De acuerdo a la Norma Técnica E.060, en el capítulo 11.12.

Indica que la resistencia requerida "Vu" se calcula considerando una sección crítica con un perímetro "bo" a una distancia "d/2" de cada lado del elemento vertical y en el capítulo 11.12.2.1 indica sobre la resistencia nominal mínima del concreto "Vc".



**Figura 60.** Geometría por punzonamiento, Bloque – I.

**Fuente:** Elaboración propia.

Se debe cumplir la siguiente expresión.

$$\rightarrow Vu \leq \phi Vc; \phi = 0.85$$

**Tabla 73**

*Verificación por punzonamiento, C-2, Bloque-I.*

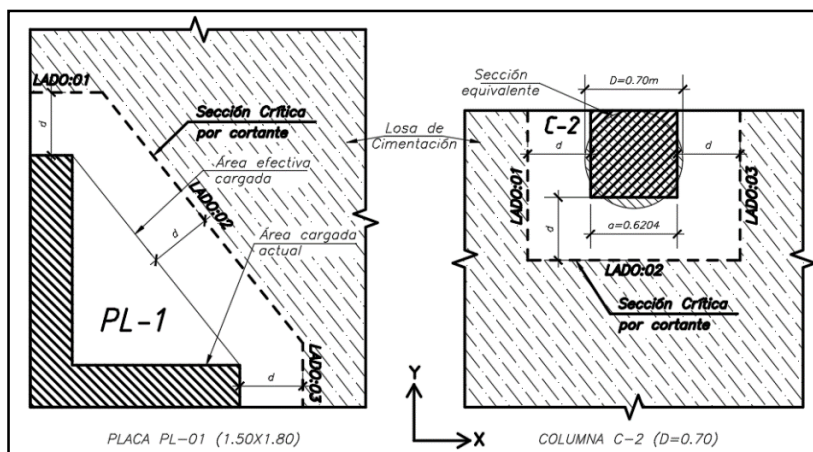
$bo=286.12\text{cm}$ , $d=50\text{cm}$	Verificación por punzonamiento
$\beta=1$ , $as=30$	
$Vua (\text{tonf})$	$Vu1+Vu2+Vu3$
	94.82
$Vc (\text{tonf})$	$1.06vfc^*bo^*d$
	329.63
	$0.53(1+2/\beta) vfc^*bo^*d$
	405.40
$\Phi Vc (\text{tonf})$	$0.85*219.75$
	<b>186.79 (cumple)</b>

**Fuente:** Elaboración propia.

#### d. Verificación por corte

La Norma Técnica E.060, indica en el capítulo 11.1.3.1. y 11.3.1.1, la evaluación por fuerza cortante se realiza en las dos direcciones de análisis de manera independiente. Se considera la resistencia requerida "Vu" de una sección crítica a una distancia "d" de la cara del apoyo y la resistencia nominal proporcionada por el concreto "Vc" está definida por la siguiente expresión:

$$Vu \leq \phi Vc ; \text{ Donde: } \phi = 0.85$$



**Figura 61.** Geometría por corte, Bloque – I.

**Fuente:** Elaboración propia.

**Tabla 74**

*Verificación por corte, C-2, Bloque-I.*

$b_{x-x}=162.04\text{cm}$ , $b_{y-y}=112.04\text{cm}$ $d=50\text{cm}$	Verificación por corte	
Dirección análisis X-X		
Vua (tonf)	Lado 2	41.15
$\Phi Vc$ (tonf)	$0.85*0.53*\sqrt{210}*(162.04)*50$	52.89 (cumple)
Dirección análisis Y-Y		
Vua (tonf)	Lado 1	9.05
	Lado 3	31.39
$\Phi Vc$ (tonf)	$0.85*0.53*\sqrt{210}*(112.04)*50$	36.57 (cumple)

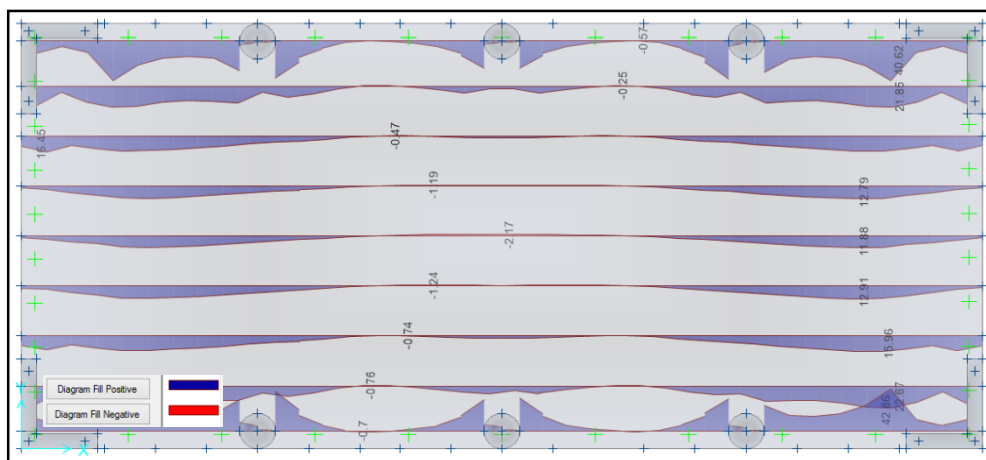
**Fuente:** Elaboración propia.

### e. Diseño por flexión

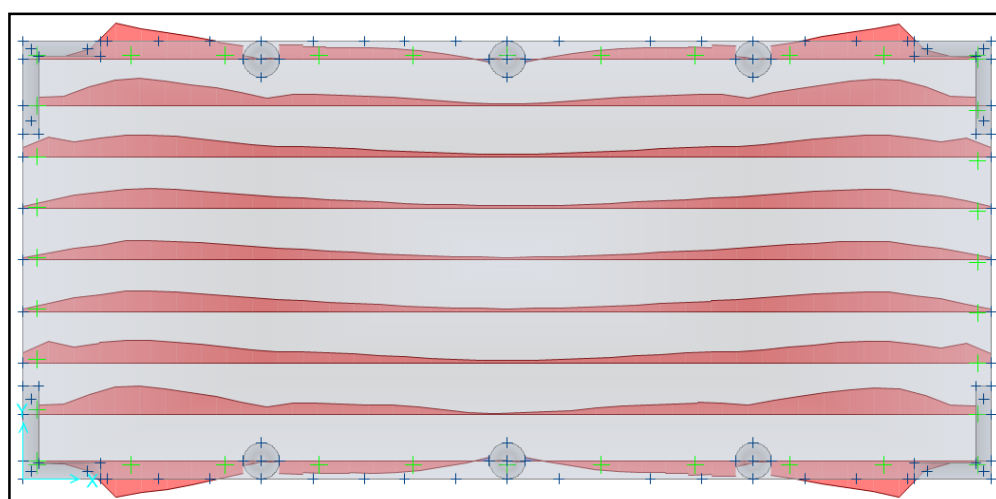
Se realiza en las dos direcciones de análisis de manera independiente. Los momentos flectores requeridos "Mu" se analizarán con franjas de diseño por un metro de ancho (tonf-m/ml). Se obtiene los esfuerzos últimos proveniente de la combinación más desfavorable, (Envolvente).

Cálculo de cuantía mínima:

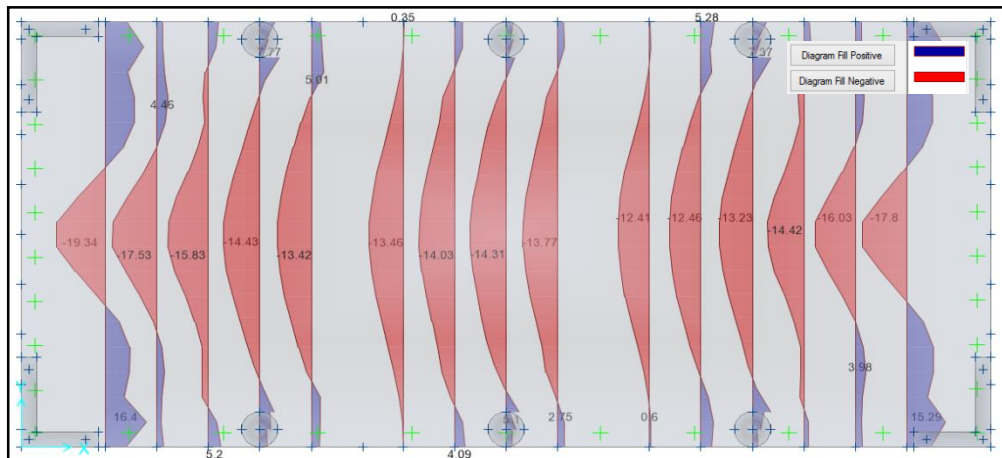
$$As_{min} = 0.0018 * 100\text{cm} * 60\text{cm} ; \rightarrow \left\{ \begin{array}{l} S = \frac{2.85}{10.80} = 0.26 \\ As_{min} = 10.80 \text{ cm}^2/\text{m} \\ \rightarrow \emptyset 3/4" @ 0.25 \end{array} \right.$$



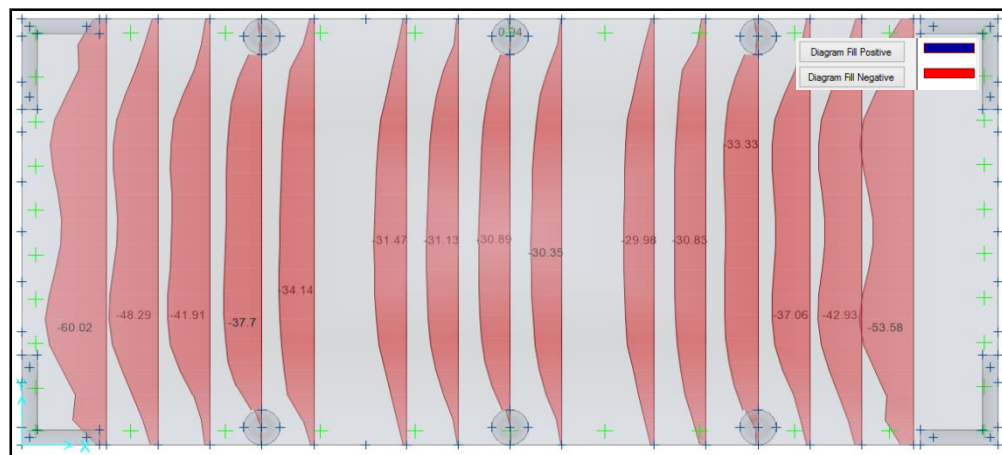
**Figura 62.** D.M.F(+), en la dirección X-X debido a la envolvente (tonf-m/ml).  
**Fuente:** Elaboración propia.



**Figura 63.** D.M.F(-), en la dirección X-X debido a la envolvente (tonf-m/ml).  
**Fuente:** Elaboración propia.



**Figura 64.** D.M.F(+), en la dirección Y-Y debido a la envolvente (tonf-m/ml).  
**Fuente:** Elaboración propia.



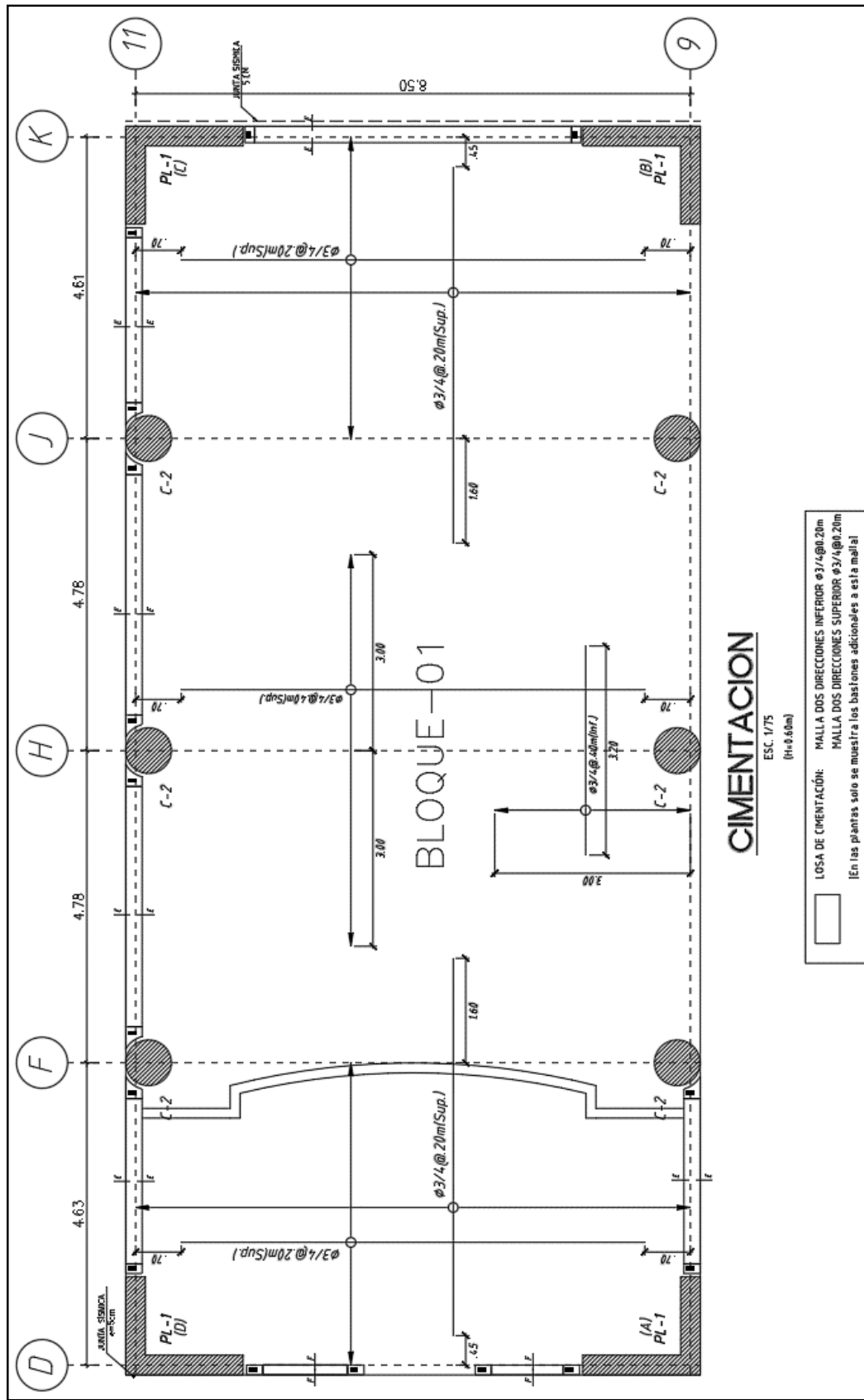
**Figura 65.** D.M.F(-), en la dirección Y-Y debido a la envolvente, (tonf-m/ml).  
**Fuente:** Elaboración propia.

Por lo tanto, la disposición de acero de refuerzo para la Losa de cimentación, será en función a la condición de resistencia “**Mu<φMn**”.

**Tabla 75**  
*Diseño por flexión de losa de cimentación.*

Losa C° H=0.60m b=1.00m	Con acero corrido: φ3/4" @ 0.20m	φ3/4" @ 0.20m	(Superior e Inferior)
	Malla	As (cm <sup>2</sup> )	φMn (tonf-m/ml)
	φ3/4" @ 0.20m	14.25	28.095
Con Bastones	φ3/4" @ 0.20m + φ3/4" @ 0.20m φ3/4" @ 0.20m + φ3/4" @ 0.40m	28.50 21.38	50.586 39.376

**Fuente:** Elaboración propia.



**Figura 66.** Diseño final de losa de cimentación del Bloque - I.

**Fuente:** Elaboración propia.

## G. Diseño del muro de semisótano

Los muros de sótano que se diseñan para contener el empuje o presión lateral del suelo. Estos muros tienen apoyo lateral en el cimiento y en cada nivel que exista losa, por lo que no existe posibilidad de volteo en este tipo de muros.

$$\text{MURO SÓTANO:} \left\{ \begin{array}{l} \rho_{h \min} = 0.0020 \\ \rho_{v \min} = 0.0015 ; |0.0018(\text{recomendable}) \end{array} \right.$$

### a. Características del muro

- $\phi$  : 15.86°
- $\gamma_s$  : 1628 kg/m³
- S/C : 500 kg/m²
- t : 0.20m
- Hmuro : 3.90m

### b. Metrado de cargas

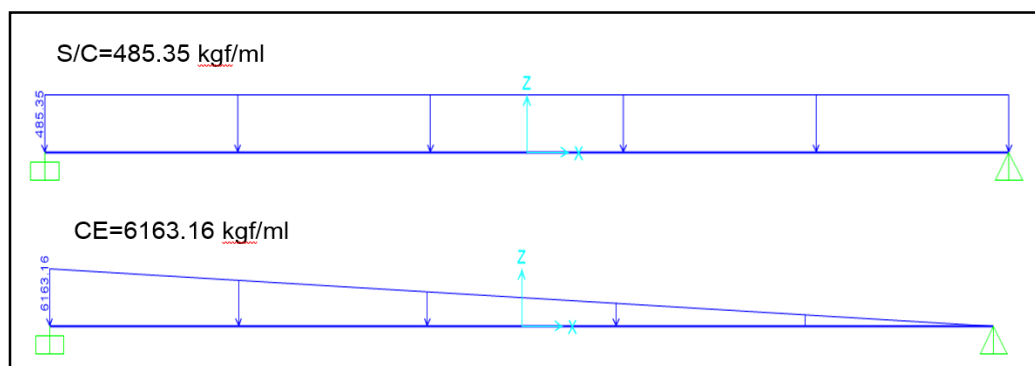
**Tabla 76**

*Metrado de cargas muro de semisótano, t=0.20m.*

Estado de carga	Muro de semisótano t=0.20m	
Carga viva (CV):	-ka	Tan²(45-φ/2) 0.571
	-Carga por empuje	Ka*γ*H 3625.39 kgf/ml
	-S/C	Ka*S/C 285.50 kgf/ml
Carga última:	<b>U1=1.7*C. Empuje =</b>	6163.16 kgf/ml
	<b>U2=1.7*S/C =</b>	485.35 kgf/ml

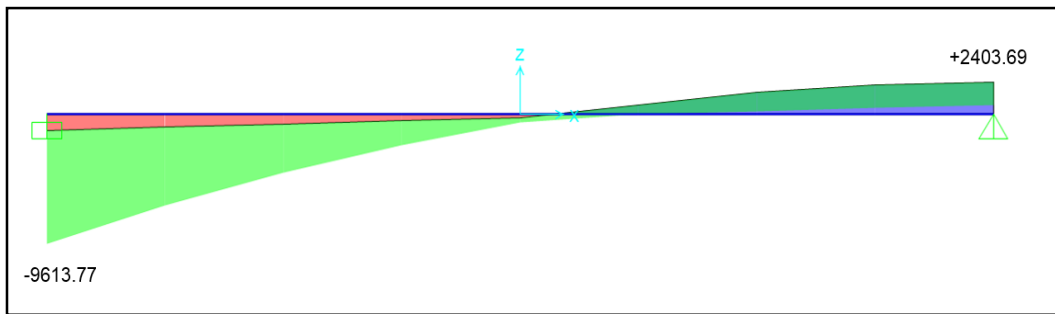
Fuente: Elaboración propia.

### c. Análisis estructural (ejemplo de diseño)



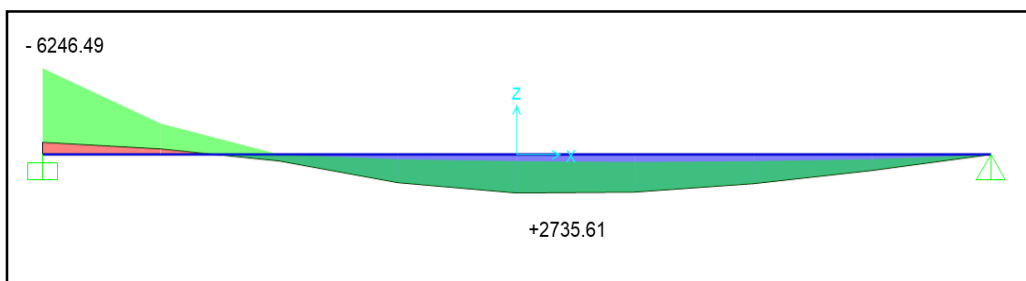
**Figura 67.** Idealización del muro de semisótano.

Fuente: Elaboración propia.



**Figura 68.** Diagrama de fuerza cortante, debido a la envolvente (kgf/ml)

**Fuente:** Elaboración propia.



**Figura 69.** Diagrama de momento flector, debido a la envolvente (kgf-m/ml)

**Fuente:** Elaboración propia.

#### d. Diseño por flexión

**Tabla 77**

*Diseño por flexión de muro de semisótano.*

Muro semisótano $t = 0.20m$ (02 malla)	Tramo 01	
	Acero positivo	Acero negativo
$M_u$ (kgf-m)	2735.61	6246.49
w	0.0517	0.1233
$\rho$	0.0026	0.0062
$A_s$ ( $cm^2$ )	4.39	10.48
$A_{s\min} = 0.0020 * 100 * 17$ (horizontal)	$3.40 \text{ cm}^2$ ( $\varnothing 3/8 @ 0.20m$ )	
$A_{s\min} = 0.0018 * 100 * 17$ (vertical)	$3.06 \text{ cm}^2$ ( $\varnothing 3/8 @ 0.20m$ )	
$A_{s\text{colocado}}$	( $\varnothing 1/2 @ 0.25m$ )	( $\varnothing 3/4 @ 0.25m$ )

**Fuente:** Elaboración propia.

### e. Diseño por corte

Se debe cumplir con la siguiente expresión:

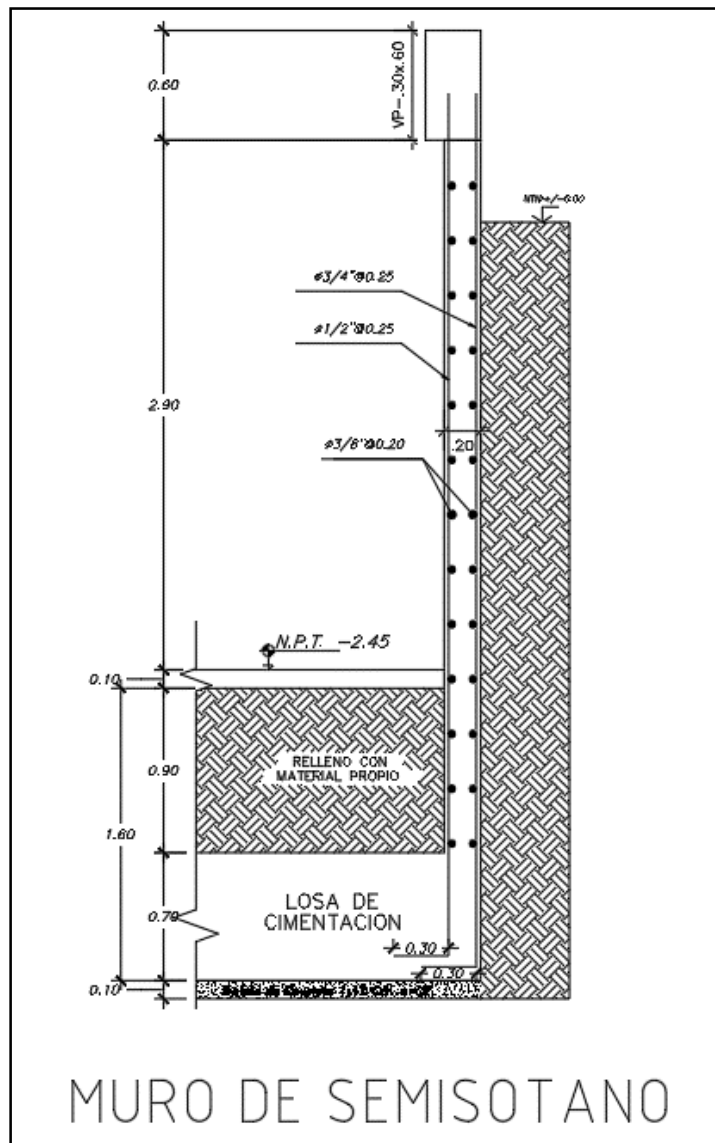
$$V_u \leq \phi V_c ; \phi = 0.85$$

**Tabla 78**

*Diseño por corte de muro de semisótano.*

b=100cm	Tramo 1	$\phi V_c$
d=17cm	(kgf)	(kgf)
Vud <sub>(izquierda)</sub>	9613.77	11098.22
Vud <sub>(derecha)</sub>	2404.39	

**Fuente:** Elaboración propia.

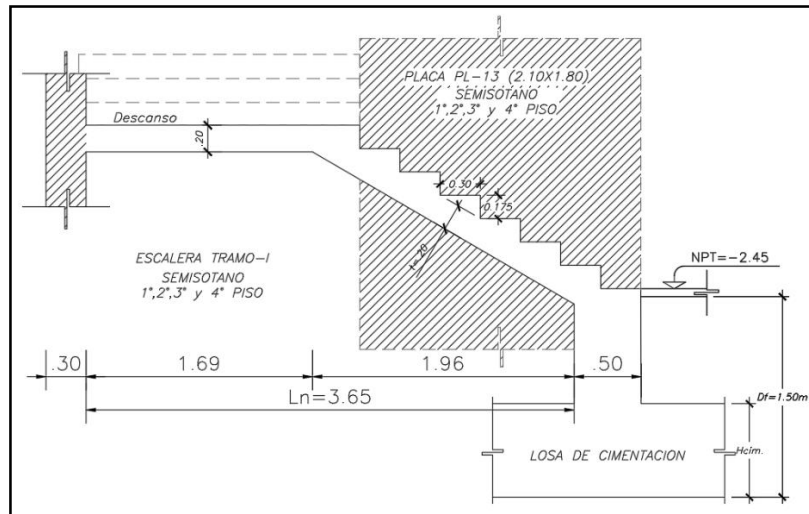


**Figura 70.** Diseño final de muro para el semisótano del Bloque - III.

**Fuente:** Elaboración propia.

## H. Diseño de escalera

El presente proyecto presenta una escalera en tres tramos por cada piso que va alrededor de la placa del ascensor, estas serán analizadas como losas macizas en una dirección por un metro de ancho y simplemente apoyadas.



**Figura 71.** Dimensiones de escalera tramo I, Bloque – III.

**Fuente:** Elaboración propia.

$$\begin{aligned} t &= 0.20 \text{m} \\ P &= 0.30 \text{m} \\ CP &= 0.175 \text{m} \end{aligned} \rightarrow hm = t * \frac{\sqrt{P^2 + CP^2}}{P} + \frac{CP}{2} = 0.20 * \frac{\sqrt{0.3^2 + 0.175^2}}{0.3} + \frac{0.175}{2}$$

$$\therefore \text{Espesor promedio} \rightarrow hm = 0.319 \text{m}$$

### a. Metrado de cargas

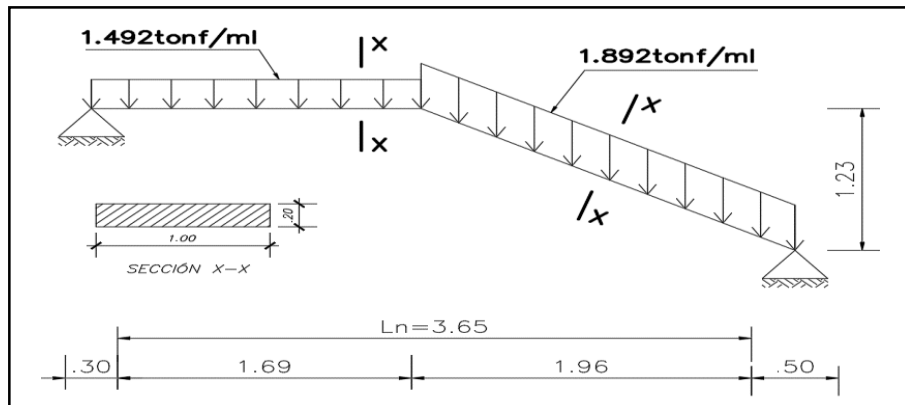
**Tabla 79**

*Metrado de cargas escalera tramo I.*

Estado de carga	Escalera		
<u>Tramo inclinado:</u>			
-Peso propio	- 0.32m * 2.4ton/m <sup>3</sup> *1m	0.766 ton/ml	
-Peso acabados	- 0.100 ton/m <sup>2</sup> *1m	0.100 ton/ml	
<b>Carga muerta (CM):</b>	<b>CM=</b>	<b>0.866 ton/ml</b>	
<u>Descansos:</u>			
-Peso propio	- 0.20m * 2.4ton/m <sup>3</sup> *1m	0.480 ton/ml	
-Peso acabados	- 0.100 ton/m <sup>2</sup> *1m	0.100 ton/ml	
	<b>CM=</b>	<b>0.580 ton/ml</b>	
<b>Carga viva (CV):</b>	-Corredores	- 0.400 ton/m <sup>2</sup> *1m	0.400 ton/ml
<b>Carga última:</b>	<b>Tramo inclinado: 1.4CM+1.7CV = 1.892 ton/ml Descanso: 1.4CM+1.7CV = 1.492 ton/ml</b>		

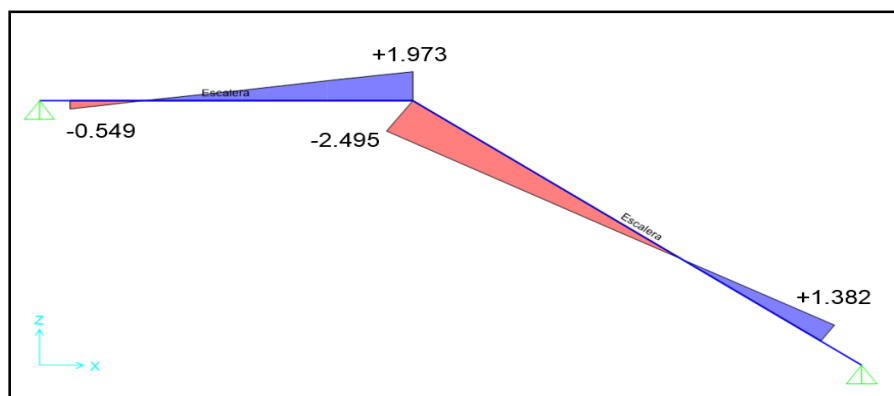
**Fuente:** Elaboración propia.

### b. Análisis estructural (ejemplo de diseño)



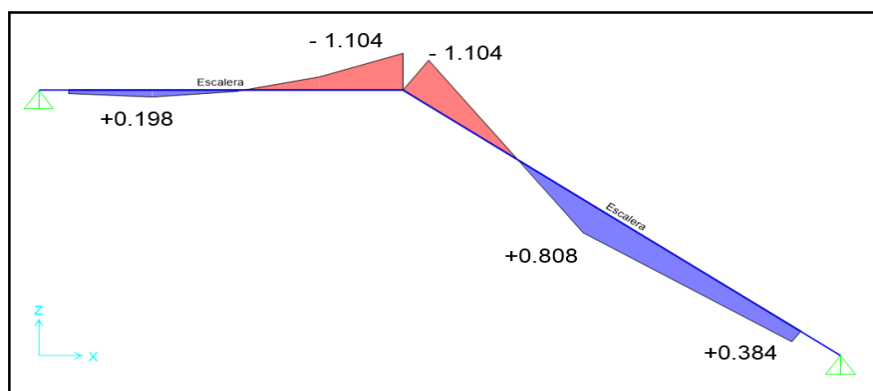
**Figura 72.** Modelo estructural con cargas aplicadas, escalera (tonf/ml).

**Fuente:** Elaboración propia.



**Figura 73.** Diagrama de fuerzas cortantes, escalera (tonf).

**Fuente:** Elaboración propia.



**Figura 74.** Diagrama de momentos flectores, escalera (tonf-m).

**Fuente:** Elaboración propia.

### c. Diseño por flexión

**Tabla 80**

Diseño por flexión de escalera tramo I.

Escalera	Tramo inclinado	Descanso
$f'c=210 \text{ kg/cm}^2$	$b = 1.00\text{m}$	$b = 1.00\text{m}$
$fy=4200 \text{ kg/cm}^2$	$h = 0.20\text{m}$	$h = 0.20\text{m}$
	$d = 0.17\text{m}$	$d = 0.17\text{m}$
	<b>Acero positivo</b>	
$Mu^{(+)} (\text{kgf-m})$	808.11	197.62
$As^{(+)} (\text{cm}^2)$	1.27	0.31
	<b>Acero negativo</b>	
$Mu^{(-)} (\text{kgf-m})$	1103.66	1103.66
$As^{(-)} (\text{cm}^2)$	1.74	1.74
$As_{\min-} (\text{cm}^2)$	<b>3.60</b>	<b>3.60</b>
$0.0018*100*20$	$0.71/3.60=0.20\text{m}$ ( $\varnothing 3/8 @ 0.20\text{m}$ )	$0.71/3.60=0.20\text{m}$ ( $\varnothing 3/8 @ .20\text{m}$ )
$As_{\text{colocado}}$	<b>(<math>\varnothing 3/8 @ 0.20\text{m}</math>)</b>	<b>(<math>\varnothing 3/8 @ 0.20\text{m}</math>)</b>

Fuente: Elaboración propia.

### d. Diseño por corte.

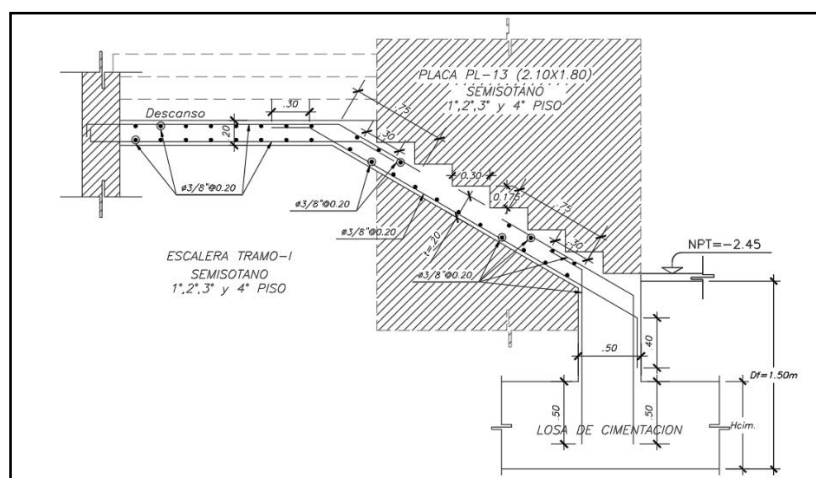
$$V_{ud} \leq \phi V_c ; \phi = 0.85$$

**Tabla 81**

Diseño por corte de escalera.

Descanso	Tramo inclinado	$\phi V_c$
(kgf)	(kgf)	(kgf)
$V_{ud}$ (Izquierda)	295.38	2495.17
$V_{ud}$ (Derecha)	<b>1972.46</b>	1044.96
		<b>11098.22</b>

Fuente: Elaboración propia.



**Figura 75.** Diseño final de escalera tramo I. Bloque – III.

Fuente: Elaboración propia.

## **4.2. Discusión de resultados**

Culminado el desarrollo del presente estudio, basados en los antecedentes nacionales e internacionales, normativas y cálculos se precisa lo siguiente.

### **4.2.1. Análisis sísmico estático y dinámico**

Nuestro trabajo de estudio guarda relación con la tesis de **Rivera, K. (2018) Estudio comparativo entre el análisis sísmico estático y dinámico para una estructura regular mayor de 30m de altura en la ciudad de Huancayo, Universidad Continental.**

El autor llega a la conclusión de que el uso del método sísmico estático presenta mayores valores de cortante basal, desplazamientos y fuerzas internas con respecto a un análisis sísmico dinámico en la estructura. Estamos de acuerdo con el autor, ya que los resultados de nuestro estudio son similares. La Cortante Estática es mayor a la Cortante Dinámica en; Bloque-I, dirección de análisis X-X en +18.06%, dirección Y-Y en +18.15%. Bloque-II, dirección de análisis X-X en +32.03%, dirección Y-Y en +31.57%. Bloque-III, dirección de análisis X-X en +14.67%, dirección Y-Y en +30.78%, se muestran los valores en la Tabla 33. Para nuestro objeto de estudio se consideró el análisis sísmico dinámico modal espectral como método para poder evaluar el comportamiento de la estructura ya que esta nos muestra resultados más cercanos a la realidad.

### **4.2.2. Control de desplazamientos**

Nuestro trabajo de estudio guarda relación con la tesis de **Colimba, P., Choca, F. (2016) Diseño estructural de un edificio de 4 pisos en acero para proyecto de vivienda masivo. Escuela Politécnica Nacional de Ecuador.** El autor considera muy importante lograr un diseño sismorresistente optimo y seguro en una edificación que cumpla con las condiciones de diseño estipulados en su Norma Nacional de Construcción (NEC 15) y

normas internacionales, con el propósito de evitar cuantiosas pérdidas humanas y materiales. En efecto esto es conforme, nuestro trabajo de estudio se desarrolló de acuerdo a los requerimientos del Reglamento Nacional de Edificaciones (RNE) y cumpliendo con los requisitos sismorresistentes señalados en la Norma Técnica E.030-2018, donde se verifico lo siguiente:

Los límites de la deriva de entrepiso obtenidos mediante un análisis sísmico dinámico muestran valores menores respecto a lo establecido por la Norma Técnica E.030-2018, deriva máxima de entrepiso de 0.700%, para estructuras de concreto armado (ver tabla 35 a tabla 40). Las derivas máximas obtenidas fueron en el piso 02(0.590%) en la dirección de análisis X-X y (0.539%), para la dirección de análisis Y-Y del BLOQUE-I, piso 02(0.544%) en la dirección de análisis X-X y (0.581%), para la dirección de análisis Y-Y del BLOQUE-II y el piso 02(0.567%) en la dirección de análisis X-X y (0.575%), para la dirección de análisis Y-Y del BLOQUE-III.

#### **4.2.3. Diseño de elementos estructurales**

Nuestro trabajo de estudio guarda relación con la tesis de **Acosta, J., Balcázar, J. (2019) Diseño estructural de un edificio de concreto armado de ocho pisos en Huancayo. Pontificia Universidad Católica del Perú**. Los autores llegan a la conclusión de que; las placas absorben más del 80% de la cortante basal en las 2 direcciones de análisis, por lo cual el sistema asumido de muros estructurales y su correspondiente coeficiente básico de reducción ( $R_0$ ) son adecuados. Así mismo nuestro trabajo de estudio muestra resultados similares, BLOQUE-I muros el 83.01% (Cortante basal, en X-X), 92.65% (Cortante basal, en Y-Y); BLOQUE-II muros el 92.96% (Cortante basal, en X-X), 88.75% (Cortante basal, en Y-Y); BLOQUE-III muros el 85.93% (Cortante basal, en X-X), 87.54% (Cortante basal, en Y-Y), como se muestra

en la Tabla 34, y un  $R_o=6$  de muros estructurales como sistema estructural predominante en el proyecto.

Los autores también concluyen. En las vigas peraltadas, es muy importante el diseño de corte por capacidad, ya que estos generalmente son mayores a los valores de las envolventes. Estamos de acuerdo con los autores ya que en nuestro trabajo de estudio donde se realizó el diseño estructural de una edificación de categoría esencial, realizar el diseño por capacidad es muy importante puesto que existen elementos estructurales con responsabilidad sísmica. La tabla 55 muestra los cortantes obtenidos del análisis estructural y cortante por capacidad para la VP 101(0.30X0.70), BLOQUE-I, siendo la cortante por capacidad el de mayor valor y utilizado para el cálculo de estribos, pero también se debe tener en cuenta los criterios de confinamiento para vigas sísmicas descritos en la NTE E.060 Capítulo 21.4.4.4.

Por otra parte, los autores también concluyen. La intensidad de los momentos flectores, fuerzas cortantes y axiales disminuyen a mayor altura. Estamos de acuerdo con los autores, esto se da sobre todo en los elementos verticales como las columnas y muros de corte(Placas), puesto que la carga disminuye a medida de cuál es el piso donde evalúa; BLOQUE-I, carga axial en columna C-1, Semisótano (97.84tonf), piso 01(92.35tonf), piso 02(58.95tonf), piso 03(26.41tonf), momentos flectores en muros de corte PL-1, semisótano (284.51tonf-m), piso 01(150.53tonf-m), piso 02(72.99tonf-m), piso 03(55.89tonf-m), fuerzas cortantes en muros de corte PL-1, Semisótano (44.33tonf), piso 01(42.80tonf), piso 02(29.31tonf), piso 03(14.37tonf). debido a este comportamiento observado se elaboró bloques de diseño cada 2 niveles, para el cálculo de cuantía de acero de columnas y muros de corte, como se especifican en los planos de estructuras que se adjuntan al presente trabajo.

## CONCLUSIONES

1. El análisis y diseño sísmico estructural realizado en la edificación de la Gerencia Sub Regional de Churcampa, cumple con la funcionalidad y seguridad estructural en concordancia a lo requerido para el diseño sismorresistente - NTE E.030 y diseño estructural en concreto armado – NTE E.060.
2. Los valores de la cortante basal del análisis sismo estático presentan un mayor valor en comparación del análisis sismo dinámico, BLOQUE – I (+18.06% en X-X, +18.15% en Y-Y), BLOQUE – II (+32.03% en X-X, +31.57% en Y-Y) y BLOQUE – III (+14.67% en X-X, +30.78% en Y-Y), esto debido a que el método estático obtiene un valor de cortante basal el cual luego reparte a los niveles. En cambio, el método dinámico encuentra cuál es la fuerza resistida según masa y rigidez del nivel, con esto calcula el cortante basal ajustado a estos parámetros.
3. Los máximos valores de las derivas de entrepiso obtenidos del análisis sísmico dinámico se encuentran en, BLOQUE – I (Piso 02-0.590% en X-X, 0.539% en Y-Y), BLOQUE – II (Piso 02-0.544% en X-X, 0.581% en Y-Y) y BLOQUE – III (Piso 02-0.567% en X-X, 0.575% en Y-Y), siendo menores al valor límite de 0.700%, que exige la Norma Técnica E.030-2018.
4. El diseño de cada uno de los elementos estructurales que conforman la edificación, se realizó de tal forma que se cumplan con los requerimientos del diseño por resistencia ultima, “ $R_u \leq \phi R_n$ ”.

## **RECOMENDACIONES**

1. Conocer, analizar e interpretar los parámetros de la Norma Técnica E.030-2018, diseño sismorresistente, ya que ello es una fuente indispensable que tiene como fin primordial salvaguardar vidas humanas y minimizar los daños materiales, al mismo tiempo que la estructura tenga un comportamiento esperado ante un evento sísmico.
2. Tomar en cuenta las limitaciones del análisis sísmico estático en cuanto a altura y factores de regularidad. Si se desea realizar el diseño de una estructura cuya ubicación sísmica esté en la zona 4,3 o 2, posea una configuración irregular, es de categoría esencial, importante o común y con una altura mayor a 30m, se deberá realizar un análisis sísmico dinámico a la estructura.
3. Con la finalidad de controlar los desplazamientos laterales, se debe emplear muros de corte (Placas C°A°), para brindar a la estructura la rigidez adecuada, estas deben ir ubicadas en lugares que eviten la torsión por exceso de rigidez y permitir la funcionalidad correcta arquitectónica.
4. Realizar el diseño de los diferentes elementos estructurales utilizando los procedimientos estándar de diseño en concreto armado y los lineamientos de la Norma Técnica E.060-2009, concreto armado.

## REFERENCIAS BIBLIOGRÁFICAS

1. Bartolomé, A. (1998). *Análisis de edificios, 1era edición.* Lima, Perú. Pontificia Universidad Católica del Perú.
2. Blanco, A. (1995). *Estructuración y diseño de edificaciones de concreto, 2da edición.* Lima, Perú. Colegio de Ingenieros del Perú.
3. Borja, M. (2012). *Metodología de la investigación científica para ingenieros.* Chiclayo, Perú. Colegio de Ingenieros del Perú.
4. Delgado, G. (2011). *Diseño de estructuras aporticadas de concreto armado, 9na edición.* Lima, Perú. Editorial EDICIVIL S.R.Ltda.
5. Harmsem, T. (2002). *Diseño de estructuras de concreto, 3ra edición.* Lima, Perú. Pontificia Universidad Católica del Perú.
6. Morales, A. (2010). *Diseño en concreto armado.* Lima, Perú. Instituto de la Construcción y Gerencia.
7. Muñoz, A. (2004). *Ingeniería sismorresistente.* Lima, Perú. Pontificia Universidad Católica del Perú.
8. Ortega, j. (2014). *Diseño de estructuras de concreto armado, tomo I y II, 1era edición.* Lima, Perú. Editorial Macro.
9. Ottazzi, G. (2015). *Apuntes del curso de concreto armado.* Lima, Perú. Pontificia Universidad Católica del Perú.
10. Sánchez, H., Reyes C., Mejía, K. (2018). *Manual de términos en investigación científica, tecnológica y humanística, 1ra edición.* Lima, Perú. Universidad Ricardo Palma-vicerrectorado de investigación.

11. Santana, R (2013). *Ingeniería Antisísmica, Principios Básicos y aplicaciones, 1ra edición*. Huancayo, Perú. Universidad Nacional del Centro del Perú.
12. Santana, R (2014). *Concreto Armado, tratado práctico, 1ra edición*. Huancayo, Perú. Universidad Nacional del Centro del Perú.
13. Santana, R (2013). *Cimentaciones superficiales, Análisis y Diseño, 1ra edición*. Huancayo, Perú. Universidad Nacional del Centro del Perú.
14. SENCICO (2006). *Norma Técnica de Edificaciones E.020. Cargas*. Reglamento Nacional de Edificaciones.
15. SENCICO (2018). *Norma Técnica de Edificaciones E.030. Diseño Sismorresistente*. Reglamento Nacional de Edificaciones.
16. SENCICO (2009). *Norma Técnica de Edificaciones E.060. Concreto Armado*. Reglamento Nacional de Edificaciones.
17. SENCICO (2006). *Norma Técnica de Edificaciones E.050. Suelos y Cimentaciones*. Reglamento Nacional de Edificaciones.
18. Villarreal, G. (2015). *Diseño sísmico de edificaciones problemas resueltos, 1era edición*. Lima, Perú. Editora & Imprenta Gráfica Norte S.R.L.

## **ANEXOS**

**Anexo 01 Técnicas e instrumentos de recolección y análisis de datos**

**Anexo 02 Fotografías**

**Anexo 03 Estudio mecánica de suelos (E.M.S)**

**Anexo 04 Planos de estructuras**

- |   |      |
|---|------|
| - CIMENTACIÓN                           | E-1  |
| - DETALLE DE MUROS DE CORTE Y ESCALERA. | E-2  |
| - DETALLE DE MUROS DE CORTE.            | E-3  |
| - LOSA ALIGERADA SEMISÓTANO.            | E-4  |
| - LOSA ALIGERADA PRIMER PISO.           | E-5  |
| - LOSA ALIGERADA SEGUNDO PISO.          | E-6  |
| - LOSA ALIGERADA TERCER PISO.           | E-7  |
| - LOSA ALIGERADA CUARTO PISO.           | E-8  |
| - DETALLE DE VIGAS.                     | E-9  |
| - DETALLE DE VIGAS.                     | E-10 |
| - DETALLE DE VIGAS.                     | E-11 |

**ANEXOS 01 Técnicas e instrumentos de recolección y análisis de datos**

## FICHA DE VALIDACIÓN DE INSTRUMENTO DE RECOLECCIÓN DE DATOS

### INFORME DE OPINIÓN DE JUICIO DE UN EXPERTO

TITULO DE TRABAJO DE SUFICIENCIA PROFESIONAL:

"ANÁLISIS Y DISEÑO SÍSMICO ESTRUCTURAL DE LA GERENCIA SUB REGIONAL DE CHURCAMPA,  
EMPLEANDO LA NUEVA NORMA E.030-2018 - HUANCAVELICA"

#### I. DATOS GENERALES

1.1. Validado por:

ING. JORGE SANTIAGO LOPEZ YARAH GÓ

Nº de CIP: 76042

1.2. Profesión:

INGENIERO CIVIL

Nº Celular: 987445377

1.3. Grado académico:

MAESTRÍA EN CONSTRUCCIÓN CON MENCIÓN EN GESTIÓN Y  
ORGANIZACIÓN DE LA CONSTRUCCIÓN.

#### II. ASPECTO DE LA VALIDACIÓN

INDICADORES	CRITERIOS	EXCELENTE (10-9)	BUENO (8-6)	REGULAR (6-5)	MALO (5-0)
A. Planteamiento arquitectónico	¿Se toma en cuenta las características principales de la edificación en estudio?		7		
B. Zonificación sísmica	¿Comprende parámetros iniciales para realizar un análisis sísmico?		8		
C. Categorización de la edificación y factor de uso	¿Está clasificada de acuerdo con las categorías de la NTE E.030-2018?		8		
D. Sistema estructural	¿Se toma en cuenta las características principales de los elementos estructurales y no estructurales?		7		
E. Topografía y cimentación	¿Comprende los aspectos más representativos, relevantes de la zona del proyecto?		8		

#### III. CALIFICACIÓN:

Promedio Total BUENO (8)

Lugar y fecha de la validación: HUANCAYO - OCTUBRE 2019

Firma del juez

TITULO DE TRABAJO DE SUFICIENCIA PROFESIONAL: "ANÁLISIS Y DISEÑO SÍSMICO ESTRUCTURAL DE LA GERENCIA SUB REGIONAL DE CHURCAMPA, EMPLEANDO LA NUEVA NORMA E.030-2018 - HUANCAYELICA"

Fecha: Octubre -19 | Hora: 10:00 A.M.

Nombre del evaluador: Jhon Ronald Pérez Mallma  Ingeniero  Bachiller/Ing. Civil

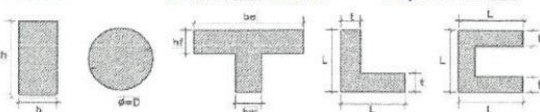
**INFORMACION GENERAL DE LA EDIFICACIÓN**

Nombre del inmueble: Gerencia Sub Regional Chur. Coordenadas: 8591 385 Norte  
 Calle y número: Jr. 28 JUJO N° 720 566 784 Este  
 Distrito: Churcampa 3281 msnm  
 Provincia: Churcampa Region Geográfica:  Costa  Sierra  Selva  
 Departamento: Huancavelica Zonificación sísmica:  zona 4  zona 3  zona 2  zona 1  
 Referencias: A 50m del Parque Utuypampa Factor de Zona:  0.45g  0.35g  0.25g  0.10g

**IMPORTANCIA DE LA EDIFICACIÓN**

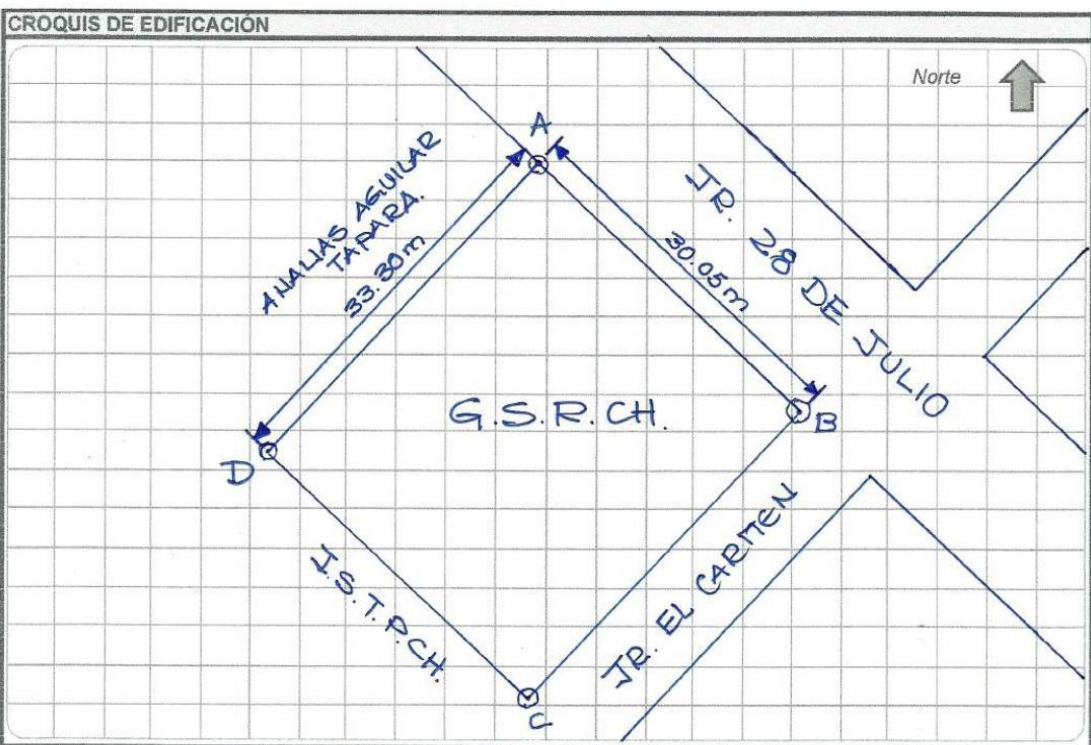
<b>A. Edificaciones Esenciales</b>	<b>A1:</b> <input type="checkbox"/> EE.SS, 2º y 3º Nivel, (MINSA)	<b>CATEGORIA DE LA EDIFICACIÓN</b> <input checked="" type="checkbox"/> A <input type="checkbox"/> B <input type="checkbox"/> C <input type="checkbox"/> D
	<b>A2:</b> <input type="checkbox"/> EE.SS, 1º Nivel, (MINSA) <input type="checkbox"/> Puertos, Aeropuertos <input type="checkbox"/> Estaciones Ferroviarias <input checked="" type="checkbox"/> Locales Municipales <input type="checkbox"/> Centrales de comunicaciones <input type="checkbox"/> Estaciones de Bomberos <input type="checkbox"/> Cuarteles FF. AA y PNP	
<b>B. Edificaciones Importantes</b>	<input type="checkbox"/> Cines <input type="checkbox"/> Teatros <input type="checkbox"/> Estadios <input type="checkbox"/> Coliseos <input type="checkbox"/> Centros Comerciales	<input type="checkbox"/> Inst. de Gener. y Transf. electricidad <input type="checkbox"/> Reservorios y plantas de trat. agua <input type="checkbox"/> I.Educativas, Institutos y Universidades <input type="checkbox"/> Grandes hornos, fabricas y deposito de materiales inflamables o toxicos <input type="checkbox"/> Edificios que almacenen archivos e informacion esencial del Estado
	<input type="checkbox"/> Terminal buses <input type="checkbox"/> E. Penitenciarios <input type="checkbox"/> Museos y Bibliotecas <input type="checkbox"/> Deposito de granos y otros	<input type="checkbox"/> Viviendas <input type="checkbox"/> Oficinas <input type="checkbox"/> Hoteles <input type="checkbox"/> Restaurantes <input type="checkbox"/> Depositos e instalaciones industriales, cuya falla no acarree peligros.
<b>D. Edificaciones Temporales:</b> <input type="checkbox"/> Construcciones temporales para depositos, casetas y otras similares		

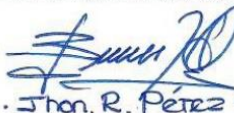
**SISTEMA ESTRUCTURAL**

<b>Material en muros</b>	<b>Sección de elementos predominantes</b>	<b>Forma</b>	<b>Material</b>									
<input type="checkbox"/> Concreto reforzado <input type="checkbox"/> Concreto prefabricado <input type="checkbox"/> Ladrillo artesanal <input checked="" type="checkbox"/> Ladrillo pandeleta <input checked="" type="checkbox"/> Ladrillo king kong 18h	<input type="checkbox"/> Madera <input type="checkbox"/> Piedra <input type="checkbox"/> Adobe <input type="checkbox"/> Material precario <input type="checkbox"/> Otro: _____	$f_c = 210 \text{ kgf/cm}^2$ $f_y = 4200 \text{ kgf/cm}^2$	<input type="checkbox"/> Rectangular <input type="checkbox"/> Circular <input type="checkbox"/> Sección T <input type="checkbox"/> Sección C <input type="checkbox"/> Sección L	<input type="checkbox"/> Concreto <input type="checkbox"/> Acero <input type="checkbox"/> prefabricado <input type="checkbox"/> Madera								
<b>Refuerzo en la albañilería</b>		<b>Forma de la cubierta</b> <input checked="" type="checkbox"/> Techo plano horizontal <input type="checkbox"/> Inclinado Pend. ____ % <input type="checkbox"/> Bóveda Cil. Ø= ____ m										
<input type="checkbox"/> Sin refuerzo <input type="checkbox"/> Albañilería confinada <input type="checkbox"/> Albañilería mal confinada		<input checked="" type="checkbox"/> Con refuerzo interior <i>(Columnetas y viguetas)</i> <input type="checkbox"/> Otro: _____										
<b>SISTEMA DE PISO / TECHO</b> <table border="1"> <tr> <td><b>Sistema de piso</b></td> <td><b>Losa de concreto</b></td> <td><b>Cubierta de techo</b></td> <td><b>Forma de la cubierta</b></td> </tr> <tr> <td> <input checked="" type="checkbox"/> Losa apoyada en vigas  <input type="checkbox"/> Losa plana (sin trabes)  <input type="checkbox"/> Vigas y piso de madera  <input type="checkbox"/> Vigas, largueros y cubierta  <input type="checkbox"/> Armaduras y cubierta         </td> <td> <input checked="" type="checkbox"/> Maciza  <input checked="" type="checkbox"/> Aligerada (reticular)  <input type="checkbox"/> Prefabricada de concreto  <input type="checkbox"/> Vigueta y bovedilla         </td> <td> <input checked="" type="checkbox"/> Igual al sistema de piso  <input type="checkbox"/> Armadura  <input type="checkbox"/> Madera  <input type="checkbox"/> Teja         </td> <td> <input checked="" type="checkbox"/> Techo plano horizontal  <input type="checkbox"/> Inclinado Pend. ____ %  <input type="checkbox"/> Bóveda Cil. Ø= ____ m         </td> </tr> </table>					<b>Sistema de piso</b>	<b>Losa de concreto</b>	<b>Cubierta de techo</b>	<b>Forma de la cubierta</b>	<input checked="" type="checkbox"/> Losa apoyada en vigas <input type="checkbox"/> Losa plana (sin trabes) <input type="checkbox"/> Vigas y piso de madera <input type="checkbox"/> Vigas, largueros y cubierta <input type="checkbox"/> Armaduras y cubierta	<input checked="" type="checkbox"/> Maciza <input checked="" type="checkbox"/> Aligerada (reticular) <input type="checkbox"/> Prefabricada de concreto <input type="checkbox"/> Vigueta y bovedilla	<input checked="" type="checkbox"/> Igual al sistema de piso <input type="checkbox"/> Armadura <input type="checkbox"/> Madera <input type="checkbox"/> Teja	<input checked="" type="checkbox"/> Techo plano horizontal <input type="checkbox"/> Inclinado Pend. ____ % <input type="checkbox"/> Bóveda Cil. Ø= ____ m
<b>Sistema de piso</b>	<b>Losa de concreto</b>	<b>Cubierta de techo</b>	<b>Forma de la cubierta</b>									
<input checked="" type="checkbox"/> Losa apoyada en vigas <input type="checkbox"/> Losa plana (sin trabes) <input type="checkbox"/> Vigas y piso de madera <input type="checkbox"/> Vigas, largueros y cubierta <input type="checkbox"/> Armaduras y cubierta	<input checked="" type="checkbox"/> Maciza <input checked="" type="checkbox"/> Aligerada (reticular) <input type="checkbox"/> Prefabricada de concreto <input type="checkbox"/> Vigueta y bovedilla	<input checked="" type="checkbox"/> Igual al sistema de piso <input type="checkbox"/> Armadura <input type="checkbox"/> Madera <input type="checkbox"/> Teja	<input checked="" type="checkbox"/> Techo plano horizontal <input type="checkbox"/> Inclinado Pend. ____ % <input type="checkbox"/> Bóveda Cil. Ø= ____ m									

TOPOGRAFÍA Y CIMENTACIÓN								
<b>Topografía</b>	<b>Tipo de suelo (E.M.S)</b>	C. portante:	0.81 kg/cm <sup>2</sup>					
<input type="checkbox"/> Plano	<input type="checkbox"/> Roca Dura	Descripción perfil del Suelo:	Arcilla con arena (CL)					
<input checked="" type="checkbox"/> Ladera de cerro	<input type="checkbox"/> Roca o Suelos muy rígidos	Prof. Desplante (Df.)	1.50 m					
<input type="checkbox"/> Rivera río/lago	<input type="checkbox"/> Suelos Intermedios	Nivel freático:	— m					
<input type="checkbox"/> Fondo de valle	<input checked="" type="checkbox"/> Suelos Blandos	Pendiente del terreno:	7.45 %					
		Distancia a río/lago/mar:	m					
<b>Dimensiones generales:</b>		<b>Posición en manzana:</b>						
Frente X=	30.05 m	<input checked="" type="checkbox"/> Esquina						
Fondo Y=	33.30 m	<input type="checkbox"/> Medio						
Area tota terreno:	1.000.00 m <sup>2</sup>	<input type="checkbox"/> Aislado						
<table border="1"> <tr> <td><b>Tipo de suelo</b></td> </tr> <tr> <td><input checked="" type="checkbox"/> S3</td> </tr> <tr> <td><input type="checkbox"/> S2</td> </tr> <tr> <td><input type="checkbox"/> S1</td> </tr> <tr> <td><input type="checkbox"/> S0</td> </tr> </table>				<b>Tipo de suelo</b>	<input checked="" type="checkbox"/> S3	<input type="checkbox"/> S2	<input type="checkbox"/> S1	<input type="checkbox"/> S0
<b>Tipo de suelo</b>								
<input checked="" type="checkbox"/> S3								
<input type="checkbox"/> S2								
<input type="checkbox"/> S1								
<input type="checkbox"/> S0								

CARACTERISTICAS ARQUITECTONICAS			
Nº niveles, n:	04 y 05	<b>Ambientes:</b>	
Nº semisótanos:	01	<input type="checkbox"/> Almacenaje	<input checked="" type="checkbox"/> Oficinas
Año de construcción:	2018	<input checked="" type="checkbox"/> Estacionamientos	<input checked="" type="checkbox"/> Cafetín
<b>Dimensiones:</b>		<input checked="" type="checkbox"/> S.U.M	<input checked="" type="checkbox"/> Terraza
Altura planta baja:	4.25 m	<input checked="" type="checkbox"/> S.S.H.H.	<input type="checkbox"/> Almacén
Altura entrepisos:	3.85 m	<input checked="" type="checkbox"/> Vestidores	<input checked="" type="checkbox"/> Auditorio
Nº estacionamiento:	02	<input checked="" type="checkbox"/> HALL	<input type="checkbox"/> Gimnasio
Nº elevadores:	01	<input checked="" type="checkbox"/> Atrio	<input checked="" type="checkbox"/> Corredores y escaleras
Nº escaleras indep.:	01	<input checked="" type="checkbox"/> Cto de maquina	<input type="checkbox"/> Cuarto de maquina
<b>Instalaciones:</b>		<input checked="" type="checkbox"/> Sala de Archivos	<input type="checkbox"/> Habitaciones
<input checked="" type="checkbox"/> Elevador	<input checked="" type="checkbox"/> Eléctrica	<input type="checkbox"/> Laboratorios	<input type="checkbox"/> Sala de computación
<input checked="" type="checkbox"/> Agua potable	<input checked="" type="checkbox"/> Alcantarillado	<input type="checkbox"/> Graderías y trib.	<input type="checkbox"/> Cto de proyección
<input type="checkbox"/> Gas	<input type="checkbox"/> Otra:	Internet	
<input checked="" type="checkbox"/> Escenario			



  
Bach. Jhon R. Pérez Mallma.

UNIVERSIDAD PERUANA LOS ANDES FACULTAD DE INGENIERIA CIVIL ESCUELA PROFESIONAL DE INGENIERIA CIVIL Bachiller: JHON RONALD PEREZ MALLMA	
"ANALISIS Y DISEÑO SISMICO ESTRUCTURAL DE LA GERENCIA SUB REGIONAL DE CHURCAMPAS EMPLEANDO LA NUEVA NORMA E.030-2018"	

ESPECTRO DE RESPUESTA (NORMA TECNICA DE EDIFICACION E.030 - 2018)

(Bloque - I y II)

(la) Dir. X-X	(la) Dir. Y-Y
1.00	1.00
FACTOR DE IRREGULARIDAD la :	
1.00	1.00

(lp) Dir. X-X	(lp) Dir. Y-Y
-	-
FACTOR DE IRREGULARIDAD lp :	
0.90	0.90

UNIVERSIDAD PERUANA LOS ANDES				
FACULTAD DE INGENIERIA CIVIL				
ESCUELA PROFESIONAL DE INGENIERIA CIVIL				
Bachiller: JHON RONALD PEREZ MALLMA				

"ANALISIS Y DISEÑO SISMICO ESTRUCTURAL DE LA GERENCIA SUB REGIONAL DE CHURCAMPA EMPLEANDO LA NUEVA NORMA E.030-2018"

CALCULO DE ESPECTRO DE PSEUDO - ACELERACIONES (NORMATECNICA DE EDIFICACION E.030 - 2018)

(Bloque - I y II)

DATOS	FACTORES	DATOS	DIR X-X	DIR Y-Y
Norma Técnica E 030 - 2018				
Z:	0.25	R0:	6.00	6.00
U:	1.50	la:	1.00	1.00
S:	1.40	Ip:	0.90	0.90
TP:	1.00	RX-Y:	5.40	5.40
TL:	1.60	Config.:	IRREGULAR	IRREGULAR
0.2TP:	0.20	g	1 m/s <sup>2</sup>	

T	C <sub>H</sub>	C <sub>V</sub>	Sa Dir X-X	Sa Dir Y-Y	Sa Dir Z-Z
0.00	2.500	1.000	0.24306	0.24306	0.06481
0.01	2.500	1.075	0.24306	0.24306	0.06968
0.02	2.500	1.150	0.24306	0.24306	0.07454
0.03	2.500	1.225	0.24306	0.24306	0.07940
0.04	2.500	1.300	0.24306	0.24306	0.08426
0.05	2.500	1.375	0.24306	0.24306	0.08912
0.06	2.500	1.450	0.24306	0.24306	0.09398
0.08	2.500	1.600	0.24306	0.24306	0.10370
0.10	2.500	1.750	0.24306	0.24306	0.11343
0.12	2.500	1.900	0.24306	0.24306	0.12315
0.14	2.500	2.050	0.24306	0.24306	0.13287
0.16	2.500	2.200	0.24306	0.24306	0.14259
0.18	2.500	2.350	0.24306	0.24306	0.15231
0.20	2.500	2.500	0.24306	0.24306	0.16204
0.25	2.500	2.500	0.24306	0.24306	0.16204
0.30	2.500	2.500	0.24306	0.24306	0.16204
0.35	2.500	2.500	0.24306	0.24306	0.16204
0.40	2.500	2.500	0.24306	0.24306	0.16204
0.45	2.500	2.500	0.24306	0.24306	0.16204
0.50	2.500	2.500	0.24306	0.24306	0.16204
0.55	2.500	2.500	0.24306	0.24306	0.16204
0.60	2.500	2.500	0.24306	0.24306	0.16204
0.65	2.500	2.500	0.24306	0.24306	0.16204
0.70	2.500	2.500	0.24306	0.24306	0.16204
0.75	2.500	2.500	0.24306	0.24306	0.16204
0.80	2.500	2.500	0.24306	0.24306	0.16204
0.85	2.500	2.500	0.24306	0.24306	0.16204
0.90	2.500	2.500	0.24306	0.24306	0.16204
0.95	2.500	2.500	0.24306	0.24306	0.16204
1.00	2.500	2.500	0.24306	0.24306	0.16204
1.10	2.273	2.273	0.22096	0.22096	0.14731
1.20	2.083	2.083	0.20255	0.20255	0.13503
1.30	1.923	1.923	0.18697	0.18697	0.12464
1.40	1.786	1.786	0.17361	0.17361	0.11574
1.50	1.667	1.667	0.16204	0.16204	0.10802
1.60	1.563	1.563	0.15191	0.15191	0.10127
1.70	1.384	1.384	0.13456	0.13456	0.08971
1.80	1.235	1.235	0.12003	0.12003	0.08002
1.90	1.108	1.108	0.10773	0.10773	0.07182
2.00	1.000	1.000	0.09722	0.09722	0.06481
2.25	0.790	0.790	0.07682	0.07682	0.05121
2.50	0.640	0.640	0.06222	0.06222	0.04148
2.75	0.529	0.529	0.05142	0.05142	0.03428
3.00	0.444	0.444	0.04321	0.04321	0.02881
4.00	0.250	0.250	0.02431	0.02431	0.01620
5.00	0.160	0.160	0.01556	0.01556	0.01037
6.00	0.111	0.111	0.01080	0.01080	0.00720
7.00	0.082	0.082	0.00794	0.00794	0.00529
8.00	0.063	0.063	0.00608	0.00608	0.00405
9.00	0.049	0.049	0.00480	0.00480	0.00320
10.00	0.040	0.040	0.00389	0.00389	0.00259

**ACCELERACION ESPECTRAL**

Para cada una de las direcciones horizontales analizadas se utilizará un espectro inelástico de pseudo-aceleraciones definido por:

$$Sa = \frac{Z.U.C.S}{R}$$

Para el análisis en la dirección vertical podrá usarse un espectro con valores iguales a los 2/3 del espectro empleado para las direcciones horizontales, excepto para la zona de períodos muy cortos  $T < 0.2 \cdot T_p$ ,  $C = 1 + 7.5 \cdot \left(\frac{T}{T_p}\right)$

**ESPECTRO DE DISEÑO: NTE E.030 - 2018**

Dir. X-X

**ESPECTRO DE DISEÑO: NTE E.030 - 2018**

Dir. Y-Y

**ESPECTRO DE DISEÑO: NTE E.030 - 2018**

Dir. Z-Z

UNIVERSIDAD PERUANA LOS ANDES FACULTAD DE INGENIERIA CIVIL ESCUELA PROFESIONAL DE INGENIERIA CIVIL Bachiller: JHON RONALD PEREZ MALLMA	
<b>"ANALISIS Y DISEÑO SISMICO ESTRUCTURAL DE LA GERENCIA SUB REGIONAL DE CHURCAMPA EMPLEANDO LA NUEVA NORMA E.030-2018"</b>	

**ESPECTRO DE RESPUESTA (NORMA TECNICA DE EDIFICACION E.030 - 2018)**

(Bloque - III)

<b>Tabla 1.</b> Zonificación sísmica.	<b>Tabla 5.</b> Categoría de la edificación y factor de uso (U).
Departamento : HUANCABELICA. Provincia : CHURCAMPA Distrito : CHURCAMPA Región Geográfica : SIERRA Zonif. Sísmica : ZONA 2 Factor de Zona : $Z = 0.25$	Descripción : EDIFICACIONES.ESENCIALES Tipo de Edificación : LOCALES MUNICIPALES Categoría : A2 Factor de uso : $U = 1.50$ Observaciones :
<b>Fuente:</b> Artículo 10, NTE E.030, Diseño Sismorresistente.	
<b>Tabla 2 - 3 - 4.</b> Condiciones geotécnicas.	
<b>Perfil de Suelo</b> : S3  Descripción del perfil de Suelo : Suelos blandos: Arena gruesa a fina, o Grava Arenosa, Suelo Cohesivo Blando.  $V_{\text{Prom. Ond. de C.}} \bar{V}_S$ : < 1800 m/s $\text{Prom. Pond SPT } N_{60}$ : < 15 $\text{Prom. Pond RCCND } S_u$ : 25 kPa - 50 kPa <b>Factor de Suelo</b> : $S = 1.40$ <b>Periodo TP</b> : $TP = 1.00 \text{ seg.}$ <b>Periodo TL</b> : $TL = 1.60 \text{ seg.}$	<b>Fuente:</b> Artículo 15, NTE E.030, Diseño Sismorresistente.
<b>NOTA:</b> Los valores de Z se interpreta como la aceleración máxima horizontal en suelo rígido con una probabilidad de 10% de ser excedida en 50 años.	
<b>Tabla 7a.</b> Sistema estructural en la dirección X-X.	
Material : CONCRETO.ARMADO  Sist. Estructural : Muros Estructurales  Coef. De Reducción : $R_o = 6.00$	Material : CONCRETO.ARMADO  Sist. Estructural : Muros Estructurales  Coef. De Reducción : $R_o = 6.00$
<b>Fuente:</b> Artículo 18, NTE E.030, Diseño Sismorresistente.	
<b>Tabla 6.</b> Categoría y sistema estructural.	
Material : CONCRETO.ARMADO  Sist. Estruc. Dominante : Muros Estructurales  Verificación : Sist. Estructural Adecuado	<b>Fuente:</b> Artículo 17, NTE E.030, Diseño Sismorresistente.
<b>Tabla 8.</b> factores de irregularidad estructural en altura (la).	
<b>No Presenta Irregularidades</b> : AMBAS DIRECCIONES  Irregularidad de Rígidez – Piso Blando : <input type="checkbox"/> DIR X-X <input type="checkbox"/> DIR Y-Y  Irregularidades de Resistencia – Piso Débil : <input type="checkbox"/> DIR X-X <input type="checkbox"/> DIR Y-Y  Irregularidad Extrema de Rígidez : <input type="checkbox"/> DIR X-X <input type="checkbox"/> DIR Y-Y  Irregularidad Extrema de Resistencia : <input type="checkbox"/> DIR X-X <input type="checkbox"/> DIR Y-Y  Irregularidad de Masa o Peso : <input type="checkbox"/> AMBAS DIRECCIONES  Irregularidad Geométrica Vertical : <input type="checkbox"/> DIR X-X <input type="checkbox"/> DIR Y-Y  Discontinuidad en los Sistemas Resistentes : <input type="checkbox"/> AMBAS DIRECCIONES  Discontinuidad extrema de los Sistemas Resistentes : <input type="checkbox"/> AMBAS DIRECCIONES	<b>(la) Dir. X-X</b> : 1.00 <b>(la) Dir. Y-Y</b> : 1.00
<b>Fuente:</b> Artículo 20, NTE E.030, Diseño Sismorresistente.	
<b>Tabla 9.</b> Factores de irregularidad estructural en planta (lp).	
<b>No Presenta Irregularidades</b> : AMBAS DIRECCIONES  Irregularidad Torsional : <input type="checkbox"/> DIR X-X <input checked="" type="checkbox"/> DIR Y-Y  Irregularidad Torsional Extrema : <input type="checkbox"/> DIR X-X <input type="checkbox"/> DIR Y-Y  Esquinas Entrantes : <input checked="" type="checkbox"/> DIR X-X <input checked="" type="checkbox"/> DIR Y-Y  Discontinuidad del Diafragma : <input type="checkbox"/> AMBAS DIRECCIONES  Sistemas no Paralelos : <input type="checkbox"/> DIR X-X <input type="checkbox"/> DIR Y-Y	<b>FACTOR DE IRREGULARIDAD la :</b> 1.00 <b>FACTOR DE IRREGULARIDAD lp :</b> 1.00
<b>Fuente:</b> Artículo 20, NTE E.030, Diseño Sismorresistente.	
<b>FORMULAS</b>	
<b>Coef. de reduc. F. sismica</b> $R = R_0 \cdot I_a \cdot I_p$	
<b>Factor de ampli. Sísmica H</b> $C = \begin{cases} 2.5, & T \leq T_p \\ 2.5 \left( \frac{T_p}{T} \right), & T_p < T \leq T_L \\ 2.5 \left( \frac{T_p \cdot T_L}{T^2} \right), & T > T_L \end{cases}$ Donde : $C \leq 2.5$	
<b>Factor de ampli. Sísmica V</b> $T < 0.2, C = 1 + 7.5 \left( \frac{T}{T_p} \right)$	
<b>Aceleración espectral</b> $S_a = \frac{Z \cdot U \cdot C \cdot S}{R} \cdot g$	
<b>Figura 1.</b> Mapa de zonificación sísmica.	
<b>Fuente:</b> Artículo 10, NTE E.030, D. S.	
<b>Tabla 7b.</b> Sistema estructural en la dirección Y-Y.	
Material : CONCRETO.ARMADO  Sist. Estructural : Muros Estructurales  Coef. De Reducción : $R_o = 6.00$	<b>Fuente:</b> Artículo 18, NTE E.030, Diseño Sismorresistente.
<b>Tabla 10.</b> Restricciones a la irregularidad de la edificación.	
Restricciones en la estructura : No se permiten irregularidades en Planta y Altura	<b>Fuente:</b> Artículo 21, NTE E.030, Diseño Sismorresistente.
<b>FACTOR DE IRREGULARIDAD la :</b> 1.00 <b>FACTOR DE IRREGULARIDAD lp :</b> 1.00	
<b>FACTOR DE IRREGULARIDAD lp :</b> 0.90 <b>FACTOR DE IRREGULARIDAD la :</b> 0.90	

UNIVERSIDAD PERUANA LOS ANDES				
FACULTAD DE INGENIERIA CIVIL				
ESCUELA PROFESIONAL DE INGENIERIA CIVIL				
Bachiller:	JHON RONALD PEREZ MALLMA			

"ANALISIS Y DISEÑO SISMICO ESTRUCTURAL DE LA GERENCIA SUB REGIONAL DE CHURCAMPA EMPLEANDO LA NUEVA NORMA E.030-2018"

CALCULO DE ESPECTRO DE PSEUDO - ACELERACIONES (NORMATECNICA DE EDIFICACION E.030 - 2018)

(Bloque - III)

DATOS	FACTORES	DATOS	DIR X-X	DIR Y-Y
Norma Técnica E 030 - 2018				
Z:	0.25	R0:	6.00	6.00
U:	1.50	la:	1.00	1.00
S:	1.40	lp:	0.90	0.75
TP:	1.00	RX-Y:	5.40	4.50
TL:	1.60	Config.:	IRREGULAR	IRREGULAR
0.2TP:	0.20	g	1 m/s <sup>2</sup>	

**ACELERACION ESPECTRAL**

Para cada una de las direcciones horizontales analizadas se utilizará un espectro inelástico de pseudo- aceleraciones definido por:

$$Sa = \frac{Z.U.C.S}{R} \cdot g$$

Para el análisis en la dirección vertical podrá usarse un espectro con valores iguales a los 2/3 del espectro empleado para las direcciones horizontales, excepto para la zona de períodos muy cortos  $T < 0.2 \cdot T_p$ ,  $C = 1 + 7.5 \cdot \left(\frac{T}{T_p}\right)^2$

**ESPECTRO DE DISEÑO: NTE E.030 - 2018**  
Dir. X-X

**ESPECTRO DE DISEÑO: NTE E.030 - 2018**  
Dir. Y-Y

**ESPECTRO DE DISEÑO: NTE E.030 - 2018**  
Dir. Z-Z

## CALCULO MANUAL DE MASA SÍSMICA: BLOQUE – I

**Tabla A1-1.** Tipos y valores de carga a asignar: BLOQUE – I, II y III.

Descripción	Tipo de carga	Nombre	Patrón	Valor (kg/m <sup>2</sup> )
Bloques de Arcilla Hlosa=0.20m	Muerta	CM1	Súper Dead	90
Acabados	Muerta	CM2	Súper Dead	100
S/C - oficinas	Viva entre piso	CV1	Reducible Live	250
S/C - Corredores	Viva entre piso	CV2	Reducible Live	400
S/C - techo	Techo	CVtecho	Roof Live	100

**Tabla A1-2.** Alturas de entrepiso: Bloque – I.

Piso	Totales(m)	Entrepiso(m)
Semisótano	4.50	4.440
Piso 01	4.38	4.115
Piso 02	3.85	3.850
Techo	3.85	1.925

**Tabla A1-3.** Peso de columnas por piso: Bloque – I.

Número	b	D	MASA SISMICA DE COLUMNAS				Total
			Area(m <sup>2</sup> )	1°	2°	3°	
Columna	6	1	0.3848451	24605.46	22804.38	21335.812	10667.91 91882.54
<b>Altura Restante. 1Piso:</b>							<b>12468.98 kg</b>

**Tabla A1-4.** Peso de Muros de corte (placas de C°A°) por piso: Bloque – I.

Número	t	L	MASA SISMICA DE MUROS				Total
			1°	2°	3°	4°	
Muro XX	4	0.30	1.50	19180.8	17776.8	16632	8316 71625.60
Muro YY	4	0.30	1.80	23016.96	21332.16	19958.4	9979.2 85950.72
<b>Altura Restante. 1Piso:</b>							<b>9720 kg Suma: 157576.32</b>
<b>Altura Restante. 1Piso:</b>							<b>11664 kg</b>

**Tabla A1-5.** Peso vigas por piso: Bloque – I.

MASA SISMICA DE VIGAS					
Descripción	Número	Longitud(m)	b(m)	h(m)	Peso(kg)
V1 X-X	4	4.08	0.30	0.50	5875.20
V2 X-X	4	2.78	0.30	0.50	4003.20
V3 X-X	1	4.31	0.15	0.50	774.90
V4 X-X	1	4.43	0.15	0.50	797.40
V4 X-X	1	2.09	0.15	0.50	376.20
V5 X-X	1	4.43	0.25	0.50	1329.00
V1 Y-Y	2	4.90	0.30	0.70	4939.20
V2 Y-Y	3	7.80	0.35	0.70	13759.20
V3 Y-Y	1	2.42	0.30	0.50	871.20
V4 Y-Y	2	2.22	0.35	0.50	1864.80
V5 Y-Y	1	2.42	0.25	0.50	726.00
V6 Y-Y	1	0.73	0.25	0.50	217.50
<b>Total x Piso (kg)</b>					<b>35533.8</b>
<b>Total x Piso semisótano(kg)</b>					<b>14817.6</b>

**Tabla A1-6.** Peso Losas Aligeradas por piso: Bloque – I.

MASA SISMICA DE LOSAS ALIGERADAS								
Aligerados	Espesor (cm)	Losa Sup. (cm)	Nº Paños	LX (m)	LY (m)	Área (m <sup>2</sup> )	m <sup>3</sup> /m <sup>2</sup>	Peso (kg)
1 Dirección	20	5	2	4.63	8.5	78.71	0.0875	16529.100
1 Dirección	20	5	2	4.78	8.5	81.26	0.0875	17064.600
1 Dirección	20	5	1	4.63	2.57	11.8991	0.0875	2498.811
1 Dirección	20	5	1	4.78	2.57	12.2846	0.0875	2579.766
1 Dirección	20	5	1	2.39	2.57	6.1423	0.0875	1289.883
<b>Total x Piso (kg)</b>								<b>39962.160</b>

**Tabla A1-7.** Carga Muerta: Bloque – I.

Piso	CM1(kg/m <sup>2</sup> )	CM2(kg/m <sup>2</sup> )	Peso(kg)
Semisótano	-	-	-
Piso 01	90	100	36156.24
Piso 02	90	100	36156.24
Techo	90	100	36156.24

**Tabla A1- 8.** Carga Muerta - Tabiquería: Bloque – I.

Piso	CM1(kg)	CM2(kg)	Peso(kg)
Semisótano	13073.20	22250.830	35324.030
Piso 01	11190.62	19211.808	30402.428
Piso 02	11190.62	19211.808	30402.428
Techo	2131.50	3440.850	5572.350

**Tabla A1-9.** Carga viva: Bloque – I.

Piso	CV1(kg/m <sup>2</sup> )	CV2(kg/m <sup>2</sup> )	CVTecho(kg/m <sup>2</sup> )	Peso(kg)
Semisótano	-	-	-	-
Piso 01	250	400	-	52122.9
Piso 02	250	400	-	52122.9
Techo	-	-	100	19029.6

**Tabla A1-10.** Pesos Sísmicos Efectivos Calculados: BLOQUE – I.

Piso	Peso Propio (kg)	CM (kg)	CV (kg)	CVTecho (kg)	Peso x Piso (kg)	Peso Acum. (kg)
<b>Semisótano</b>	81620.8163	35324.030	-	-	116944.846	116944.846
<b>Piso 01</b>	137409.301	66558.668	26061.45	-	230029.419	346974.266
<b>Piso 02</b>	133422.172	66558.668	26061.45	-	226042.290	573016.556
<b>Techo</b>	104459.066	41728.590	-	4757.4	150945.056	723961.612
<b>Peso Total (kg)</b>						<b>723961.612</b>

### CÁLCULO DE IRREGULARIDADES EN ALTURA (la): BLOQUE – I

Tabla A1-11. Irregularidad de rigidez - piso blando/Dirección. X-X: BLOQUE – I.

IRREGULARIDAD DE RIGIDEZ - PISO BLANDO ( la = 0.75 )								
Piso	R=5.4 FACTOR=0.85(Irregular)				ANALISIS DIRECCIÓN. X-X			
	Cortante de piso (tonf)	Altura Entrep. (m)	Despl. Acumul. C.M.(m)	Despl. Relativo C.M. (m)	Rigidez Lateral (tonf/m)	<0.70	Ó	<0.80
Techo	55.40	3.85	0.019292	0.00444	12477.38			
Piso 02	119.10	3.85	0.014852	0.00538	22145.21	1.77	REG.	
Piso 01	164.31	4.38	0.009474	0.00474	34687.29	1.57	REG.	
Semisótano	175.96	4.50	0.004737	0.00474	37146.48	1.07	REG.	1.61 REG.

Tabla A1-12. Irregularidad de rigidez - piso blando/Dirección. Y-Y: BLOQUE – I.

IRREGULARIDAD DE RIGIDEZ - PISO BLANDO ( la = 0.75 )								
Piso	R=5.4 FACTOR=0.85(Irregular)				ANALISIS DIRECCIÓN. Y-Y			
	Cortante de piso (tonf)	Altura Entrep. (m)	Despl. Acumul. C.M.(m)	Despl. Relativo C.M. (m)	Rigidez Lateral (tonf/m)	<0.70	Ó	<0.80
Techo	55.40	3.85	0.017079	0.00411	13466.11			
Piso 02	119.10	3.85	0.012965	0.00481	24755.13	1.84	REG.	
Piso 01	164.31	4.38	0.008154	0.00408	40302.59	1.63	REG.	
Semisótano	175.96	4.50	0.004077	0.00408	43159.90	1.07	REG.	1.65 REG.

Tabla A1-13. Irregularidad de resistencia - piso débil/Dirección. X-X: BLOQUE – I.

IRREGULARIDAD DE RESISTENCIA - PISO DEBIL ( la = 0.75 ) / ANALISIS DIR. X-X											
Piso	COLUMNAS				Atotal colum.	MUROS DE CORTE			Atotal		
	h (m)	tipo	Cant.	A. Peralte	(m <sup>2</sup> )	tipo	Cant.	Esp. (m)	L (m)	M°C° (m <sup>2</sup> )	<0.80
Techo	3.85	C-2	6	1	0.3848	2.31	PL-1	4	0.30	1.5	1.80
Piso 02	3.85	C-2	6	1	0.3848	2.31	PL-1	4	0.30	1.5	1.80
Piso 01	4.38	C-2	6	1	0.3848	2.31	PL-1	4	0.30	1.5	1.80
Semisótano	4.5	C-2	6	1	0.3848	2.31	PL-1	4	0.30	1.5	1.80
										0.88	REG.
										0.97	REG.

Tabla A1-14. Irregularidad de resistencia - piso débil/Dirección. Y-Y: BLOQUE – I.

IRREGULARIDAD DE RESISTENCIA - PISO DEBIL ( la = 0.75 ) / ANALISIS DIR. Y-Y											
Piso	COLUMNAS				Atotal colum.	MUROS DE CORTE			Atotal		
	h (m)	tipo	Cant.	A. Peralte	(m <sup>2</sup> )	tipo	Cant.	Esp. (m)	L (m)	M°C° (m <sup>2</sup> )	<0.80
Techo	3.85	C-2	6	1	0.3848	2.31	PL-1	4	0.30	1.8	2.16
Piso 02	3.85	C-2	6	1	0.3848	2.31	PL-1	4	0.30	1.8	2.16
Piso 01	4.38	C-2	6	1	0.3848	2.31	PL-1	4	0.30	1.8	2.16
Semisótano	4.5	C-2	6	1	0.3848	2.31	PL-1	4	0.30	1.8	2.16
										0.88	REG.
										0.97	REG.

Tabla A1-15. Irregularidad de Masa/Dirección. X-X, Y-Y: BLOQUE – I.

IRREGULARIDAD DE MASA O PESO ( la = 0.90 )								
ANALISIS EN LA DIRECCIÓN X-X					ANALISIS EN LA DIRECCIÓN Y-Y			
Piso	Mass X (kg)	>1.50			Piso	Mass Y (kg)	>1.50	
Techo	150945.06				Techo	150945.06		
Piso 02	226042.29	1.50*	REG.		Piso 02	226042.29	1.50*	REG.
Piso 01	230029.42	1.02	REG.		Piso 01	230029.42	1.02	REG.
Semisótano	116944.85	0.51	REG.	Semisótano	116944.85	0.51	REG.	

## CÁLCULO DE IRREGULARIDADES EN PLANTA (Ip): BLOQUE – I

Tabla A1-16. Irregularidad torsional. X-X: BLOQUE – I.

IRREGULARIDAD TORSIONAL ( Ip = 0.75 )										
R=5.4 <b>FACTOR=0.85(Irregular)</b> $\Delta\text{Limite} = 0.007 (\text{C}^\circ\text{A}^\circ)$										
Piso	Altura Entr. (m)	Despl. Absol. (Eje 9) (m)	Despl. Relativo (Eje 9) (m)	Despl. Absol. (Eje 11) (m)	Despl. Relativo (Eje 11) (m)	Maximo Despl. Relativo (m)	Despl. Promed. (m)	50% Máximo Permis. (m)	Se aplica o no la verific.	>1.30
Techo	3.85	0.017229	0.004022	0.016578	0.003847	0.004022	0.003935	0.0035	APLICA	1.02
Piso 02	3.85	0.013207	0.004827	0.012731	0.004638	0.004827	0.004733	0.0035	APLICA	1.02
Piso 01	4.38	0.008380	0.005560	0.008093	0.005364	0.005560	0.005462	0.0035	APLICA	1.02
S.sótano	4.50	0.002820	0.002820	0.002729	0.002729	0.002820	0.002775	0.0035	APLICA	1.02

Tabla A1-17. Irregularidad torsional. Y-Y: BLOQUE – I.

IRREGULARIDAD TORSIONAL ( Ip = 0.75 )										
R=5.4 <b>FACTOR=0.85(Irregular)</b> $\Delta\text{Limite} = 0.007 (\text{C}^\circ\text{A}^\circ)$										
Piso	Altura Entr. (m)	Despl. Absol. (EjeD) (m)	Despl. Relativo (EjeD) (m)	Despl. Absol. (EjeK) (m)	Despl. Relativo (EjeK) (m)	Maximo Despl. Relativo (m)	Despl. Promed. (m)	50% Máximo Permis. (m)	Se aplica o no la verific.	>1.30
Techo	3.85	0.015936	0.003896	0.014468	0.003514	0.003896	0.003705	0.0035	APLICA	1.05
Piso 02	3.85	0.012040	0.004512	0.010954	0.004089	0.004512	0.004301	0.0035	APLICA	1.05
Piso 01	4.38	0.007528	0.005039	0.006865	0.004591	0.005039	0.004815	0.0035	APLICA	1.05
S.sótano	4.50	0.002489	0.002489	0.002274	0.002274	0.002489	0.002382	0.0035	APLICA	1.05

Tabla A1-18. Irregularidad – Esquinas entrantes. X-X, Y-Y: BLOQUE – I.

IRREGULARIDAD – EQUINAS ENTRANTES ( Ip = 0.90 )					
ANALISIS EN LA DIRECCIÓN X-X			ANALISIS EN LA DIRECCIÓN Y-Y		
Descripción	Long.(m)	> 0.20	Descripción	Long.(m)	> 0.20
A	19.11	0.37	IRREG	A	11.30
a	7.06			a	2.50

Tabla A1-19. Discontinuidad de diafragma. X-X, Y-Y: BLOQUE – I.

IRREGULARIDAD – DISCONTINUIDAD DEL DIAFRAGMA ( Ip = 0.85 )					
(1era condición)			(2da condición)		
ANALISIS EN LA DIRECCIÓN X-X/Y-Y			ANALISIS EN LA DIRECCIÓN X-X		
Descripción	Area(m <sup>2</sup> )	> 0.50	Descripción	L(m)	e(m)
Atotal	216.06	0.34	REG.	Sección A-A	19.11 0.20
A'	17.66			Sección B-B	12.05 0.20
ANALISIS EN LA DIRECCIÓN Y-Y					
Descripción	L(m)	e(m)	< 0.25		
Sección A-A	11.30	0.20	0.75	REG.	
Sección B-B	8.50	0.20			

## CALCULO MANUAL DE MASA SÍSMICA: BLOQUE - II

**Tabla A1-20.** Tipos y valores de carga a asignar: BLOQUE – I, II y III.

Descripción	Tipo de carga	Nombre	Patrón	Valor (kg/m <sup>2</sup> )
Bloques de Arcilla Hlosa=0.20m	Muerta	CM1	Súper Dead	90
Acabados	Muerta	CM2	Súper Dead	100
S/C - oficinas	Viva entre piso	CV1	Reducible Live	250
S/C - Corredores	Viva entre piso	CV2	Reducible Live	400
S/C - Techo	Techo	CVtecho	Roof Live	100

**Tabla 21.** Alturas de entrepiso: Bloque – II.

Piso	Totales(m)	Entrepiso(m)
Semisótano	4.50	4.440
Piso 01	4.38	4.115
Piso 02	3.85	3.850
Techo	3.85	1.925

**Tabla A1-22.** Peso de columnas por piso: Bloque – II.

MASA SISMICA DE COLUMNAS							
Peso x piso (kg)							
Número	b	D	1°	2°	3°	4°	Total
Columna 4	0.3	0.60	7672.32	7110.72	6652.8	3326.4	28650.24
Columna 4	0.4	0.80	13639.68	12641.28	11827.2	5913.6	50933.76
Altura Restante. 1Piso:			3888 kg				
Altura Restante. 1Piso:			6912 kg				

**Tabla A1-23.** Peso de Muros de corte (placas de C"A") por piso: Bloque – II.

MASA SISMICA DE MUROS								
Peso x piso (kg)								
Número	t	L	1°	2°	3°	4°	Total	
Muros PL-4	1	0.30	5.20	16623.36	15406.56	14414.4	7207.2	62075.52
Muros PL-2	2	0.30	2.60	8311.68	7703.28	7207.2	3603.6	62075.52
Muros PL-3	1	0.30	4.50	14385.6	13332.6	12474	6237.0	53719.20
Altura Restante. 1Piso:			8424 kg					
Altura Restante. 1Piso:			4212 kg				Suma: 177870.24	
Altura Restante. 1Piso:			7290 kg					

**Tabla A1-24.** Peso vigas por piso: Bloque – II.

MASA SISMICA DE VIGAS					
Descripción	Número	Longitud(m)	b(m)	h(m)	Peso(kg)
V1 X-X	1	35.43	0.30	0.50	12754.80
V2 X-X	1	6.62	0.30	0.70	3336.48
V3 X-X	1	3.82	0.30	0.20	550.08
V4 X-X	1	0.90	0.30	0.20	129.60
V1 Y-Y	1	17.31	0.15	0.50	3115.80
V2 Y-Y	1	38.06	0.30	0.50	13701.60
V3 Y-Y	2	4.97	0.30	0.50	3578.40
V4 Y-Y	1	3.47	0.15	0.20	249.90
V5 Y-Y	1	3.77	0.15	0.20	271.38
Total x Piso semisótano (kg)			33708.66		
Total x Piso 01(kg)			37688.05		
Total x Piso 02(kg)			37688.05		
Total x Techo(kg)			33708.66		

**Tabla A1-25.** Peso Losas Aligeradas por piso: Bloque – II.

MASA SISMICA DE LOSAS ALIGERADAS								
Aligerados	Espesor (cm)	Losa Sup. (cm)	Nº Paños	LX (m)	LY (m)	Área (m²)	m³/m²	Peso (kg)
1 Dirección	20	5	1	2.74	4.75	13.02	0.0875	2733.150
1 Dirección	20	5	1	2.74	3.75	10.28	0.0875	2157.750
1 Dirección	20	5	1	2.74	5.27	14.44	0.0875	3032.358
1 Dirección	20	5	1	2.74	4.74	12.99	0.0875	2727.396
1 Dirección	20	5	1	5.22	4.75	24.80	0.0875	5206.950
1 Dirección	20	5	1	5.22	3.75	19.58	0.0875	4110.750
1 Dirección	20	5	1	5.22	5.27	27.51	0.0875	5776.974
1 Dirección	20	5	1	5.22	4.74	24.74	0.0875	5195.988
1 Dirección	20	5	1	2.70	4.75	12.83	0.0875	2693.250
1 Dirección	20	5	1	2.70	3.75	10.13	0.0875	2126.250
1 Dirección	20	5	1	2.70	4.74	12.80	0.0875	2687.580
1 Dirección	20	5	1	3.45	0.86	2.97	0.0875	623.070
1 Dirección	20	5	1	3.75	0.86	3.23	0.0875	677.250
							Total x Piso semisótano (kg)	39071.466
							Total x Piso 01(kg)	39748.716
							Total x Piso 02(kg)	39748.716
							Total x Techo(kg)	39071.466

**Tabla A1-26.** Peso Losa maciza por piso: Bloque – II.

MASA SISMICA DE LOSAS MACIZAS						
Aligerados	Espesor (m)	Nº Paños	LX (m)	LY (m)	Área (m²)	m³/m²
1 Dirección	0.15	1	1.00	5.27	5.27	0.15
						Total x Piso (kg) 1897.20

**Tabla A1-27.** Carga Muerta: Bloque – II.

Piso	CM1(kg/m²)	CM2(kg/m²)	Peso(kg)
Semisótano	-	-	35350.374
Piso 01	90	100	36490.124
Piso 02	90	100	36490.124
Techo	90	100	35350.374

**Tabla A1-28.** Carga Muerta - Tabiquería: Bloque – II.

Piso	CM1(kg)	CM2(kg)	Peso(kg)
Semisótano	6498.03	-	6498.030
Piso 01	5610.53	-	5610.528
Piso 02	5610.53	-	5610.528
Techo	6462.10	-	6462.110

**Tabla A1-29.** Carga viva: Bloque – II.

Piso	CV1(kg/m²)	CV2(kg/m²)	CVTecho(kg/m²)	Peso(kg)
Semisótano	250	400	-	54121.260
Piso 01	250	400	-	57035.510
Piso 02	250	400	-	57035.510
Techo	-	-	100	18605.460

**Tabla A1-30.** Pesos Sísmicos Efectivos Calculados: BLOQUE – II.

Piso	P. Propio (kg)	CM (kg)	CV (kg)	CV Techo (kg)	Peso x Piso (kg)	Peso Acum. (kg)
Semisótano	141724.45	41848.404	27060.63	-	210633.4848	210633.485
Piso 01	143231.68	42100.652	28517.755	-	213850.0902	424483.575
Piso 02	139116.76	42100.652	28517.755	-	209735.1702	634218.745
Techo	102671.53	41812.484	-	4651.365	149135.3797	783354.125
<b>Peso Total (kg)</b>					<b>783354.125</b>	

**CÁLCULO DE IRREGULARIDADES EN ALTURA (la): BLOQUE - II****Tabla A1-31.** Irregularidad de rigidez - piso blando/Dirección. X-X: BLOQUE – II.

IRREGULARIDAD DE RIGIDEZ - PISO BLANDO ( la = 0.75 )							
R=5.4 FACTOR=0.85(Irregular)				ANALISIS DIRECCIÓN. X-X			
Piso	Cortante de piso (tonf)	Altura Entrep. (m)	Despl. Acumul. C.M.(m)	Despl. Relativo C.M. (m)	Rigidez Lateral (tonf/m)	<0.70	Ó
Techo	58.93	3.85	0.018487	0.00524	11254.17		
Piso 02	122.55	3.85	0.013251	0.00537	22826.35	2.03	REG.
Piso 01	167.81	4.38	0.007882	0.00529	31704.15	1.39	REG.
Semisótano	190.40	4.50	0.002589	0.00259	73541.36	2.32	REG. 3.35 REG.

**Tabla A1-32.** Irregularidad de rigidez - piso blando/Dirección. Y-Y: BLOQUE – II.

IRREGULARIDAD DE RIGIDEZ - PISO BLANDO ( la = 0.75 )							
R=5.4 FACTOR=0.85(Irregular)				ANALISIS DIRECCIÓN. Y-Y			
Piso	Cortante de piso (tonf)	Altura Entrep. (m)	Despl. Acumul. C.M.(m)	Despl. Relativo C.M. (m)	Rigidez Lateral (tonf/m)	<0.70	Ó
Techo	58.93	3.85	0.01949	0.00488	12072.69		
Piso 02	122.55	3.85	0.014609	0.00553	22165.80	1.84	REG.
Piso 01	167.81	4.38	0.00908	0.00607	27664.04	1.25	REG.
Semisótano	190.40	4.50	0.003014	0.00301	63171.39	2.28	REG. 3.06 REG.

**Tabla A1-33.** Irregularidad de resistencia - piso débil/Dirección. X-X: BLOQUE – II.

IRREGULARIDAD DE RESISTENCIA - PISO DEBIL ( la = 0.75 ) / ANALISIS DIR. X-X											
Piso	h (m)	COLUMNAS			Atotal colum. (m <sup>2</sup> )	MUROS DE CORTE		< 0.80			
		tipo	Cant.	b		tipo	Cant.	Esp. (m)	L (m)	M°C° (m <sup>2</sup> )	
Techo	3.85	C-3	4	0.4	0.8	1.28	PL-2	2	0.3	0.6	0.36
		C-4	4	0.3	0.6	0.72	PL-3	1	0.3	3.0	0.90
		-	-	-	-	PL-4	1	0.3	3.0	0.90	
Piso 02	3.85	C-3	4	0.4	0.8	1.28	PL-2	2	0.3	0.6	0.36
		C-4	4	0.3	0.6	0.72	PL-3	1	0.3	3.0	0.90
		-	-	-	-	PL-4	1	0.3	3.0	0.90	1.00 REG.
Piso 01	4.38	C-3	4	0.4	0.8	1.28	PL-2	2	0.3	0.6	0.36
		C-4	4	0.3	0.6	0.72	PL-3	1	0.3	3.0	0.90
		-	-	-	-	PL-4	1	0.3	3.0	0.90	0.88 REG.
S.sótano	4.50	C-3	4	0.4	0.8	1.28	PL-2	2	0.3	0.6	0.36
		C-4	4	0.3	0.6	0.72	PL-3	1	0.3	3.0	0.90
		-	-	-	-	PL-4	1	0.3	3.0	0.90	0.97 REG.

Tabla A1-34. Irregularidad de resistencia - piso débil/Dirección. Y-Y: BLOQUE – II.

IRREGULARIDAD DE RESISTENCIA - PISO DEBIL ( $I_a = 0.75$ ) / ANALISIS DIR. Y-Y												
Piso	h (m)	COLUMNAS				colum. (m <sup>2</sup> )	MUROS DE CORTE				Atotal	
		tipo	Cant.	A.	h		tipo	Cant.	Esp. (m)	L (m)	M°C° (m <sup>2</sup> )	< 0.80
Techo	3.85	C-3	4	0.4	0.8	1.28	PL-2	2	0.3	2.0	1.20	
		C-4	4	0.3	0.6	0.72	PL-3	1	0.3	1.8	0.54	
		-	-	-	-	-	PL-4	1	0.3	2.5	0.75	
Piso 02	3.85	C-3	4	0.4	0.8	1.28	PL-2	2	0.3	2.0	1.20	
		C-4	4	0.3	0.6	0.72	PL-3	1	0.3	1.8	0.54	1.00 REG.
		-	-	-	-	-	PL-4	1	0.3	2.5	0.75	
Piso 01	4.38	C-3	4	0.4	0.8	1.28	PL-2	2	0.3	2.0	1.20	
		C-4	4	0.3	0.6	0.72	PL-3	1	0.3	1.8	0.54	0.88 REG.
		-	-	-	-	-	PL-4	1	0.3	2.5	0.75	
S.sótano	4.50	C-3	4	0.4	0.8	1.28	PL-2	2	0.3	2.0	1.20	
		C-4	4	0.3	0.6	0.72	PL-3	1	0.3	1.8	0.54	0.97 REG.
		-	-	-	-	-	PL-4	1	0.3	2.5	0.75	

Tabla A1-35. Irregularidad de Masa/Dirección. X-X, Y-Y: BLOQUE – II.

IRREGULARIDAD DE MASA O PESO (  $I_a = 0.90$  )

ANALISIS EN LA DIRECCIÓN X-X				ANALISIS EN LA DIRECCIÓN Y-Y			
Piso	Mass X(kg)	>1.50	Piso	Mass Y(kg)	>1.50		
Techo	149135.38		Techo	149135.38			
Piso 02	209735.17	1.41 REG.	Piso 02	209735.17	1.41 REG.		
Piso 01	213850.09	1.02 REG.	Piso 01	213850.09	1.02 REG.		
Semisótano	210633.48	0.98 REG.	Semisótano	210633.48	0.98 REG.		

CÁLCULO DE IRREGULARIDADES EN PLANTA (Ip): BLOQUE - II

Tabla A1-36. Irregularidad torsional. X-X: BLOQUE – II.

IRREGULARIDAD TORSIONAL (  $Ip = 0.75$  )

Piso	Altura Entr. (m)	R=5.4				ANALISIS DIRECCIÓN. X-X				Se aplica o no la verific.	>1.30		
		FACTOR=0.85(Irregular) $\Delta$ Límite = 0.007 (C° A°)											
		Despl. Absol. (Eje 5) (m)	Despl. Relativo (Eje 5) (m)	Despl. Absol. (Eje 11) (m)	Despl. Relativo (Eje 11) (m)	Maximo Despl. Relativo (m)	Despl. Promed. (m)	50% Máximo Permis. (m)					
Techo	3.85	0.011968	0.003443	0.015595	0.004477	0.004477	0.003960	0.0035	APLICA	1.13			
Piso 02	3.85	0.008525	0.003490	0.011118	0.004556	0.004556	0.004023	0.0035	APLICA	1.13			
Piso 01	4.38	0.005035	0.003387	0.006562	0.004429	0.004429	0.003908	0.0035	APLICA	1.13			
S.sótano	4.50	0.001648	0.001648	0.002133	0.002133	0.002133	0.001891	0.0035	APLICA	1.13			

Tabla A1-37. Irregularidad torsional. Y-Y: BLOQUE – II.

IRREGULARIDAD TORSIONAL (  $Ip = 0.75$  )

Piso	Altura Entr. (m)	R=5.4				ANALISIS DIRECCIÓN. Y-Y				Se aplica o no la verific.	>1.30		
		FACTOR=0.85(Irregular) $\Delta$ Límite = 0.007 (C° A°)											
		Despl. Absol. (EjeA) (m)	Despl. Relativo (EjeA) (m)	Despl. Absol. (EjeD) (m)	Despl. Relativo (EjeD) (m)	Maximo Despl. Relativo (m)	Despl. Promed. (m)	50% Máximo Permis. (m)					
Techo	3.85	0.013423	0.003429	0.017015	0.004334	0.004334	0.003882	0.0035	APLICA	1.12			
Piso 02	3.85	0.009994	0.003827	0.012681	0.004857	0.004857	0.004342	0.0035	APLICA	1.12			
Piso 01	4.38	0.006167	0.004131	0.007824	0.005249	0.005249	0.004690	0.0035	APLICA	1.12			
S.sótano	4.50	0.002036	0.002036	0.002575	0.002575	0.002575	0.002306	0.0035	APLICA	1.12			

Tabla A1-38. Irregularidad – Esquinas entrantes. X-X, Y-Y: BLOQUE – II.

IRREGULARIDAD – ESKINAS ENTRANTES (  $Ip = 0.90$  )

ANALISIS EN LA DIRECCIÓN X-X ANALISIS EN LA DIRECCIÓN Y-Y

Descripción	Long.(m)	> 0.20	Descripción	Long.(m)	> 0.20		
A	8.22	0.33	IRREG	A	18.81	0.26	IRREG

Tabla A1-39. Discontinuidad de diafragma. X-X, Y-Y: BLOQUE – II.

IRREGULARIDAD – DISCONTINUIDAD DEL DIAFRAGMA (  $Ip = 0.85$  )

(1era condición) ANALISIS EN LA DIRECCIÓN X-X/Y-Y (2da condición) ANALISIS EN LA DIRECCIÓN X-X

Descripción	Área(m <sup>2</sup> )	> 0.50	Descripción	L(m)	e(m)	< 0.25
Atotal	157.69	0.09	REG.	Sección A-A	8.22	0.20
A'	13.42			Sección B-B	5.52	0.20
ANALISIS EN LA DIRECCIÓN Y-Y						
Descripción	L(m)	e(m)	< 0.25			
Sección A-A	18.81	0.20	0.74	REG.		
Sección B-B	13.84	0.20				

### CALCULO MANUAL DE MASA SÍSMICA: BLOQUE - III

**Tabla A1-40.** Tipos y valores de carga a asignar: BLOQUE – III.

Descripción	Tipo de carga	Nombre	Patrón	Valor (kg/m <sup>2</sup> )
Bloq. Arcilla Hlosa=0.20m (1Dir)	Muerta	CM1	Súper Dead	90
Bloq. Arcilla Hlosa=0.20m (2Dir)	Muerta	CM2	Súper Dead	67.5
Acabados	Muerta	CM3	Súper Dead	100
S/C - oficinas	Viva entre piso	CV1	Reducible Live	250
S/C - Corredores	Viva entre piso	CV2	Reducible Live	400
S/C - Techo	Techo	CVtecho	Roof Live	100

**Tabla 41.** Alturas de entrepiso: Bloque – III.

Piso	Totales(m)	Entrepiso(m)
Semisótano	4.50	4.440
Piso 01	4.38	4.115
Piso 02	3.85	3.850
Piso 03	3.85	3.850
Techo	3.85	1.925

**Tabla A1-42.** Peso de columnas por piso: Bloque – III.

Nº	b	D	Área	MASA SISMICA DE COLUMNAS						Total
				Base	1°	2°	3°	4°	5°	
Col. 4	1.00	0.5027	10857.34	21425.16	19856.88	18578.12	18578.12	9289.06	98584.69	
Col. 8	0.40	0.80	13824.00	27279.36	25282.56	23654.40	23654.40	11827.20	125521.92	

**Tabla A1-43.** Peso de Muros de corte (placas de C°A°) por piso: Bloque – III.

Nº	t	L	Base	MASA SISMICA DE MUROS						Total
				1°	2°	3°	4°	5°		
PL-5	1	0.30	3.55	5751	11348.64	10517.94	9840.60	9840.60	4920.30	52219.08
PL-6	1	0.30	2.50	4050	7992.00	7407.00	6930.00	6930.00	3465.00	36774.00
PL-7	1	0.30	4.40	7128	14065.92	13036.32	12196.80	12196.80	6098.40	64722.24
PL-8	1	0.30	2.15	3483	6873.12	6370.02	5959.80	5959.80	2979.90	31625.64
PL-9	1	0.30	2.15	3483	6873.12	6370.02	5959.80	5959.80	2979.90	31625.64
PL-10	2	0.30	4.00	12960	25574.40	23702.40	22176.00	22176.00	11088.00	117676.80
PL-11	1	0.30	3.00	4860	9590.40	8888.40	8316.00	8316.00	4158.00	44128.80
PL-12	2	0.30	4.00	12960	25574.40	23702.40	22176.00	22176.00	11088.00	117676.80
PL-13	1	0.25	5.75	7762.5	15318.00	14196.75	13282.50	13282.50	6641.25	70483.50
M-20	1	0.20	46.42	50138.7	50138.75	-	-	-	-	100277.49

**Tabla A1-44.** Peso vigas por piso: Bloque – III.

MASA SISMICA DE VIGAS					
Descripción	Número	Longitud(m)	b(m)	h(m)	Peso(kg)
V1 X-X	1	8.66	0.40	0.80	6650.88
V2 X-X	1	70.00	0.30	0.60	30240.00
V3 X-X	1	4.70	0.30	0.50	1692.00
V4 X-X	1	1.60	0.25	0.60	576.00
V5 X-X	1	11.95	0.15	0.50	2151.00
V6 X-X	1	3.42	0.15	0.20	246.01
V7 X-X	1	3.42	0.15	0.20	246.01
V8 X-X	1	5.11	0.30	0.60	2207.50
V9 X-X	1	5.16	0.30	0.60	2229.12
V10 X-X	1	4.89	0.30	0.60	2112.48

V1 Y-Y	1	4.55	0.30	0.60	1965.60
V2 Y-Y	1	6.44	0.30	0.60	2784.15
V3 Y-Y	1	9.98	0.40	0.80	7664.64
V4 Y-Y	1	53.12	0.30	0.60	22947.84
V5 Y-Y	1	4.65	0.30	0.50	1674.00
V6 Y-Y	1	5.43	0.25	0.60	1954.80
V7 Y-Y	1	4.86	0.15	0.50	874.80
V8 Y-Y	1	2.35	0.30	0.20	338.40
V9 Y-Y	1	2.60	0.30	0.20	374.40
V10 Y-Y	1	0.78	0.30	0.20	111.60
V11 Y-Y	1	0.28	0.30	0.20	39.60
V12 Y-Y	1	0.78	0.30	0.20	111.60
<b>Total x Piso semisótano (kg)</b>					
<b>82130.41</b>					
<b>Total x Piso 01(kg)</b>					
<b>80320.12</b>					
<b>Total x Piso 02(kg)</b>					
<b>89192.43</b>					
<b>Total x Piso 03(kg)</b>					
<b>89192.43</b>					
<b>Total x Techo(kg)</b>					
<b>75797.42</b>					

Tabla A1-45. Peso Losas Aligeradas 01 dirección. por piso: Bloque – III.

MASA SISMICA DE LOSAS ALIGERADAS (01 Dirección)								
Alig.	Espesor (cm)	Losa Sup. (cm)	Nº Paños	LX (m)		Área (m <sup>2</sup> )	m <sup>3</sup> /m <sup>2</sup>	Peso (kg)
1 Dir.	20	5	1	5.370	2.900	15.573	0.0875	3270.33
1 Dir.	20	5	1	5.460	2.900	15.834	0.0875	3325.14
1 Dir.	20	5	2	3.380	2.900	19.604	0.0875	4116.84
1 Dir.	20	5	1	6.760	2.950	19.942	0.0875	4187.82
1 Dir.	20	5	1	6.760	4.560	30.826	0.0875	6473.38
1 Dir.	20	5	1	2.575	4.560	11.742	0.0875	2465.82
1 Dir.	20	5	1	2.575	0.375	0.966	0.0875	202.78
1 Dir.	20	5	1	1.270	2.575	3.270	0.0875	686.75
1 Dir.	20	5	1	5.370	2.575	13.828	0.0875	2903.83
1 Dir.	20	5	1	5.460	2.575	14.060	0.0875	2952.50
1 Dir.	20	5	1	3.380	0.750	2.535	0.0875	532.35
1 Dir.	20	5	1	3.380	0.750	2.535	0.0875	532.35
<b>Total x Piso semisótano (kg)</b>						<b>30585.18</b>		
<b>Total x Piso 01(kg)</b>						<b>27792.39</b>		
<b>Total x Piso 02(kg)</b>						<b>28324.74</b>		
<b>Total x Piso 03(kg)</b>						<b>28324.74</b>		
<b>Total x Techo(kg)</b>						<b>21905.86</b>		

Tabla A1-46. Peso Losas Aligeradas 02 direcciones por piso: Bloque – III.

MASA SISMICA DE LOSAS ALIGERADAS (02 Direcciones)								
Alig.	Espesor (cm)	Losa Sup. (cm)	Nº Paños	LX (m)	LY (m)	Área (m <sup>2</sup> )	m <sup>3</sup> /m <sup>2</sup>	Peso (kg)
2 Dir.	20	5	1	5.290	4.950	13.093	0.115625	3633.24
2 Dir.	20	5	1	5.290	4.950	13.093	0.115625	3633.24
2 Dir.	20	5	1	4.170	4.950	20.642	0.115625	5728.02
2 Dir.	20	5	1	5.370	4.950	26.582	0.115625	7376.37
2 Dir.	20	5	1	5.460	4.950	27.027	0.115625	7499.99
2 Dir.	20	5	1	6.760	4.950	33.462	0.115625	9285.71
2 Dir.	20	5	1	5.290	6.230	32.957	0.115625	9145.48
2 Dir.	20	5	1	4.170	6.230	25.979	0.115625	7209.20
2 Dir.	20	5	1	5.460	6.230	34.016	0.115625	9439.38
2 Dir.	20	5	1	6.760	6.230	42.115	0.115625	11686.86
<b>Total x Piso semisótano (kg)</b>						<b>71004.24</b>		

Total x Piso 01(kg) 71004.24  
Total x Piso 02(kg) 74637.48  
Total x Piso 03(kg) 74637.48  
Total x Techo(kg) 71004.24

**Tabla A1-47.** Peso Losa maciza por piso: Bloque – III.

## **MASA SISMICA DE LOSAS MACIZAS**

**Tabla A1-48.** Carga Muerta: Bloque – III.

Piso	CM1(kg/m <sup>2</sup> )	CM2(kg/m <sup>2</sup> )	CM3(kg/m <sup>2</sup> )	CM4(kg/m <sup>2</sup> )	Peso(kg)
Semisótano	90	67.5	100	480	<b>85205.903</b>
Piso 01	90	67.5	100	480	<b>82679.093</b>
Piso 02	90	67.5	100	480	<b>85899.779</b>
Piso 03	90	67.5	100	480	<b>85899.779</b>
Techo	90	67.5	100	480	<b>77353.180</b>

**Tabla A1-49.** Carga Muerta - Tabiquería: Bloque – III.

Piso	CM1(kg)	CM2(kg)	Peso(kg)
Semisótano	45643.03	-	45643.03
Piso 01	39243.34	-	39243.34
Piso 02	39243.34	-	39243.34
Piso 03	39243.34		39243.34
Techo	24006.49	-	24006.49

**Tabla A1-50.** Carga viva: Bloque – III.

Piso	CV1(kg/m2)	CV2(kg/m2)	CV3(kg/m2)	CVTecho(kg/m2)	Peso(kg)
Semisótano	250	400	1000	-	121405.753
Piso 01	250	400	1000	-	118081.003
Piso 02	250	400	1000	-	124171.940
Piso 03	250	400	1000	-	124171.940
Techo	-	-	1000	100	42293.485

**Tabla A1-51. Pesos Sísmicos Efectivos Calculados: BLOQUE – III.**

Piso	P. Propio (kg)	CM (kg)	CV (kg)	CVTecho (kg)	Peso x Piso (kg)	Peso Acum. (kg)
Semisótano	408613.98	130848.931	60702.876	-	600165.79	600165.79
Piso 01	341288.33	121922.437	59040.501	-	522251.26	1122417.06
Piso 02	346031.16	125143.123	62085.970	-	533260.25	1655677.31
Piso 03	346031.16	125143.123	62085.970	-	533260.25	2188937.56
Techo	246083.41	101359.670	1627.500	9759.62125	358830.21	2547767.77
Peso Total (kg)					2547767.766	

### CÁLCULO DE IRREGULARIDADES EN ALTURA (Ia): BLOQUE - III

**Tabla A1-52.** Irregularidad de rigidez - piso blando/Dirección. X-X: BLOQUE – III.

IRREGULARIDAD DE RIGIDEZ - PISO BLANDO ( Ia = 0.75 )								
Piso	R=5.4 FACTOR=0.85(Irregular)			ANALISIS DIRECCIÓN. X-X				
	Cortante de piso (tonf)	Altura Entrep. (m)	Despl. Acumul. C.M.(m)	Despl. Relativo C.M. (m)	Rigidez Lateral (tonf/m)	<0.70	Ó	<0.80
Techo	143.67	3.85	0.01678	0.00335	42848.06			
Piso 03	305.58	3.85	0.01343	0.00399	76585.65	1.79	REG.	
Piso 02	415.88	3.85	0.00944	0.00426	97716.80	1.28	REG.	
Piso 01	473.38	4.38	0.00519	0.00383	123629.03	1.27	REG.	1.71 REG.
Semisótano	473.38	4.50	0.00136	0.00136	349097.00	2.82	REG.	3.52 REG.

**Tabla A1-53.** Irregularidad de rigidez - piso blando/Dirección. Y-Y: BLOQUE – III.

IRREGULARIDAD DE RIGIDEZ - PISO BLANDO ( Ia = 0.75 )								
Piso	R=5.4 FACTOR=0.85(Irregular)			ANALISIS DIRECCIÓN. Y-Y				
	Cortante de piso (tonf)	Altura Entrep. (m)	Despl. Acumul. C.M.(m)	Despl. Relativo C.M. (m)	Rigidez Lateral (tonf/m)	<0.70	Ó	<0.80
Techo	172.40	3.85	0.01549	0.00331	52069.91			
Piso 03	366.69	3.85	0.01218	0.00392	93615.55	1.80	REG.	
Piso 02	499.06	3.85	0.00826	0.00410	121603.14	1.30	REG.	
Piso 01	568.05	4.38	0.00416	0.00333	170739.60	1.40	REG.	1.92 REG.
Semisótano	568.05	4.50	0.00083	0.00083	685223.94	4.01	REG.	5.33 REG.

**Tabla A1-54.** Irregularidad de resistencia - piso débil/Dirección. X-X: BLOQUE – III.

IRREGULARIDAD DE RESISTENCIA - PISO DEBIL ( Ia = 0.75 ) / ANALISIS DIR. X-X							
Piso	h (m)	COLUMNAS		Atotal colum. (m <sup>2</sup> )	MUROS DE CORTE		Atotal M°C° (m <sup>2</sup> )
		tipo	Atotal		tipo	Atotal	
Techo	3.85	C-1; C-2	4.57	PL- (5;6;7;8;9;10;11;12;13)		5.40	
Piso 03	3.85	C-1; C-2	4.57	PL- (5;6;7;8;9;10;11;12;13)		5.40	1.00 REG.
Piso 02	3.85	C-1; C-2	4.57	PL- (5;6;7;8;9;10;11;12;13)		5.40	1.00 REG.
Piso 01	4.38	C-1; C-2	4.57	PL- (5;6;7;8;9;10;11;12;13)		5.40	0.88 REG.
Semisótano	4.5	C-1; C-2	4.57	PL- (5;6;7;8;9;10;11;12;13)		5.40	0.97 REG.

**Tabla A1-55.** Irregularidad de resistencia - piso débil/Dirección. Y-Y: BLOQUE – III.

IRREGULARIDAD DE RESISTENCIA - PISO DEBIL ( Ia = 0.75 ) / ANALISIS DIR. Y-Y							
Piso	h (m)	COLUMNAS		Atotal colum. (m <sup>2</sup> )	MUROS DE CORTE		Atotal M°C° (m <sup>2</sup> )
		tipo	Atotal		tipo	Atotal	
Techo	3.85	C-1; C-2	4.57	PL- (5;6;7;8;9;10;11;12;13)		6.84	
Piso 03	3.85	C-1; C-2	4.57	PL- (5;6;7;8;9;10;11;12;13)		6.84	1.00 REG.
Piso 02	3.85	C-1; C-2	4.57	PL- (5;6;7;8;9;10;11;12;13)		6.84	1.00 REG.
Piso 01	4.38	C-1; C-2	4.57	PL- (5;6;7;8;9;10;11;12;13)		6.84	0.88 REG.
Semisótano	4.5	C-1; C-2	4.57	PL- (5;6;7;8;9;10;11;12;13)		6.84	0.97 REG.

**Tabla A1-56.** Irregularidad de Masa/Dirección. X-X, Y-Y: BLOQUE – III.

IRREGULARIDAD DE MASA O PESO ( Ia = 0.90 )							
ANALISIS EN LA DIRECCIÓN X-X				ANALISIS EN LA DIRECCIÓN Y-Y			
Piso	Mass X(kg)	> 1.50	Piso	Mass Y(kg)	> 1.50		

Techo	358830.26			Techo	358830.26		
Piso 03	533260.32	1.49	REG.	Piso 03	533260.32	1.49	REG.
Piso 02	533260.32	1.00	REG.	Piso 02	533260.32	1.00	REG.
Piso 01	522251.31	0.98	REG.	Piso 01	522251.31	0.98	REG.
Semisótano	600165.86	1.15	REG.	Semisótano	600165.86	1.15	REG.

### CÁLCULO DE IRREGULARIDADES EN PLANTA (Ip): BLOQUE – III

Tabla A1-57. Irregularidad torsional. X-X: BLOQUE – III.

IRREGULARIDAD TORSIONAL (Ip = 0.75)										
R=5.4 FACTOR=0.85(Irregular) ΔLimite = 0.007 (CºAº)										
Piso	Altura Entr. (m)	Despl. Absol. (Eje 1) (m)	Despl. Relativo (Eje 1) (m)	Despl. Absol. (Eje 8) (m)	Despl. Relativo (Eje 8) (m)	Maximo Despl. Relativo (m)	Despl. Promed. (m)	50% Máximo Permis. (m)	Se aplica o no la verific.	>1.30
Techo	3.85	0.017058	0.003714	0.013774	0.002712	0.003714	0.003213	0.0035	APLICA	1.16
Piso 03	3.85	0.013344	0.004481	0.011062	0.003239	0.004481	0.003860	0.0035	APLICA	1.16
Piso 02	3.85	0.008863	0.004748	0.007823	0.003483	0.004748	0.004116	0.0035	APLICA	1.15
Piso 01	4.38	0.004115	0.003567	0.004340	0.003178	0.003567	0.003373	0.0035	APLICA	1.06
S.sótano	4.50	0.000548	0.000548	0.001162	0.001162	0.001162	0.000855	0.0035	N.APL.	1.36

Tabla A1-58. Irregularidad torsional. Y-Y: BLOQUE – III.

IRREGULARIDAD TORSIONAL (Ip = 0.75)										
R=4.5 FACTOR=0.85(Irregular) ΔLimite = 0.007 (CºAº)										
Piso	Altura Entr. (m)	Despl. Absol. (Eje B) (m)	Despl. Relativo (Eje B) (m)	Despl. Absol. (Eje K) (m)	Despl. Relativo (Eje K) (m)	Maximo Despl. Relativo (m)	Despl. Promed. (m)	50% Máximo Permis. (m)	Se aplica o no la verific.	>1.30
Techo	3.85	0.021738	0.004807	0.010536	0.002527	0.004807	0.003667	0.0035	APLICA	1.31
Piso 03	3.85	0.016931	0.005607	0.008009	0.002783	0.005607	0.004195	0.0035	APLICA	1.34
Piso 02	3.85	0.011324	0.005780	0.005226	0.002717	0.005780	0.004249	0.0035	APLICA	1.36
Piso 01	4.38	0.005544	0.004521	0.002509	0.002089	0.004521	0.003305	0.0035	APLICA	1.37
S.sótano	4.50	0.001023	0.001023	0.000420	0.000420	0.001023	0.000722	0.0035	N.APL.	1.42

Tabla A1-59. Irregularidad – Esquinas entrantes. X-X, Y-Y: BLOQUE – III.

IRREGULARIDAD – EQUINAS ENTRANTES (Ip = 0.90)					
ANALISIS EN LA DIRECCIÓN X-X			ANALISIS EN LA DIRECCIÓN Y-Y		
Descripción	Long.(m)	> 0.20	Descripción	Long.(m)	> 0.20
A	27.35	0.74	IRREG	A	21.89
a	20.29			a	0.34
					IRREG

Tabla A1-60. Discontinuidad de diafragma. X-X, Y-Y: BLOQUE – III.

IRREGULARIDAD – DISCONTINUIDAD DEL DIAFRAGMA (Ip = 0.85)					
(1era condición)			(2da condición)		
ANALISIS EN LA DIRECCIÓN X-X/Y-Y			ANALISIS EN LA DIRECCIÓN X-X		
Descripción	Área(m <sup>2</sup> )	> 0.50	Descripción	L(m)	e(m)
Atotal	405.42	0.37	REG.	Sección A-A	27.35
A'	150.62		Sección B-B	7.06	0.20
					< 0.25
ANALISIS EN LA DIRECCIÓN Y-Y			< 0.25		
Descripción	L(m)	e(m)	Sección A-A	21.89	0.20
			Sección B-B	14.38	0.20
					0.66
					REG.

**Tabla A1-61.** Valores del módulo de reacción del suelo (Winkler/balasto) en función de la resistencia admisible del terreno.

<b>Módulo de Reacción del Suelo</b>					
<b>Datos para SAFE</b>					
<b>Esf Adm (Kg/cm<sup>2</sup>)</b>	<b>Winkler (Kg/cm<sup>3</sup>)</b>	<b>Esf Adm (Kg/cm<sup>2</sup>)</b>	<b>Winkler (Kg/cm<sup>3</sup>)</b>	<b>Esf Adm (Kg/cm<sup>2</sup>)</b>	<b>Winkler (Kg/cm<sup>3</sup>)</b>
0.25	0.65	1.55	3.19	2.85	5.70
0.30	0.78	1.60	3.28	2.90	5.80
0.35	0.91	1.65	3.37	2.95	5.90
0.40	1.04	1.70	3.46	3.00	6.00
0.45	1.17	1.75	3.55	3.05	6.10
0.50	1.30	1.80	3.64	3.10	6.20
0.55	1.39	1.85	3.73	3.15	6.30
0.60	1.48	1.90	3.82	3.20	6.40
0.65	1.57	1.95	3.91	3.25	6.50
0.70	1.66	2.00	4.00	3.30	6.60
0.75	1.75	2.05	4.10	3.35	6.70
0.80	1.84	2.10	4.20	3.40	6.80
0.85	1.93	2.15	4.30	3.45	6.90
0.90	2.02	2.20	4.40	3.50	7.00
0.95	2.11	2.25	4.50	3.55	7.10
1.00	2.20	2.30	4.60	3.60	7.20
1.05	2.29	2.35	4.70	3.65	7.30
1.10	2.38	2.40	4.80	3.70	7.40
1.15	2.47	2.45	4.90	3.75	7.50
1.20	2.56	2.50	5.0	3.80	7.60
1.25	2.65	2.55	5.10	3.85	7.70
1.30	2.74	2.60	5.20	3.90	7.80
1.35	2.83	2.65	5.30	3.95	7.90
1.40	2.92	2.70	5.40	4.00	8.00
1.45	3.01	2.75	5.50		
1.50	3.10	2.80	5.60		

## **ANEXOS 02 Fotografías**



**Fotografía A2-1.** Se muestra el trabajo realizado de nivelación en el terreno de los bloques – I, II y III al 100%.



**Fotografía A2-2.** Se muestra la disposición de acero de refuerzo para la losa de cimentación  $H=0.60m$ , del bloque – II.



**Fotografía A2-3.** Verificación de los trabajos de disposición de acero de refuerzo tanto en la losa de cimentación de H=0.60m, como en las columnas C-1 y Placas PL-1. B – I.



**Fotografía A2-4.** Verificación de los trabajos de encofrado de las columnas Tipo C-3. Bloque – II.



**Fotografía A2-5.** Verificación de los trabajos realizados por parte de funcionarios de la Gerencia Sub Regional de Churcampa y Consejería Regional de Huancavelica.



**Fotografía A2-6.** Verificación de los trabajos realizados respecto al control de calidad del concreto por parte de funcionarios de la Gerencia Sub Regional de Churcampa y Consejería Regional de Huancavelica.



**Fotografía A2-7.** Se muestra el muro de contención del semisótano  $e=0.20m$ . Bloque – III.



**Fotografía A2-8.** Se muestra los trabajos realizados de acero en vigas principales y secundarias del Semisótano. Bloque – III.



**Fotografía A2-9.** Vista panorámica de los Bloque – I, II y III en construcción.



**Fotografía A2-10.** Verificación de los trabajos de encofrado para columnas tipo C-1, y Placas PL-5, 6, 7, 8, 9, 10 y 11. Bloque – III.



**Fotografía A2-11.** Trabajos de supervisión en la disposición de acero de refuerzo para vigas principales, secundarias y losa aligera h=0.20m del cuarto piso. Bloque – III.



**Fotografía A2-12.** Se muestra la ejecución de la especialidad de estructuras al 100%, de los bloques I, II y III.

**ANEXOS 03 Estudio mecánica de suelos (E.M.S)**



## CENTAURO INGENIEROS S.A.C.

LABORATORIO DE MECANICA DE SUELOS,  
CONCRETO Y PAVIMENTOS

- ENSAYO DE CBR Y MARSHALL DIGITAL
- ENSAYO DE CORTE DIRECTO DIGITAL
- ANALISIS DE PERMEABILIDAD
- DISEÑO DE MEZCLA
- ENSAYOS A COMPRISION DIGITAL
- ANALISIS DE GRANULOMETRIA, LL, LP, DENSIDAD DE CAMPO
- ANALISIS DE PARTICULAS PLANAS Y ALARGADAS, ENTRE OTROS

### LABORATORIO DE SUELOS CONCRETO Y PAVIMENTOS CENTAURO INGENIEROS

EXPEDIENTE N°	: 259-2016	LABORATORIO DE SUELOS
ESTUDIO	: 01	
PETICIONARIO	: GERENCIA SUB REGIONAL CHURCAMP	
ATENCIÓN	: GERENCIA SUB REGIONAL CHURCAMP	
OBRA	: " MEJORAMIENTO DE LA PROVISION DEL SERVICIO PUBLICO EN LA GERENCIA SUB REGIONAL DE CHURCAMP, PROVINCIA DE CHURCAMP,	
UBICACIÓN	: JR. 28 DE JULIO 720 CHURCAMP	
FECHA DE RECEPCION	: 20 DE OCTUBRE DEL 2016	
FECHA DE EMISIÓN	: 26 DE OCTUBRE DEL 2016	

### ANALISIS GRANULOMETRICO POR TAMIZADO ASTM D422

CALICATA	C-1
MUESTRA	3 m

PAGINA 1 DE 2

TAMIZ	ABERTURA	% QUE PASA
3"	75.000	100.00
2 1/2"	62.000	100.00
2"	50.000	100.00
1 1/2"	37.500	100.00
1"	25.000	100.00
3/4"	19.000	100.00
1/2"	12.500	100.00
3/8"	9.500	100.00
1/4"	6.300	99.26
N°4	4.750	99.02
N°10	2.000	96.07
N°20	0.850	91.65
N°40	0.425	89.19
N°60	0.250	81.57
N°140	0.106	69.78
N°200	0.075	62.16

CLASIFICACION GRANULOMETRICA		
FINO	ARENA	GRAVA
62.16%	36.86%	0.98%
		100.0%

CONTENIDO DE HUMEDAD	
TARA No	J-3
PESO DE TARA + SUELLO HUMEDO gr.	97.10
PESO DE TARA + SUELLO SECO gr.	82.88
PESO AGUA gr.	14.22
PESO DE LA TARA gr.	22.52
PESO SUELLO SECO gr.	60.36
CONTENIDO DE HUMEDAD, %	23.56

### LIMITES DE CONSISTENCIA ASTM D4318

% LIMITE LIQUIDO	38.69
% LIMITE PLASTICO	26.32
% INDICE PLASTICO	12.37

SUCS:  
NOMBRE DE GRUPO: CL.  
ARCILLA LIGERA CON ARENA

OBSERVACION : Muestra remitida por el peticionario.

EL PRESENTE DOCUMENTO NO DEBERÁ REPRODUCIRSE SIN AUTORIZACIÓN ESCRITA DEL LABORATORIO, SALVO QUE LA REPRODUCCIÓN SEA EN SU TOTALIDAD (GUÍA PERUANA INDECOP: GP1004: 1993)

REVISADO POR : ING. JANET YESSICA ANDÍA ARIAS

Ing. Janet Yessica Andía Arias  
INGENIERA CIVIL  
CP: 50710

ENSAYOS ESPECIALES PARA MINISTERIOS, CINFES, GOBIERNOS REGIONALES, MUNICIPIOS,  
SEGUN PARAMETROS Y NORMATIVAS EXIGIDOS  
AV.MARISCAL CASTILLA N° 3950 TELF. 064-252737 CEL. 964-483580 RPM. 586615



## CENTAURO INGENIEROS S.A.C.

LABORATORIO DE MECANICA DE SUELOS,  
CONCRETO Y PAVIMENTOS

- ENVÍO DE OBR Y MARSHALL DIGITAL.
- ENVÍO DE CORTE DIRECTO DIGITAL.
- ANÁLISIS DE PERMEABILIDAD
- DISEÑO DE MEZCLA
- ENVÍOS A COMPRESIÓN DIGITAL.
- ANÁLISIS DE GRANULOMETRÍA, LL, LP, DENSIDAD DE CAMPO
- ANÁLISIS DE PARTÍCULAS PLANAS Y ALARGADAS, ENTRE OTROS

### LABORATORIO DE SUELOS CONCRETO Y PAVIMENTOS CENTAURO INGENIEROS

#### LABORATORIO DE SUELOS

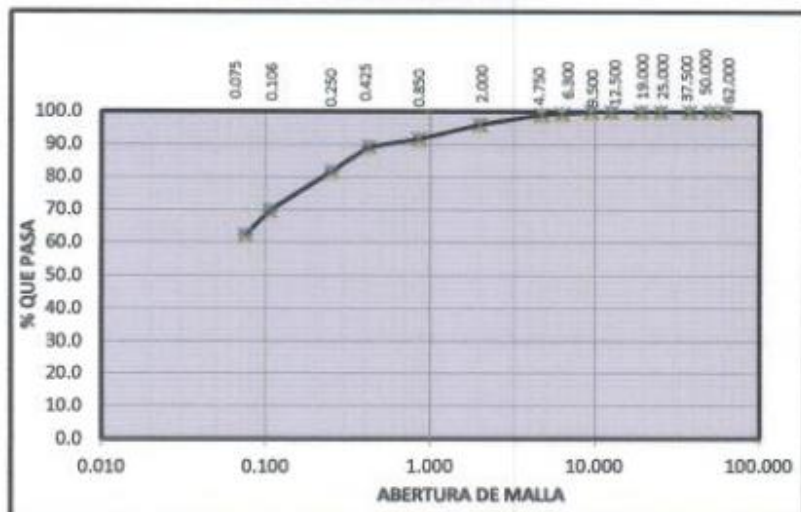
EXPEDIENTE N° : 259-2016  
ESTUDIO : 01  
PETICIONARIO : GERENCIA SUB REGIONAL CHURCAMPAG  
ATENCIÓN : GERENCIA SUB REGIONAL CHURCAMPAG  
OBRA : " MEJORAMIENTO DE LA PROVISION DEL SERVICIO PÚBLICO EN LA GERENCIA SUB REGIONAL DE CHURCAMPAG, PROVINCIA DE CHURCAMPAG, DEPARTAMENTO DE HUANCAYA"  
UBICACIÓN : JR. 28 DE JULIO 720 CHURCAMPAG  
FECHA DE RECEPCIÓN : 20 DE OCTUBRE DEL 2016  
FECHA DE EMISIÓN : 26 DE OCTUBRE DEL 2016

#### ANALISIS GRANULOMETRICO POR TAMIZADO - ASTM D422

CALICATA	C-1
MUESTRA	3 m

PAGINA 2 DE 2

#### CURVA GRANULOMETRICA



RINO 62.16% ARENA 36.86% GRAVA 0.98%

OBSERVACION : Muestra remitida por el peticionario.

EL PRESENTE DOCUMENTO NO DEBERÁ REPRODUCIRSE SIN AUTORIZACIÓN ESCRITA DEL LABORATORIO, SALVO QUE LA  
REPRODUCCIÓN SEA EN SU TOTALIDAD (GUÍA PERUANA INDECOPI: GP-004: 1993)

REVISADO POR : ING. JANET YESSICA ANDIA ARIAS

Ing. Janet Yessica Andia Arias  
INGENIERA CIVIL  
CIP 60775



**CENTAURO INGENIEROS  
S.A.C.**

LABORATORIO DE MECANICA DE SUELOS,  
CONCRETO Y PAVIMENTOS

- ENsayo de OBR Y MARSHALL DIGITAL
- ENsayo de CORTE DIRECTO DIGITAL
- ANALISIS DE PERMEABILIDAD
- DISEÑO DE MEZCLA
- ENsayos a COMPRESION DIGITAL
- ANALISIS DE GRANULOMETRIA, LL, LP, DENSIDAD DE CAMPO
- ANALISIS DE PARTICULAS PLANAS Y ALARGADAS, ENTRE OTROS

**ENsayo de CORTE DIRECTO  
ASTM D3080**

**DATOS**

INFORME N°	259-2016
ESTUDIO	1
PETICIONARIO	GERENCIA SUB REGIONAL CHURCAMP
ATENCION	GERENCIA SUB REGIONAL CHURCAMP
PROYECTO	"MEJORAMIENTO DE LA PROVISION DEL SERVICIO PUBLICO EN LA GERENCIA SUB REGIONAL DE CHURCAMP, PROVINCIA DE CHURCAMP, DEPARTAMENTO DE HUANCAYA"
UBICACIÓN	JR. 28 DE JULIO 720 CHURCAMP
FECHA DE RECEPCIÓN	20 DE OCTUBRE DEL 2016
FECHA DE EMISIÓN	26 DE OCTUBRE DEL 2016
ESTADO	INALTERADO
CALICATA	C - 1
MUESTRA	M-1
PROFUNDIDAD DE LA CIMENTACION - DESPLANTE	1.50 m.
PROFUNDIDAD DE LA CALICATA	3.00 m.
NIVEL DE NAPA FREATICA	0.00 m.

T-120  
  
Ing. Janet Tessica Andía Arce  
INGENIERA CIVIL  
CIP 19775



**CENTAURO INGENIEROS  
S.A.C.**

LABORATORIO DE MECANICA DE SUELOS,  
CONCRETO Y PAVIMENTOS

- ENSAYO DE CBR Y MARSHALL DIGITAL.
- ENSAYO DE CORTE DIRECTO DIGITAL.
- ANALISIS DE HERIBILIDAD
- DUREZA DE MEZCLA
- ENSAYOS A COMPRESION DIGITAL
- ANALISIS DE GRANULOMETRIA, LL, LP, DENSIDAD DE CAMPO
- ANALISIS DE PARTICULAS PLANAS Y ALARGADAS, ENTRE OTROS.

**ENSAZO DE CORTE DIRECTO  
ASTM D3080**

INFORME N°	250-2016	ESTADO	VALIDADO
PROYECTO	OFICINA SUB REGIONAL CHURCAMPAYA RELOMAMIENTO DE LA PROVISION DEL SERVICIO PUBLICO EN LA GERENCIA SUB-REGIONAL DE CHURCAMPAYA PROVINCIAL DE CHURCAMPAYA/DEPARTAMENTO DE HUANCABAMBA	CALCUTA	C-1
UBICACION	JL. 20 DE JULIO TSB CHURCAMPAYA	MUEBRA	M-1
FECHA DE RECEPCION	20 DE OCTUBRE DEL 2016	PROF. DE LA ORIENTACION	150 m.
FECHA DE ENVIO	20 DE OCTUBRE DEL 2016	PROF. DE LA CALCUTA	150 m.

ESPECIMEN 01			ESPECIMEN 02			ESPECIMEN 03		
Altura:	20.00 mm		Altura:	20.00 mm		Altura:	20.00 mm	
Lado:	60.00 mm		Lado:	60.00 mm		Lado:	60.00 mm	
Carga:	80.00 kg		Carga:	80.00 kg		Carga:	80.00 kg	
D. seca:	1.63 kg/cm³		D. seca:	1.63 kg/cm³		D. seca:	1.63 kg/cm³	
Humedad:	10.42 %		Humedad:	10.42 %		Humedad:	10.42 %	
Est. Normal:	2.22 kg/cm²		Est. Normal:	1.11 kg/cm²		Est. Normal:	0.56 kg/cm²	
Est. Corte:	0.83 kg/cm²		Est. Corte:	0.51 kg/cm²		Est. Corte:	0.36 kg/cm²	
Velocidad:	0.50 mm/s		Velocidad:	0.50 mm/s		Velocidad:	0.50 mm/s	
Desp. Lateral (mm)	Esfuerzo de Corte (Kg/cm²)	Esfuerzo Normalizado (niv)	Desp. Lateral (mm)	Esfuerzo de Corte (Kg/cm²)	Esfuerzo Normalizado (niv)	Desp. Lateral (mm)	Esfuerzo de Corte (Kg/cm²)	Esfuerzo Normalizado (niv)
0.00	0.00000	0.00000	0.00	0.00000	0.00000	0.00	0.00000	0.00000
0.50	0.37889	0.17050	0.50	0.34250	0.21825	0.50	0.12889	0.22300
1.00	0.62033	0.23560	1.00	0.31555	0.28400	1.00	0.22722	0.49000
1.50	0.60328	0.27226	1.50	0.34500	0.31050	1.50	0.28556	0.51400
2.00	0.65194	0.23338	2.00	0.37657	0.32600	2.00	0.32389	0.58000
2.50	0.69611	0.31325	2.50	0.40555	0.36500	2.50	0.33528	0.63850
3.00	0.72811	0.32675	3.00	0.42250	0.38025	3.00	0.33194	0.59750
3.50	0.74503	0.33983	3.50	0.44250	0.39550	3.50	0.32222	0.59100
4.00	0.76167	0.34275	4.00	0.45985	0.40575	4.00	0.33026	0.59450
4.50	0.77129	0.34713	4.50	0.46111	0.41500	4.50	0.33028	0.59450
5.00	0.77880	0.36013	5.00	0.46811	0.41950	5.00	0.33194	0.59750
5.50	0.78667	0.35400	5.50	0.47000	0.42000	5.50	0.33472	0.63250
6.00	0.80028	0.36013	6.00	0.47289	0.42850	6.00	0.33894	0.63650
6.50	0.81085	0.36468	6.50	0.48228	0.43225	6.50	0.33894	0.63650
7.00	0.81444	0.36660	7.00	0.48805	0.43325	7.00	0.33894	0.63650
7.50	0.81944	0.36875	7.50	0.49333	0.44000	7.50	0.33894	0.63650
8.00	0.82167	0.36975	8.00	0.49559	0.44600	8.00	0.33750	0.63750
8.50	0.82167	0.36975	8.50	0.50000	0.45000	8.50	0.33917	0.61050
9.00	0.82167	0.36975	9.00	0.50222	0.45200	9.00	0.34228	0.61250
9.50	0.82300	0.37075	9.50	0.50472	0.45425	9.50	0.34080	0.61350
10.00	0.82017	0.37313	10.00	0.50980	0.46525	10.00	0.34880	0.61350
10.50	0.82008	0.37263	10.50	0.50583	0.45525	10.50	0.34138	0.61450
11.00	0.82444	0.37100	11.00	0.50839	0.45775	11.00	0.34139	0.61450
11.50	0.82222	0.37000	11.50	0.50884	0.46025	11.50	0.34000	0.61750
12.00	0.81556	0.36700	12.00	0.50150	0.46675	12.00	0.34444	0.62000
12.50	0.81556	0.36700	12.50	0.50750	0.46775	12.50	0.34633	0.62100
13.00	0.81722	0.36775	13.00	0.50961	0.46775	13.00	0.34889	0.62300
13.50	0.81722	0.36775	13.50	0.50917	0.46925	13.50	0.36000	0.63000
14.00	0.81778	0.36900	14.00	0.50917	0.46925	14.00	0.36000	0.63000
14.50	0.81222	0.36560	14.50	0.50922	0.46925	14.50	0.35333	0.62666
15.00	0.82472	0.36213	15.00	0.51028	0.46925	15.00	0.35556	0.64000

Muestras removidas e identificadas por el Peticionario.

REVISADO POR: Ing. JINETTE YESSICA NIETO ARAYA

Ing. Janet Jessy Nieto Araya  
INGENIERA CIVIL  
CIP 62776

ENSAZOS ESPECIALES PARA: MINISTERIOS, OINPES, GOBIERNOS REGIONALES, MUNICIPIOS,  
SEGUN PARAMETROS Y NORMATIVAS EXIGIDAS  
AV. MARISCAL CASTILLA N° 3950 TELF. 064-252737 CEL. 964-483586 RPM. 596515

**CENTAURO INGENIEROS**  
**S.A.C.**



LABORATORIO DE MECÁNICA DE SUELOS,  
CONCRETO Y PAVIMENTOS

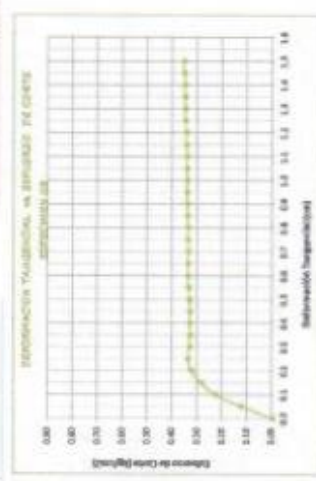
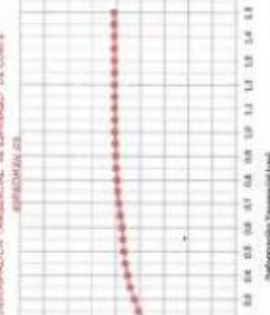
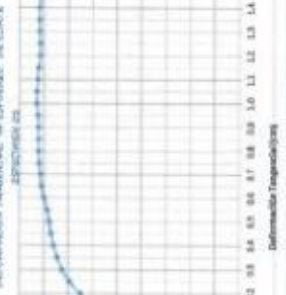
- ENSAYO DE CIRI Y MARSHALL DIGITAL
- ENSAYO DE CORTE DIRECTO DIGITAL
- ANÁLISIS DE PESO ABULICO
- DISEÑO DE MEZCLA
- ENSAYO A COMPRESIÓN UNIAL
- ENSAYO DE GRANULOMETRIA U.I.P. DENSIDAD DE CAMPO
- ANÁLISIS DE PARTÍCULAS PLANA Y HUARGADAS, ENTRE OTROS

**ENSAYO DE CORTE DIRECTO**

**ASTM D3030**

ESTADO SALUD	ESTADO TERMO
C-1	C-1
PROYECTO	INVESTIGACIÓN
CONSTRUCCIÓN INDUSTRIAL DE CHIMARRA PROYECTO DE HABITACIÓN	ESTUDIO DE LA CINEFRACCIÓN
FECHA DE RECIBICIÓN	PROF. DE LA CALICATA
FECHA DE EJECUCIÓN	30/09/2016

INFORMACIÓN TÉCNICA: n° 00000000000000000000000000000000  
EQUIPO: 00000000000000000000000000000000



*Ing. Juan Nesta Alba Aragón*  
INGENIERO CIVIL  
CIP: 037725

ENSAYOS ESPECIALES PARA MINISTERIOS, DIFERENTES GOBIERNOS REGIONALES, MUNICIPIOS,  
SEGUN PARÁMETROS Y NORMATIVAS EXIGIDAS  
AV MARISCAL CASTILLA N° 2650 TELF. 094-252727 CEL. 094-403598 RPM. 598515

**CENTAURO INGENIEROS**  
**S.A.C.**



LABORATORIO DE MECÁNICA DE SUELOS,  
CONCRETO Y PAVIMENTOS

- ENVÍO DE CIBY Y MANIBILL DIGITAL
- ENVÍO DE CORTE DIRECTO DIGITAL
- ANÁLISIS DE FERNAHILLAD
- DIRECCIÓN DE MÉJICO
- ENVÍO A COMPRENSIÓN DIGITAL
- ANÁLISIS DE GRANULOMETRÍA, LL, LP, DENSIDAD DE CAMPO
- ANÁLISIS DE PARTICULAS PLURIAS Y ALGODONAS, ENTRE OTROS

**ENSAYO DE CORTE DIRECTO**  
**ASTM D5080**

INFORME N°  
Peticionario

209-2016  
GERENCIA SUB REGIONAL CHURCHAMPÀ

:“MEJORAMIENTO DE LA PROVISIÓN DEL SERVICIO PÚBLICO EN LA GERENCIA SUB REGIONAL DE CHURCHAMPÀ, PROVINCIA DE CHURCHAMPÀ, DEPARTAMENTO DE HUANCABAMBA”

PROYECTO

JR. 20 DE JULIO 720 CHURCHAMPÀ

UBICACIÓN

20 DE OCTUBRE DEL 2016

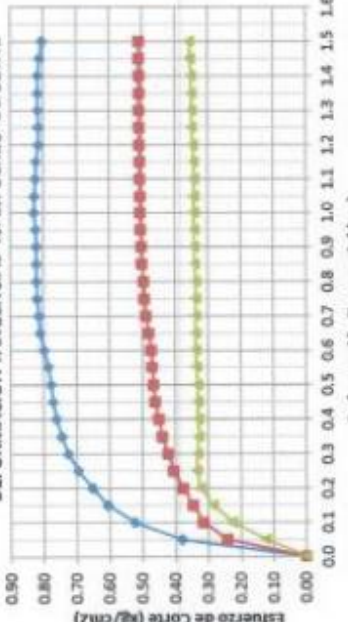
FECHA DE RECEPCIÓN

26 DE OCTUBRE DEL 2016

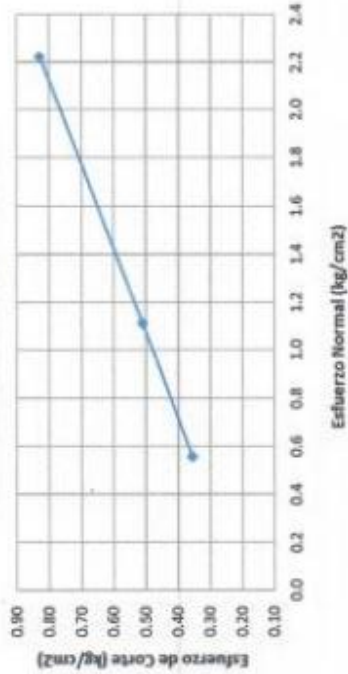
FECHA DE EMISIÓN

- INAL-TERMO : O - I
- MATERIA : M-I
- PROF. DE LA CIMENTACIÓN : 1.50 m.
- PROF. DE LA GALICATA : 3.00 m.

**DEFOMACIÓN TANGENCIAL vs. ESFUERZO DE CORTE**



**ESFUERZO NORMAL VS. ESFUERZO DE CORTE**



$$\begin{aligned} \theta &= 15.86^\circ \\ C &= 0.196 \text{ kg/cm}^2 \end{aligned}$$

Juan Yessica Ávila Atiles  
ENGENIERA CIVIL  
CIP 69775



## CENTAUR INGENIEROS S.A.C.

LABORATORIO DE MECANICA DE SUELOS,  
CONCRETO Y PAVIMENTOS

- ENSAYO DE CBR Y MARSHALL DIGITAL
- ENSAYO DE CORTE DIRECTO DIGITAL
- ANALISIS DE PERMEABILIDAD
- DIBUJO DE MEZCLA
- ENSAYO A COMPRESSION DIGITAL
- ANALISIS DE GRANULOMETRIA, LL, LP, DENSIDAD DE CAMPO
- ANALISIS DE PARTICULAS PLANAS Y ALARGADAS, ENTRE OTROS

### ENSAZO DE CORTE DIRECTO ASTM 3080

DENSIDAD HUMEDA INICIAL	
PESO INICIAL	129.4
VOLUMEN INICIAL	72.00
LADO	6
ALTURA	2
DENSIDAD INICIAL	1.797

CONTENIDO DE HUMEDAD INICIAL	
T+MH	105.6
T+MS	98.7
T	32.5
AQUA	6.9
MS	66.2
C.H %	10.42

DENSIDAD FINAL	
I	
PESO	130.9
VOLUMEN FINAL	72.00
LADO	6.00
ALTURA	2.00
DENSIDAD FINAL	1.818

DENSIDAD FINAL	
II	
PESO	131.6
VOLUMEN FINAL	72.00
LADO	6.00
ALTURA	2.00
DENSIDAD FINAL	1.826

DENSIDAD FINAL	
III	
PESO	132.7
VOLUMEN FINAL	72.00
LADO	6.00
ALTURA	2.00
DENSIDAD FINAL	1.843

CONTENIDO DE HUMEDAD FINAL	
I	
T+MH	101.3
T+MS	84.8
T	30.4
AQUA	16.7
MS	54.2
C.H %	30.8

CONTENIDO DE HUMEDAD FINAL	
II	
T+MH	103.4
T+MS	85.7
T	24.8
AQUA	17.7
MS	60.9
C.H %	29.1

CONTENIDO DE HUMEDAD FINAL	
III	
T+MH	102.7
T+MS	86.5
T	29.4
AQUA	16.2
MS	57.1
C.H %	28.4

Angulo de Friccion : 15.88 °  
Cohesion : 0.196 kg/cm²

Ing. Jossy Yessica Andrade Aria  
INGENIERA CIVIL  
C.P. 03776



**CENTAURO INGENIEROS  
S.A.C.**

LABORATORIO DE MECANICA DE SUELOS,  
CONCRETO Y PAVIMENTOS

- ENSAYO DE CBR Y MARSHALL DIGITAL.
- ENSAYO DE CORTE DIRECTO DIGITAL.
- ANALISIS DE PERMEABILIDAD
- DISEÑO DE MEZCLA
- ENSAYOS A COMPRESION DIGITAL.
- ANALISIS DE GRANULOMETRIA, LL, LP, DENSIDAD DE CAMPO
- ANALISIS DE PARTICULAS PLANAS Y ALARGADAS, ENTRE OTROS

**ENSAYO DE CORTE DIRECTO ASTM 3080**

ESTADO	: INALTERADO
CALICATA	: C - 1
MUESTRA	: M-1
PROF. DE LA CIMENTACION	: 1.50 m.
PROF. DE LA CALICATA	: 3.00 m.

Especimen N°	I	II	III
Lado de la caja (cm)	6.00	6.00	6.00
Densidad Húmeda Inicial (gr/cm <sup>3</sup> )	1.797	1.797	1.797
Densidad Seca Inicial (gr/cm <sup>3</sup> )	1.628	1.628	1.628
Contenido Humedad Inicial (%)	10.42	10.42	10.42
Densidad Húmeda Final (gr/cm <sup>3</sup> )	1.818	1.828	1.843
Densidad Seca Final (gr/cm <sup>3</sup> )	1.390	1.416	1.436
Contenido Humedad Final (%)	30.81	29.06	28.37
Esfuerzo Normal (kg/cm <sup>2</sup> )	0.56	1.11	2.22
Esfuerzo de Corte Maximo (kg/cm <sup>2</sup> )	0.356	0.510	0.829
Angulo de Friccion Interna (°)	: 15.86		
Cohesion (kg/cm <sup>2</sup> )	: 0.196		

Muestras remitidas e identificadas por el Peticionario.

REVISADO POR : ING. JANET YESSICA ANDIA ARIAS

  
Ing. Janet Yessica Andia Arias  
INGENIERA CIVIL  
CIP: 69775



**CENTAURO INGENIEROS  
S.A.C.**

LABORATORIO DE MECANICA DE SUELOS,  
CONCRETO Y PAVIMENTOS

- ENSAYO DE CBR Y MARSHALL DIGITAL.
- ENSAYO DE CORTE DIRECTO DIGITAL.
- ANALISIS DE PERMEABILIDAD
- DISEÑO DE MEZCLA
- ENSAYOS A COMPRISION DIGITAL,
- ANALISIS DE GRANULOMETRIA, LL, LP, DENSIDAD DE CAMPO
- ANALISIS DE PARTICULAS PLANAS Y ALARGADAS, ENTRE OTROS

**CALCULO DE LA CAPACIDAD PORTANTE**

Aplicando la Teoria de la Capacidad Portante de Terzaghi

MUESTRA	:	M-1
Angulo de Friccion ( $\phi$ )	:	15.86
Cohesion	:	0.196

Determinando los valores de  $N_c$ ,  $N_q$  y  $N_y$  en función de  $\phi$ :

$N_c =$	10.01
$N_q =$	2.89
$N_y =$	0.66

	PARA Df =	1.50 m. (**)
Densidad Seca (ys)	1.628	
Prof. Cimiento (Df)	1.50 m.	
Ancho Cimiento (B)	1.50	
$N_c$ Factor de Capacidad	10.01	
$N_q$ Factor de Capacidad	2.89	
$N_y$ Factor de Capacidad	0.66	
Altura de Napa Freática	0.00	

**Usando Falla local y Factores según Terzaghi**

**FORMULA PARA CIMENTACION CORRIDA**

$$Q_{ult} = \frac{2}{3}C'N_c + QN'_q + \frac{1}{2}yBN_y$$

Reemplazando valores

$Q_{ult} Df =$	1.50 m. =	20.34	tn/m <sup>2</sup>
Factor de Seguridad F <sub>s</sub> =2.5	Capacidad Portante	0.81 kg/cm <sup>2</sup>	
Factor de Seguridad F <sub>s</sub> =3.0	Capacidad Portante	0.68 kg/cm <sup>2</sup>	
Factor de Seguridad F <sub>s</sub> =3.5	Capacidad Portante	0.58 kg/cm <sup>2</sup>	
Factor de Seguridad F <sub>s</sub> =4.0	Capacidad Portante	0.51 kg/cm <sup>2</sup>	

Ing. Janet Yesica Amilia Arce  
INGENIERA CIVIL  
CIP 19775



**CENTAURO INGENIEROS  
S.A.C.**

LABORATORIO DE MECANICA DE SUELOS,  
CONCRETO Y PAVIMENTOS

- ENSAYO DE CBR Y MARSHALL DIGITAL.
- ENSAYO DE CORTE DIRECTO DIGITAL.
- ANALISIS DE PERMEABILIDAD.
- DIBUJO DE MEZCLA.
- ENSAYOS A COMPRESSION DIGITAL.
- ANALISIS DE GRANULOMETRIA, LL, LP, DENSIDAD DE CAMPO.
- ANALISIS DE PARTICULAS PLANAS Y ALARGADAS, ENTRE OTROS.

**FORMULA PARA CIMENTACION CUADRADA**

$$Q_{ult} = 0.867C'N'c + qN'q + 0.4yBN'y$$

Reemplazando valores

Quit Df = 1.50 m. =	24.23	tn/m <sup>2</sup>
Factor de Seguridad Fs=2.5	Capacidad Portante	0.97 kg/cm <sup>2</sup>
Factor de Seguridad Fs=3.0	Capacidad Portante	0.81 kg/cm <sup>2</sup>
Factor de Seguridad Fs=3.5	Capacidad Portante	0.69 kg/cm <sup>2</sup>
Factor de Seguridad Fs=4.0	Capacidad Portante	0.61 kg/cm <sup>2</sup>

**FORMULA PARA CIMENTACION CIRCULAR**

$$Q_{ult} = 0.867C'N'c + qN'q + 0.3yBN'y$$

Reemplazando valores

Quit Df = 1.50 m. =	24.19	tn/m <sup>2</sup>
Factor de Seguridad Fs=2.5	Capacidad Portante	0.97 kg/cm <sup>2</sup>
Factor de Seguridad Fs=3.0	Capacidad Portante	0.81 kg/cm <sup>2</sup>
Factor de Seguridad Fs=3.5	Capacidad Portante	0.69 kg/cm <sup>2</sup>
Factor de Seguridad Fs=4.0	Capacidad Portante	0.60 kg/cm <sup>2</sup>

\* El resultado a utilizar, sera en función a la experiencia del Profesional Responsable.

\*\* La profundidad de cimentación, se calculó siempre y cuando no existan cortes en los terrenos y a la profundidad de la excavación realizada, considerando el material encontrado en el ultimo nivel de la excavación, mas no por estratos.

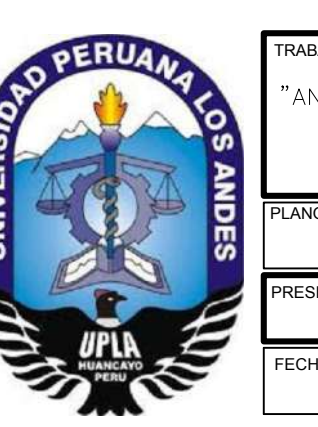
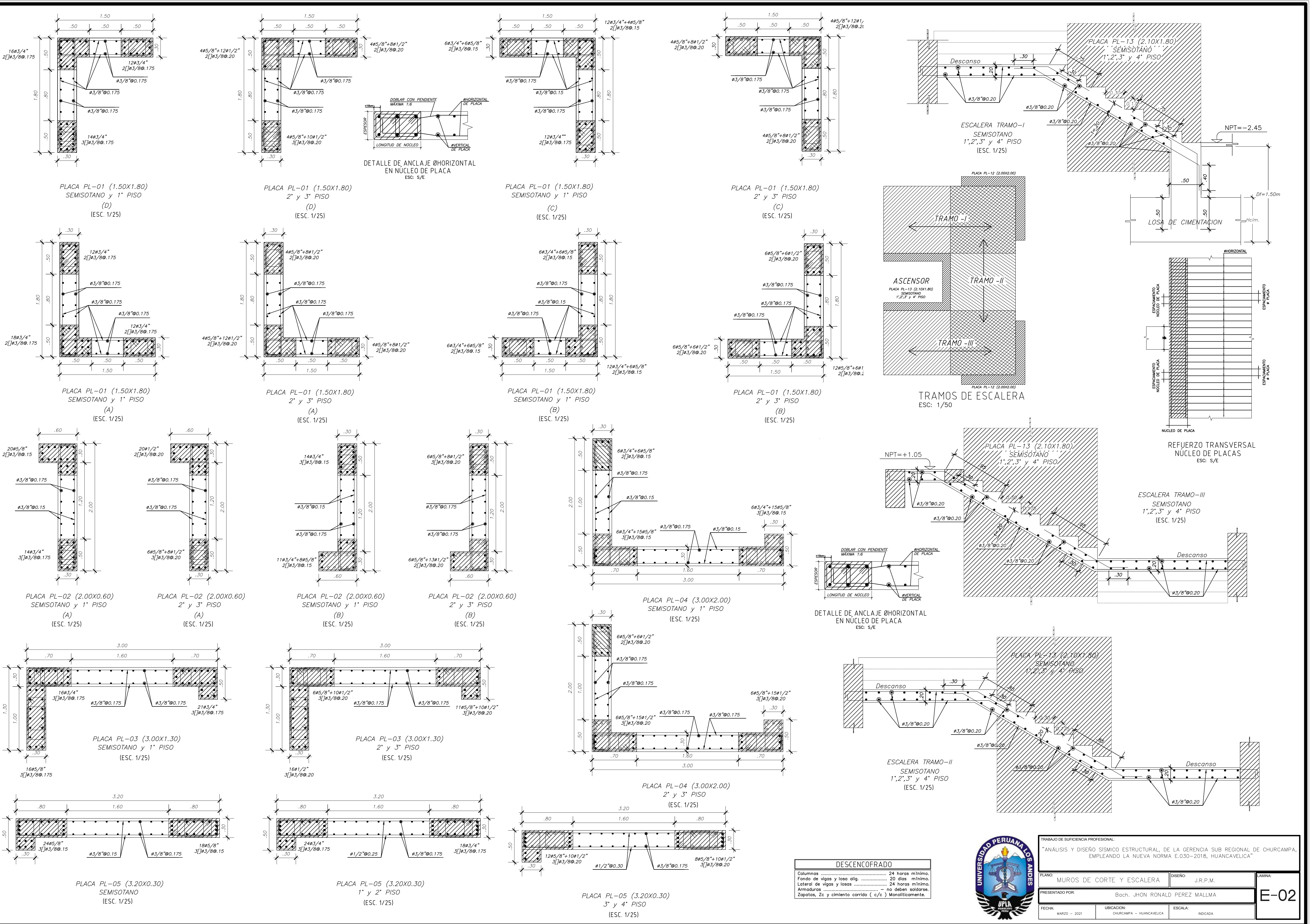
REVISADO POR

: ING. JANET YESSICA ANDIA ARRIAS

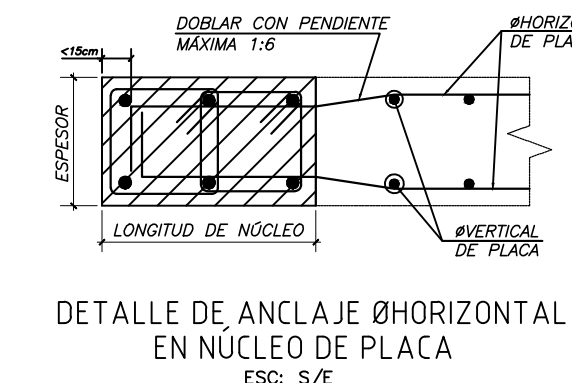
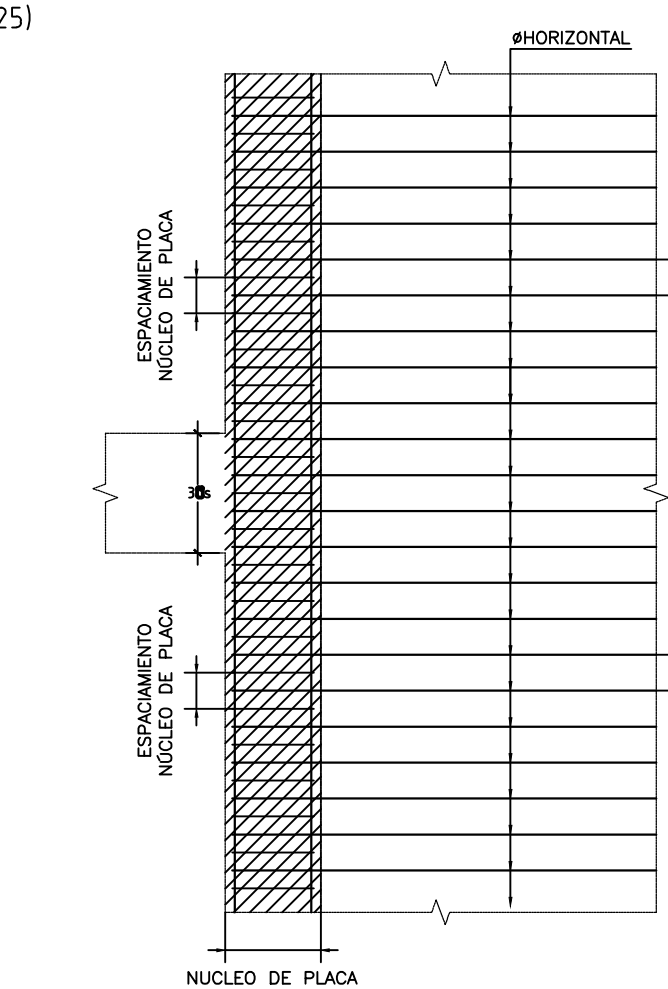
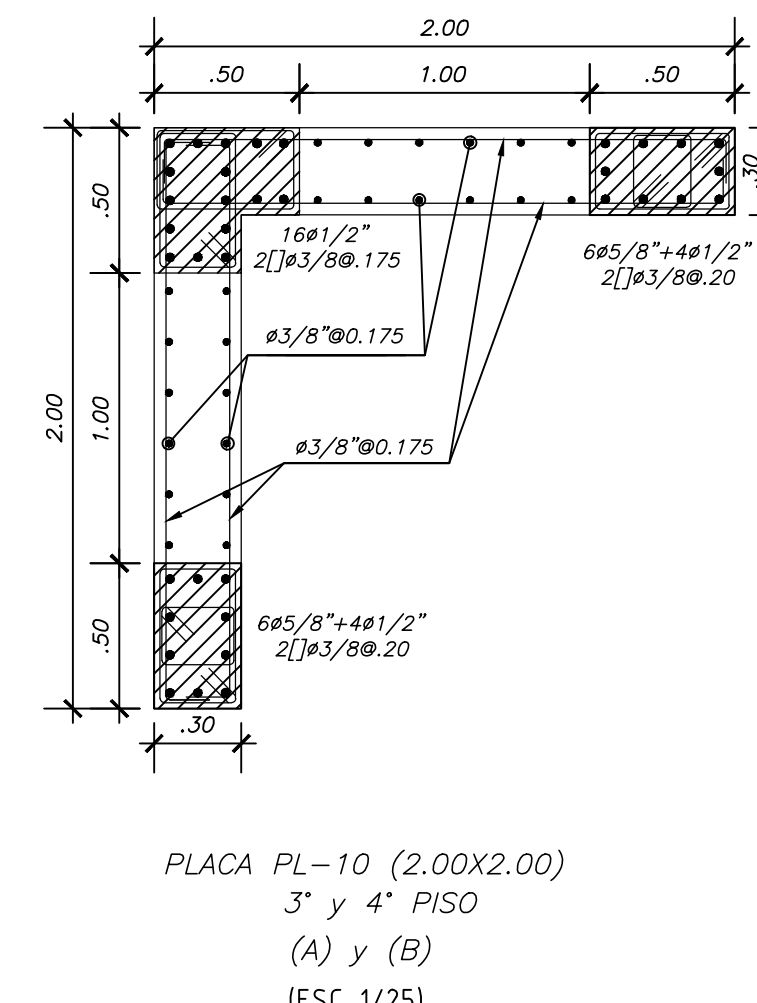
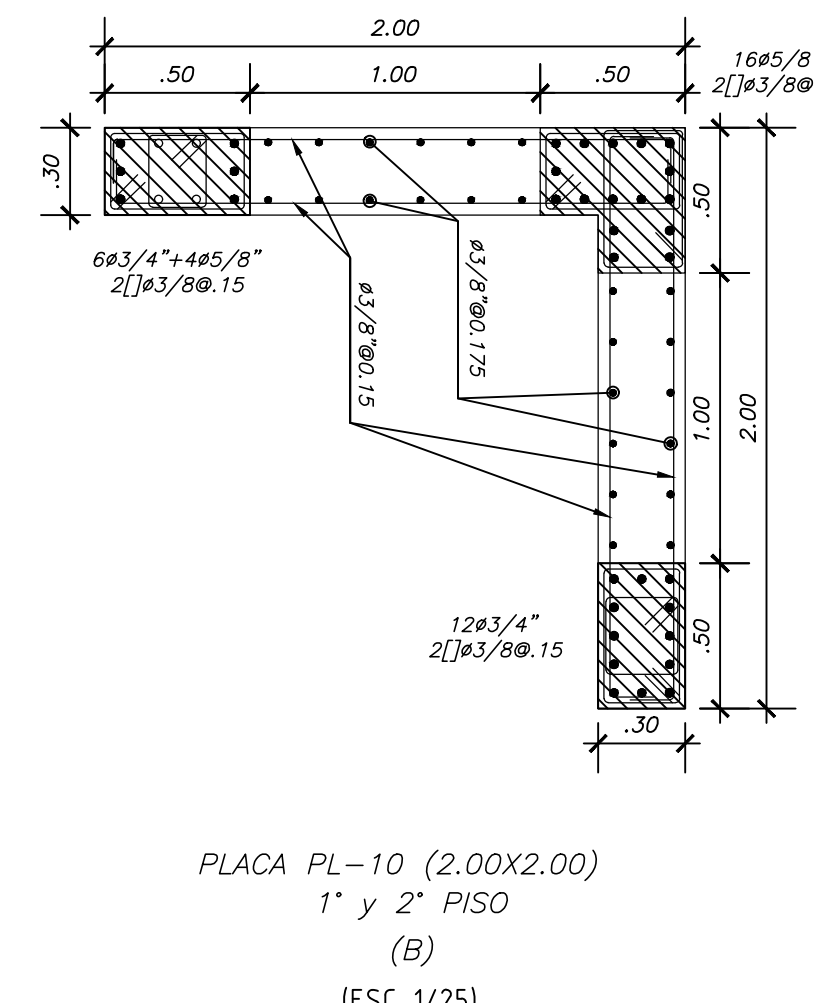
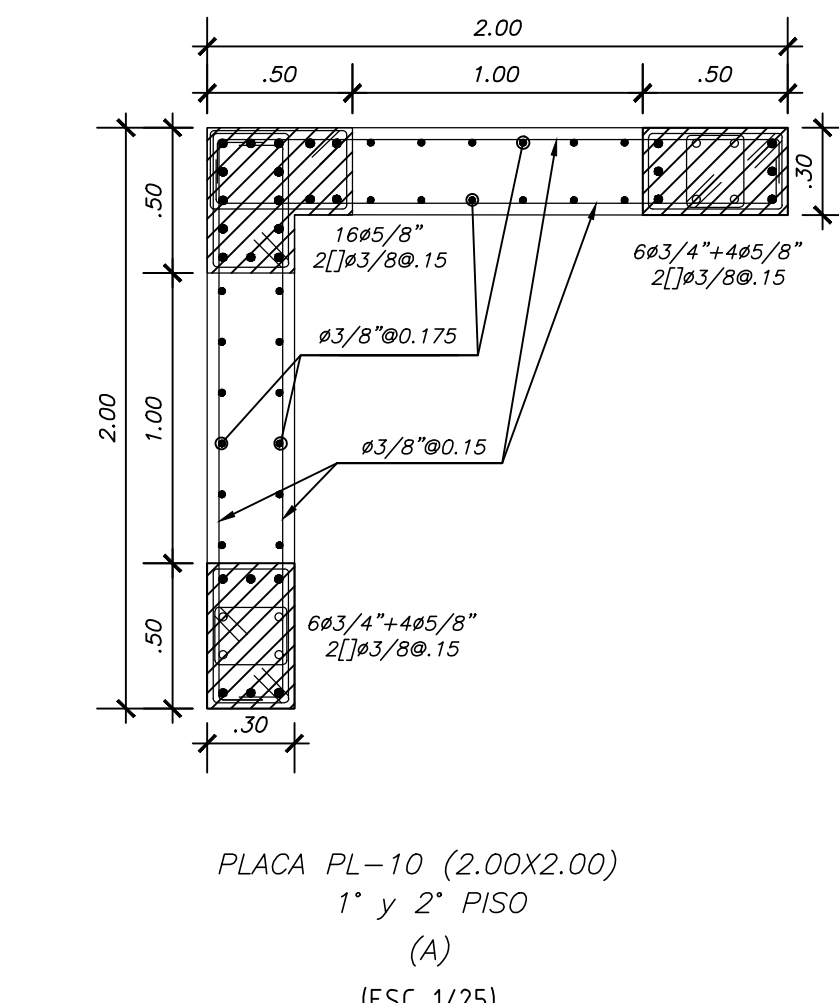
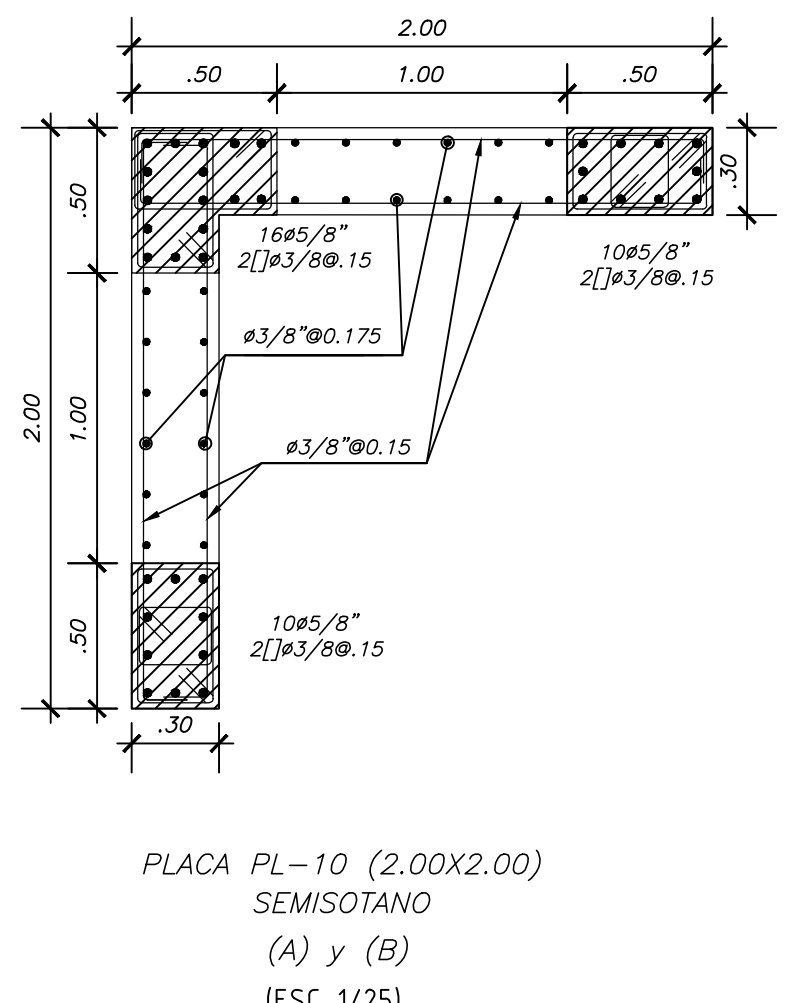
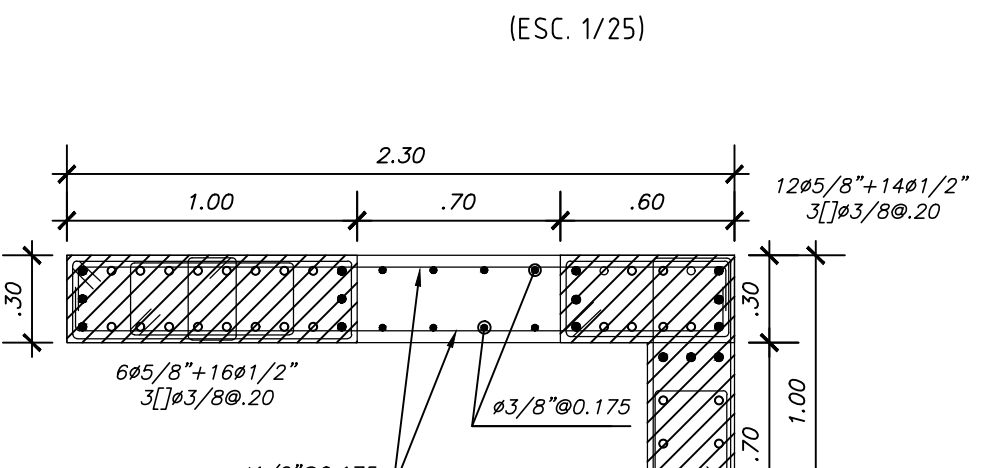
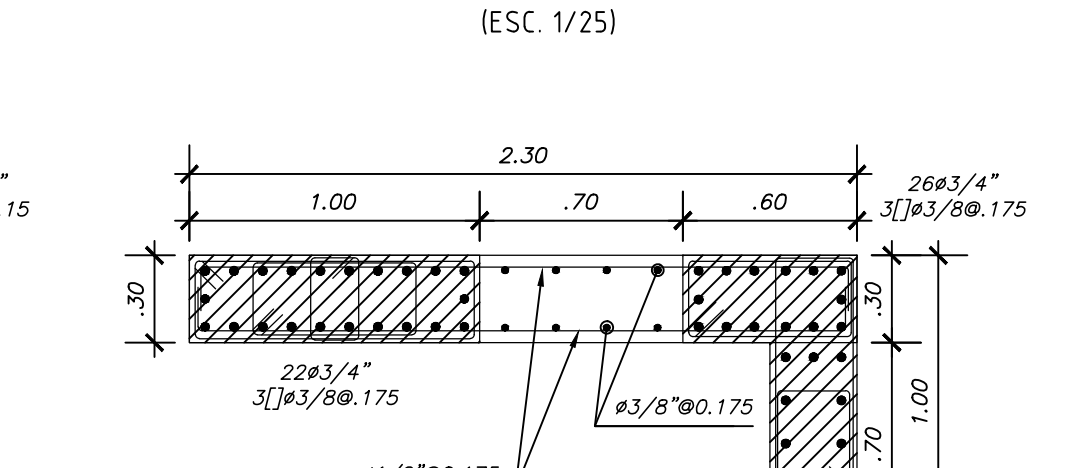
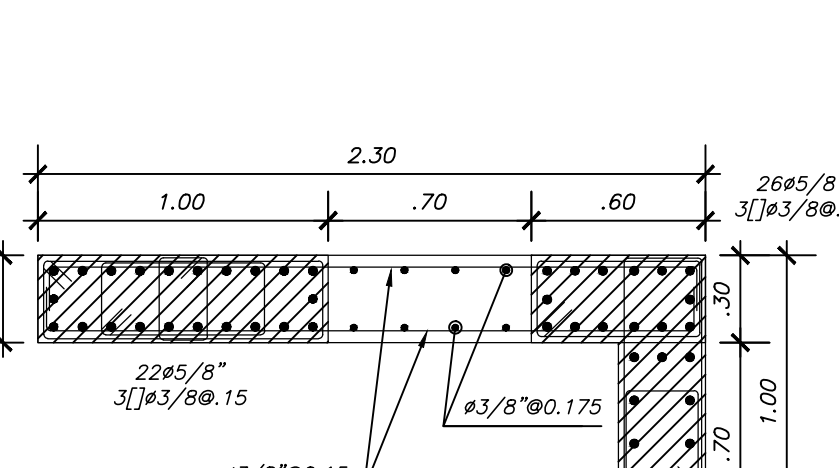
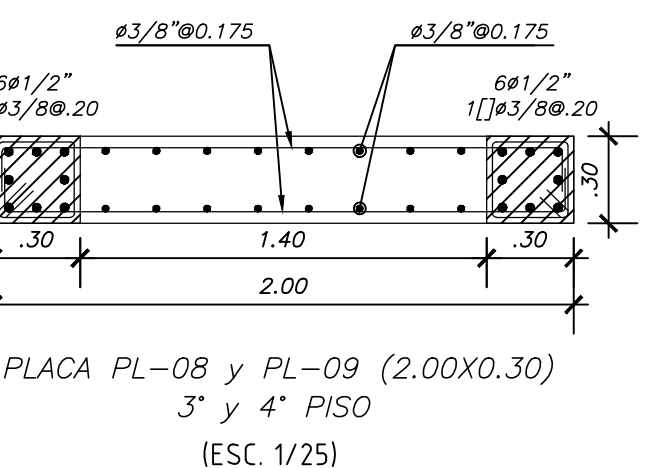
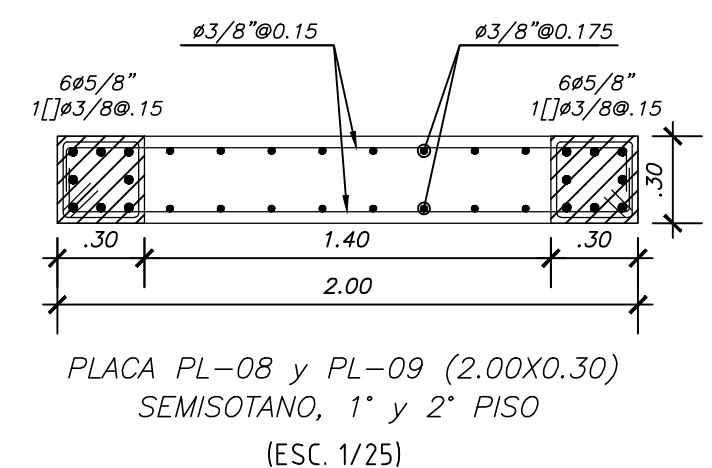
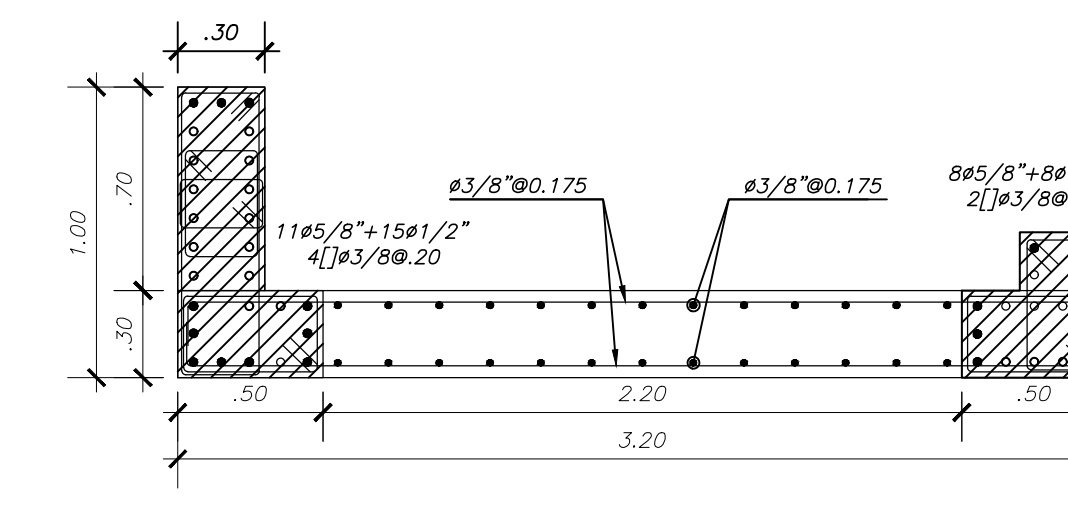
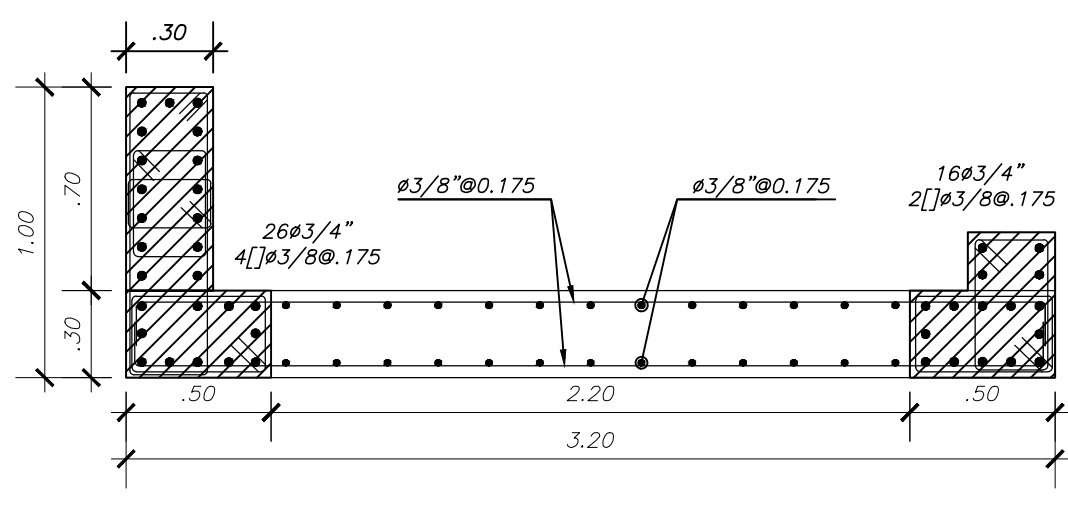
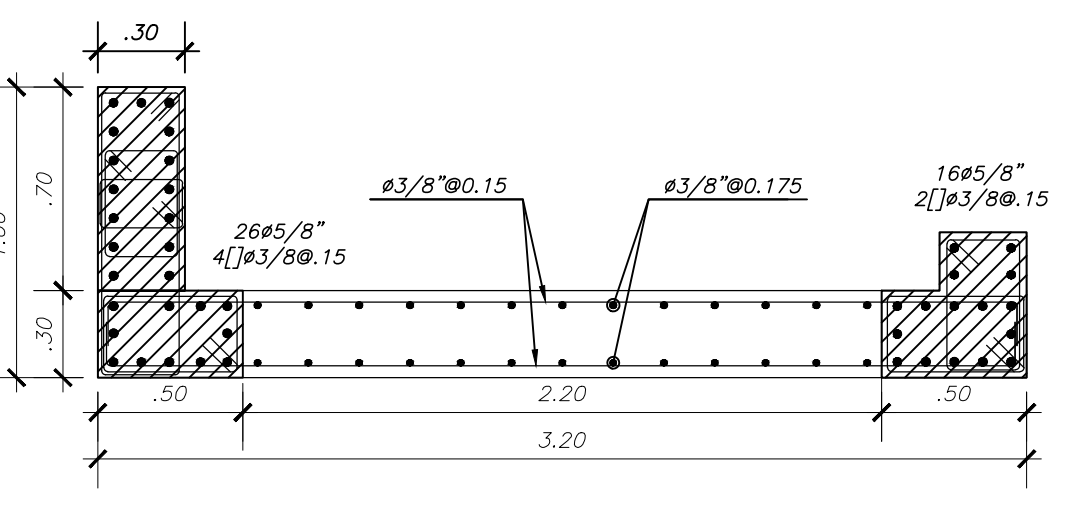
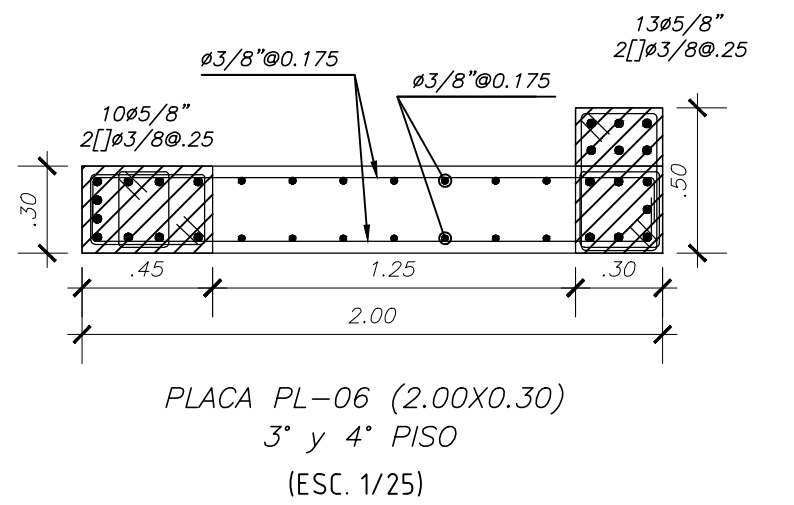
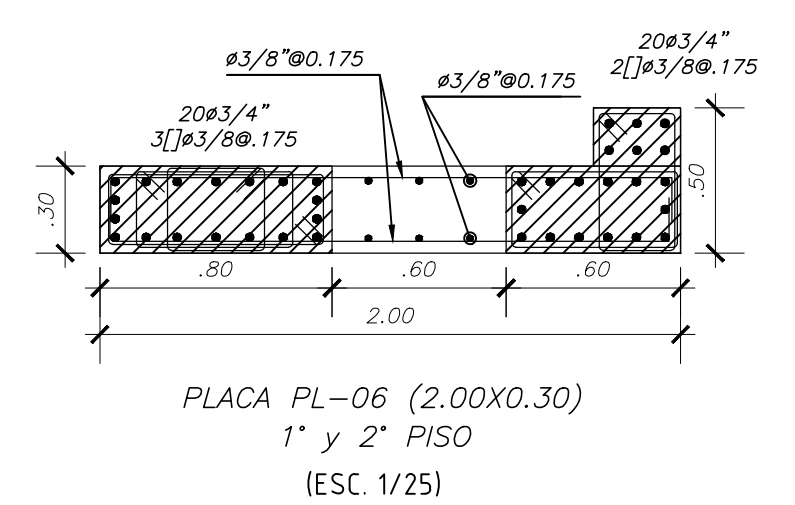
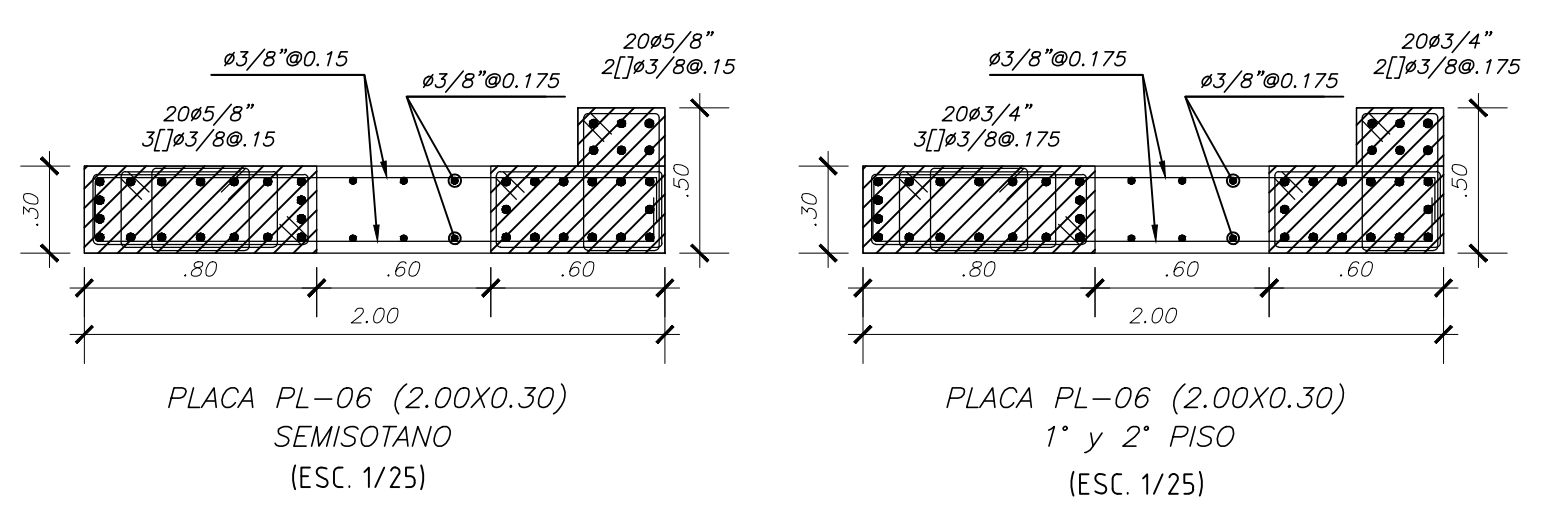
  
Ing. Janet Yessica Andia Arrias  
INGENIERA CIVIL  
CIP: 69775

## **ANEXOS 04 Planos de estructuras**

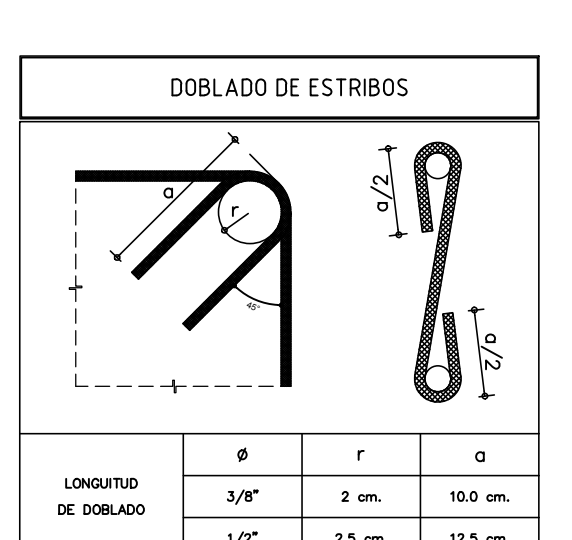
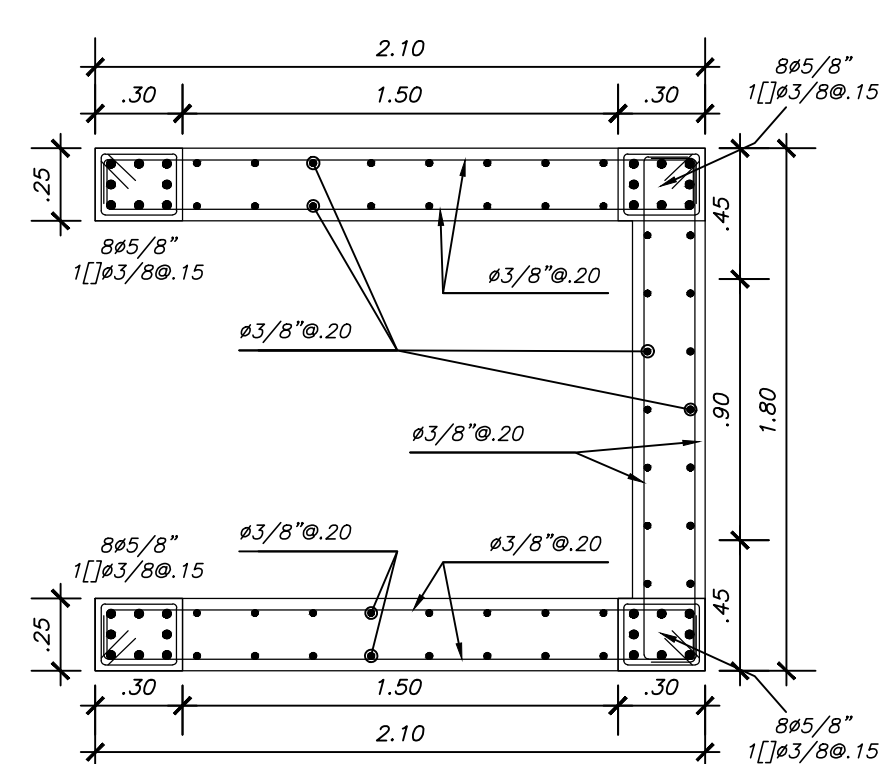
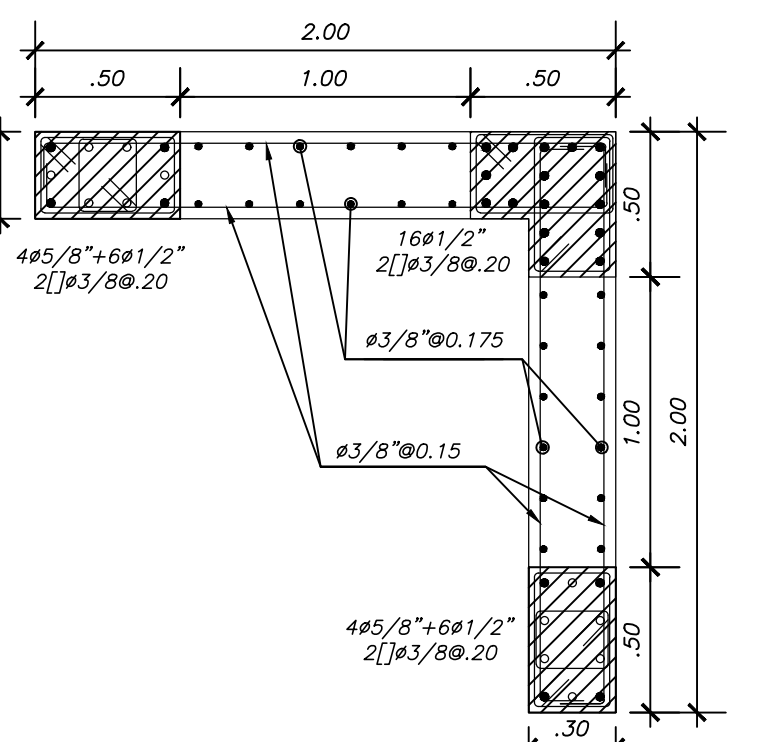
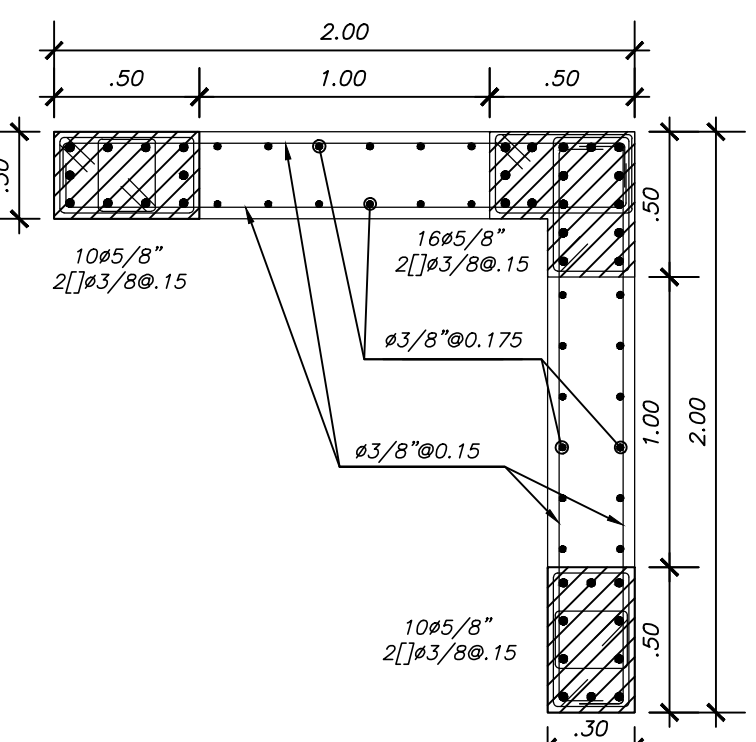
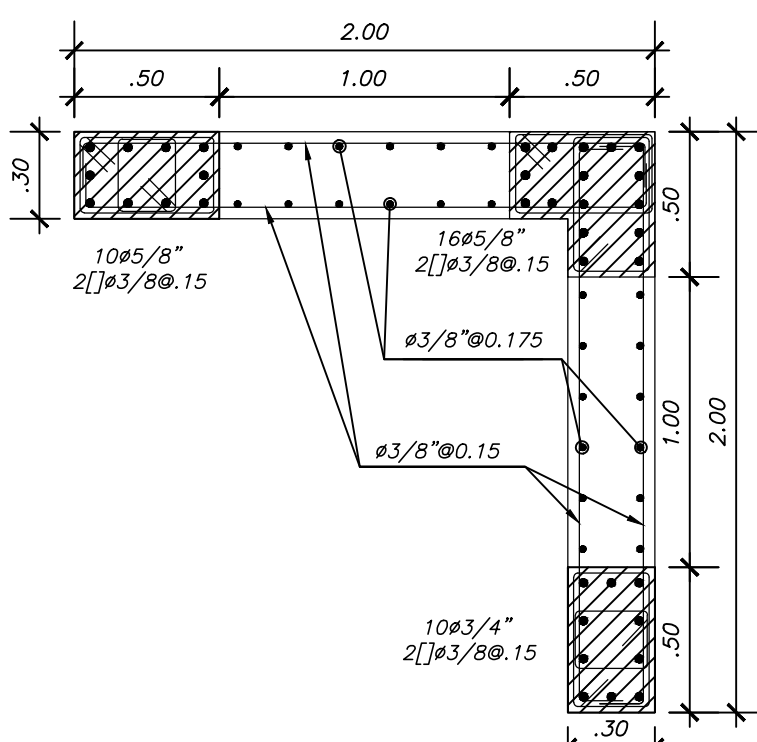
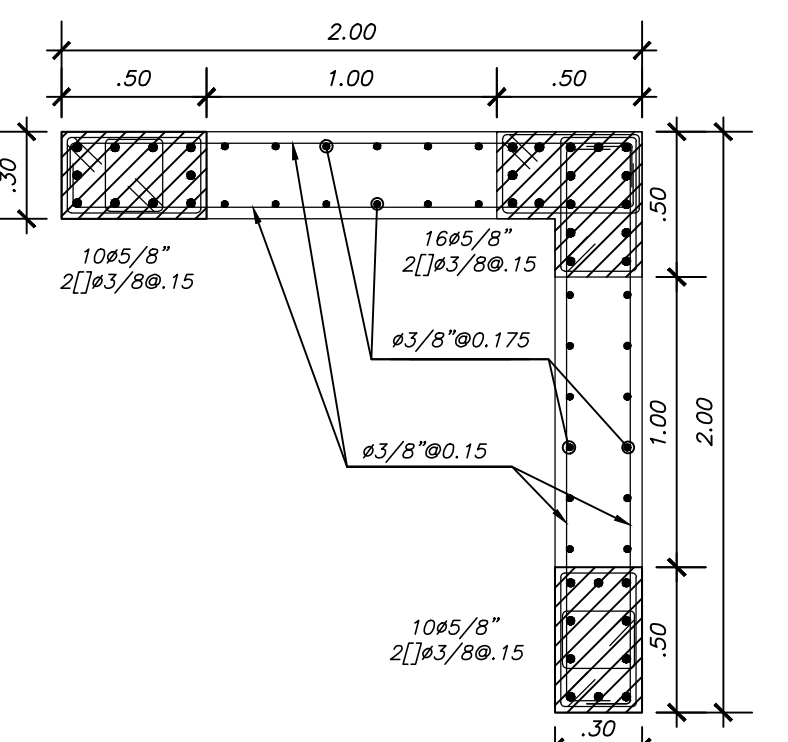




TRABAJO DE SUFICIENCIA PROFESIONAL:  
"ANALISIS Y DISEÑO SISMICO ESTRUCTURAL, DE LA GERENCIA SUB REGIONAL DE CHURCAMPAGA,  
EMPLEANDO LA NUEVA NORMA E.030-2018, HUANCAYA"  
PLANO: MUROS DE CORTE Y ESCALERA DISEÑO: J.R.P.M.  
PRESENTADO POR: Bach. JHON RONALD PEREZ MALLMA  
FECHA: MARZO - 2021 UBICACION: CHURCAMPAGA - HUANCAYA ESCALA: INDICADA  
LAMINA: E-02



$\emptyset$	Lx(m)
3/8"	.20
1/2"	.25
5/8"	.30
3/4"	.35
1"	.40



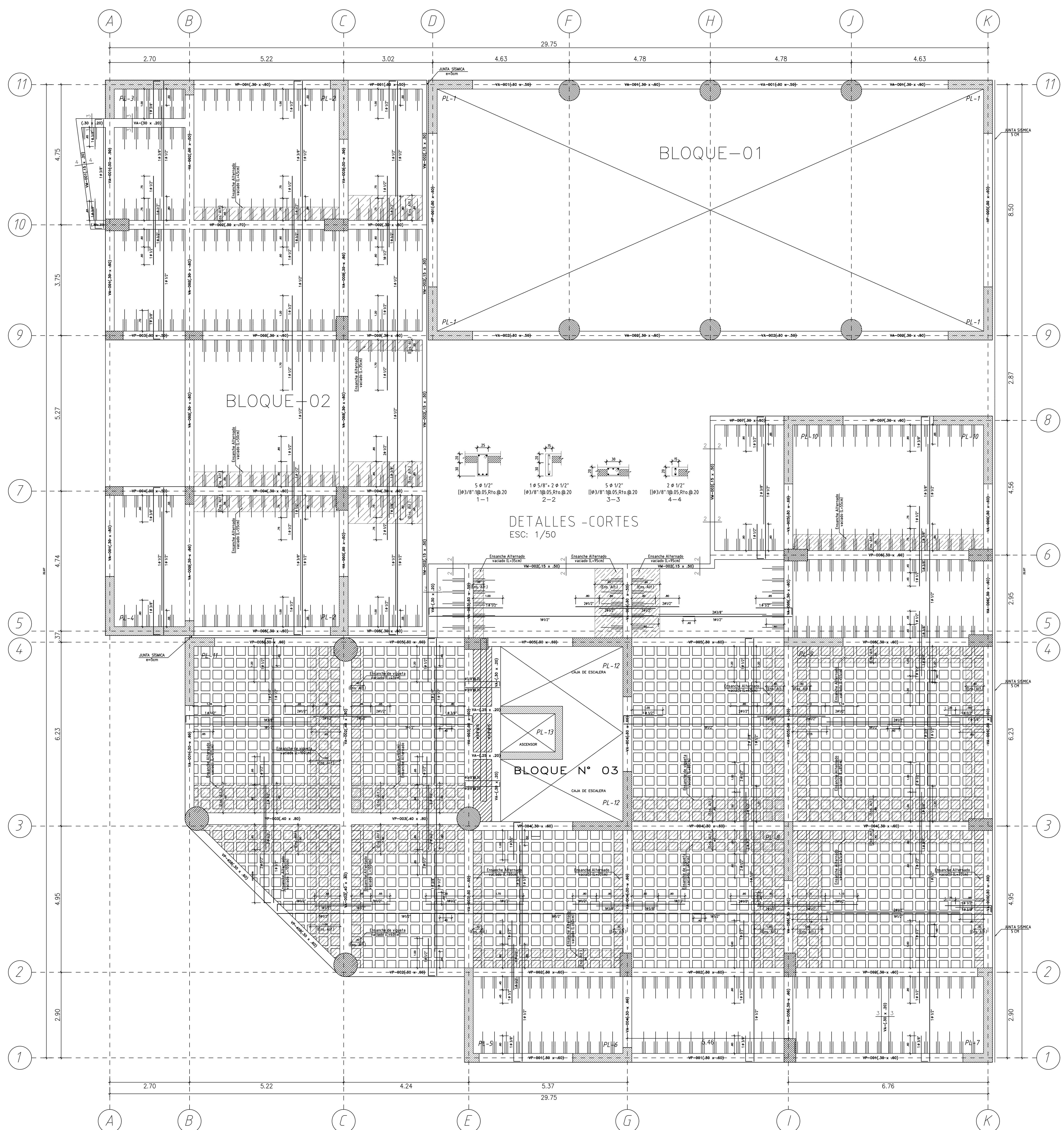
$\emptyset$	r	a
3/8"	2 cm.	10.0 cm.
1/2"	2.5 cm.	12.5 cm.

Columnas .....	24 horas minimo.
Fondo de vigas y losas etc.....	20 dias minimo.
Lateral de vigas y losas .....	24 horas minimo.
Armaduras .....	- no deben soldarse.
Zapatas, Zc y cimiento corrido (c/c)	Monoliticamente.

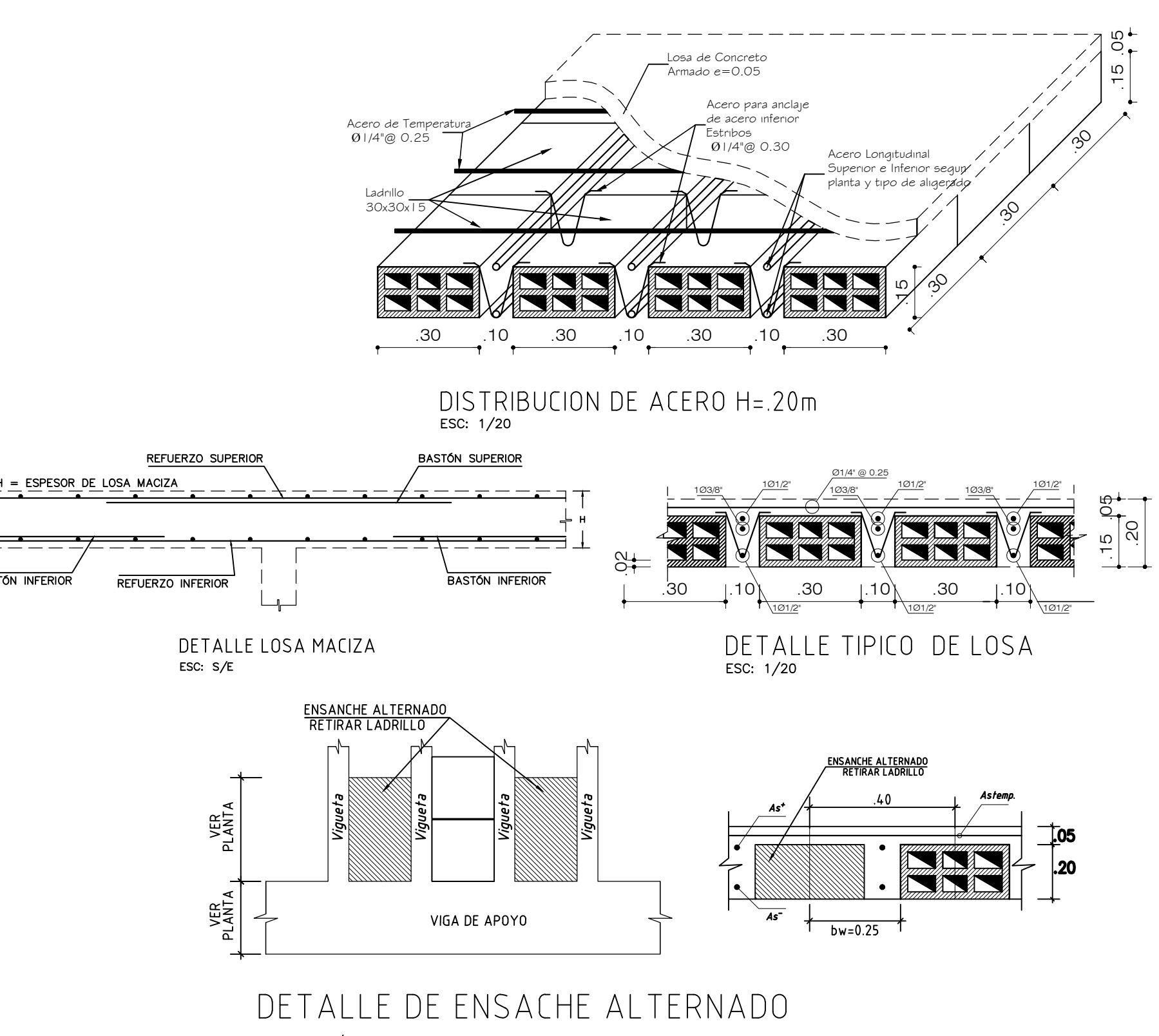
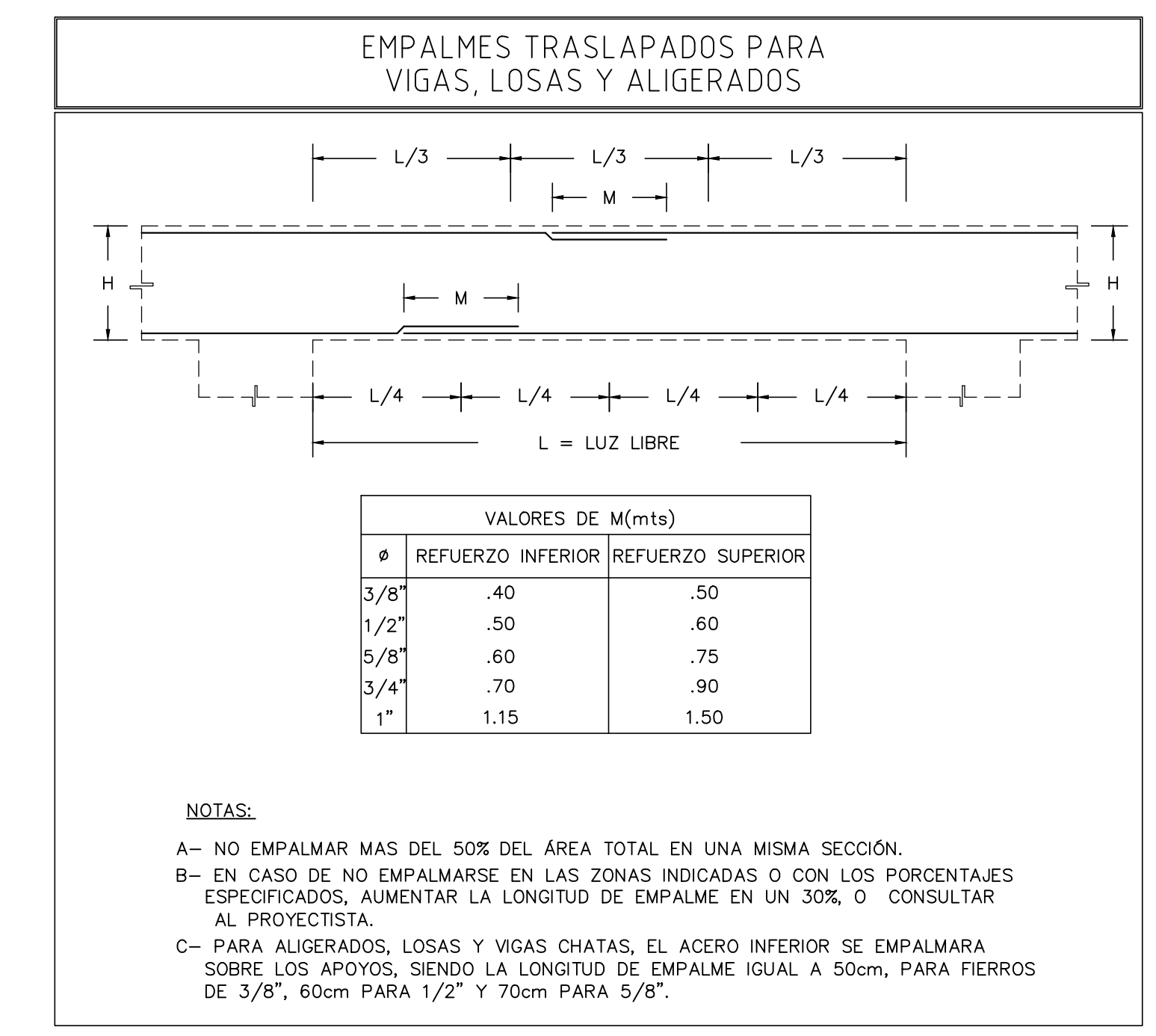
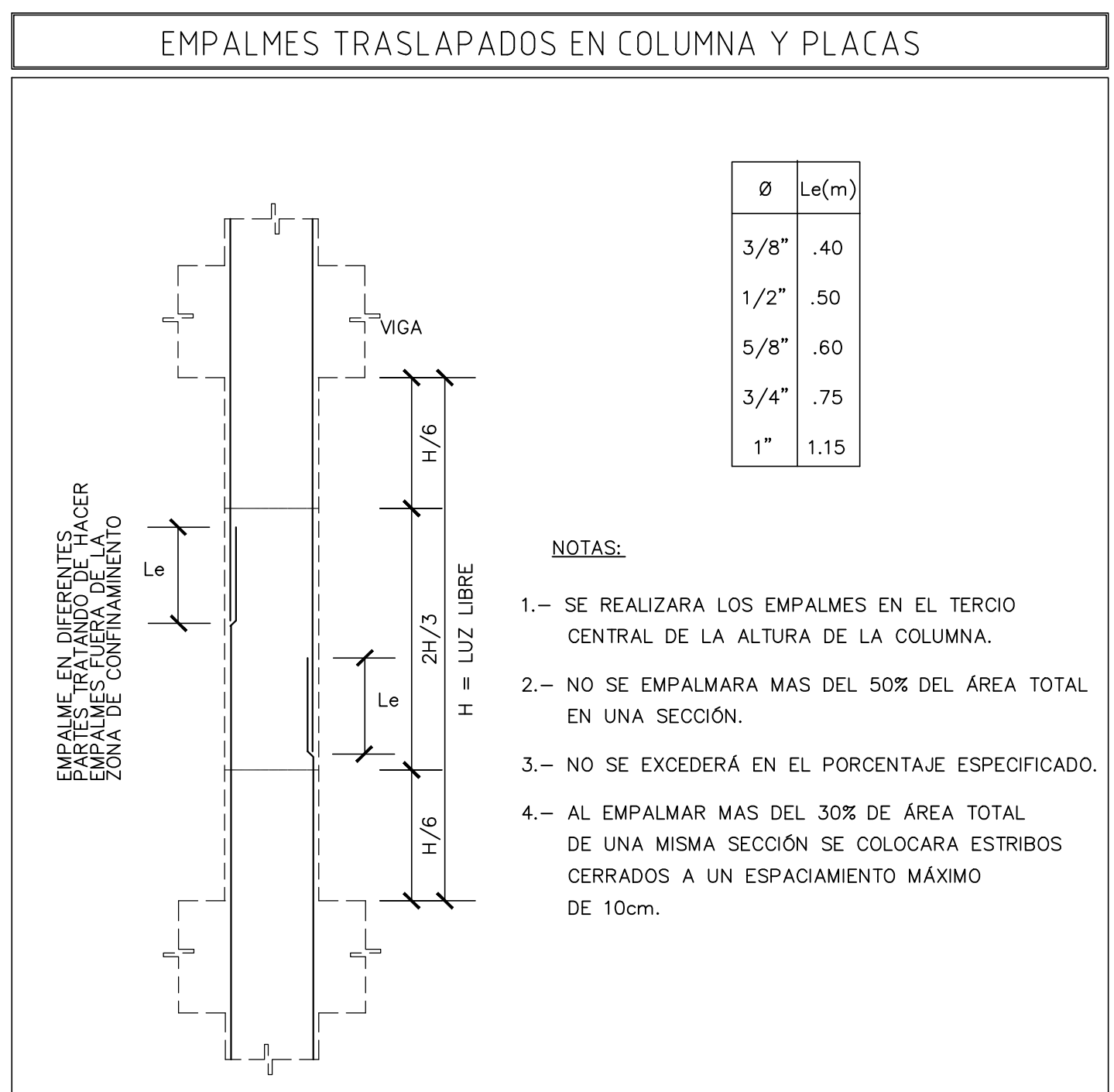


TRABAJO DE SUFICIENCIA PROFESIONAL:	"ANÁLISIS Y DISEÑO SISMICO ESTRUCTURAL, DE LA GERENCIA SUB REGIONAL DE CHURCAMPAGA, EMPLEANDO LA NUEVA NORMA E.030-2018, HUANCAYA."		
PLANO:	MUROS DE CORTE	DISEÑO:	J.R.P.M.
PRESENTADO POR:	Bach. JHON RONALD PEREZ MALLMA		
FECHA:	MARZO - 2021	UBICACION:	HUANCAYA - HUANCAYA
ESCALA:	INDICADA		

E-03

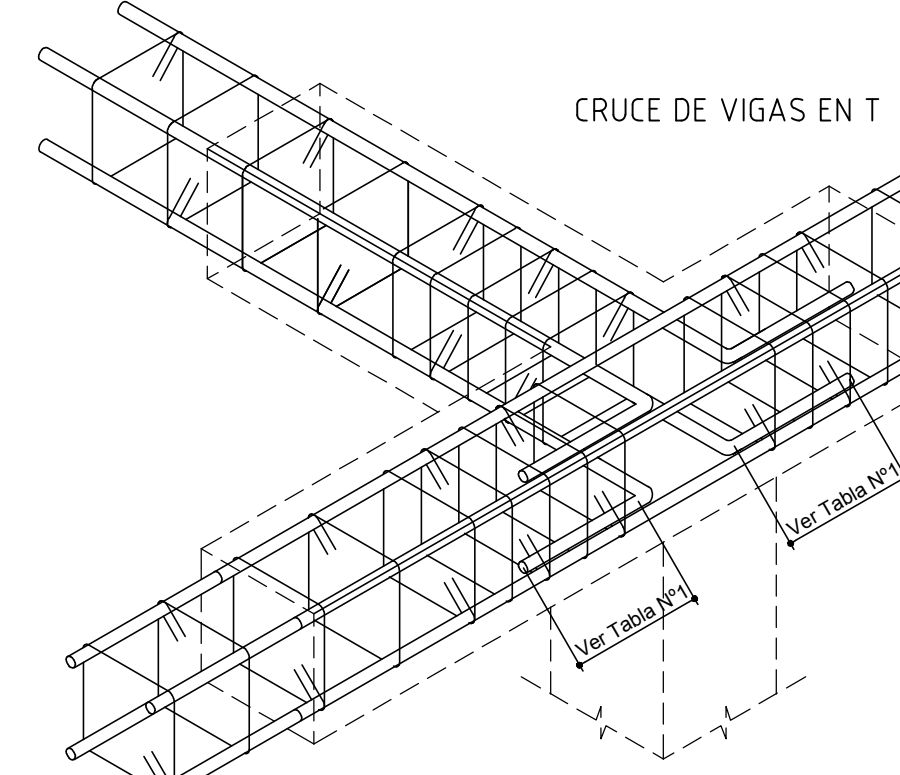


ESPECIFICACIONES TECNICAS		
CONCRETO	ITEM	CONCRETO
N1 AL N5	LOSAS ALIGERADA, LOSA MACIZA	$f'_c = 210 \text{ kg/cm}^2$
N1 AL N5	COLUMNAS, PLACAS, VIGAS	$f'_c = 210 \text{ kg/cm}^2$
N1 AL N4	ESCALERAS	$f'_c = 210 \text{ kg/cm}^2$
CONCRETO	SOLDADO DE LOSA DE C'	1 : 12 + 25% PM. 3" max. e=10 cm
CICLOPEO	CIMENTO CORRIDO	1 : 10 + 30% PG. 6" max.
ACERO	SOBRECARGO	1 : 8 + 25% PM. 3" max.
RECOBERTIMIENTOS	Barras corrugadas ASTM A-615 (Grado 60) $F_y = 4200 \text{ kg/cm}^2$	
SOBRECARGAS	LOSAS DE C' VACIADO SOBRE TIERRA	7.5 cm
ALBARILERIA	LOSAS DE C' VACIADO SOBRE SOLDADO	5.0 cm
	MURO DE CONTENCION y/o MUROS DE CORTE EN CONTACTO CON EL SUELO	4.0 cm
	MURO DE CONTENCION y/o MUROS DE CORTE PROTEGIDO POR REVESTIMIENTO	2.0 cm
	COLUMNAS	4.0 cm
	VIGAS PERALADAS	4.0 cm
	VIGAS CHATAS	2.5 cm
	ALIGERADOS, LOSAS MACIZAS, TANQUE ELEVADO	2.5 cm
	AUDITORIO = 500 kg/m <sup>2</sup> OFICINAS = 250 kg/m <sup>2</sup>	
	CORREDORES Y ESCALERAS = 400 kg/m <sup>2</sup> AZOTEA = 100 kg/m <sup>2</sup>	
	SE REALIZARA CON LADRILLOS K.K. DE ARCILLA DE LA ZONA	
	- PROCESO CONSTRUCTIVO: LOS MUROS DE ALBARILERIA SE CONSTRUIRAN SEGUN LOS DETALLES INDICADOS EN LAS LAMINAS CORRESPONDIENTES	
	- SE CONTRUYEN DESPUES DE VACIAR LOS TECHOS VIGAS Y COLUMNAS	
	MORTERO 1:5 C:H ESPESOR DE JUNTAS: e = 1.5 cm (maximo)	
	CAPACIDAD PORTANTE DEL TERRENO = 0.81 kg / cm <sup>2</sup>	
	NOTAS: 1.- SE REALIZARA LOS EMPALMES EN EL TERCIO CENTRAL DE LA ALTURA DE LA COLUMNAS. 2.- NO SE EMPALMARAS MAS DEL 50% DEL AREA TOTAL EN UNA SECCION. 3.- NO SE EXCEDERA EN EL PORCENTAJE ESPECIFICADO. 4.- AL EMPALMAR MAS DEL 30% DE AREA TOTAL DE UNA MISMA SECCION SE COLOCARA ESTRIOS CERRADOS A UN ESPACIAMENTO MAXIMO DE 10cm.	
	EMPALME EN DIFERENTES ALTOZONAS CONFINADAS	
	ZONA DE CONFINAMIENTO	



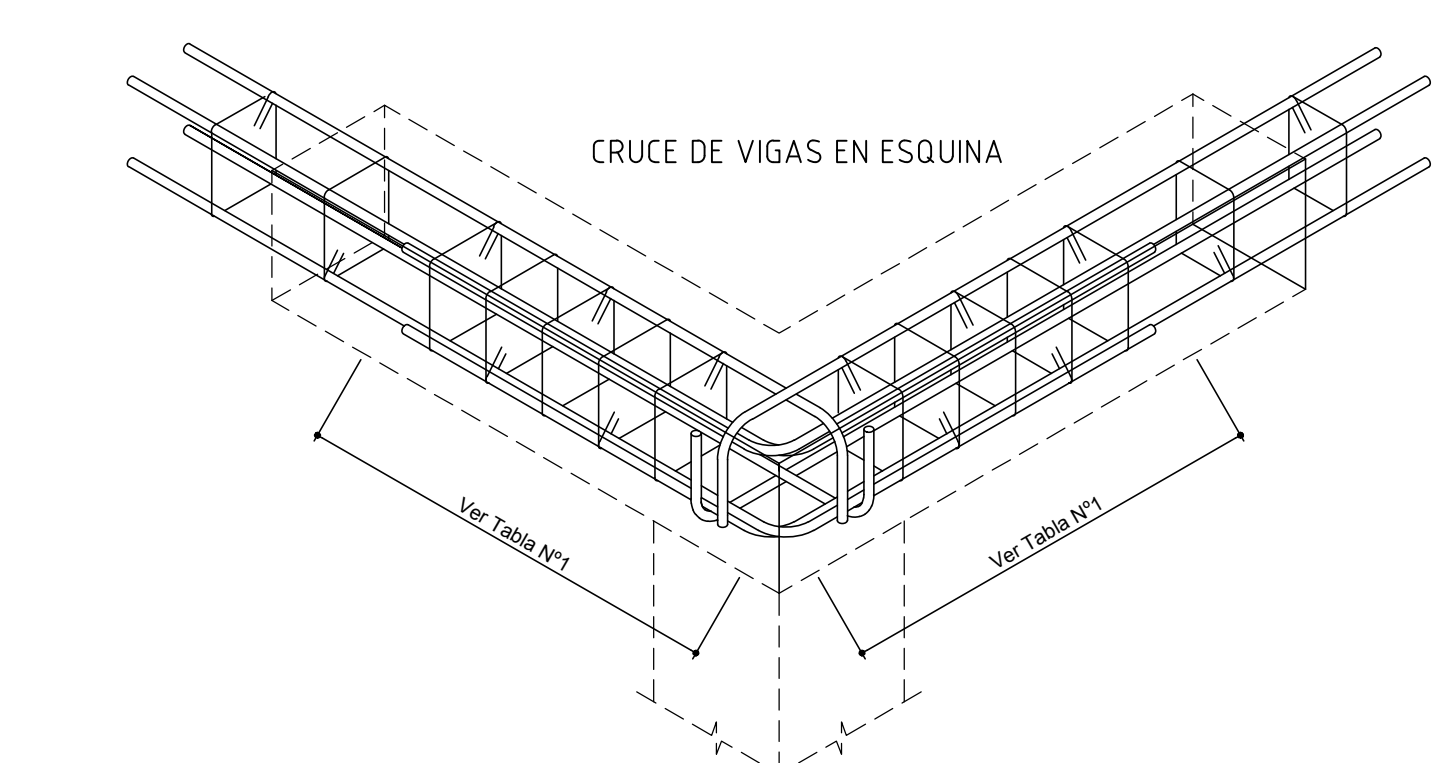
DETALLE DE ENSACHE ALTERNADO  
ESC: S/E

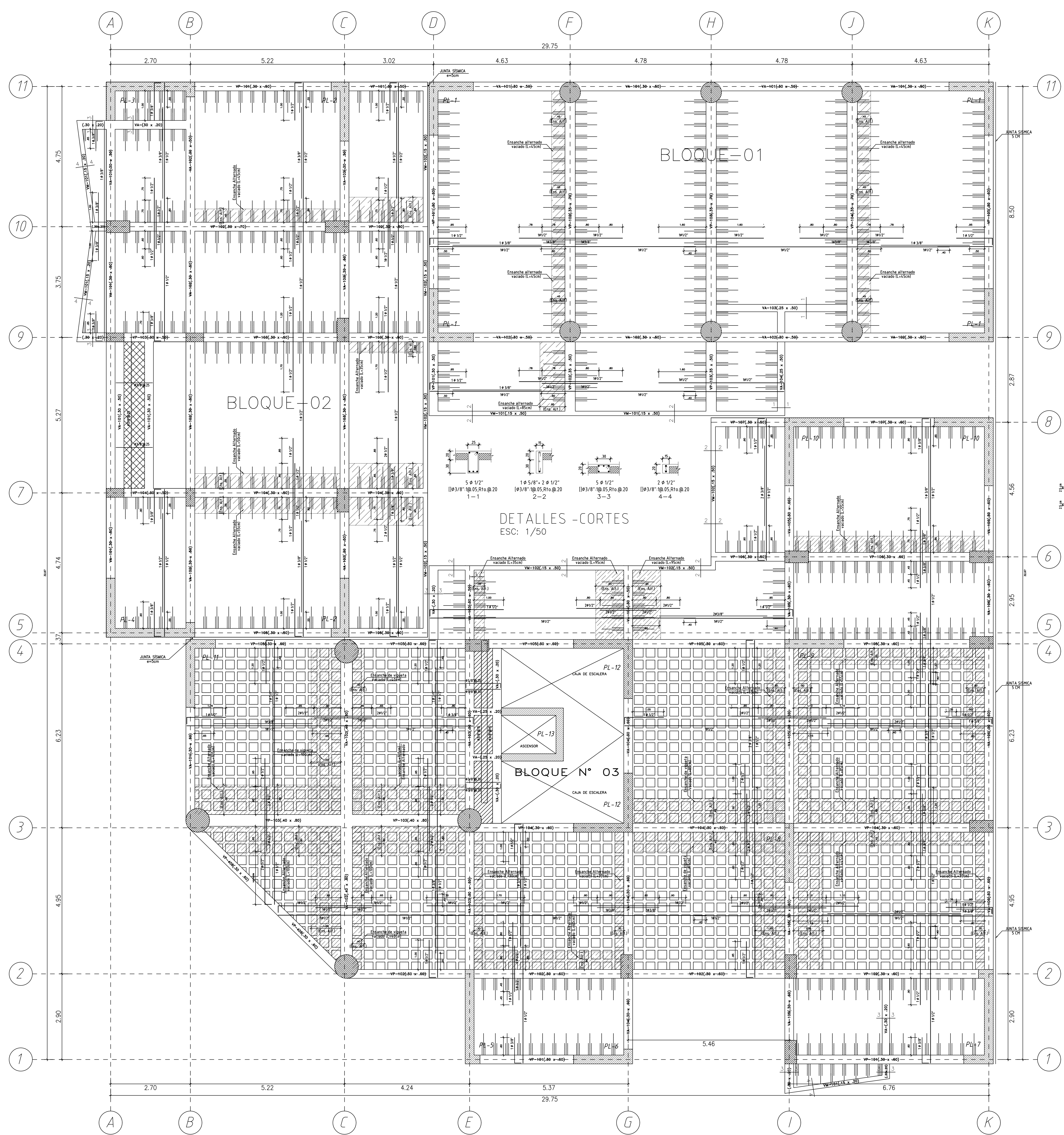
LONGITUD DE ANCLAJE CON GANCHO A 90°		ANCLAJE CON LONGITUD RECTA	
Ldg	DOBBLAR EN EL INTERIOR DEL NUCLEO CONFINADO	Ld	DOBBLAR EN EL INTERIOR DEL NUCLEO CONFINADO
16db	VIGA	16db	VIGA
Ldc	COLUMNA O PLACA	Ldc	COLUMNA O PLACA
LONGITUD DE DESARROLLO EN EXTREMOS DE VIGAS	Ø 1/2" 5/8" 3/4" 1"	LONGITUD DE DESARROLLO EN EXTREMOS DE VIGAS	Ø 1/2" 5/8" 3/4" 1"
16db	0.30 0.40 0.45 0.60	16db	0.20 0.25 0.30 0.35



DETALLES ESTRUCTURALES  
ESC: S/E

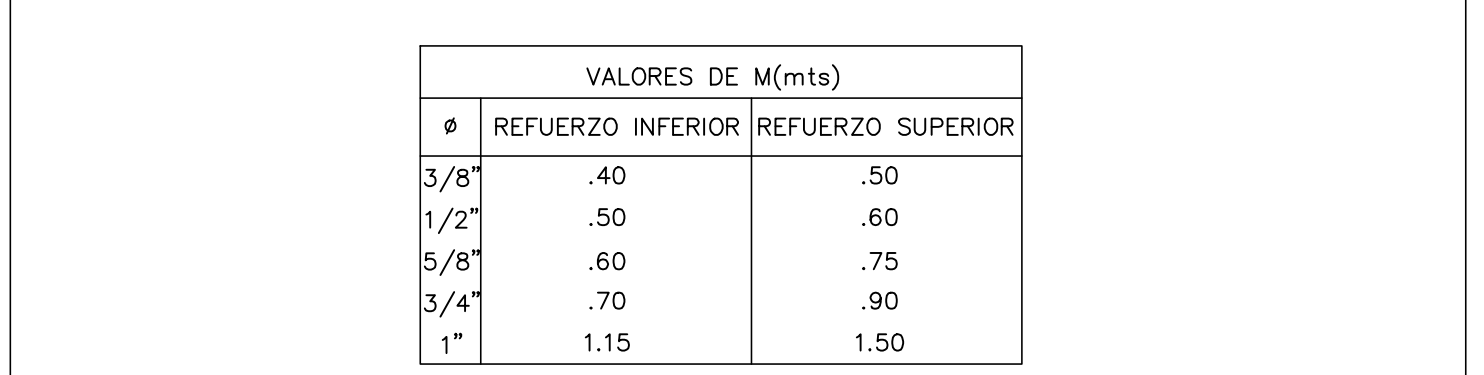
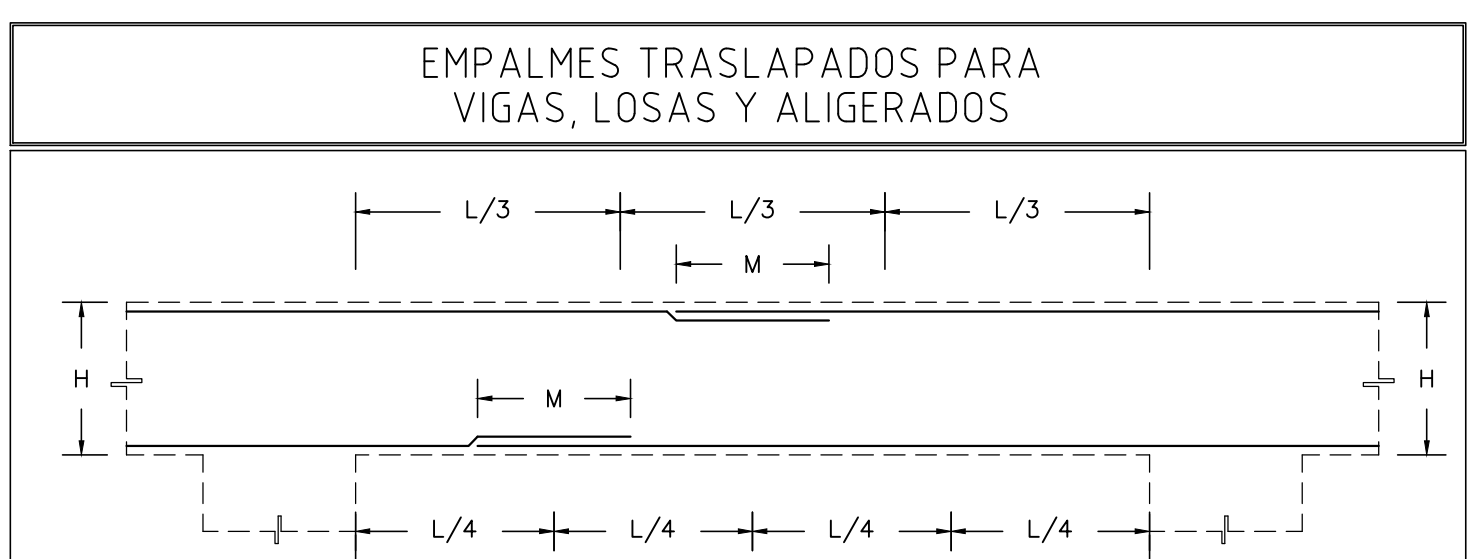
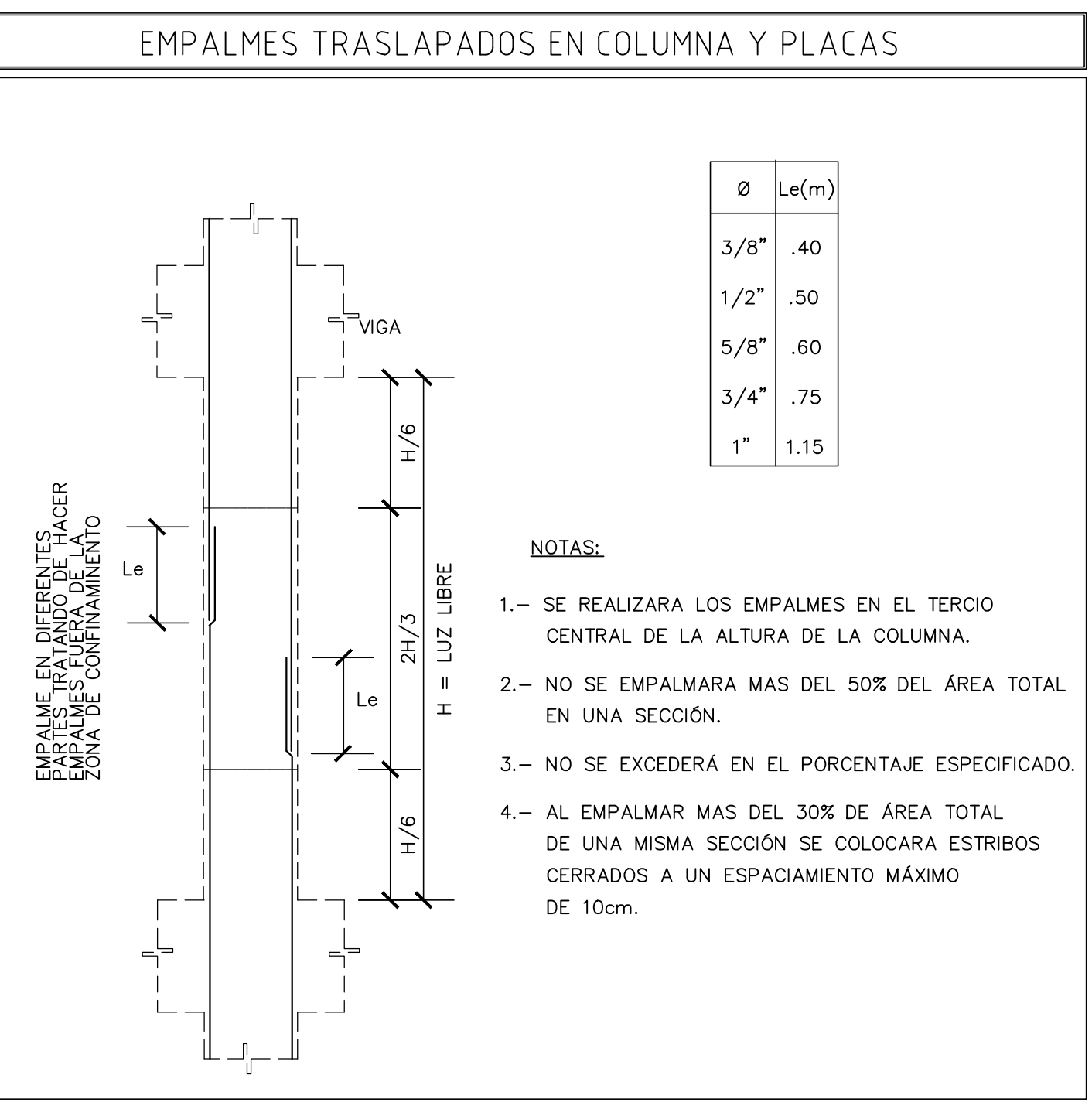
DOBLADO DE ESTRIOS	
Ø	r
3/8"	2 cm.
1/2"	2.5 cm.
5/8"	10.0 cm.
3/4"	12.5 cm.





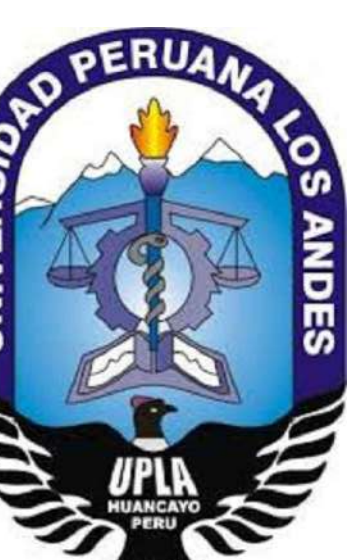
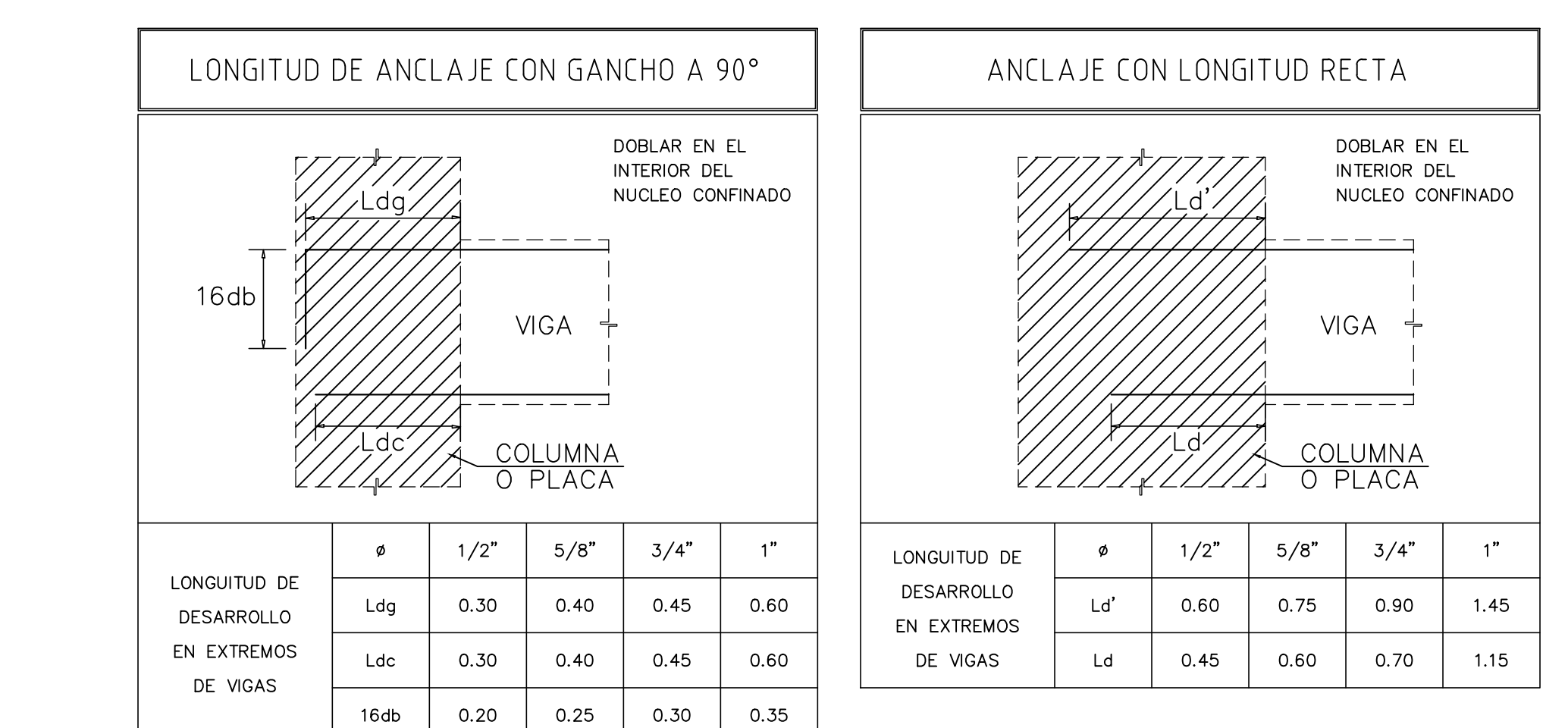
# ESPECIFICACIONES TECNICAS

CONCRETO	NIVEL	ITEM	CONCRETO
	N1 AL N5	LOSA ALIGERADA, LOSA MACIZA	$f'c = 210 \text{ kg/cm}^2$
	N1 AL N5	COLUMNAS, PLACAS, VIGAS	$f'c = 210 \text{ kg/cm}^2$
	N1 AL N4	ESCALERAS	$f'c = 210 \text{ kg/cm}^2$
CONCRETO CICLÓPEO	SOLADO DE LOSA DE C*	1 : 12 + 25% PM. 3" max. $e=10 \text{ cm}$	
	CIMENTO CORRIDO	1 : 10 + 30% PG. 6" max.	
	SOBRECIMIENTO	1 : 8 + 25% PM. 3" max.	
ACERO	Barras corrugadas: ASTM A-615 (Grado 60)		$F_y = 4200 \text{ kg/cm}^2$
RECUBRIMIENTOS	LOSA DE C* VACIADO SOBRE TIERRA		7.5 cm
	LOSA DE C* VACIADO SOBRE SOLADO		5.0 cm
	MURO DE CONTENCION y/o MUROS DE CORTE EN CONTACTO CON EL SUELO		4.0 cm
	MURO DE CONTENCION y/o MUROS DE CORTE PROTEGIDO POR REVESTIMIENTO		2.0 cm
	COLUMNAS		4.0 cm
	VIGAS PERALTADAS		4.0 cm
	VIGAS CHATAS		2.5 cm
	ALIGERADOS, LOSAS MACIZAS, TANQUE ELEVADO		2.5 cm
SOBRECARGAS	AUDITORIO = 500 kg/m <sup>2</sup>	OFICINAS = 250 kg/m <sup>2</sup>	
	CORREDORES Y ESCALERA = 400 kg/m <sup>2</sup>	AZOTEA = 100 kg/m <sup>2</sup>	
ALBAÑILERIA	SE REALIZARA CON LADRILLOS K.K DE ARCILLA DE LA ZONA		
	– PROCESO CONSTRUCTIVO: LOS MUROS DE ALBAÑILERIA SE CONSTRUIRAN SEGUN LOS DETALLES INDICADOS EN LAS LAMINAS CORRESPONDIENTES		
	– SE CONTRUYEN DESPUES DE VACIAR LOS TECHOS VIGAS Y COLUMNAS		
	MORTERO 1:5 C:H	ESPESOR DE JUNTAS: $e = 1.5 \text{ cm}$ (maximo)	
CAPACIDAD PORTANTE DEL TERRENO = 0.81 kg / cm <sup>2</sup>			



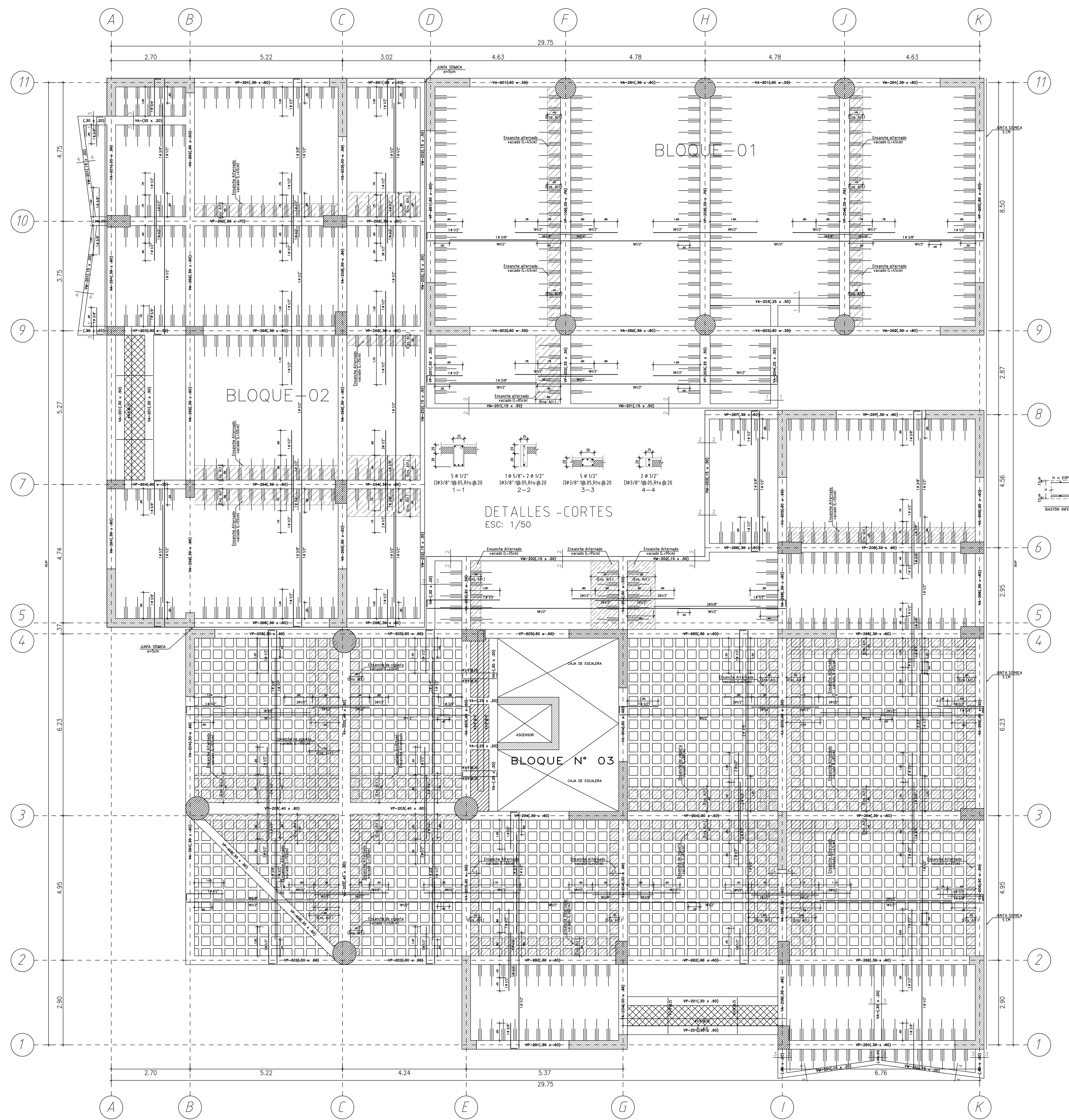
NOTAS:

- A– NO EMPALMAR MAS DEL 50% DEL ÁREA TOTAL EN UNA MISMA SECCIÓN.
- B– EN CASO DE NO EMPALMARSE EN LAS ZONAS INDICADAS O CON LOS PORCENTAJES ESPECIFICADOS, AUMENTAR LA LONGITUD DE EMPALME EN UN 30%, O CONSULTAR AL PROYECTISTA.
- C– PARA ALIGERADOS, LOSAS Y VIGAS CHATAS, EL ACERO INFERIOR SE EMPALMARA SOBRE LOS APOYOS, SIENDO LA LONGITUD DE EMPALME IGUAL A 50cm, PARA FIERROS DE 3/8", 60cm PARA 1/2" Y 70cm PARA 5/8".

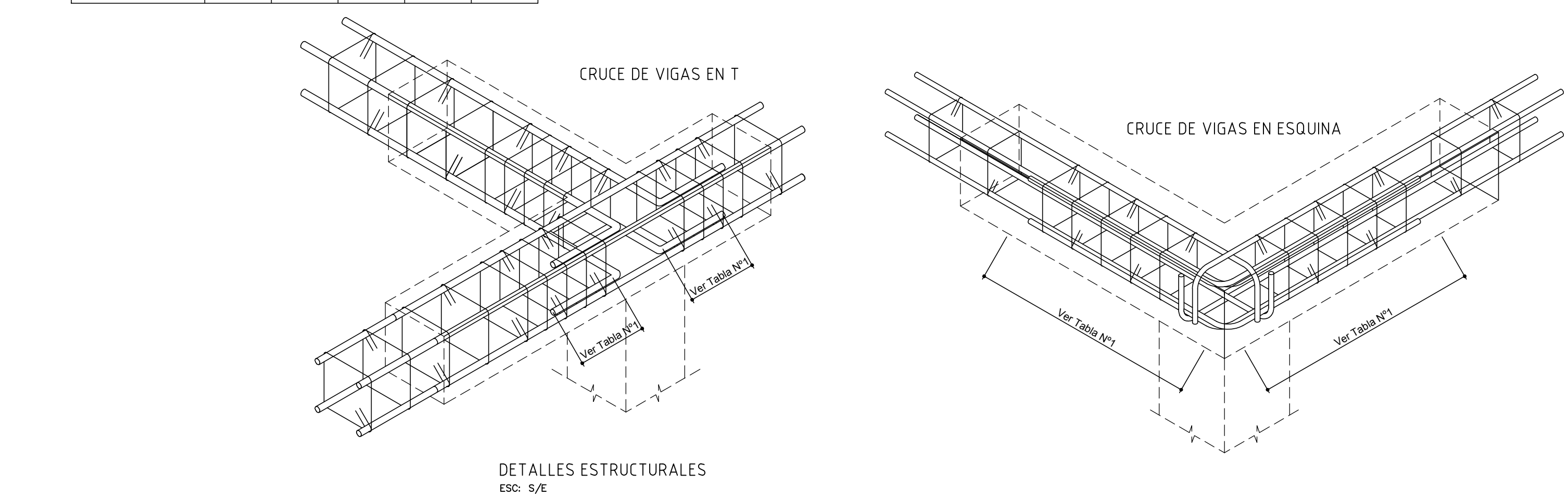
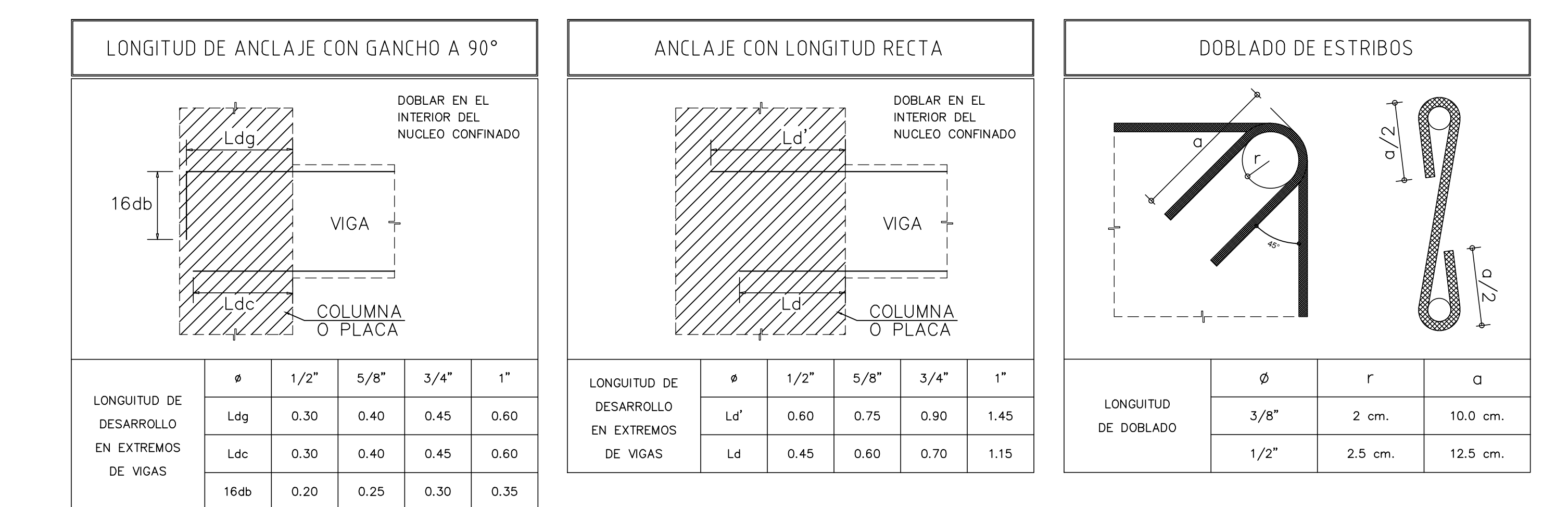
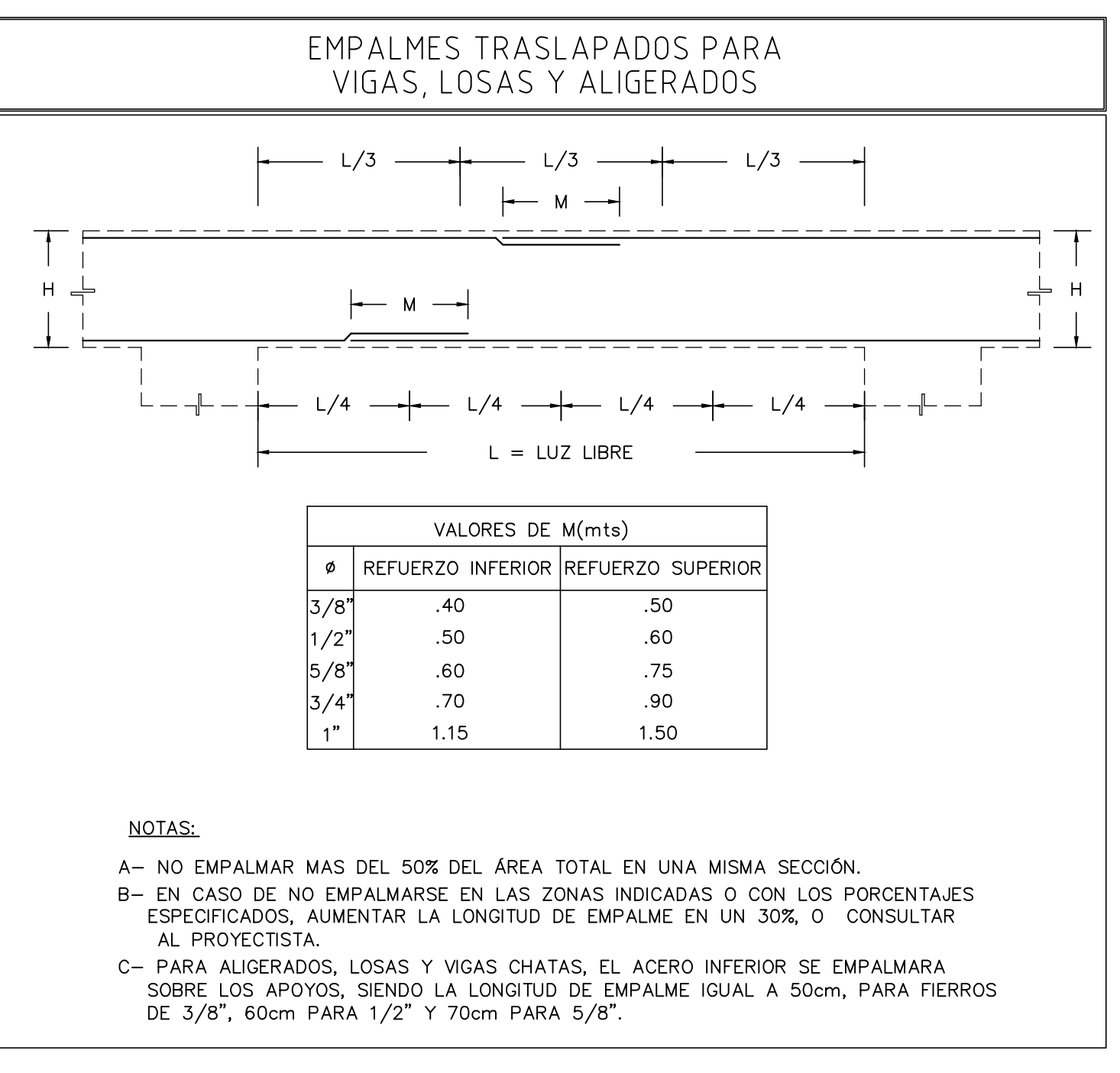
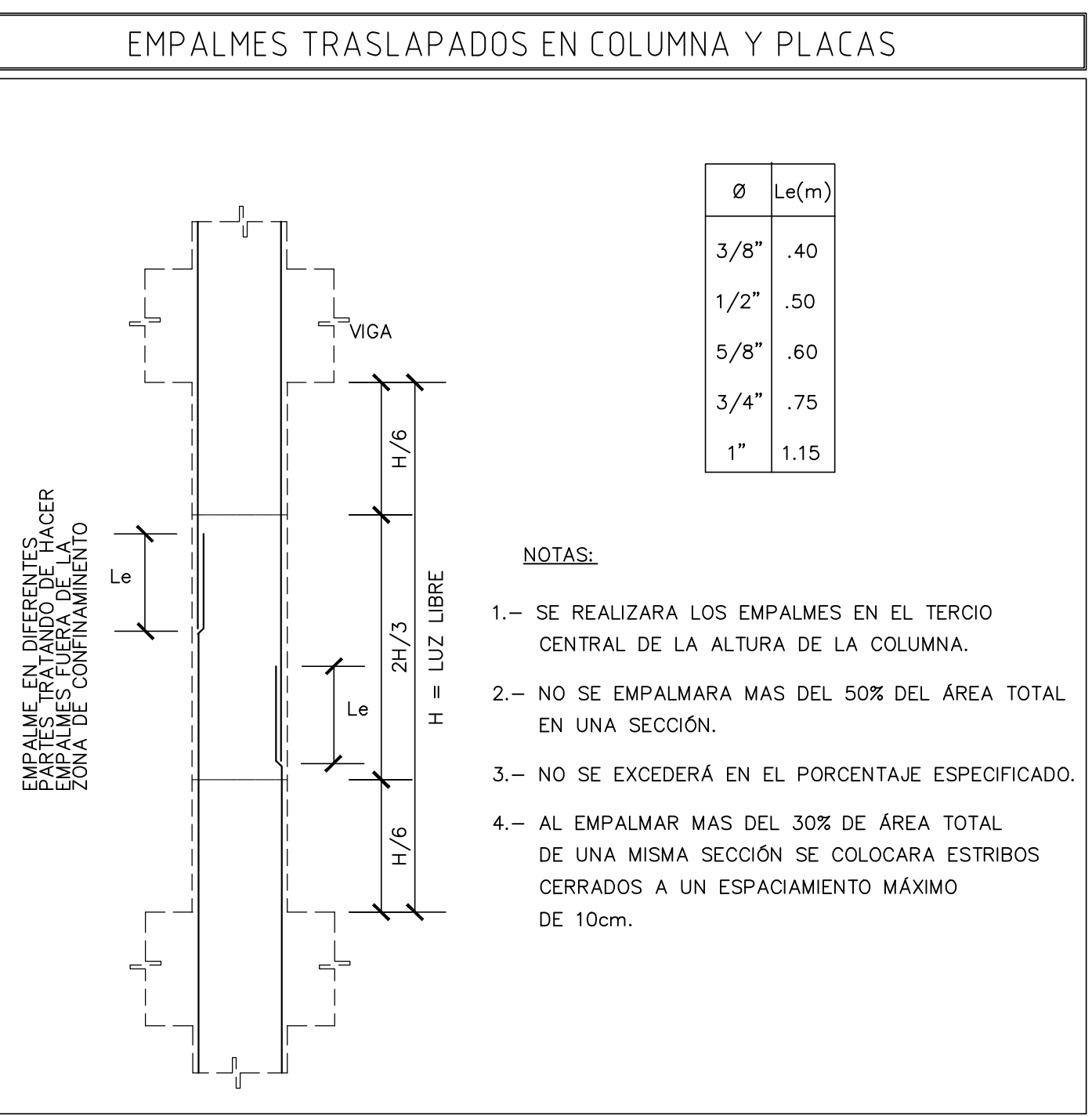


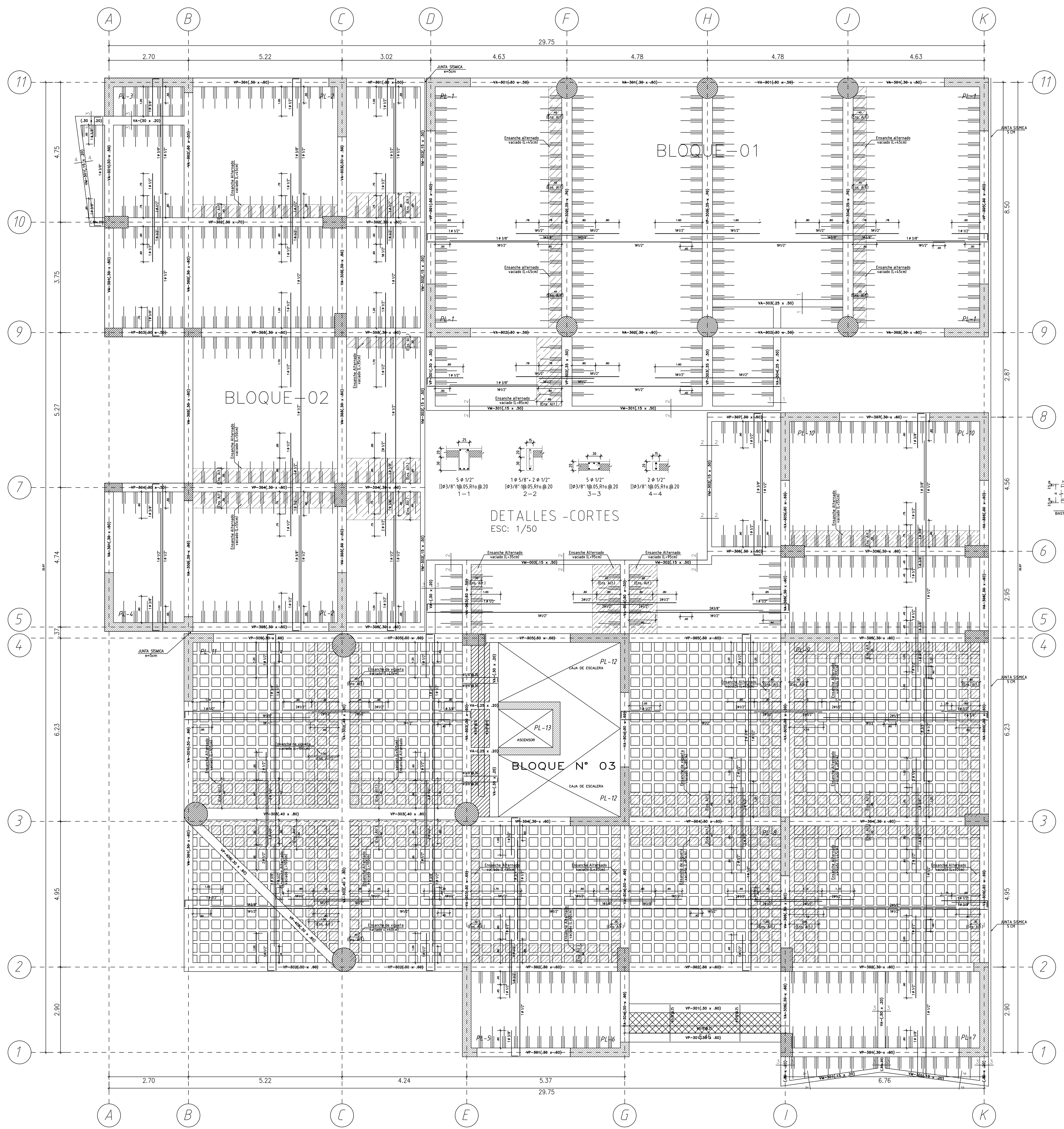
**ANÁLISIS Y DISEÑO SÍSMICO ESTRUCTURAL, DE LA GERENCIA SUB REGIONAL DE CHURCAMPA,  
EMPLEANDO LA NUEVA NORMA E.030-2018, HUANCAYA**

LANO:	LOSAS	DISEÑO:	J.R.P.M.	LAMINA:
RESENTADO POR:			Bach. JHON RONALD PEREZ MALLMA	E-05
FECHA:	MARZO – 2021	UBICACION:	CHURCAMPAS – HUANCAYA	ESCALA:
				INDICADA

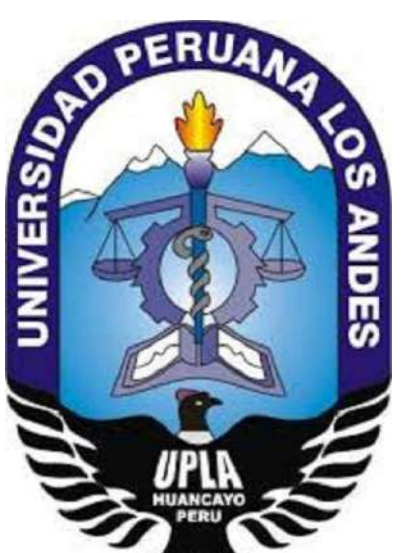
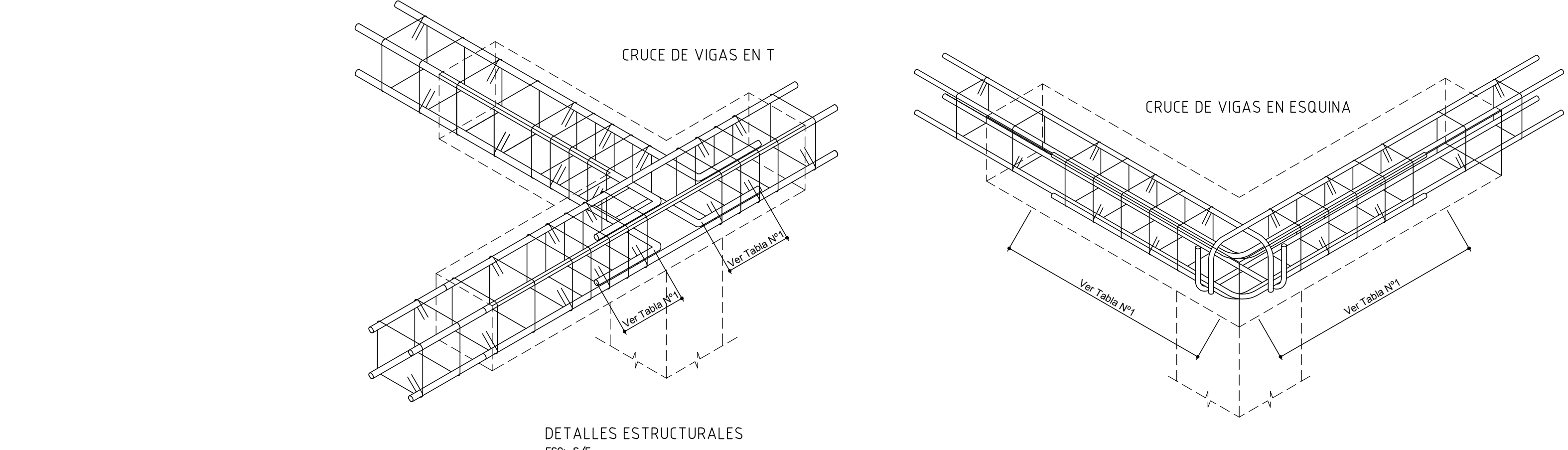
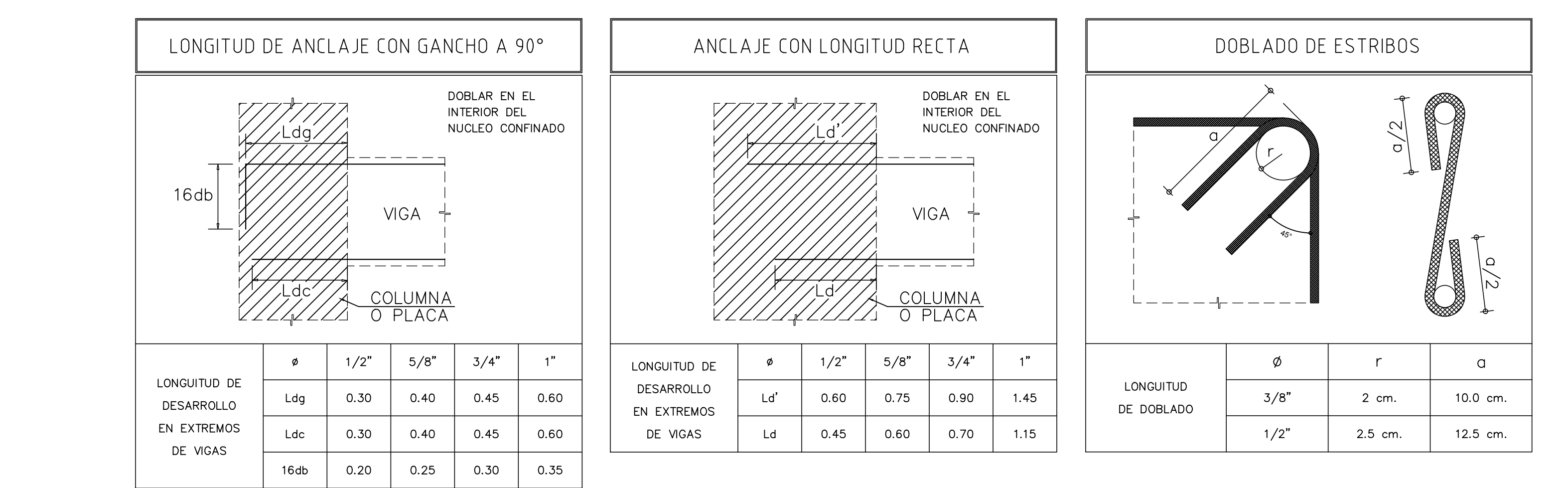
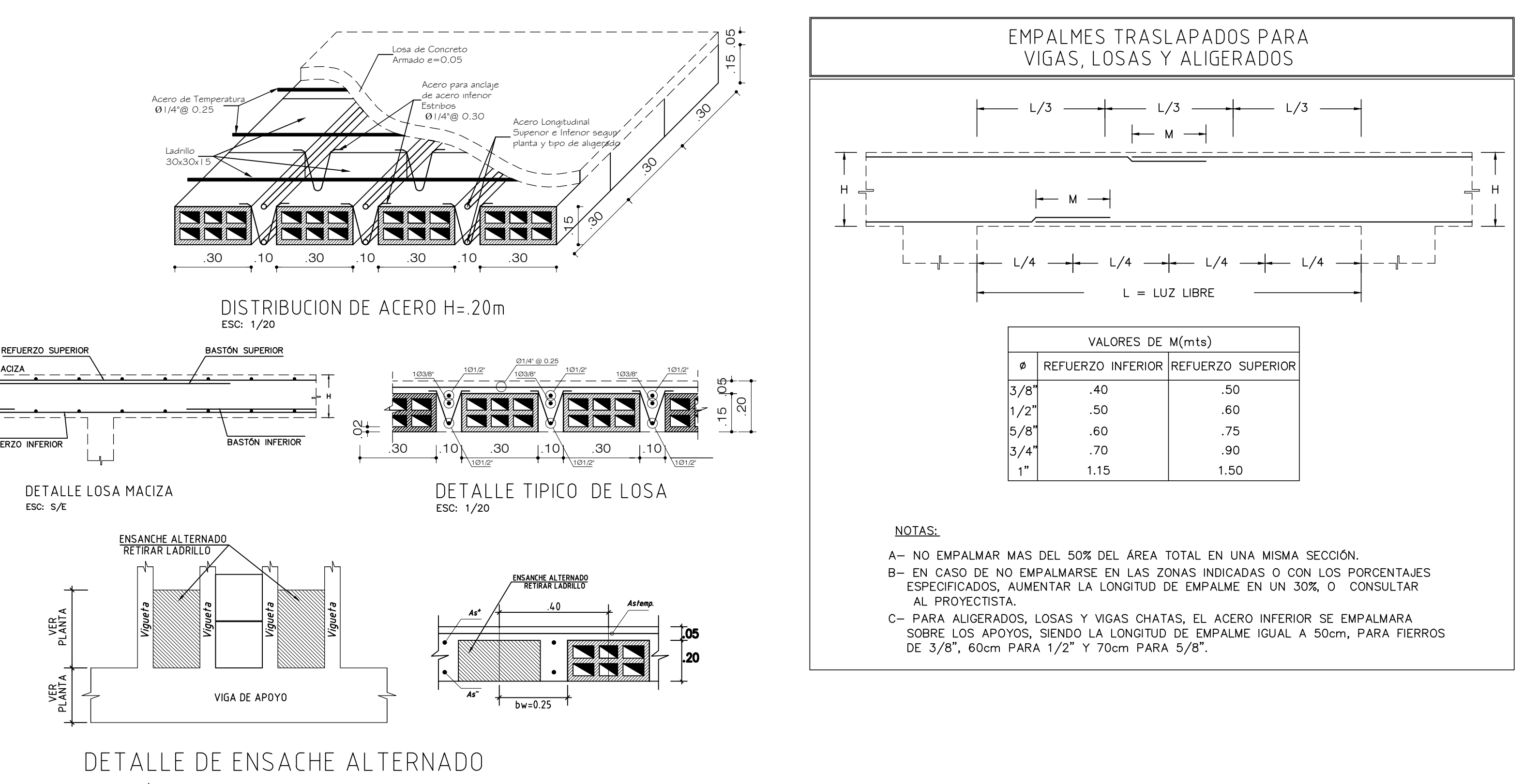
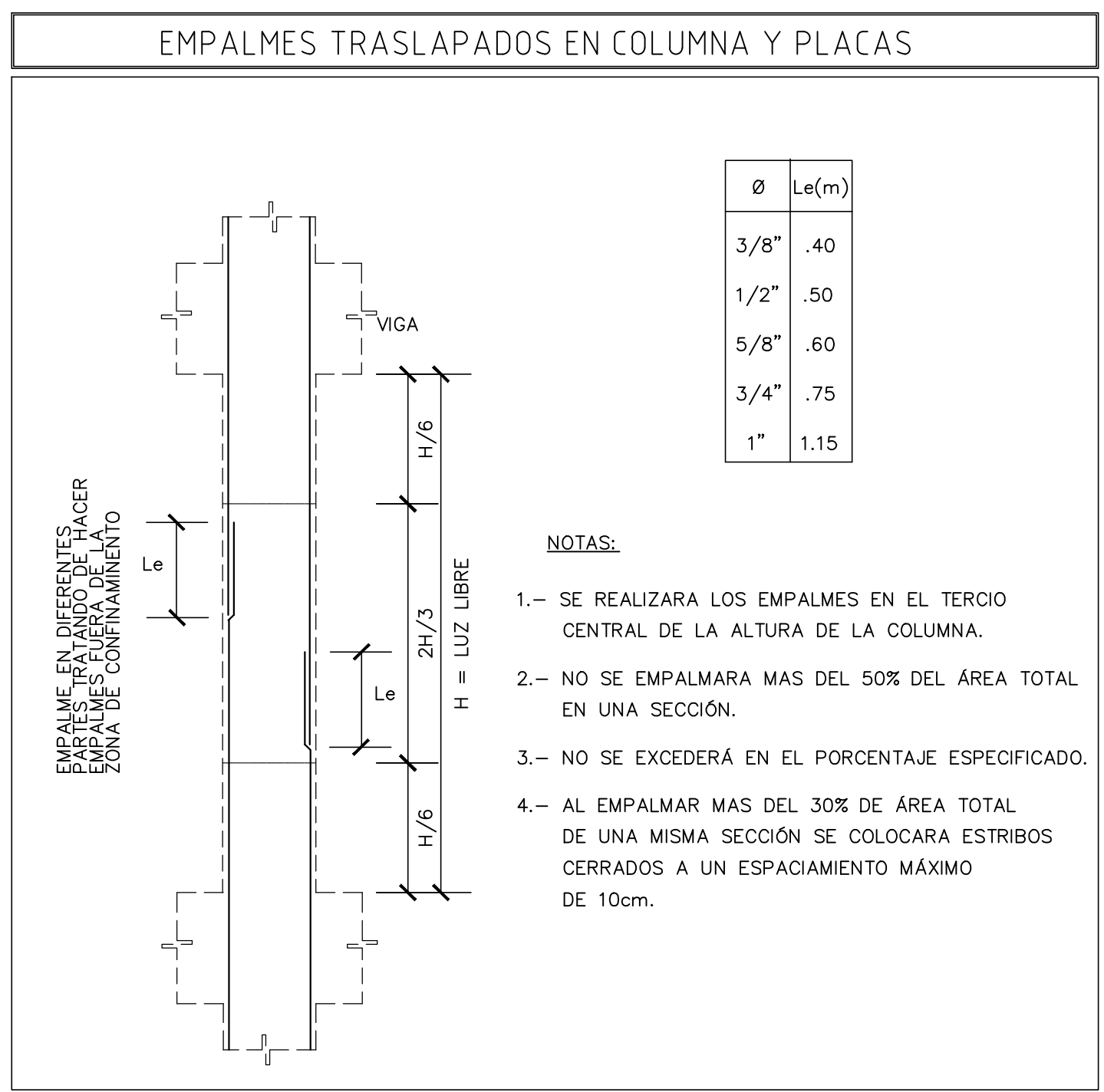


ESPECIFICACIONES TECNICAS		
CONCRETO	ITEM	CONCRETO
N1 AL N5	LOSAS ALIGERADA, LOSA MACIZA	$f'_c = 210 \text{ kg/cm}^2$
N1 AL N5	COLUMNAS, PLACAS, VIGAS	$f'_c = 210 \text{ kg/cm}^2$
N1 AL N4	ESCALERAS	$f'_c = 210 \text{ kg/cm}^2$
CONCRETO	SOLDADO DE LOSA DE C'	1 : 12 + 25% PM. 3" max. $e=10\text{ cm}$
CICLOPEO	CIMENTO CORRIDO	1 : 10 + 30% PG. 6" max.
ACERO	SOBRECARGO	1 : 8 + 25% PM. 3" max.
RECOBERTIMIENTOS	Barras corrugadas ASTM A-615 (Grado 60) $F_y = 4200 \text{ kg/cm}^2$	
SOBRECARGAS	LOSAS DE C' VACIADO SOBRE TIERRA	7.5 cm
ALBARILERIA	LOSAS C' VACIADO SOBRE SOLDADO	5.0 cm
	MURO DE CONTENCION y/o MUROS DE CORTE EN CONTACTO CON EL SUELO	4.0 cm
	MURO DE CONTENCION y/o MUROS DE CORTE PROTEGIDO POR REVESTIMIENTO	2.0 cm
	COLUMNAS	4.0 cm
	VIGAS PERALADAS	4.0 cm
	VIGAS CHATAS	2.5 cm
	ALIGERADOS, LOSAS MACIZAS, TANQUE ELEVADO	2.5 cm
	AUDITORIO = $500 \text{ kg/m}^2$ OFICINAS = $250 \text{ kg/m}^2$	
	CORREDORES Y ESCALERAS = $400 \text{ kg/m}^2$ AZOTEA = $100 \text{ kg/m}^2$	
	SE REALIZARA CON LADRILLOS K.K. DE ARCILLA DE LA ZONA	
	- PROCESO CONSTRUCTIVO: LOS MUROS DE ALBARILERIA SE CONSTRUIRAN SEGUN LOS DETALLES INDICADOS EN LAS LAMINAS CORRESPONDIENTES	
	- SE CONTRUYEN DESPUES DE VACIAR LOS TECHOS VIGAS Y COLUMNAS	
	MORTERO 1:5 C:H ESPESOR DE JUNTAS: $e = 1.5 \text{ cm}$ (maximo)	
	CAPACIDAD PORTANTE DEL TERRENO = $0.81 \text{ kg / cm}^2$	
	NOTAS:	
	1.- SE REALIZARA LOS EMPALMES EN EL TERCIO CENTRAL DE LA ALTURA DE LA COLUMNA.	
	2.- NO SE EMPALMARAS MAS DEL 50% DEL AREA TOTAL EN UNA SECCION.	
	3.- NO SE EXCEDERA EN EL PORCENTAJE ESPECIFICADO.	
	4.- AL EMPALMAR MAS DEL 30% DE AREA TOTAL DE UNA MISMA SECCION SE COLOCARA ESTRIOS CERRADOS A UN ESPACIMIENTO MAXIMO DE 10cm.	





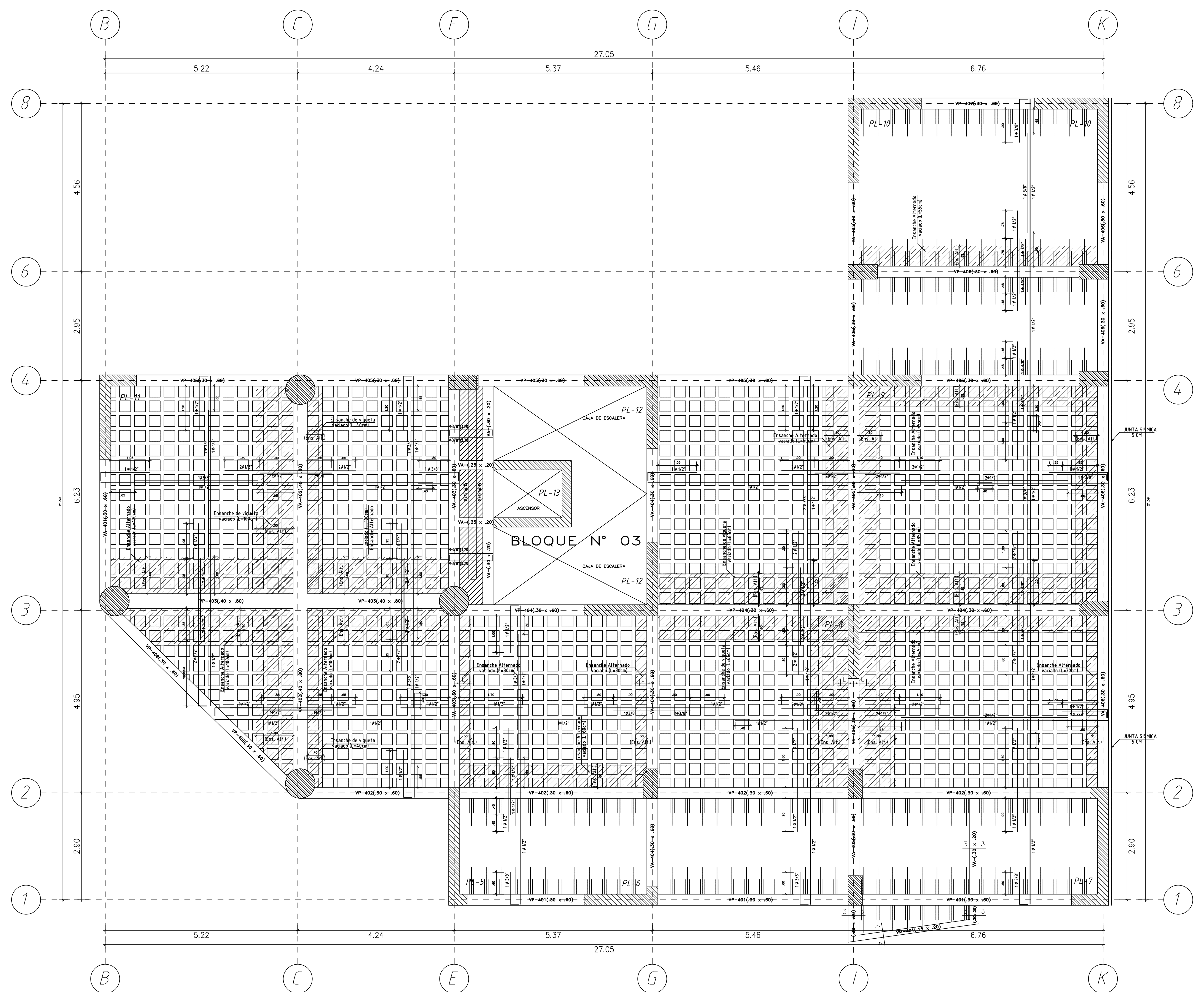
ESPECIFICACIONES TECNICAS		
CONCRETO	ITEM	CONCRETO
N1 AL N5	LOSA ALIGERADA, LOSA MACIZA	$f'_c = 210 \text{ kg/cm}^2$
N1 AL N5	COLUMNAS, PLACAS, VIGAS	$f'_c = 210 \text{ kg/cm}^2$
N1 AL N4	ESCALERAS	$f'_c = 210 \text{ kg/cm}^2$
CONCRETO	SOLDADO DE LOSA DE C'	1 : 12 + 25% PM. 3" max. e=10 cm
CICLOPEO	CIMENTO CORRIDO	1 : 10 + 30% PG. 6" max.
ACERO	SOBRECARGO	1 : 8 + 25% PM. 3" max.
RECOBERTIMIENTOS	Barras corrugadas ASTM A-615 (Grado 60)	$F_y = 4200 \text{ kg/cm}^2$
SOBRECARGAS	LOSA DE C' VACIADO SOBRE TIERRA	7.5 cm
ALBARILERIA	LOSA DE C' VACIADO SOBRE SOLDADO	5.0 cm
	MURO DE CONTENCION y/o MUROS DE CORTE EN CONTACTO CON EL SUELO	4.0 cm
	MURO DE CONTENCION y/o MUROS DE CORTE PROTEGIDO POR REVESTIMIENTO	4.0 cm
	COLUMNAS	4.0 cm
	VIGAS PERALADAS	4.0 cm
	VIGAS CHATAS	2.5 cm
	ALIGERADOS, LOSAS MACIZAS, TANQUE ELEVADO	2.5 cm
	AUDITORIO = 500 kg/m <sup>2</sup>	OFCINAS = 250 kg/m <sup>2</sup>
	CORREDORES Y ESCALERAS = 400 kg/m <sup>2</sup>	AZOTEA = 100 kg/m <sup>2</sup>
	SE REALIZARA CON LADRILLOS K.K. DE ARCILLA DE LA ZONA	
	- PROCESO CONSTRUCTIVO: LOS MUROS DE ALBARILERIA SE CONSTRUIRAN SEGUN LOS DETALLES INDICADOS EN LAS LAMINAS CORRESPONDIENTES	
	- SE CONTRUYEN DESPUES DE VACIAR LOS TECHOS VIGAS Y COLUMNAS	
	MORTERO 1:5 C:H	ESPESOR DE JUNTAS: e = 1.5 cm (maximo)
	CAPACIDAD PORTANTE DEL TERRENO = 0.81 kg / cm <sup>2</sup>	



**TRABAJO DE SUFICIENCIA PROFESIONAL:**  
"ANÁLISIS Y DISEÑO SÍSMICO ESTRUCTURAL, DE LA GERENCIA SUB REGIONAL DE CHURCAMPA, EMPLEANDO LA NUEVA NORMA E.030-2018, HUANCAYA"

PLANO:	LOSAS	DISEÑO:	J.R.P.M.
PRESENTADO POR:	Bach. JHON RONALD PEREZ MALLMA		
FECHA:	MARZO - 2021	UBICACION:	CHURCAMPA - HUANCAYA
ESCALA:	INDICADA		

**E-07**

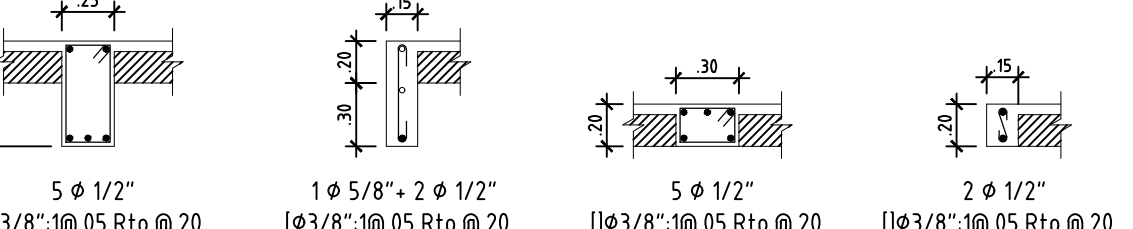


ENCOFRADO DE TECHO DE AZOTEA

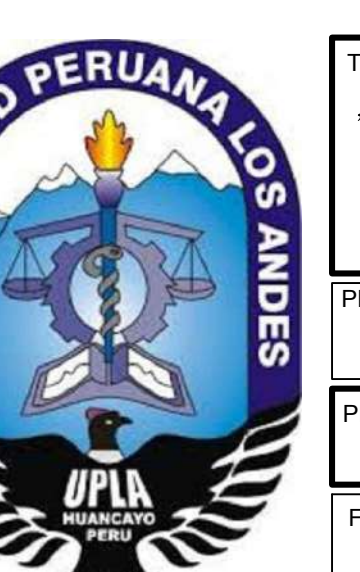
ESC: 1/75

- LOS ALIGERADA 1 Dirección H:0.20m  
ESPACIAMENTO ENTRE VIGUETAS: 0.40 m
- LOS ALIGERADA 2 Direcciones H:0.20m  
ESPACIAMENTO ENTRE VIGUETAS: 0.40 m
- LOSA MACIZA H:0.20m  
02-MALLAS 43/8" (SUPERIOR E INFERIOR)

DETALLES - CORTES



DETALLES ESTRUCTURALES



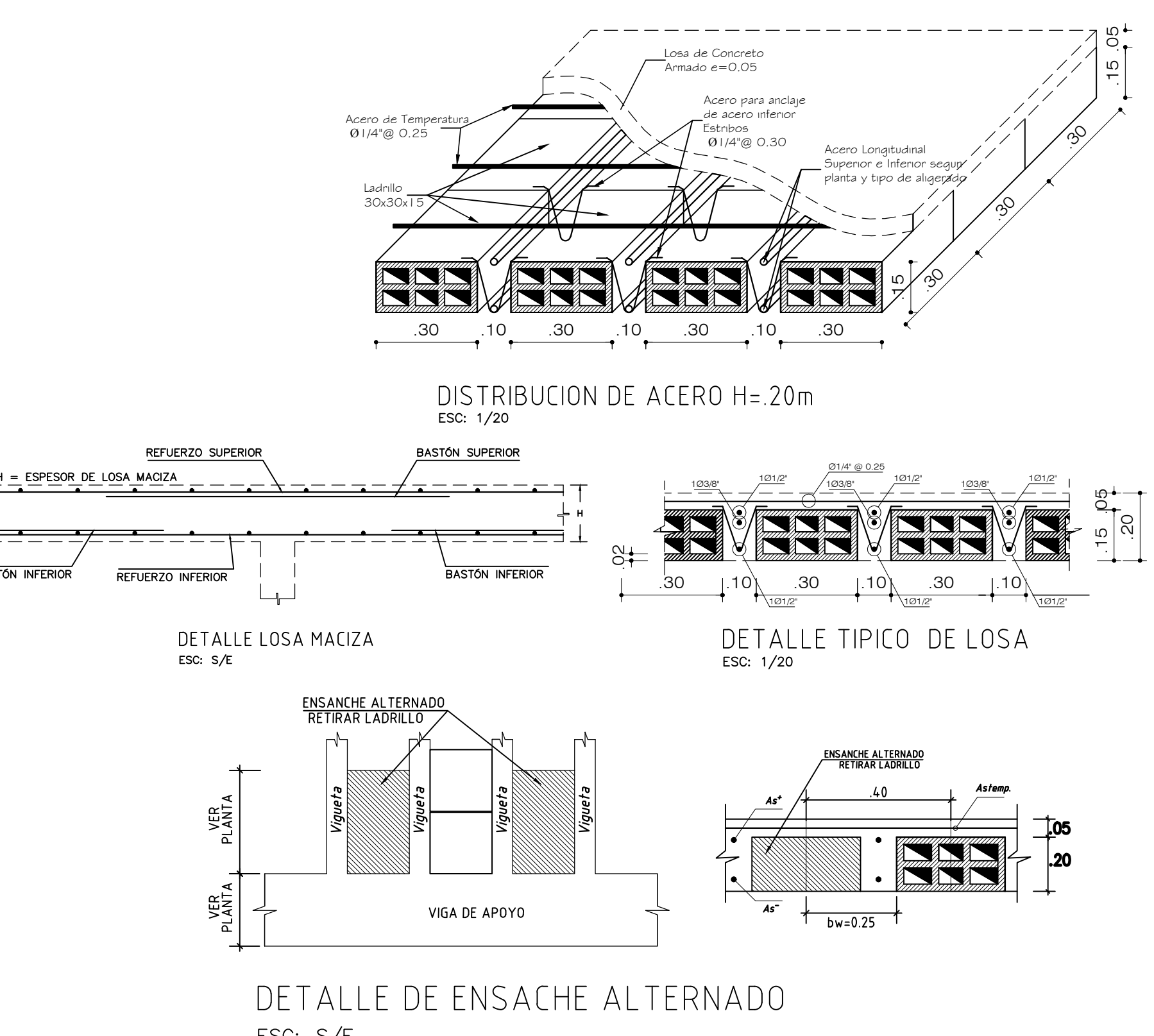
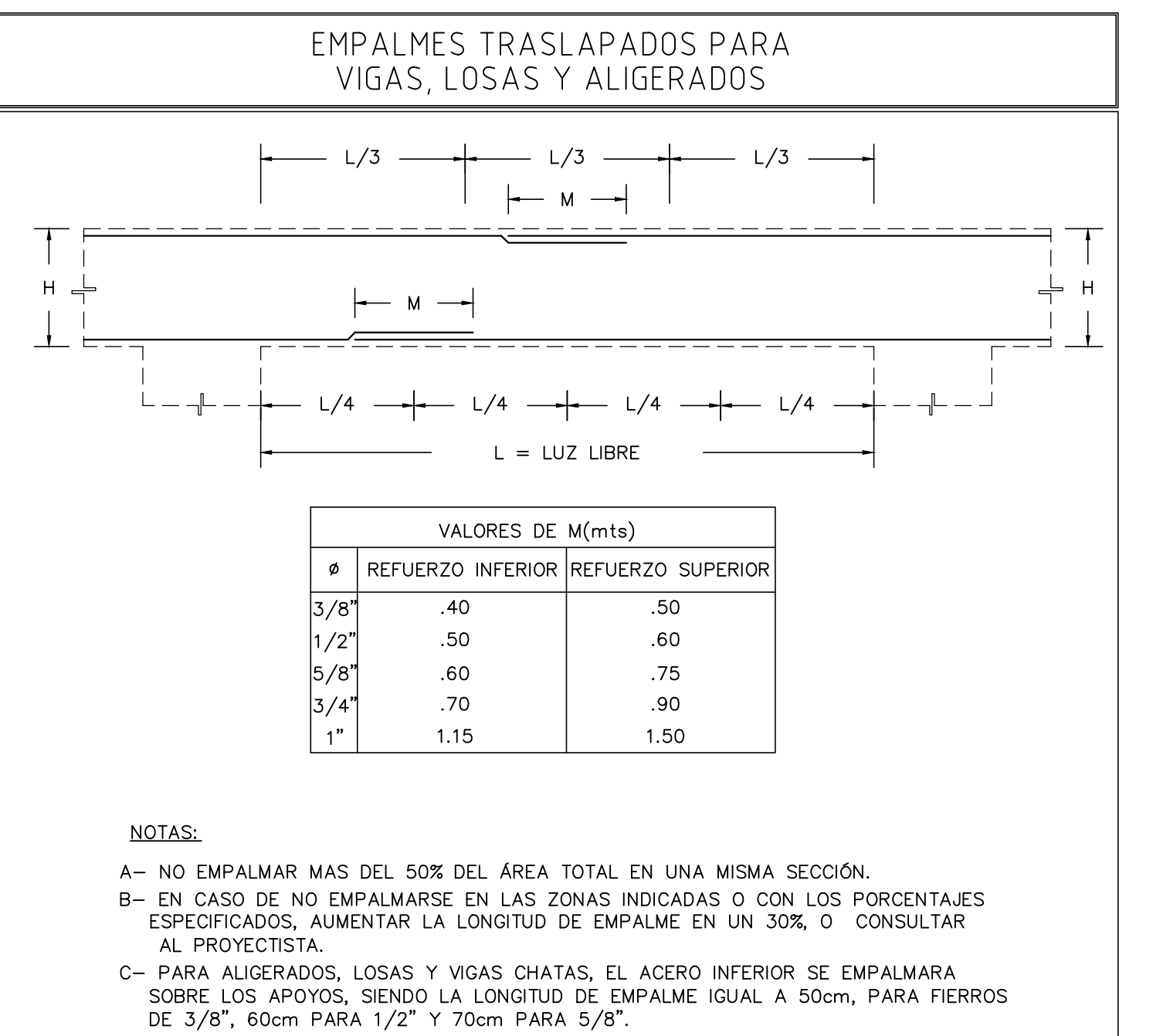
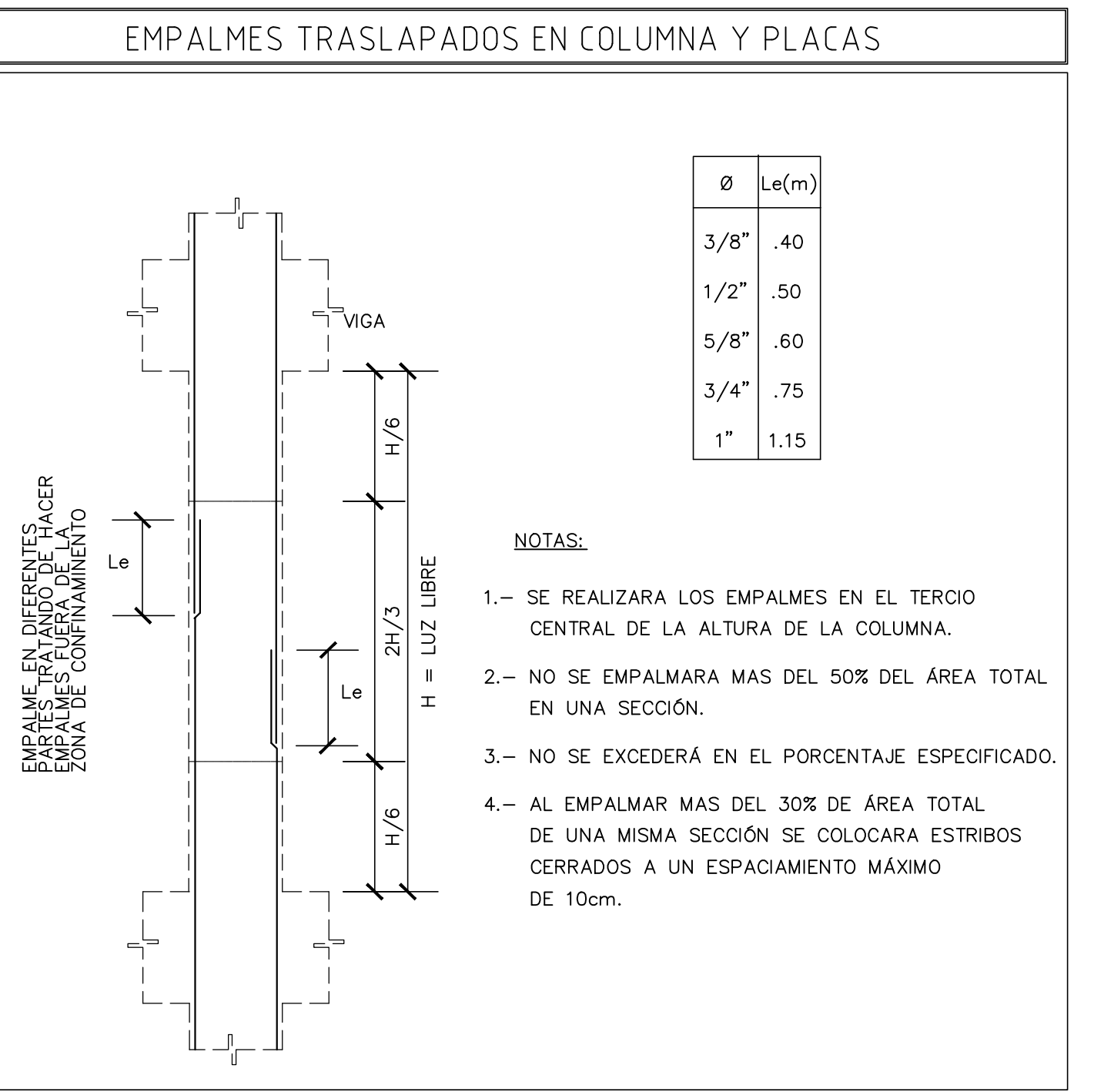
TRABAJO DE SUFICIENCIA PROFESIONAL:

"ANÁLISIS Y DISEÑO SÍSMICO ESTRUCTURAL, DE LA GERENCIA SUB REGIONAL DE CHURCAMPA, EMPLEANDO LA NUEVA NORMA E.030-2018, HUANCAYA"

PLANO:	LOSAS	DISEÑO:	J.R.P.M.
PRESENTADO POR:	Bach. JHON RONALD PEREZ MALLMA		
FECHA:	MARZO - 2021	UBICACIÓN:	CHURCAMPA - HUANCAYA

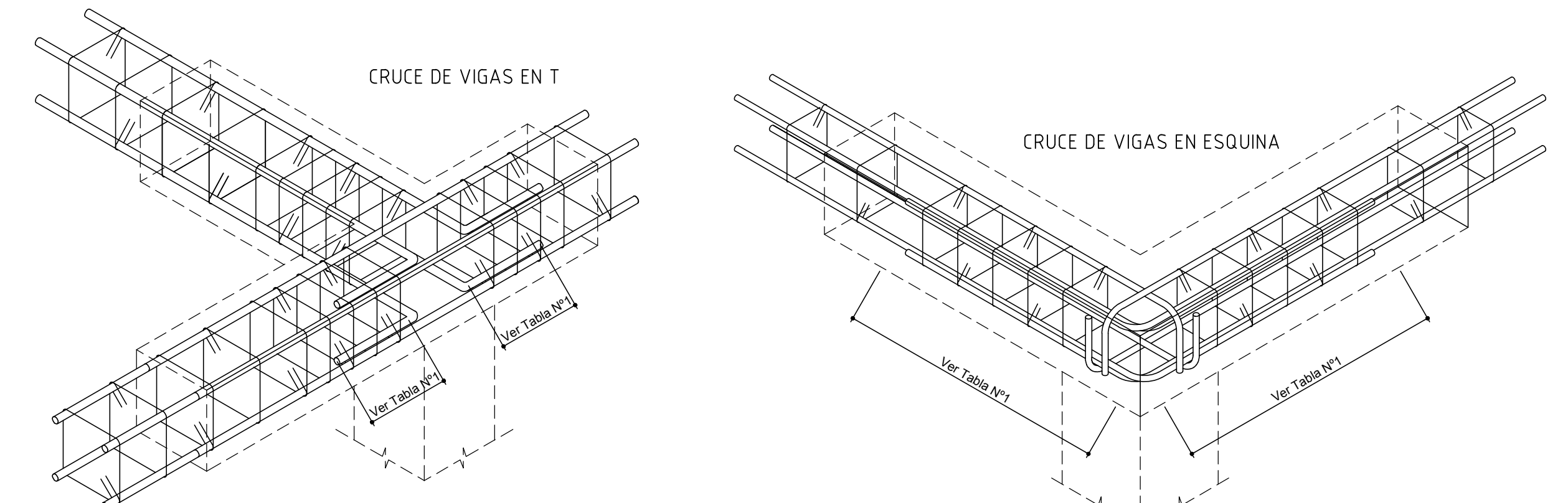
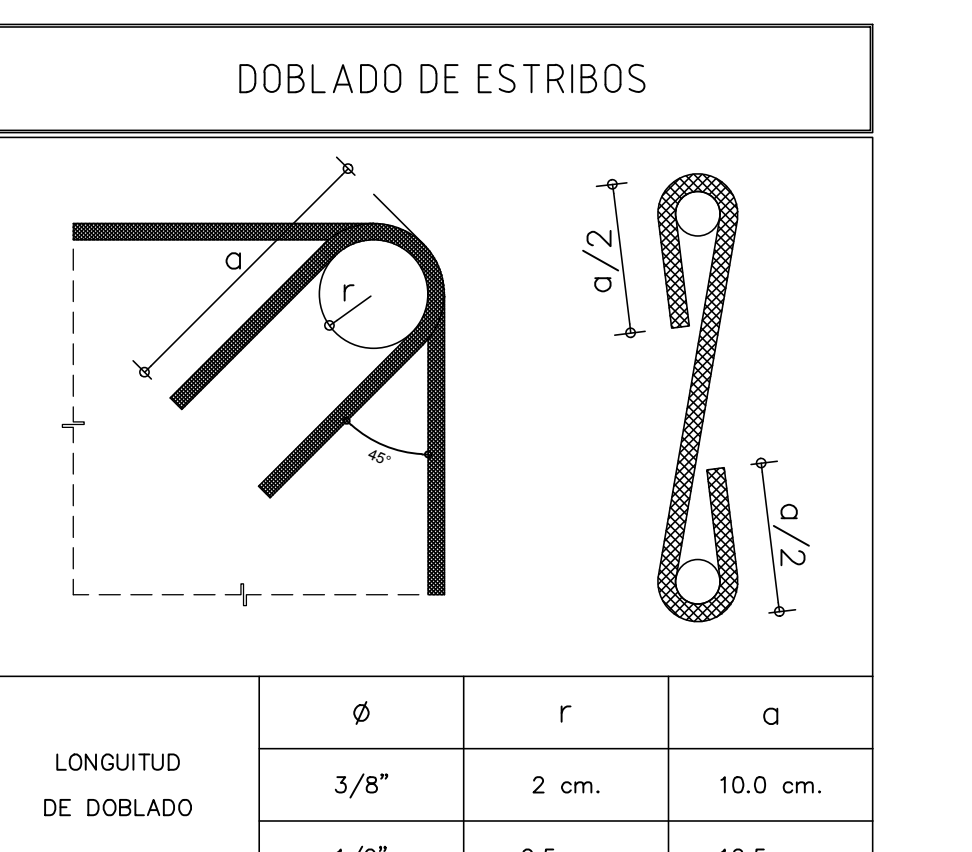
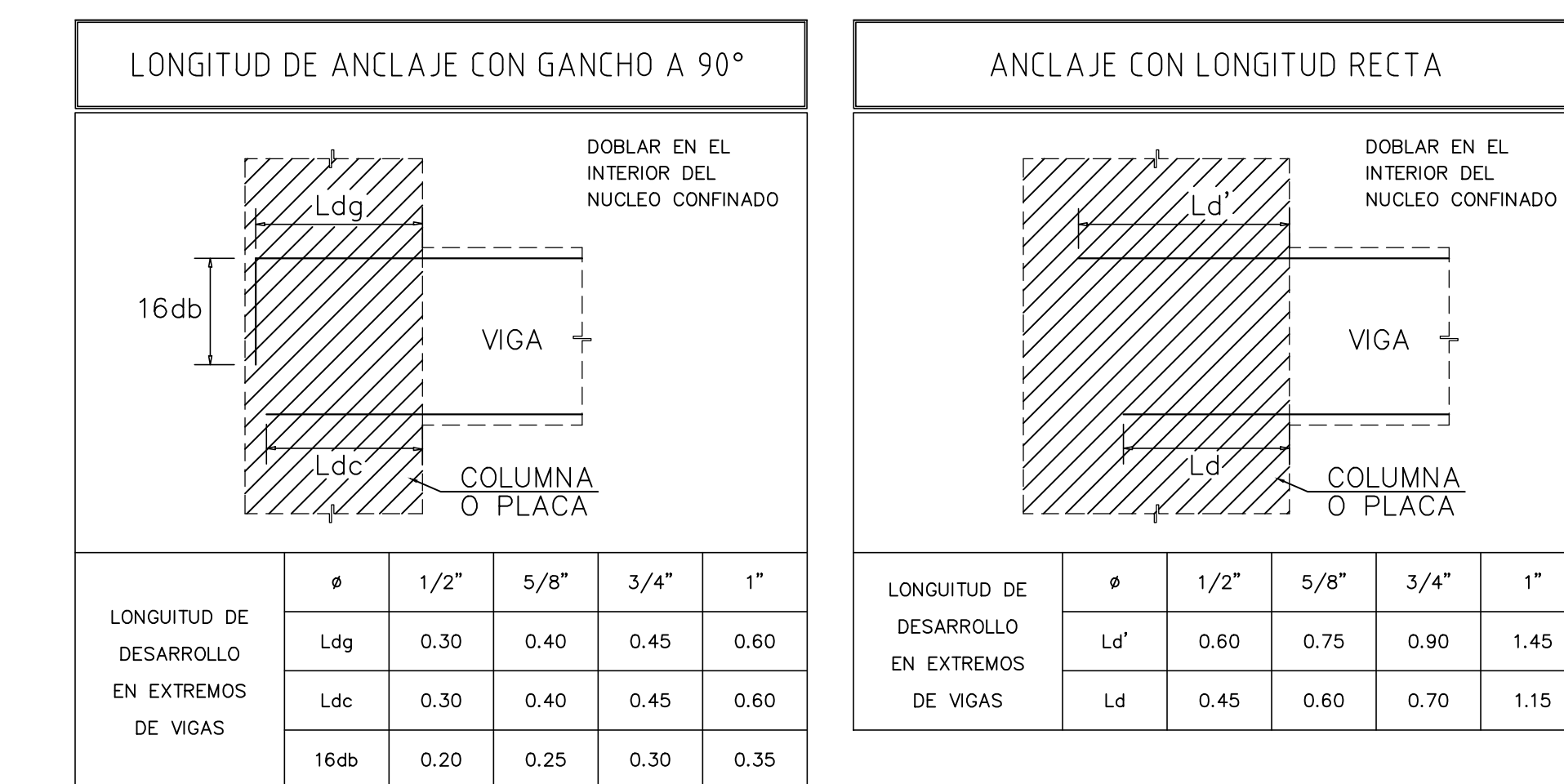
E-08

ESPECIFICACIONES TECNICAS		
CONCRETO	ITEM	CONCRETO
N1 AL N5	LOSA ALIGERADA, LOSA MACIZA	$f'_c = 210 \text{ kg/cm}^2$
N1 AL N5	COLUMNAS, PLACAS, VIGAS	$f'_c = 210 \text{ kg/cm}^2$
N1 AL N4	ESCALERAS	$f'_c = 210 \text{ kg/cm}^2$
CONCRETO	SOLADO DE LOSA DE C'	1 : 12 + 25% PM. 3" max. e=10 cm
CICLOPEO	CIMENTO CORRIDO	1 : 10 + 30% PG. 6" max.
	SOBRECIMENTO	1 : 8 + 25% PM. 3" max.
ACERO	Barro corrugados ASTM A-615 (Grado 60)	$F_y = 4200 \text{ kg/cm}^2$
RECOBERTIMIENTOS	LOSA DE C' VACIADO SOBRE TIERRA	7.5 cm
	LOSA DE C' VACIADO SOBRE SOLADO	5.0 cm
	MURO DE CONTENCION y/o MUROS DE CORTE EN CONTACTO CON EL SUELLO	4.0 cm
	MURO DE CONTENCION y/o MUROS DE CORTE PROTEGIDO POR REVESTIMIENTO	2.0 cm
	COLUMNAS	4.0 cm
	VIGAS PERALADAS	4.0 cm
	VIGAS CHATAS	2.5 cm
	ALIGERADOS, LOSAS MACIZAS, TANQUE ELEVADO	2.5 cm
SOBRECARGAS	AUDITORIO = 500 kg/m <sup>2</sup>	OFICINAS = 250 kg/m <sup>2</sup>
	CORREDORES Y ESCALERAS = 400 kg/m <sup>2</sup>	AZOTEA = 100 kg/m <sup>2</sup>
ALBARILERIA	SE REALIZARA CON LADRILLOS K.K. DE ARCILLA DE LA ZONA	
	- PROCESO CONSTRUCTIVO: LOS MUROS DE ALBARILERIA SE CONSTRUIRAN SEGUN LOS DETALLES INDICADOS EN LAS LAMINAS CORRESPONDIENTES	
	- SE CONTRUYEN DESPUES DE VACIAR LOS TECHOS VIGAS Y COLUMNAS	
	MORTERO 1:5 C:H	ESPIESOR DE JUNTAS: e = 1.5 cm (maximo)
	CAPACIDAD PORTANTE DEL TERRENO = 0.81 kg / cm <sup>2</sup>	



DETALLE DE ENSACHE ALTERNADO

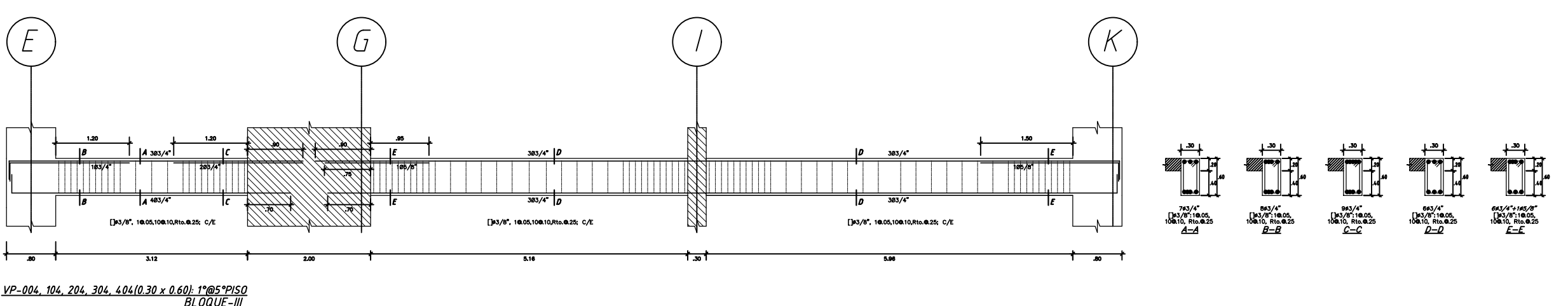
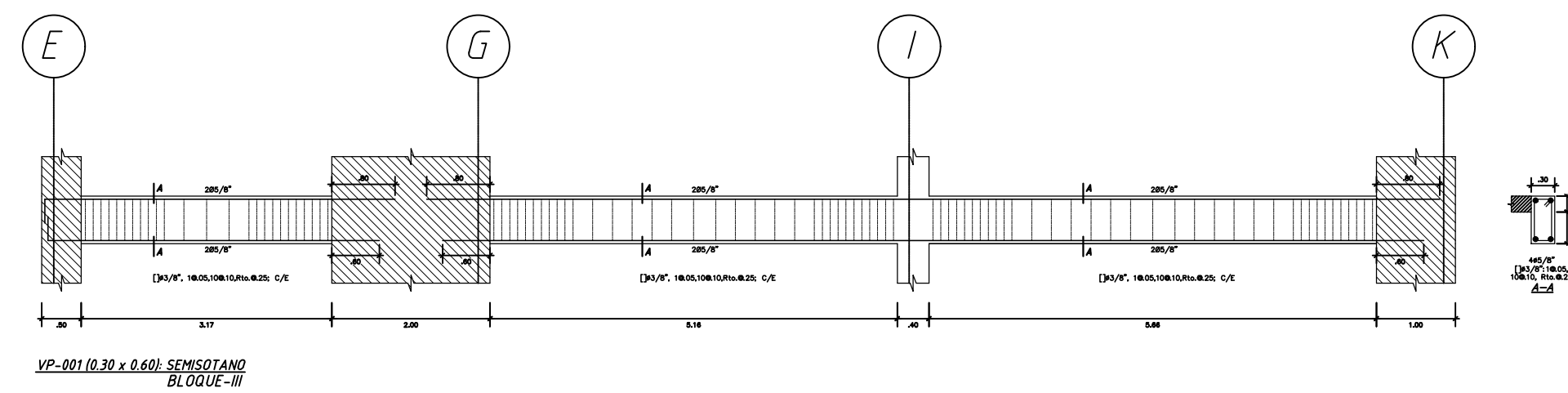
ESC: S/E



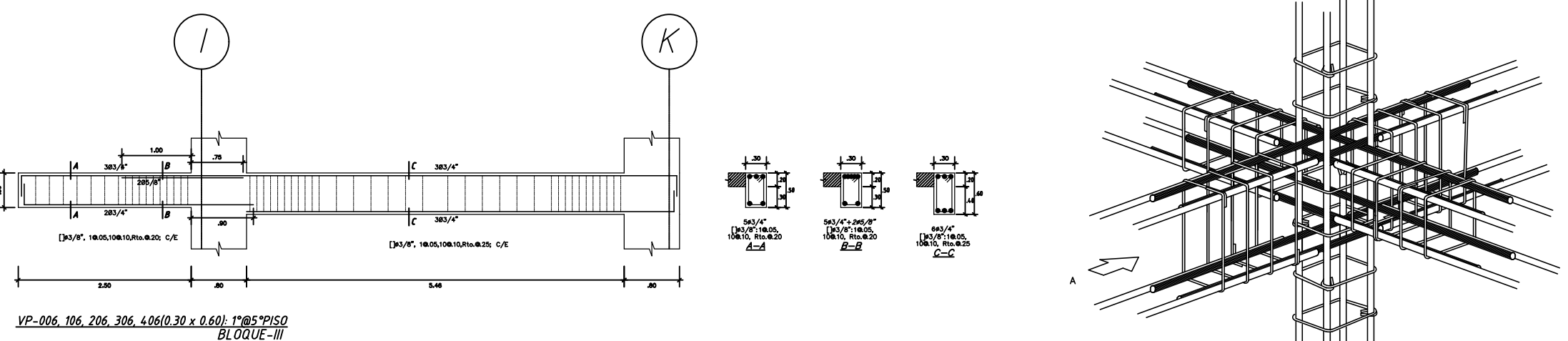
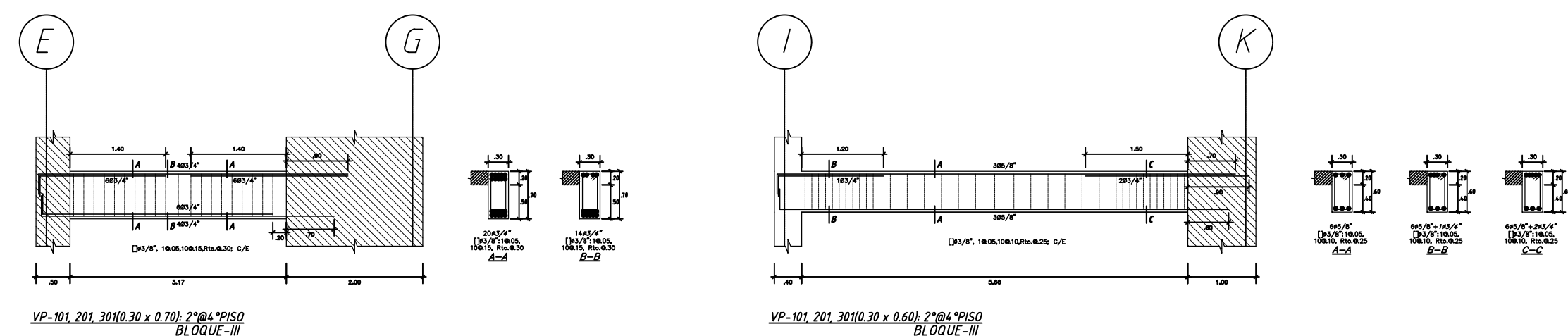
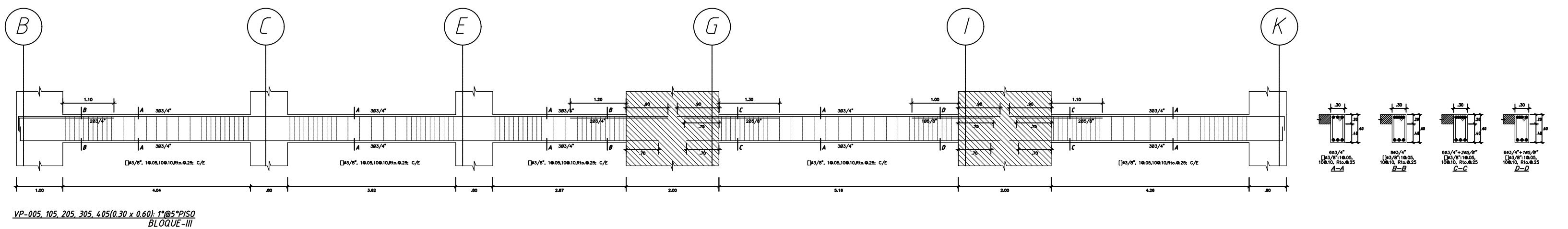
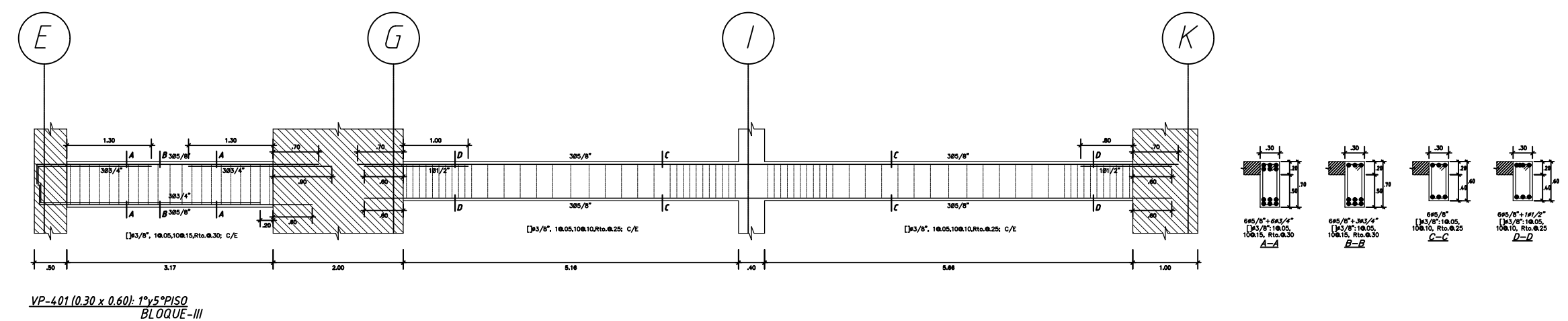
DETALLES ESTRUCTURALES

ESC: S/E





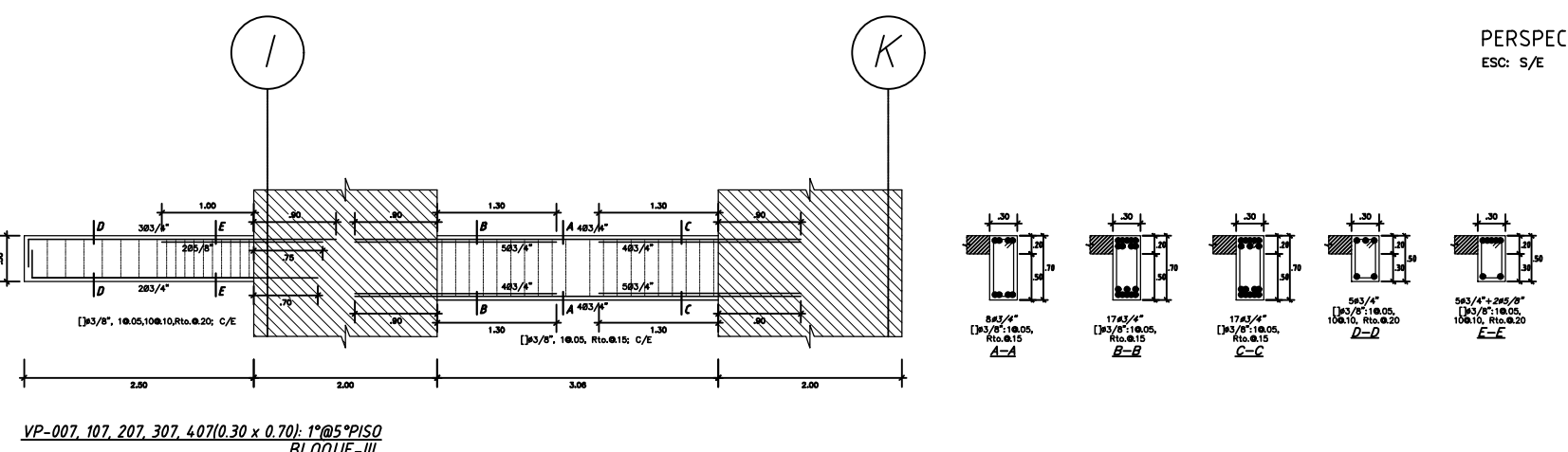
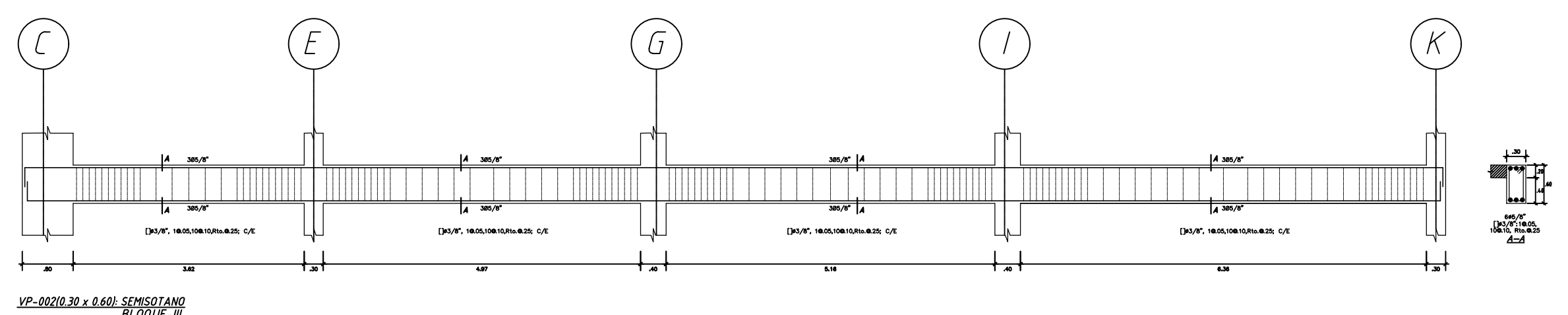
ESPECIFICACIONES TÉCNICAS	
REQUERIMIENTOS DE ESTRUCTURAS	LOSOS Y ALIGERADOS = 2.50 cm VIGAS PRINCIPALES = 4.00 cm ESCALERAS = 2.50 cm COLUMNAS Y PLACAS = 4.00 cm LOSA DE CIMENTACIÓN = 7.50 cm
CONCRETO	ESCALERAS $f_c = 210 \text{ kg/cm}^2$ COLUMNAS Y VIGAS $f_c = 210 \text{ kg/cm}^2$ LOSA ALIGERADA $f_c = 210 \text{ kg/cm}^2$
ESFUERZO PORTANTE DE TERRENO	$Q_t = 0.81 \text{ kg/cm}^2$
AERO GRADO 60	$F_y = 4200 \text{ kg/cm}^2$
MORTEROS	1:4 MUROS ESTRUCTURALES; 1:5 EN TABIQUEA
ESPEZOS DE JUNTAS EN ALBAÑILERIA	2.50 cm.



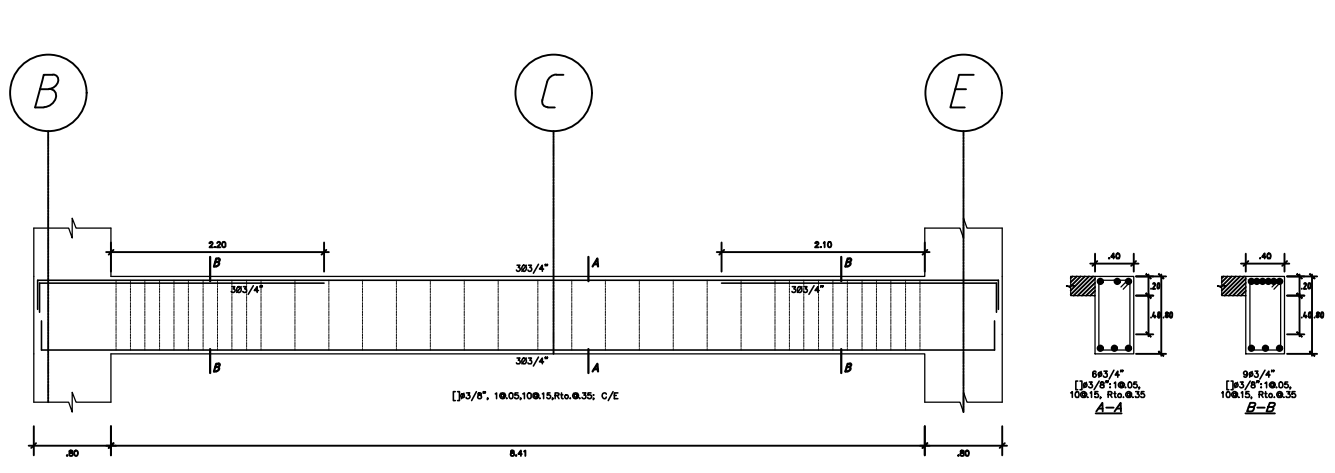
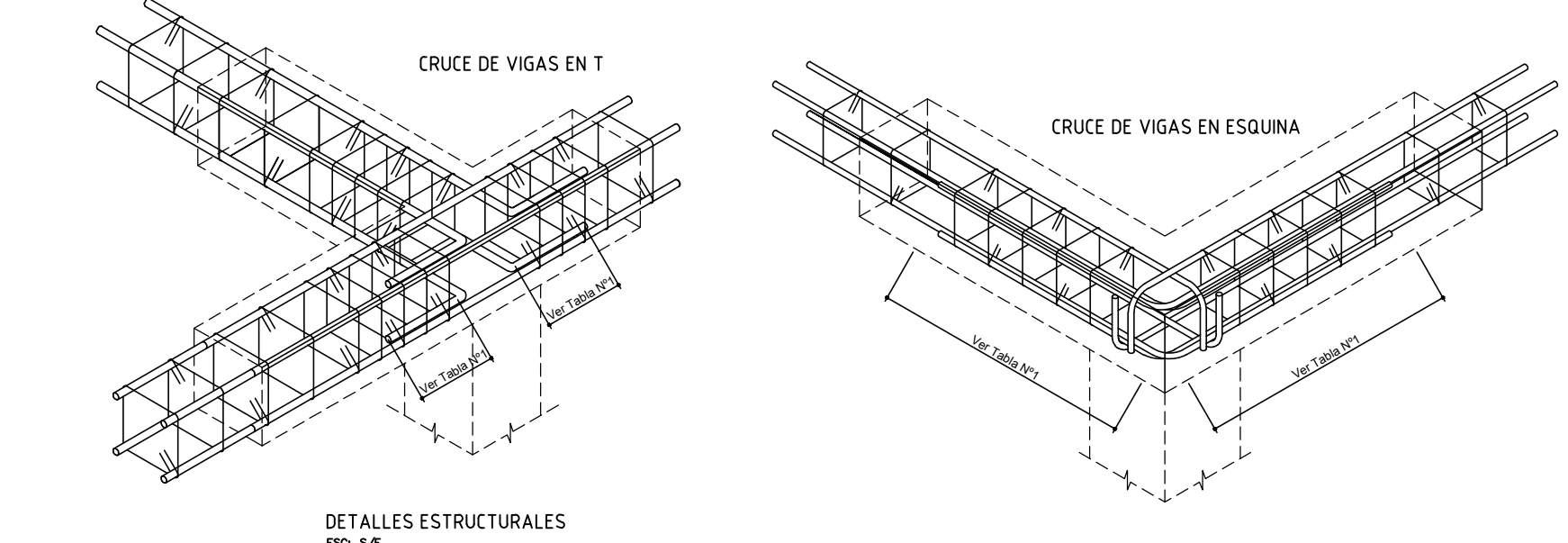
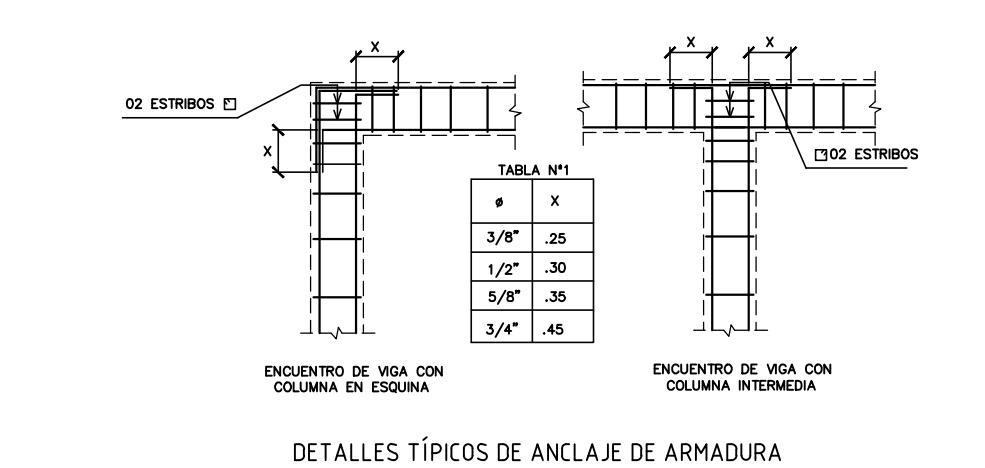
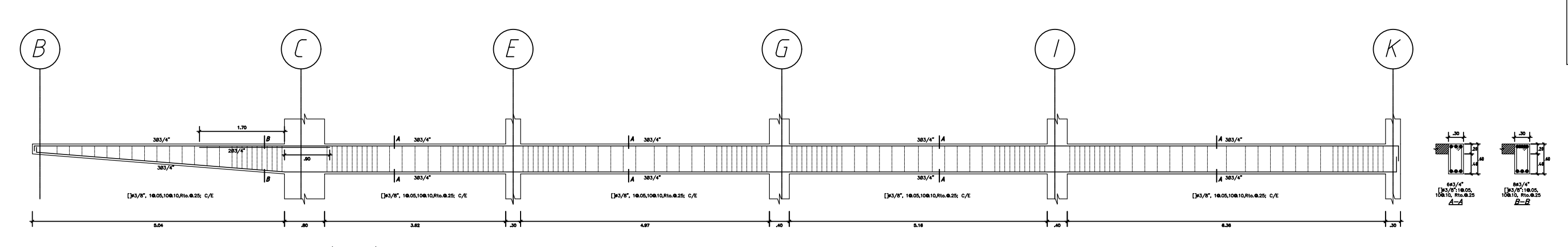
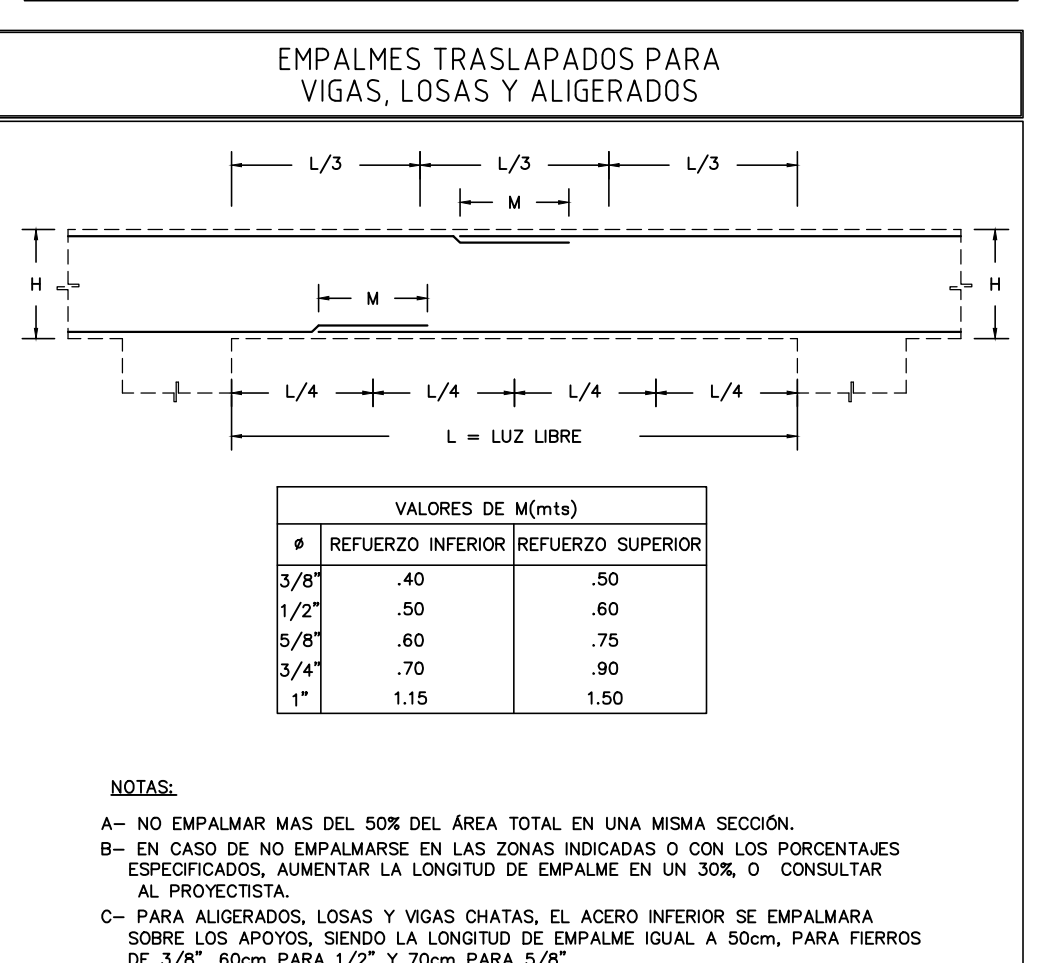
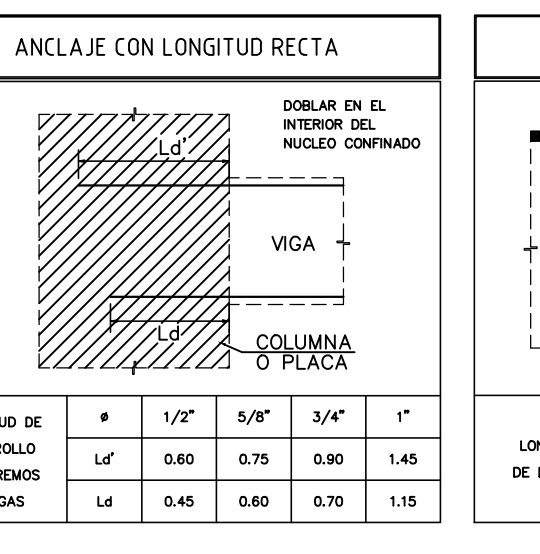
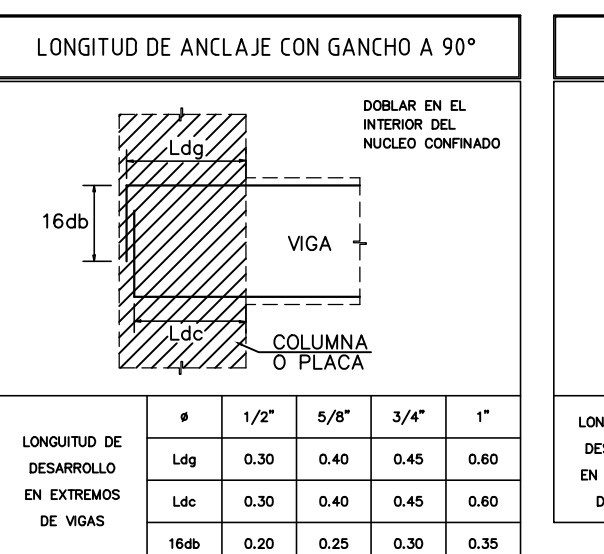
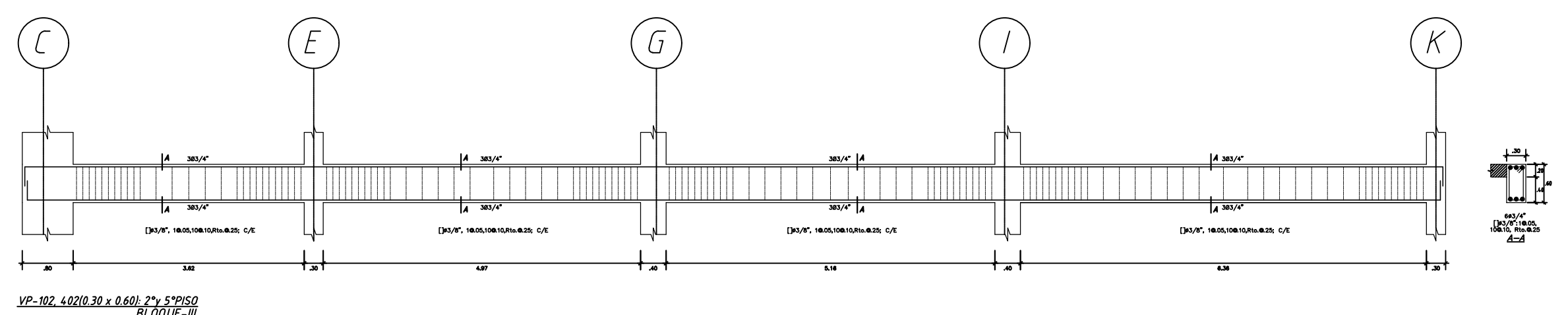
#### EMPALMES TRASLAPADOS EN COLUMNAS Y PLACAS

$\theta$	$L_e(m)$
3/8"	.40
1/2"	.50
5/8"	.60
3/4"	.75
1"	1.15

NOTAS:  
 1.- SE REALIZARA LOS EMPALMES EN EL TERCIO CENTRAL DE LA ALTURA DE LA COLUMNA.  
 2.- NO SE EMPALMARÁ MAS DEL 50% DEL ÁREA TOTAL EN UNA SECCIÓN.  
 3.- NO SE EXCEDERA EN EL PORCENTAJE ESPECIFICADO.  
 4.- AL EMPALMAR MAS DEL 30% DE ÁREA TOTAL DE UNA MISMA SECCIÓN SE COLOCARÁ ESTRIPOS CERRADOS A UN ESPACIAMENTO MÁXIMO DE 10cm.

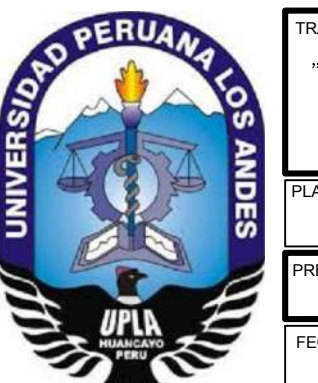


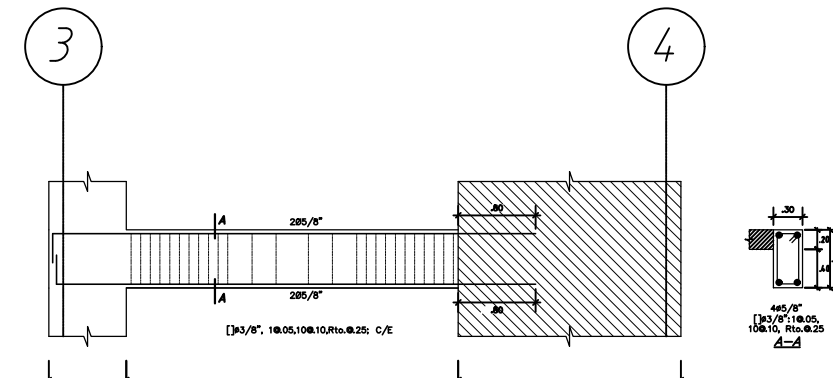
PERSPECTIVA DE ENCUENTRO DE VIGAS Y COLUMNAS  
ESC: S/E



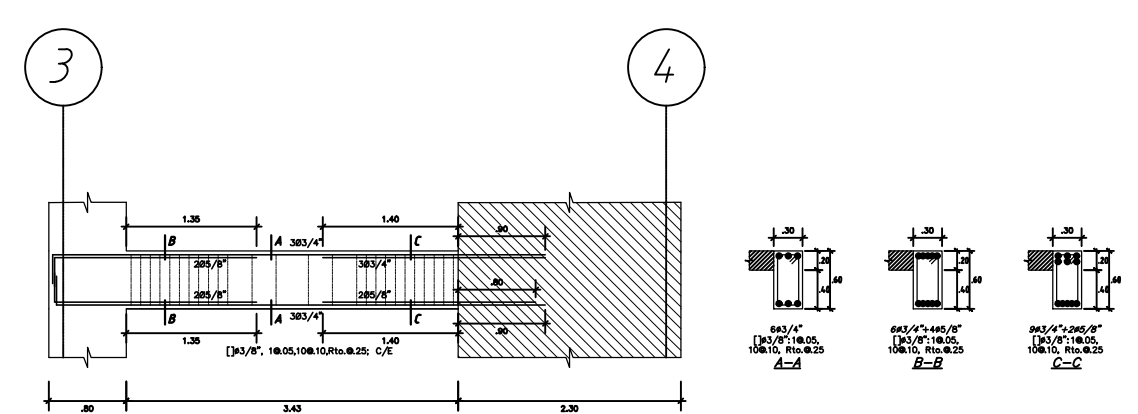
DETALLES ESTRUCTURALES  
ESC: S/E

TRABAJO DE SUFICIENCIA PROFESIONAL:	
"ANÁLISIS Y DISEÑO SISMICO ESTRUCTURAL, DE LA GERENCIA SUB REGIONAL DE CHURCAMPAGA, EMPLEANDO LA NUEVA NORMA E.030-2018, HUANCAYA."	
PLANO:	VIGAS
UBICACIÓN:	J.R.P.M.
PRESENTADO POR:	Bach. JHON RONALD PEREZ MALLMA
FECHA:	MARZO - 2021
UBICACIÓN:	HUANCAYA
ESCALA:	1/75

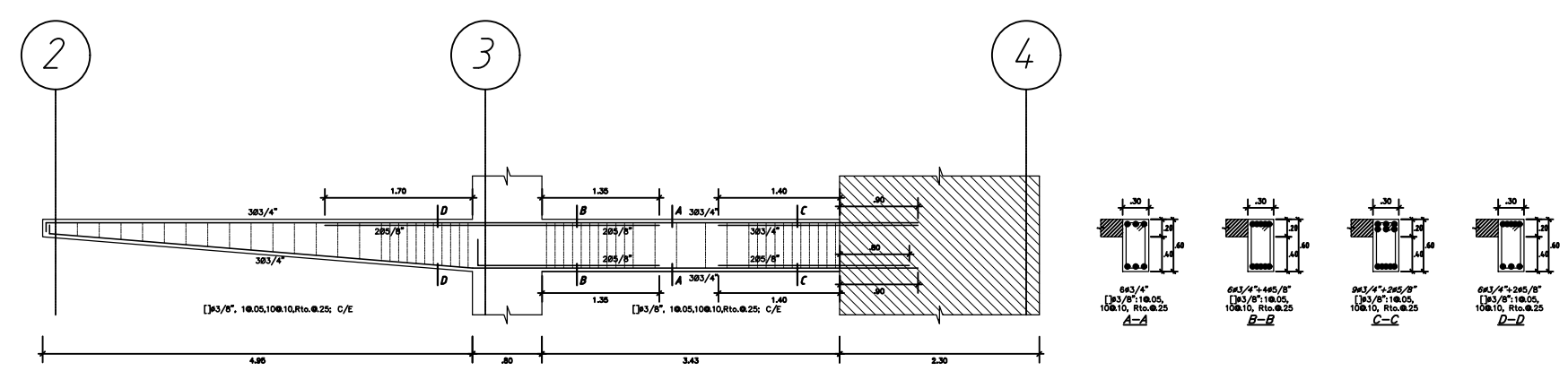




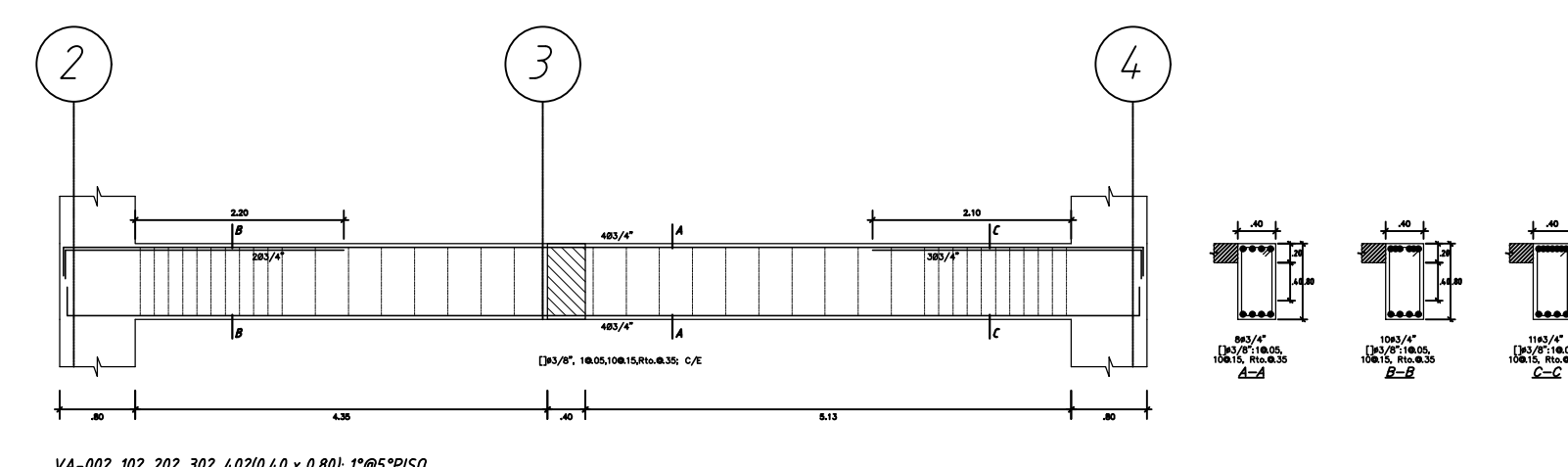
VA-001 30 x 0.60 SEMISOTANO  
BLOQUE-III



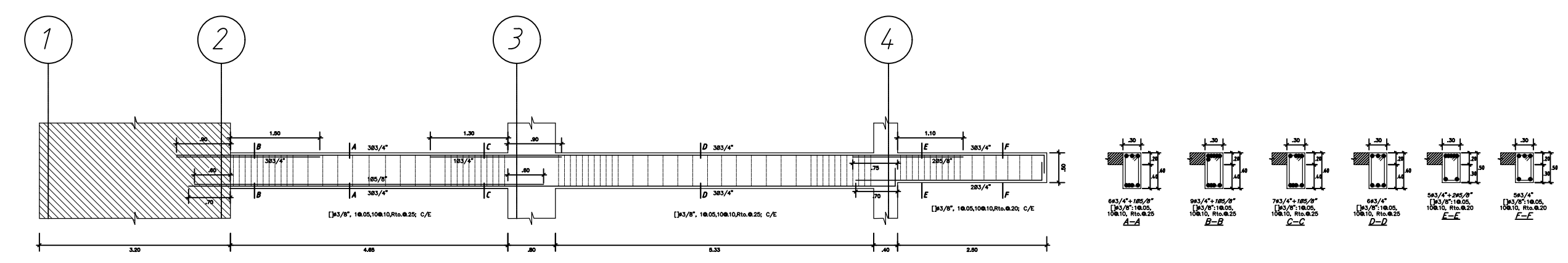
VA-101 40(0.30 x 0.60)  
BLOQUE-III



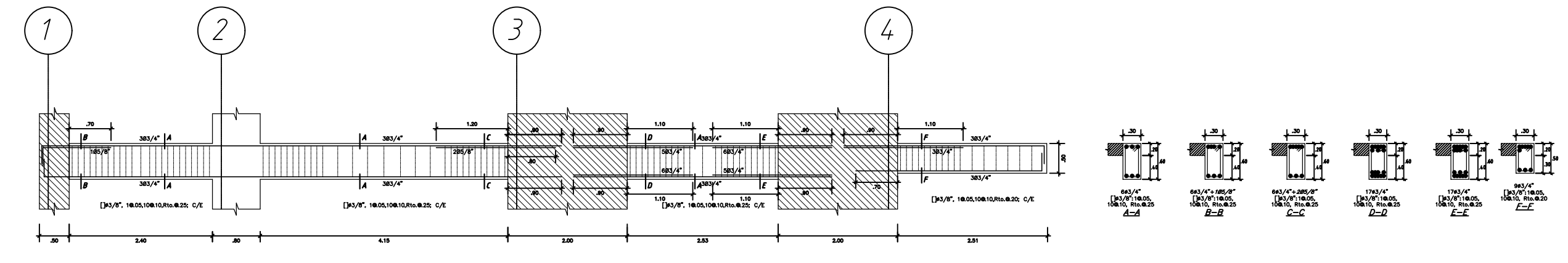
VA-201 30(0.30 x 0.60) 2\*PISO  
BLOQUE-III



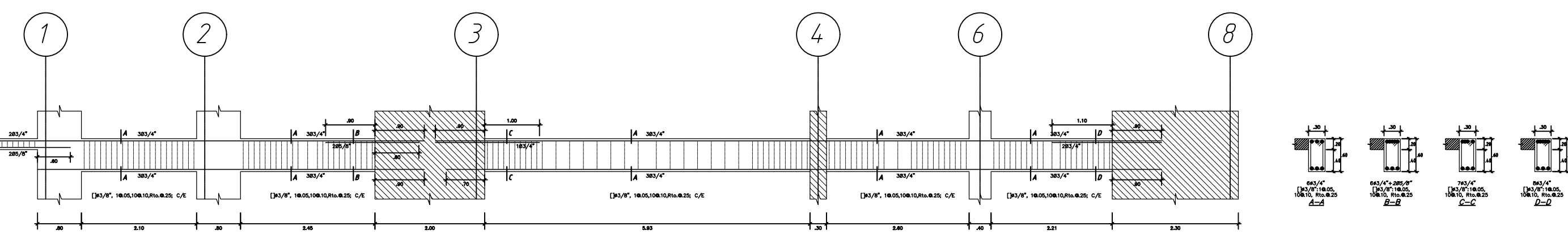
VA-002 102, 202, 302, 402(0.40 x 0.80)  
BLOQUE-III



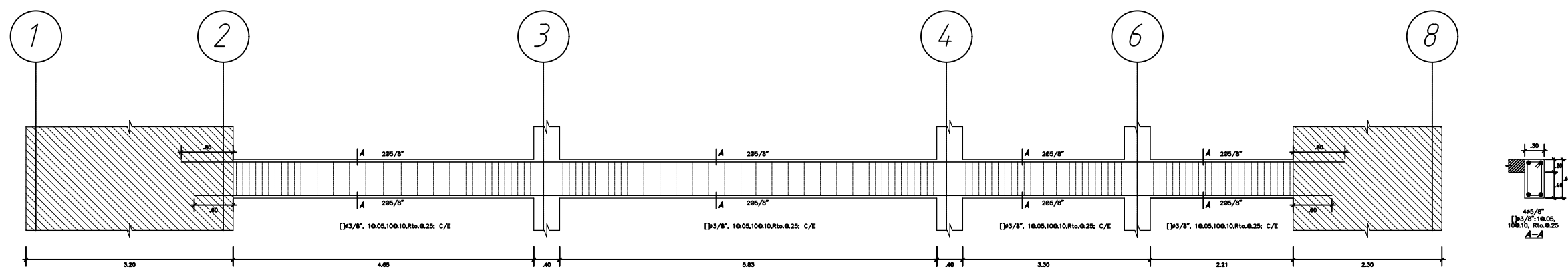
VA-003 102, 202, 302, 402(0.30 x 0.60)  
BLOQUE-III



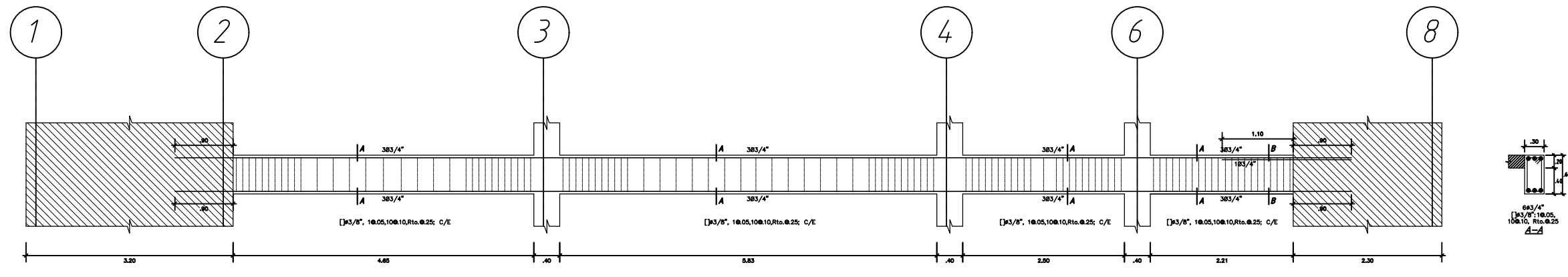
VA-004 104, 204, 304, 404(0.30 x 0.60)  
1\*PISO



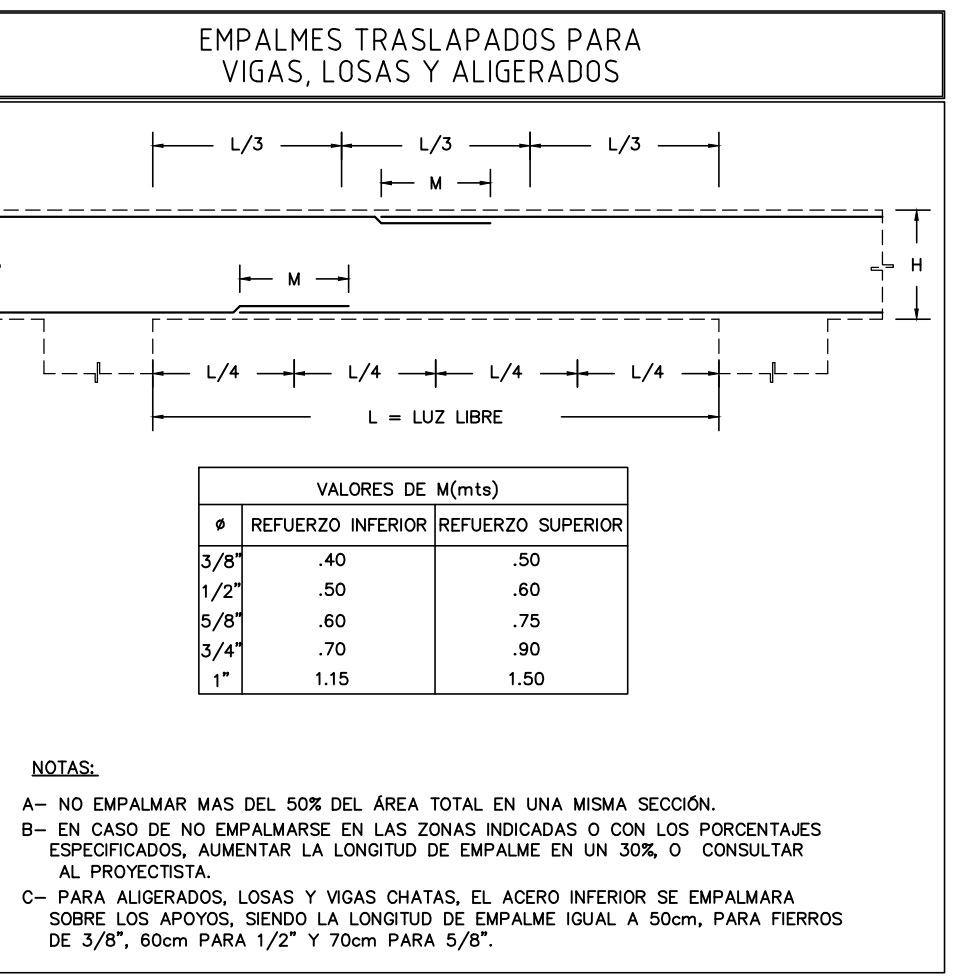
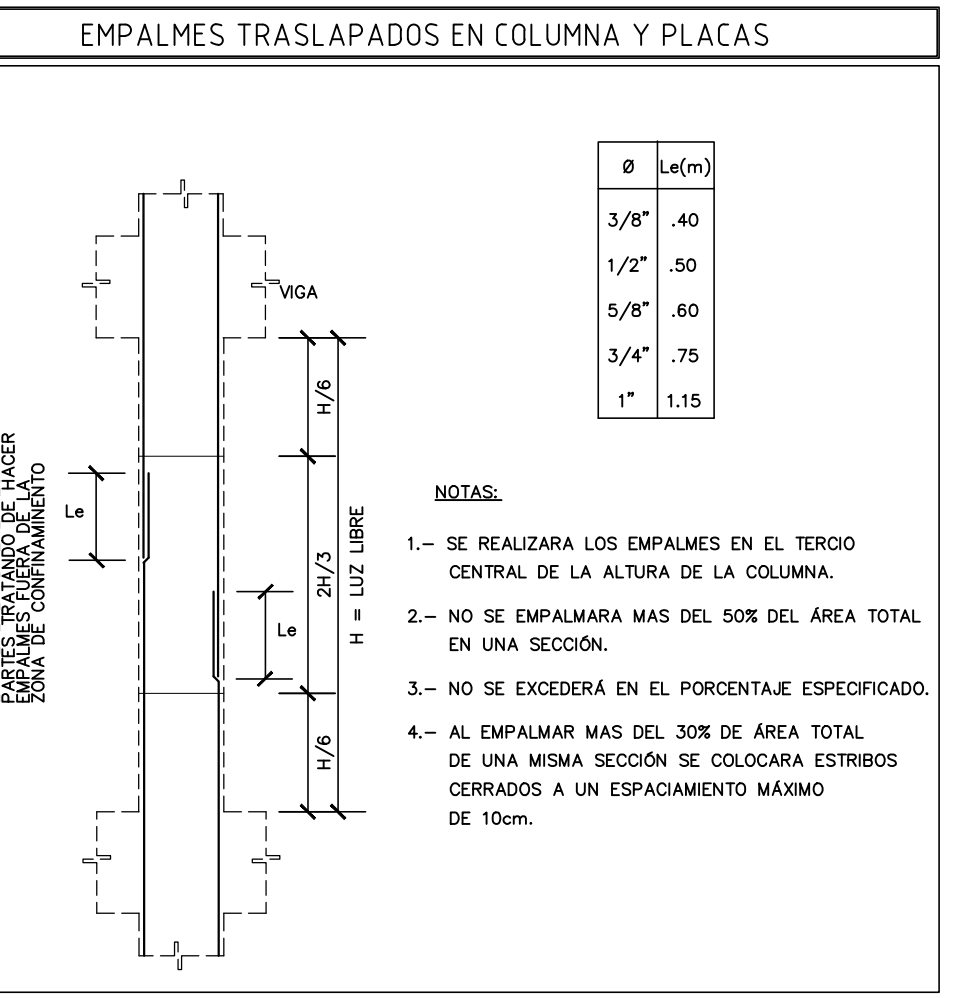
VA-005 105, 205, 305, 405(0.30 x 0.60)  
1\*PISO



VA-006(0.30 x 0.60)  
SEMISOTANO  
BLOQUE-III

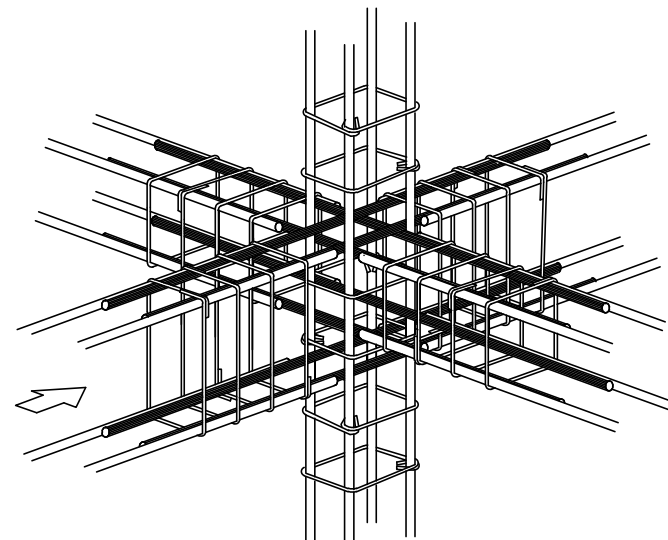


VA-106 206, 306, 406(0.30 x 0.60) 2\*PISO  
BLOQUE-III

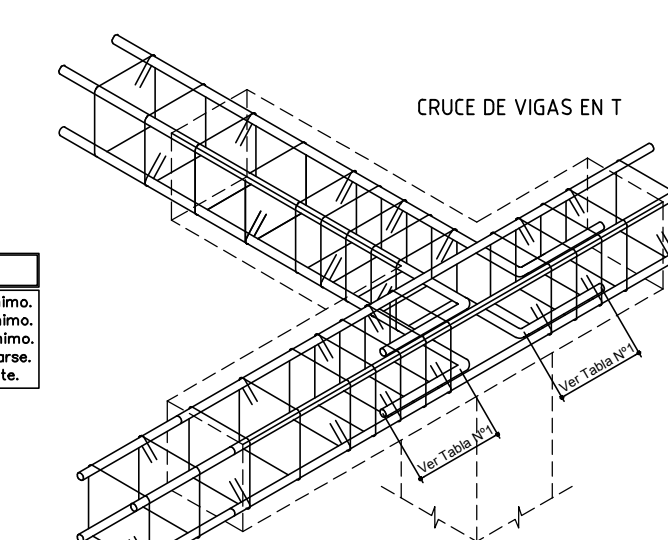
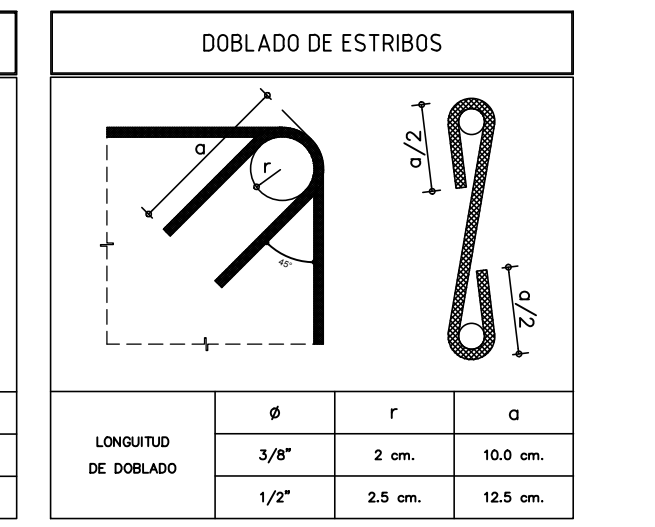
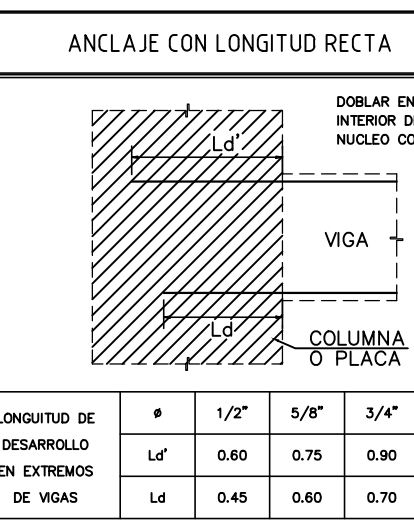
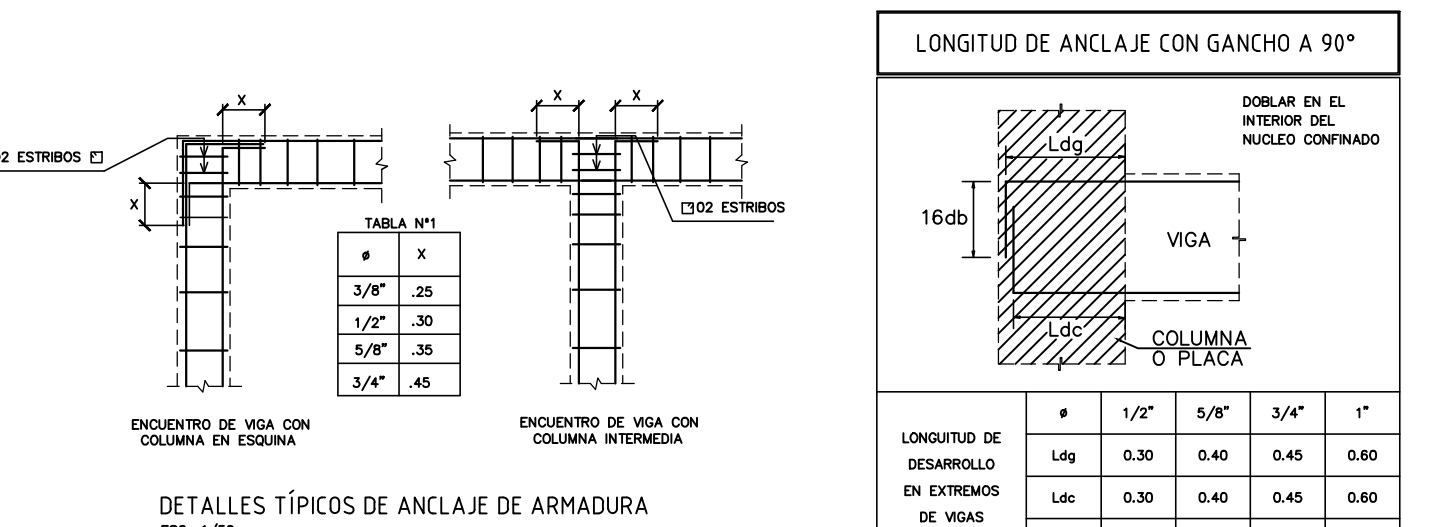


**ESPECIFICACIONES TECNICAS**

RECUBRIMIENTOS DE ESTRUCTURAS	LOSAS Y ALIGERADOS = 2.50 cm VIGAS PRINCIPALES = 4.00 cm ESCALERAS = 2.50 cm COLUMNAS Y PLACAS = 4.00 cm LOSA DE CIMENTACION = 7.50 cm
CONCRETO	ESCALERAS $f_c = 210 \text{ Kg/cm}^2$ COLUMNAS Y VIGAS $f_c = 210 \text{ Kg/cm}^2$ LOSA ALIGERADA $f_c = 210 \text{ Kg/cm}^2$
ESFUERZO PORTANTE DE TERREN	$Q_1 = 0.81 \text{ Kg/cm}^2$
AACERO GRADO 60	$F_y = 4200 \text{ Kg/cm}^2$
MORTEROS	1:1 MORTEROS ESTRUCTURALES, 1:5 EN TABIQUEA
ESPESOR DE JUNTAS EN ALBAÑILERIA	2.50 cm.



PERSPECTIVA DE ENCUENTRO DE VIGAS Y COLUMNAS  
ESC: S/E



DETALLES ESTRUCTURALES  
ESC: 1/50

